

C.J.A. ORD. N° 6800/1190 P.I.C.A. (V.)

ESTADÍSTICA

OBJ.: Remite informe solicitado en Recurso de Protección I.C.A. de Valparaíso, Rol N° 18.632-2019.

REF.: Resolución I.C.A. Valparaíso, de fecha 05 de abril de 2021.

VALPARAÍSO, 15 ABR. 2021

**DEL ALMIRANTE - COMANDANTE EN JEFE DE LA ARMADA
AL PRESIDENTE DE LA I. CORTE DE APELACIONES DE VALPARAÍSO**

En respuesta a lo solicitado por esa Ilustrísima Corte de Apelaciones, mediante resolución citada en la referencia, adjunto envío a Us., el informe final sobre "Estudio de identificación y distribución de las partículas de carbón en los sedimentos marinos de la bahía Quintero –sector Ventana", entregado por la Universidad Andrés Bello, el 09 de abril del año en curso.

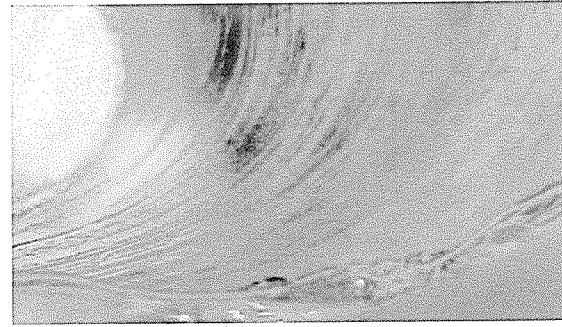
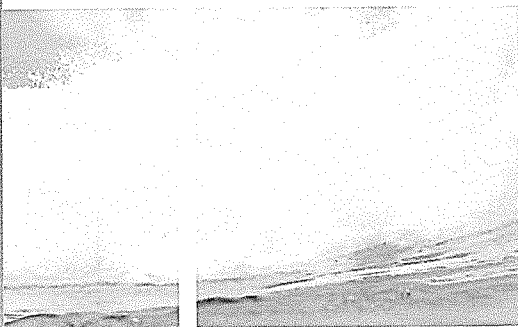
Saluda a Us. Ilma.

POR ORDEN DEL SR. C.J.A.



DANIEL MUÑOZ MIRANDA
CAPITÁN DE NAVÍO
SECRETARIO DEL SR. ALMIRANTE

**ESTUDIO CIENTÍFICO
INFORME FINAL**



**“ESTUDIO DE IDENTIFICACIÓN Y DISTRIBUCIÓN DE LAS PARTÍCULAS DE CARBÓN
EN LOS SEDIMENTOS MARINOS DE LA BAHÍA QUINTERO – SECTOR VENTANA”**

09 de abril de 2021

INFORMACIÓN ADMINISTRATIVA

Documento:	INFORME FINAL “Identificación y distribución de las partículas de carbón en los sedimentos marinos de la bahía Quintero – Sector Ventana”
Elaborado para:	DIRECTEMAR Armada de Chile
Número de Licitación:	
Oferente:	UNIVERSIDAD ANDRÉS BELLO Facultad de Ingeniería – Geología
Fecha de Entrega:	09/abril/2021
Director de proyecto:	Cristián Rodrigo Ramírez
Elaborado por:	Cristián Rodrigo Ramírez, Oceanógrafo Nicolás Philippi Queirolo, Geólogo
Revisado por:	

Tabla de contenidos

1. Introducción.....	4
2. Metodología.....	5
Trabajo de terreno.....	5
Muestreo de sedimento.....	5
Levantamiento con sonar multihaz.....	9
Procesamiento de datos acústicos.....	11
Trabajo de laboratorio.....	11
3. Resultados.....	14
Granulometría, composición e identificación del carbón en muestras sedimentológicas.....	14
Morfología submarina.....	25
Backscatter.....	33
Registros de SBP.....	41
Registros visuales.....	42
Procesos de transporte de sedimentos.....	45
Estratigrafía y temporalidad.....	46
4. Conclusiones.....	50
5. Referencias.....	52
Anexo "A" Petrografía.....	53
Anexo "B" Difracción rayos X.....	77
Anexo "C" Microscopía SEM/EDS.....	111
Anexo "D" Testigos.....	189
Anexo "E" Geocronología.....	203

1. Introducción

Desde 2008, en la bahía Quintero se ha registrado en múltiples ocasiones la presencia de un material negro particulado en las playas de esta zona (Comisión de Recursos Naturales, 2011), estos eventos se han hecho más frecuentes en los últimos años y, actualmente, ocurren en promedio 10 veces al mes. Este material llega a las playas a través del oleaje y se acumula según los niveles de la marea, posteriormente, en la mayoría de los casos, este material es retirado manualmente y entregado a AES Gener y Puerto Ventanas, quienes financian la recolección y limpieza de este material en las playas de la bahía.

Este material negro particulado es identificado como carbón mineral combustionado y no combustionado proveniente de una planta de combustión de baja eficiencia (Cisternas, 2019). Si bien la distribución de este material es fácilmente identificable en las playas porque el color negro contrasta contra el color más claro de las arenas, compuestas principalmente por partículas de minerales comunes (cuarzos y feldespatos), la distribución de este material en el sedimento submarino de la bahía es desconocido, ya sea superficialmente o en el subfondo. Conocer la deposición histórica del carbón es necesaria debido a que el parque industrial emplazado en esta zona, comenzó con las primeras actividades en 1958 con la instalación de la termoeléctrica de CHILECTRA S.A., seguido de la Fundición ENAMI Ventanas (1964), Termoeléctrica Ventanas I y Puerto Ventanas (1966), Termoeléctrica Ventanas II (1977), Terminal marítimo de Oxiquim (1981), Terminal de Asfaltos y Combustibles Cordex (2000), Central Termoeléctrica Campiche (2008), Central Termoeléctrica Nueva Ventanas (Gener) (2010), entre otras. Sin embargo, ya existían actividades industriales a menor escala que utilizaban carbón en la zona, desde 1865 con la creación del Puerto Mayor de Quintero y el Ferrocarril Puerto para transporte de carga en 1924. Por lo tanto, los objetivos de este estudio son:

General

Determinar la distribución del carbón y su naturaleza, tanto superficial como temporal, en los sedimentos marinos de la bahía Quintero - Cta. Ventanas y su posible fuente de origen.

Específicos

1.- Determinar la presencia de carbón en los sedimentos marinos del fondo de la bahía, y su variación espacial y temporal.

2.- Determinar la morfología del fondo marino de la bahía Quintero, sector caleta Ventana y estimar potenciales áreas de acumulación y transporte.

2. Metodología

2.1. Trabajo de terreno

2.1.1. Muestreo de sedimento superficial

El 8 de agosto de 2019 se obtuvieron 22 muestras de sedimentos superficiales del fondo de la bahía Quintero en el sector de caleta Ventana, con una draga manual Van Veen (SHOA) en una embarcación menor (DIRECTEMAR) que permitió la mejor aproximación a la costa y operación en aguas someras desde los ~5 m hasta los ~23 m de profundidad (Figs. 1 y 2). Además, el 12 de septiembre de 2019, se obtuvieron 6 muestras superficiales de sedimento con box corer durante el levantamiento hidrográfico realizado por el buque de la Armada de Chile AGS “Cabo de Hornos” (Figs. 1 y 3). Del total de muestras, no se consideraron 6 debido a que no contenían una cantidad suficiente para los análisis. Las muestras eliminadas corresponden a QV-01-B, QV-07, QV-14, QV-16, QV-17 y QV-BC-E4-A.

Los primeros puntos de muestreo fueron seleccionados en base a las geomorfologías submarinas observadas con imágenes satelitales y considerando una distribución homogénea de la malla de muestreo. Posteriormente las siguientes muestras fueron obtenidas en puntos con geomorfologías submarinas identificadas con la batimetría multihaz realizada el 8 de agosto de 2019.

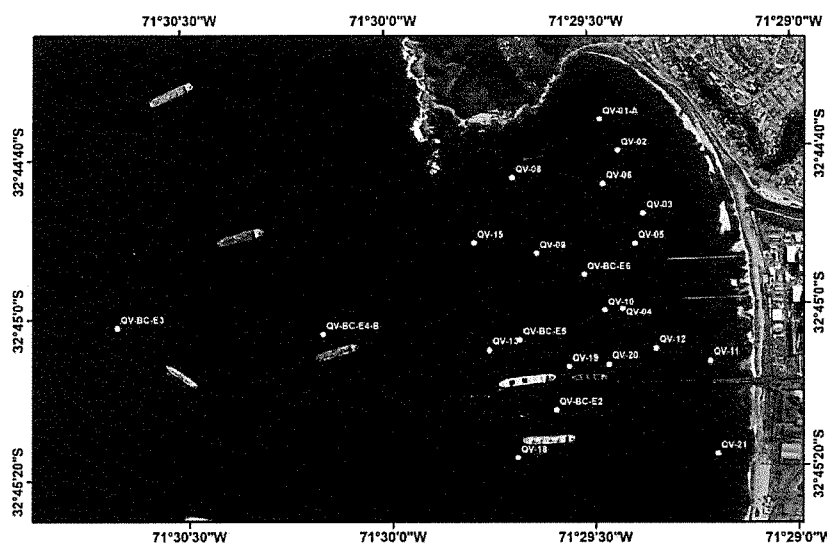


Figura 1. Área de estudio con las estaciones de muestreo de sedimento superficial obtenidas el 8 de agosto de 2019 (puntos amarillos con código "QV"), utilizando lancha LPM "Arcángel"; y el 12 de septiembre de 2019 (puntos amarillos con código "QV-BC"), utilizando el buque oceanográfico AGS "Cabo de Hornos".



Figura 2. Muestreo manual de sedimento marino con draga a bordo de la lancha LPM "Arcángel" (8 de agosto de 2019).



Figura 3. Muestreo de sedimento marino con box corer a bordo del buque AGS “Cabo de Hornos” (12 de septiembre de 2019).

2.1.2. Muestreo de testigos de sedimento subsuperficial

Los testigos o core de sedimento fueron obtenidos en puntos estratégicos de la bahía considerando representatividad de las distintas zonas y las variaciones del carácter acústico obtenido por el sonar multihaz del buque AGS “Cabo de Hornos” durante el levantamiento del 12 de septiembre de 2019.

Debido a que el tipo de sedimento es principalmente arena, no permitió la penetración del gravity corer, metodología que fue intentada en múltiples ocasiones a bordo del Buque “Cabo de Hornos”, por lo que fue necesario obtener todos los testigos de manera manual a través de buzos de la Armada de las capitánías de puerto de Valparaíso y Quintero, los días 17 y 25 de septiembre, y el 4 de octubre de 2019 (Fig. 4), obteniéndose nueve testigos, además de dos más en el Estero Campiche (código CAMP) (Fig. 5), por lo que en total se obtuvieron 11 en el área de estudio, los cuales variaron en longitud desde 12,14 cm a 29,13 cm. Los testigos obtenidos se encuentran indicados en la Tabla 4.



Figura 4. Muestreo de sedimento marino subsuperficial con tubos de PVC con buzos de la Armada de Chile (17 y 25 de septiembre de 2019 y 4 de octubre de 2019).



Figura 5. Área de estudio con las estaciones de muestreo manual de testigos de sedimento obtenidas los días 17 y 25 de septiembre de 2019 (de la 1 a la 6), y el 4 de octubre de 2019 (BK, To y CAMP).

2.1.3. Levantamiento con sonar multihaz

Dado el carácter discreto del método de muestreo de sedimento y las características del fondo marino de la bahía (sometido a alta energía de olas y corrientes), se hace necesario disponer de algún método que permita obtener evidencias de la distribución continua de los materiales que componen el fondo, así también de la dinámica asociada al transporte y su variabilidad. Por lo tanto, se realizaron levantamientos acústicos con sonar multihaz con la lancha hidrográfica del SHOA y con el buque AGS "Cabo de Hornos" (Fig. 6), para así obtener datos acústicos para construir modelos de la topografía submarina y de "backscatter", los cuales pueden determinar los tipos de materiales del fondo marino, ayudado por los análisis de muestras de sedimentos (Rodrigo, 2006).

El levantamiento acústico realizado con el buque AGS "Cabo de Hornos" fue el día 12 de septiembre de 2019, donde se usó el sonar multihaz Kongsberg EM-710 con una frecuencia de 200 kHz. Las mediciones batimétricas fueron calibradas por velocidad del sonido "in situ", realizando dos lances de SVP ("sound velocity profiler"), una en la entrada sur de la bahía Quintero y otra al centro del área de estudio (en el sector de norte de la bahía). Además, el sistema de posicionamiento utilizado fue DGPS con errores < 1 m. Del mismo modo, se realizaron 2 levantamientos acústicos a bordo de la lancha hidrográfica SHOA: el día 8 de agosto de 2019 y el 29 de noviembre de 2019, donde se utilizó el Sistema Multihaz Reson SeaBat 7125, con frecuencias de 200 y 400 Hz.



Figura 6. Operación de los sistemas de sonares multihaz. Izquierda: a bordo del buque AGS "Cabo de Hornos", el 12 de septiembre de 2019; derecha: a bordo de la lancha hidrográfica SHOA, el 29 de noviembre 2019.

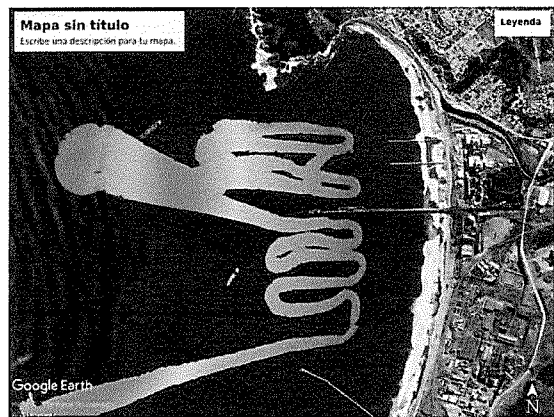


Figura 7. Ejemplo de la cobertura batimétrica obtenida con el sistema multihaz del buque AGS "Cabo de Hornos", el 12 de septiembre de 2019.

2.1.4. Levantamiento con perfilador de subfondo

Durante el levantamiento multihaz a bordo del buque AGS "Cabo de Hornos", también se obtuvieron datos de perfilador de subfondo (SBP), utilizando el sistema Kongsberg SBP-120, el cual se deriva del mismo sistema multihaz a bajas frecuencias (~3.5 kHz), para penetración y determinación estratigráfica del fondo marino (Fig. 8).

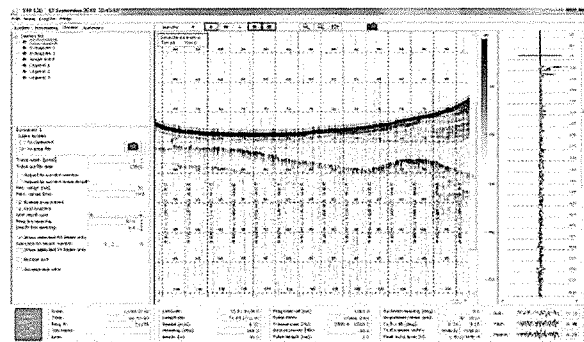


Figura 8. Ejemplo de un registro con perfilador de subfondo, obtenido a bordo del buque AGS "Cabo de Hornos", el 12 de septiembre de 2019, costa afuera de la bahía Quintero.

2.2. Procesamiento de los datos acústicos

Los datos batimétricos fueron procesados con el software MBSYSTEM (Caress et al., 2017) en el Laboratorio de Geofísica (LGF) de la UNAB de Viña del Mar, donde se eliminaron datos automáticamente con un módulo de pre-procesamiento y luego manualmente con editores en 3D (Fig. 9). Las correcciones de los datos de backscatter también se realizaron con el mismo software y se ajustó la energía acústica recibida al transductor, en función del ángulo de crecimiento de los “beams”. Para ambos tipos de datos se crearon grillas digitales utilizando el algoritmo de interpolación de “mínima curvatura” (Wessel et al., 2017), obteniéndose una resolución espacial de 0.25 m.

A partir de las grillas, se crearon mapas con el software GMT (Wessel et al., 2017). El mapa batimétrico o de la topografía submarina también fue visualizado con el programa Fledermaus de QPS para identificar con más facilidad estructuras. Luego, los resultados sedimentológicos fueron correlacionados con los acústicos para crear modelos integrados de los tipos de materiales del fondo y de la dinámica de sedimentos.

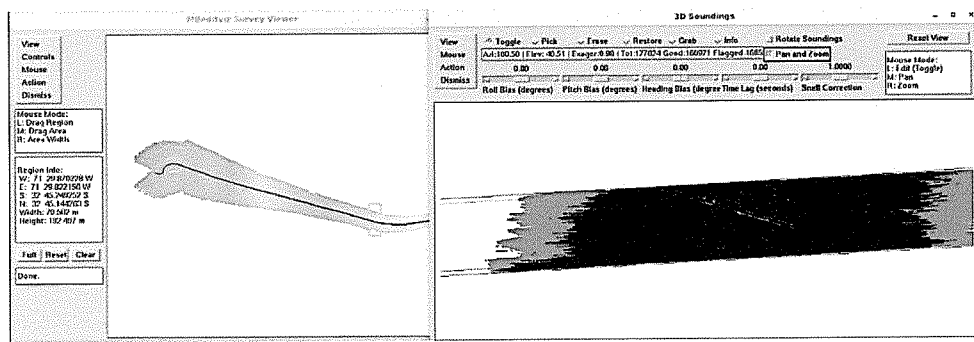


Figura 9. Edición de datos batimétricos con el programa MBSYSTEM, obtenidos durante el levantamiento multihaz a bordo del buque AGS “Cabo de Hornos”, el 12 de septiembre de 2019, en la bahía Quintero. Los puntos rojos corresponden a datos eliminados por considerarse erróneos, es decir, fuera del rango estadístico aceptable.

2.3. Trabajo de laboratorio

2.3.1. Granulometría y mineralogía en sedimento superficial

El análisis granulométrico fue realizado en el laboratorio de sedimentología de la UNAB (Viña del Mar) según procedimiento estándar, primero secando la muestra en un horno a temperatura controlada de 40°C durante

por lo menos 24 horas. Posteriormente, el sedimento seco fue tamizado en mallas #10 (2 mm), #18 (1 mm), #30 (0,595 mm), #60 (0,250 mm) y #100 (0,149 mm) para determinar el porcentaje en peso de cada una de las distribuciones de tamaño.

Para determinar la composición mineralógica preliminar de las muestras e identificar las partículas de carbón, se realizaron análisis visuales con lupa binocular en el laboratorio de petrografía de la Universidad Andrés Bello (Viña del Mar). Se estimó una concentración según la cantidad de granos en el rango visual de la lupa. En una segunda etapa, se confeccionaron briquetas de sedimentos para su análisis petrográfico con un microscopio polarizante Nikon ECLIPSE LV100POL en los laboratorios de microscopía óptica de la Universidad Andrés Bello. En una tercera etapa se realizaron análisis en muestras seleccionadas con un microscopio electrónico (SEM/EDS) y difracción de Rayos X.

Finalmente, los resultados de los datos de carbón mineral de cada estación fueron integrados en mapas interpolados por el método de inverso a la distancia y se determinó la tendencia de la distribución espacial superficial de las partículas de carbón.

Cabe señalar que el método de interpolación de inverso a la distancia consiste en estimar un valor intermedio desconocido en base a los valores conocidos más próximos al punto que se quiere estimar. Los valores obtenidos fueron calculados con el software ArcGIS y el método se rige según la ecuación:

$$z_p = \frac{\sum_{i=1}^n \frac{z_i}{(d_i)^\alpha}}{\sum_{i=1}^n \frac{1}{(d_i)^\alpha}}$$

Donde:

z_p : Valor estimado en el Punto p .

n : Número de puntos usado en la interpolación.

z_i : Es el valor conocido en el i -ésimo punto.

d_i : Distancia desde el punto conocido i al punto a estimar p .

α : Potencia del inverso de la distancia

2.3.2. Tomografía computarizada en cores de sedimento

Antes de la apertura de los testigos, se realizaron análisis con tomografía computarizada de rayos-X en el Centro de Imagenología del Hospital Clínico de la Universidad de Chile, con equipo SOMATOM Definition Edge, de Siemens (Fig. 10) para obtener un modelo 3D de las estructuras internas de los sedimentos al interior del tubo. Luego de este proceso, los testigos fueron congelados para no alterar las estructuras al abrirlos con sierra en su sección longitudinal, esto fue realizado en el laboratorio de sedimentología de la Universidad Andrés Bello. Las

secciones descubiertas fueron analizadas con lupas binoculares en el laboratorio de petrografía de la Universidad Andrés Bello.

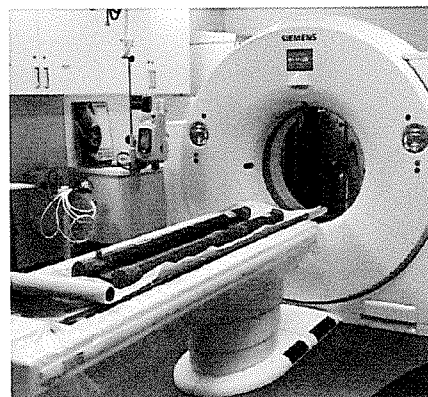


Figura 10. Equipo para obtener tomografía computarizada, modelo SOMATOM Definition Edge, marca Siemens, del Hospital Clínico de la Universidad de Chile.

2.3.3. Datación por radiocarbono en cores de sedimento

Debido a la naturaleza del sedimento de todos los testigos, granos muy poco consolidados y relativamente gruesos, no fue posible datar los testigos por el método geocronológico del ^{210}Pb , método que se había propuesto inicialmente, ya que este método requiere sedimentos de partículas micrométricas que permitan acumulación de este isótopo, por lo que se optó por datar los testigos a través de ^{14}C con fragmentos de conchas presentes en distintas secciones de cada testigo. En total se seleccionaron 6 muestras de las cuales 4 correspondieron a fragmentos de conchas de bivalvos y 2, a materia orgánica vegetal. Las muestras fueron analizadas en Miami, EE. UU., por Beta Analytic Radiocarbon Dating Laboratory. El detalle de las muestras datadas se encuentra en la Tabla 5.

Las edades obtenidas (Conventional Radiocarbon Ages) fueron corregidas para los efectos de fraccionamiento total, con datos de calibración de Hogg et al. (2013) y Reimer et al. (2013), acreditadas según las normas ISO/IEC 17025:2005.

Las edades convencionales de radiocarbono (Conventional Radiocarbon Ages) y los sigmas (de error) fueron redondeados al múltiplo de 10 más cercano y tuvieron un valor mínimo de +/- 30 años, según la norma establecida en la Conferencia Internacional de Radiocarbono de 1977.

2.3.4. Difracción de Rayos X (DRX)

La difracción de Rayos X se realizó a 9 muestras en el Laboratorio de Análisis de Solidos de la Universidad Andrés Bello (LAS-UNAB) en un Difracómetro D8 Advance con detector lineal LynxEyer para muestras policristalinas. Las muestras bajo las 5.000 cuentas no fueron aptas para la cuantificación. La identificación se realizó automáticamente con el software Diffrac Suite (Difrac.EVA v4.1) y la base de datos del COD (Crystallography Open Database, versión 2018). El detalle de las muestras analizadas se encuentra en la Tabla 6.

2.3.5. Microscopía Electrónica de Barrido (SEM) y Espectroscopia de Energía Dispersiva (EDS)

Los análisis con SEM/EDS se realizaron en el Laboratorio Central de Microscopía del Instituto de Física de la Universidad Nacional Autónoma de México en 17 muestras. La caracterización se realizó en el microscopio electrónico de barrido de alta resolución JEOL JSM 7800F, el cual está equipado con un detector de EDS de la marca Oxford Instruments, Modelo X-maxn. Se localizaron las zonas para estudiar en un microscopio óptico y se marcaron las partículas de interés. Para la adquisición de imágenes se utilizaron electrones secundarios a 1 kV. El voltaje de aceleración para los EDS fue de 10kV. Para el análisis se obtuvieron tres EDS de la muestra de control (QV-PV-A), para confirmar los porcentajes patrones de los elementos químicos carbono, oxígeno y azufre en partículas de carbón.

3. Resultados

3.1. Granulometría, composición e identificación del carbón en muestras sedimentológicas

El 100% de las muestras (22 en total) de sedimentos superficiales del fondo de la Bahía Quintero sector caleta Ventana, correspondió a sedimentos tipo arena (clasificación textural), en rangos de porcentajes de tamaños que variaron entre 90,6% a 100% (2 mm y 0,062 mm) y tamaños limo-arcilla, entre 0% a 9,4% (< 0,062 mm). La Tabla 1 resume los resultados obtenidos. En el Anexo "A" se presentan descripciones detalladas de cada muestra.

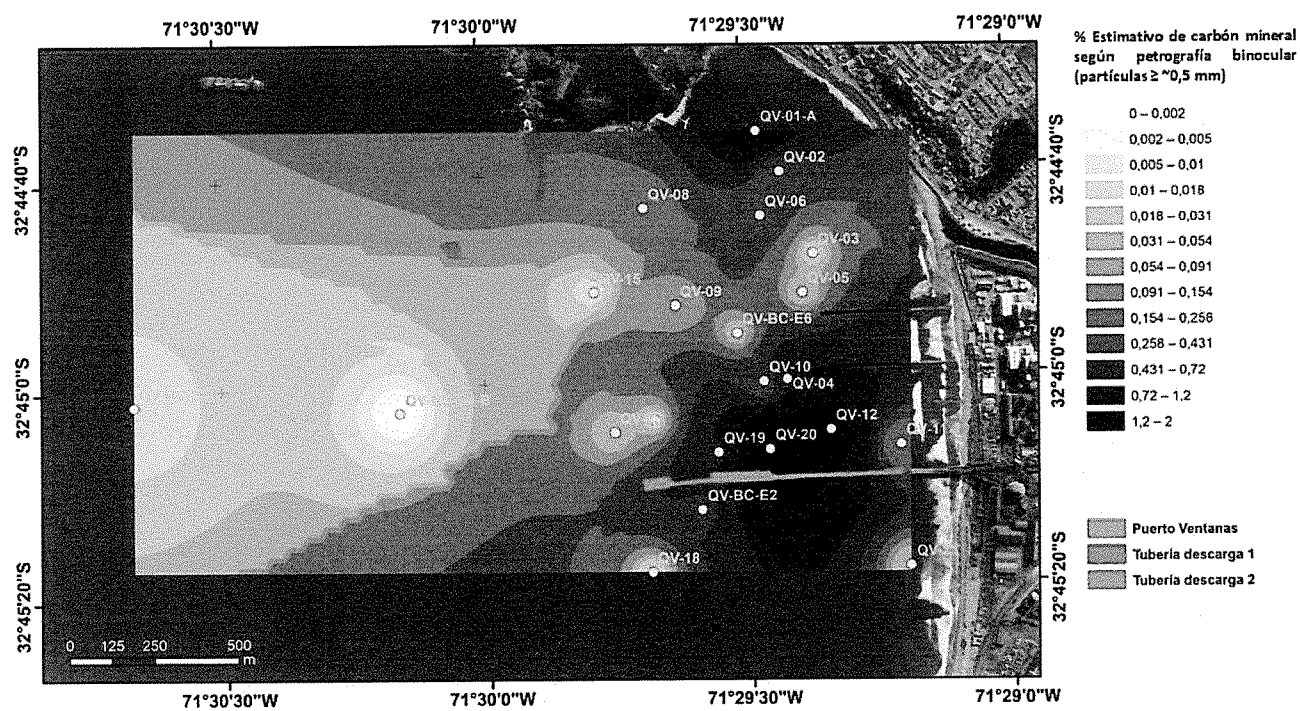
Las muestras fueron obtenidas entre profundidades de 5 a 50 m, siendo éstas compuestas principalmente de granos de cuarzo (> 60%) y de materiales líticos. Materiales biogénicos con mayores proporciones (restos de conchas de bivalvos y otros) fueron encontrados asociados principalmente a sitios alejados de la costa. No hubo una distinción entre los tipos de arena (clasificación granulométrica) y sus componentes, por ejemplo, el cuarzo dominó en las muestras independientemente del tamaño del grano, así también la presencia del carbón.

El 68 % de las muestras presentaron carbón, siendo las muestras QV-01, QV-04, QV-12 y QV-20, las que presentaron una mayor concentración, siendo la QV-20, aquella con una mayor concentración en relación con las demás, con un valor de 2 %. Esta última muestra se ubicó al costado norte del muelle Ventanas. En general, las muestras con mayores concentraciones se localizaron cercanas a la QV-20. Sólo trazas muy pequeñas se encontraron en las demás muestras, por lo anterior, es que se asignó un valor de 0,01 % de concentración, dada la dificultad de cuantificar con los métodos visuales.

La figura 11 muestra el mapa de la tendencia de la distribución espacial de la concentración de carbón en el área de estudio. En general, el carbón se encuentra distribuido sobre el fondo del mar en toda el área de estudio ubicado en la bahía Quintero sector caleta Ventana. Las máximas concentraciones, según esta metodología, se encuentran entre el muelle Ventanas y las tuberías AES GENER Unidad 1 y 2 y Unidad 2 y 3, específicamente en el sector central del muelle. Mayores concentraciones también se encontraron en el sector próximo a la playa norte de caleta Ventana, casi en frente de las instalaciones de los pescadores artesanales.

Tabla 1. Resultados del análisis granulométrico y % estimativo de carbón mineral según petrografía binocular (partículas $\geq 0,5$ mm) en las muestras superficiales del fondo marino de la Bahía de Quintero-Ventana.

Muestra	Latitud	Longitud	Profundidad [m]	Distribución de tamaños de grano [%]			Clasificación textural [Folk, 1974]	Clasificación granulométrica	Componente principal	Carbón [%]
				Arena	Limo - Arcilla					
				[> 2 mm]	[2-0,062 mm]	[< 0,062 mm]				
QV-01-A	32°44'36.3"S	71°29'27.9"W	5,3	-	100	-	Arena	Arena muy fina	Cuarzo (75%)	1,00
QV-02	32°44'40.3"S	71°29'25.3"W	7,6	-	97,4	2,6	Arena	Arena muy fina	Cuarzo (65%)	0,10
QV-03	32°44'48.3"S	71°29'21.7"W	8,5	-	99,7	0,3	Arena	Arena fina	Cuarzo (67%)	0,00
QV-04	32°45'00.3"S	71°29'25.0"W	12	-	99,2	0,8	Arena	Arena fina	Cuarzo (60%)	0,50
QV-05	32°44'52.0"S	71°29'23.0"W	9,5	-	98,9	1,1	Arena	Arena muy fina	Cuarzo (78%)	0,00
QV-06	32°44'44.5"S	71°29'27.6"W	11,4	-	98,7	1,3	Arena	Arena muy fina	Cuarzo (65%)	0,20
QV-08	32°44'43.5"S	71°29'41.0"W	10,5	-	99,9	0,1	Arena	Arena media	Bivalvos (39%) Líticos (30%)	0,10
QV-09	32°44'53.0"S	71°29'37.6"W	14,6	-	99,2	0,8	Arena	Arena fina	Cuarzo (65%)	0,02
QV-10	32°45'00.5"S	71°29'27.7"W	13,8	-	99,2	0,8	Arena	Arena media	Cuarzo (80%)	0,01
QV-11	32°45'06.8"S	71°29'12.2"W	8,1	-	99,1	0,9	Arena	Arena fina	Cuarzo (63%)	0,00
QV-12	32°45'05.2"S	71°29'20.2"W	14,1	-	99,5	0,5	Arena	Arena media	Cuarzo (68%)	1,00
QV-13	32°45'05.0"S	71°29'44.9"W	17,5	-	99,9	0,1	Arena	Arena muy gruesa	Cuarzo (44,89%) Líticos (25%)	0,01
QV-15	32°44'51.6"S	71°29'46.8"W	18	-	100,0	0,0	Arena	Arena muy gruesa	Líticos (40%) Cuarzo (35%)	0,01
QV-18	32°45'18.4"S	71°29'41.0"W	22,6	-	100,0	0,0	Arena	Arena gruesa	Cuarzo (62%)	0,00
QV-19	32°45'07.1"S	71°29'33.1"W	17,8	-	99,5	0,5	Arena	Arena fina	Cuarzo (70%)	0,40
QV-20	32°45'06.9"S	71°29'27.2"W	13,7	-	99,8	0,2	Arena	Arena fina	Cuarzo (70%)	2,00
QV-21	32°45'18.4"S	71°29'11.4"W	7,5	-	99,8	0,2	Arena	Arena fina	Cuarzo (70%) Cuarzo (55%) Feldespato potásico (26,8%)	0,00
QV-BC-E2	32°45'12.5"S	71°29'35.2"W	17	-	99,2	0,8	Arena	Arena fina	Cuarzo (33%) Gastrópodos (25%)	0,20
QV-BC-E3	32°45'01.3"S	71°30'39.7"W	54	-	90,6	9,4	Arena	Arena muy fina	Conchas (50%) Líticos (40%)	0,01
QV-BC-E4-B	32°45'02.6"S	71°30'09.4"W	30	-	99,8	0,2	Arena	Arena muy gruesa		0,00
QV-BC-E5	32°45'03.9"S	71°29'40.3"W	18	-	99,9	0,1	Arena	Arena muy gruesa	Líticos (45%) Cuarzo (40%)	0,00
QV-BC-E6	32°44'55.8"S	71°29'30.6"W	15	-	99,5	0,5	Arena	Arena fina	Cuarzo (73,39%)	0,01



Quillota 980, Viña del Mar, CHILE. Fono: (56) 32 2845589

3.2. Difracción de Rayos X (DRX)

Los resultados de difracción de Rayos X indican que en promedio un 53,13% de las partículas fueron reconocidas como fases cristalinas, mientras que el 46,87% restante corresponden a partículas sin identificar (amorfos). Entre los grupos minerales identificados se encuentran feldespatos, óxidos, aluminosilicatos, micas, piroxenos, fosfatos, carbonatos, olivinos, zeolitas, perovskitas, arcillas, carburos, anfiboles, sulfuros, cloruros y carbón mineral. Entre los minerales con mayores porcentajes semi-cuantitativos identificados en las muestras se encuentran: plagioclasas, cuarzos, feldespatos potásicos, piroxenos y muscovitas. En el Anexo "B" se muestran los resultados en detalle.

Las fases en base a carbono se identifican como carbonatos, carburos y carbón mineral. Entre los carbonatos se encuentran calcita, dolomita, vaterita rodocrosita y siderita, entre los carburos cementita y moissanita y entre el carbón mineral, lignito y carbón puro (carbono y/o grafito).

La muestra de control (QV-PV-A), la cual corresponde a arena negra de un evento de varamiento, presenta un valor semi-cuantitativo de 4,95% de carbono puro más lignito, siendo la única muestra en la que se reconoce lignito a través de este método. Las muestras de fondo marino varían entre 0% a 2,21% (semi-cuantitativo) de carbono puro, encontrándose el valor más alto en la muestra QV-11 (Fig. 12). Los carbonatos y carburos no se consideran porque corresponden a minerales que existen naturalmente, ya sea como fragmentos de otros minerales o rocas transportados por los procesos geológicos sedimentarios hasta la bahía, porque constituyen la estructura cristalina de las conchas de bivalvos y gastrópodos o porque cristalizan *in situ* con los iones disueltos que se encuentran en el agua y/o los sedimentos.

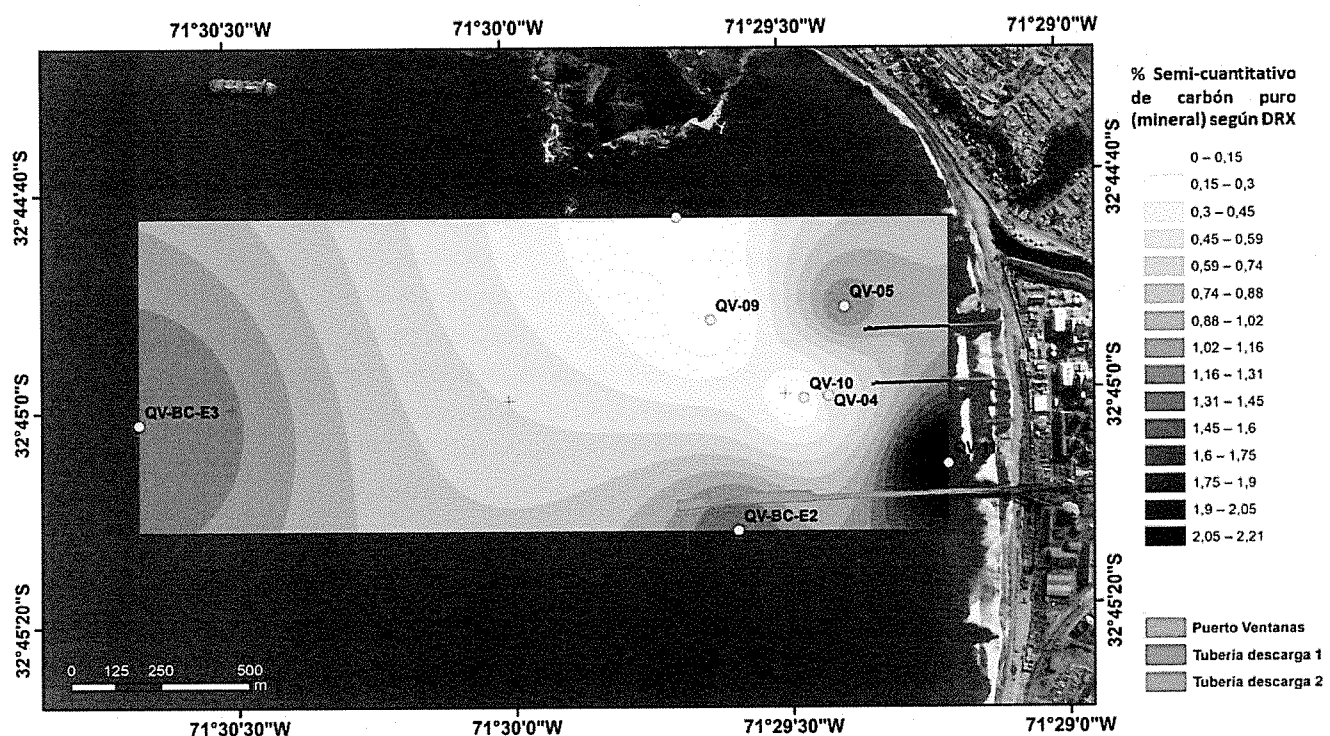


Figura 12. Mapa interpolado de la tendencia espacial de la distribución de carbón puro (mineral), según DRX, en el fondo marino superficial en el área de estudio. El método de interpolación corresponde al inverso a la distancia (IDW). Se indica la posición y los números correlativos de las estaciones de muestreo, así como la concentración de cada sitio en escala de color.

Quillota 980, Viña del Mar, CHILE. Foto: (56) 32 2845589

3.3. Microscopia Electrónica de Barrido (SEM) y Espectroscopía de Energía Dispersiva (EDS)

Las partículas especificadas analizadas en cada muestra indican que el 43,75% corresponden a partículas de carbón mineral, mientras que el 56,25% restante corresponden a minerales de óxidos de hierro tales como magnesioferrita, qandilita, hematita, ilmenita, högbomita, además de aluminosilicatos y piroxenos. Las partículas de carbón mineral contienen entre un 39,98% a 94,53% de carbono (Tabla 2), y en menor porcentaje presentan azufre, aluminio, silicio, hierro y/o magnesio. Las partículas de óxidos de hierro presentan carbono debido a la contaminación con la resina epoxi hasta en un 14,28%, como excepción la muestra QV-19 presenta un 32,43% de carbono, sin embargo, esto se debe a que la zona de lectura del SEM/EDS consideró parte de una zona de resina epoxy. Entre las partículas de carbón mineral se identifican cinco sin combustionar y dos combustionadas (Tabla 2). Las partículas combustionadas han perdido sus volátiles por lo que pueden ser clasificadas según su contenido de carbón fijo. Considerando que el rango de carbono en estas partículas varía de 53,17% a 84,83%, se clasifican como carbón bituminoso, coincidente con la clasificación realizada por Cisternas (2019) en base a la reflectancia de la vitrinita en partículas varadas de carbón. La figura 13 muestra el mapa interpolado de la tendencia de la distribución espacial del % de carbono.

Tabla 2. Clasificación de partículas analizadas con SEM/EDS según su composición elemental.

Muestra	Latitud	Longitud	Profundidad [m]	Carbono (%)	Mineral
QV-21	32°45'18.4"S	71°29'11.4"W	7,5	94,53	Carbón
QV-13	32°45'05.0"S	71°29'44.9"W	17,5	84,83	Carbón combustionado
QV-BC-E3	32°45'01.3"S	71°30'39.7"W	54	81,54	Carbón
QV-12	32°45'05.2"S	71°29'20.2"W	14,1	81,1	Carbón
QV-BC-E4-B	32°45'02.6"S	71°30'09.4"W	30	75,17	Carbón
QV-02	32°44'40.3"S	71°29'25.3"W	7,6	53,17	Carbón combustionado
QV-BC-E6	32°44'55.8"S	71°29'30.6"W	15	39,98	Carbón
QV-19	32°45'07.1"S	71°29'33.1"W	17,8	32,43	Piroxeno
QV-03	32°44'48.3"S	71°29'21.7"W	8,5	14,28	Qandilita
QV-20	32°45'06.9"S	71°29'27.2"W	13,7	13,06	Magnesioferrita
QV-BC-E2	32°45'12.5"S	71°29'35.2"W	17	9,41	Qandilita
QV-04	32°45'00.3"S	71°29'25.0"W	12	5,84	Aluminosilicato
QV-08	32°44'43.5"S	71°29'41.0"W	10,5	4,81	Hematita
QV-09	32°44'53.0"S	71°29'37.6"W	14,6	4,29	Ilmenita
QV-18	32°45'18.4"S	71°29'41.0"W	22,6	4,09	Högbomita
QV-11	32°45'06.8"S	71°29'12.2"W	8,1	3,12	Högbomita



Quillota 980, Viña del Mar, CHILE. Fono: (56) 32 2845589

3.4. Normalización de datos e interpolación final

Debido a que los datos de carbón mineral o carbono fueron obtenidos a través de distintas metodologías y, por lo tanto, distintas escalas valóricas, se consideró realizar una estandarización o normalización de los datos para poder compararlos e interpolarlos en único mapa de datos, que indique la distribución de las partículas contaminantes de carbón en el fondo marino de la bahía.

La normalización considera el valor mínimo y máximo obtenido según cada metodología y llevada a una escala de 10 puntos máximos, a modo de ejemplo si una metodología resultó con un valor máximo de 2%, ese valor equivaldría a 10 puntos, y si en otra el valor máximo es 56%, ese valor también equivaldría a 10 puntos. Finalmente se seleccionan para la interpolación el valor máximo obtenido entre todas las metodologías para cada muestra (Tabla 3).

El mapa de interpolación final (Fig.14) indica que los valores máximos de presencia de partículas de carbón mineral se concentran en un radio de 500 m alrededor de las tuberías de descarga de AES Gener con peaks aislados de menor intensidad en la zona norte y oeste. Cabe señalar que Cisternas (2019) detectó carbón mineral en la tubería de descarga de agua de la Unidad 2 de AES Gener, por lo que la presencia de este peak en el fondo marino de la bahía tendría relación con la descarga de esas partículas a través de estas tuberías. Tanto en este trabajo, como en Cisternas (2019) se encontraron partículas de carbón combustionado, lo que indica que estas partículas provienen de una etapa posterior a su utilización en una caldera.

Tabla 3. Datos de Carbón mineral y Carbono según cada metodología. Los valores de cada metodología se encuentran normalizados en escala de 0 a 10. El valor máximo normalizado representa el valor máximo de cada punto entre todos los valores normalizados de todas las metodologías.

Muestra	Latitud	Longitud	Profundidad [m]	Petrografía		DRX		SEM/EDS		Valor Máximo Normalizado
				Carbón mineral [%]	Carbón mineral Normalizado	Carbón mineral [%]	Carbón mineral Normalizado	Carbono [%]	Carbono Normalizado	
QV-01-A	32°44'36.3"S	71°29'27.9"W	5,3	1,00	5,00	-	-	-	-	5,00
QV-02	32°44'40.3"S	71°29'25.3"W	7,6	0,10	0,50	-	-	53,17	5,62	5,62
QV-03	32°44'48.3"S	71°29'21.7"W	8,5	0,00	0,00	-	-	-	-	0,00
QV-04	32°45'00.3"S	71°29'25.0"W	12	0,50	2,50	0,58	2,62	-	-	2,62
QV-05	32°44'52.0"S	71°29'23.0"W	9,5	0,00	0,00	1,14	5,16	-	-	5,16
QV-06	32°44'44.5"S	71°29'27.6"W	11,4	0,20	1,00	-	-	-	-	1,00
QV-08	32°44'43.5"S	71°29'41.0"W	10,5	0,10	0,50	0,00	0,00	-	-	0,50
QV-09	32°44'53.0"S	71°29'37.6"W	14,6	0,02	0,10	0,00	0,00	-	-	0,10
QV-10	32°45'00.5"S	71°29'27.7"W	13,8	0,01	0,05	0,00	0,00	-	-	0,05
QV-11	32°45'06.8"S	71°29'12.2"W	8,1	0,00	0,00	2,21	10,00	-	-	10,00
QV-12	32°45'05.2"S	71°29'20.2"W	14,1	1,00	5,00	-	-	81,10	8,58	8,58
QV-13	32°45'05.0"S	71°29'44.9"W	17,5	0,01	0,05	-	-	84,83	8,97	8,97
QV-15	32°44'51.6"S	71°29'46.8"W	18	0,01	0,05	-	-	-	-	0,05
QV-18	32°45'18.4"S	71°29'41.0"W	22,6	0,00	0,00	-	-	-	-	0,00
QV-19	32°45'07.1"S	71°29'33.1"W	17,8	0,40	2,00	-	-	-	-	2,00
QV-20	32°45'06.9"S	71°29'27.2"W	13,7	2,00	10,00	-	-	-	-	10,00
QV-21	32°45'18.4"S	71°29'11.4"W	7,5	0,00	0,00	-	-	94,53	10,00	10,00
QV-BC-E2	32°45'12.5"S	71°29'35.2"W	17	0,20	1,00	1,32	5,97	-	-	5,97
QV-BC-E3	32°45'01.3"S	71°30'39.7"W	54	0,01	0,05	1,30	5,88	81,54	8,63	8,63
QV-BC-E4-B	32°45'02.6"S	71°30'09.4"W	30	0,00	0,00	-	-	75,17	7,95	7,95
QV-BC-E5	32°45'03.9"S	71°29'40.3"W	18	0,00	0,00	-	-	-	-	0,00
QV-BC-E6	32°44'55.8"S	71°29'30.6"W	15	0,01	0,05	-	-	39,98	4,23	4,23

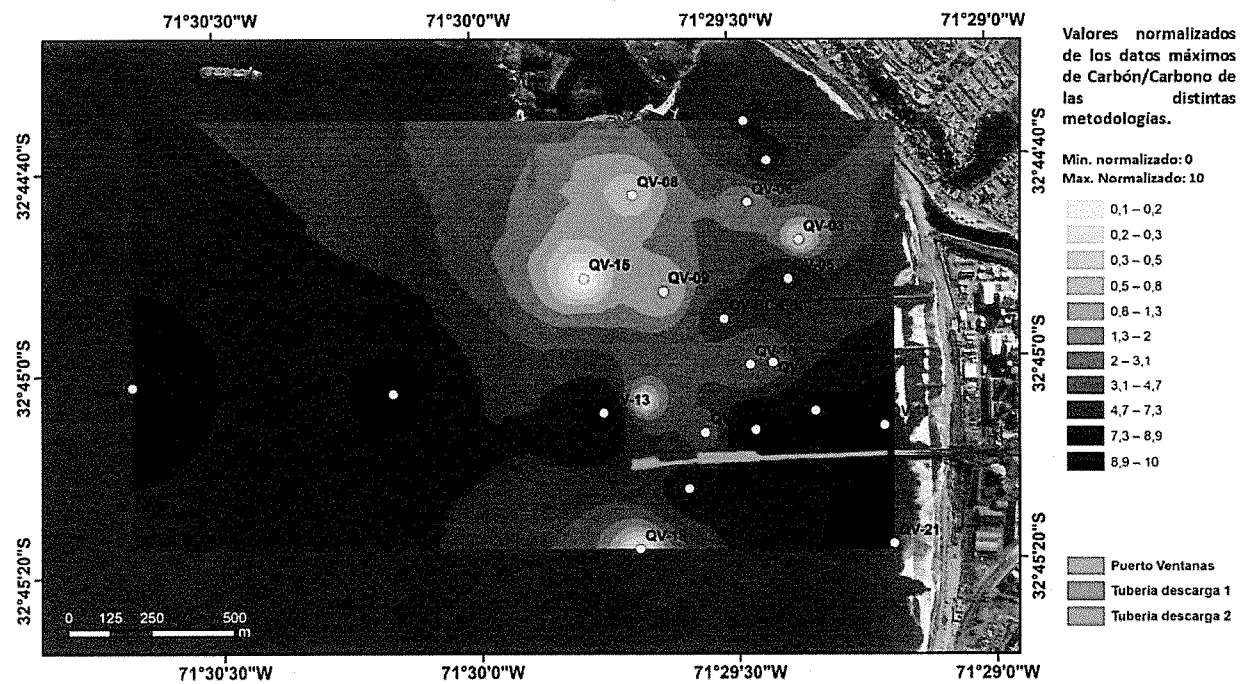


Figura 14. Mapa interpolado de la tendencia espacial de la distribución de los datos normalizados máximos de Carbón/Carbono de las distintas metodologías. El valor mínimo de normalización es 0 y el valor máximo de normalización es 10. Tanto el valor mínimo como máximo de normalización representan el valor mínimo y máximo obtenidos según cada metodología. La normalización de los datos solo considera el dato máximo obtenido entre todas las metodologías por cada muestra. El método de interpolación corresponde al inverso a la distancia (IDW). Se indica la posición y los números correlativos de las estaciones de muestreo, así como el valor de cada en escala de color.

Quillota 680, Viña del Mar, CHILE Fono: (56) 32 2845589

3.2. Morfología submarina

En el sector exterior del muelle Ventanas, las profundidades fluctuaron entre los ~10 y ~60 m, presentándose el fondo marino relativamente plano en las partes más someras (entre 10 y 25 m) (Figs. 15). En el área de caleta Ventana, es decir, al interior de la parte norte de la bahía, las profundidades son menores a 10 m, por lo que se considera un fondo marino muy somero (Fig. 16).

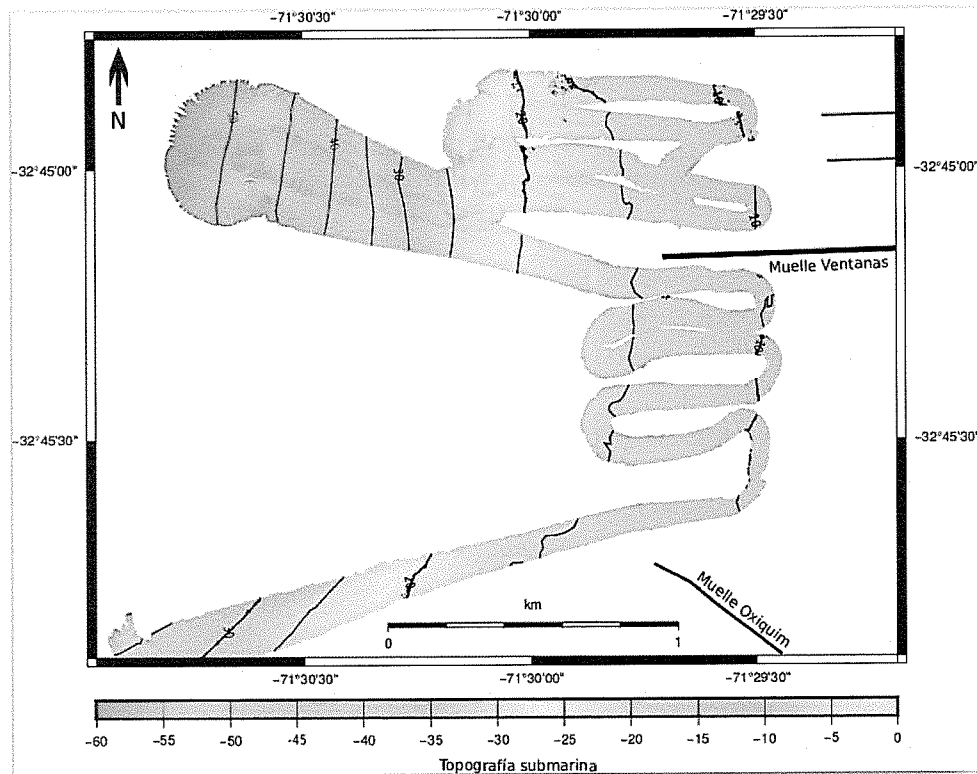


Figura 15. Mapa batimétrico del área de estudio, a partir de datos acústicos obtenidos del levantamiento con sonar multihaz del buque AGS “Cabo de Hornos”. Isóbatas cada 5 m.

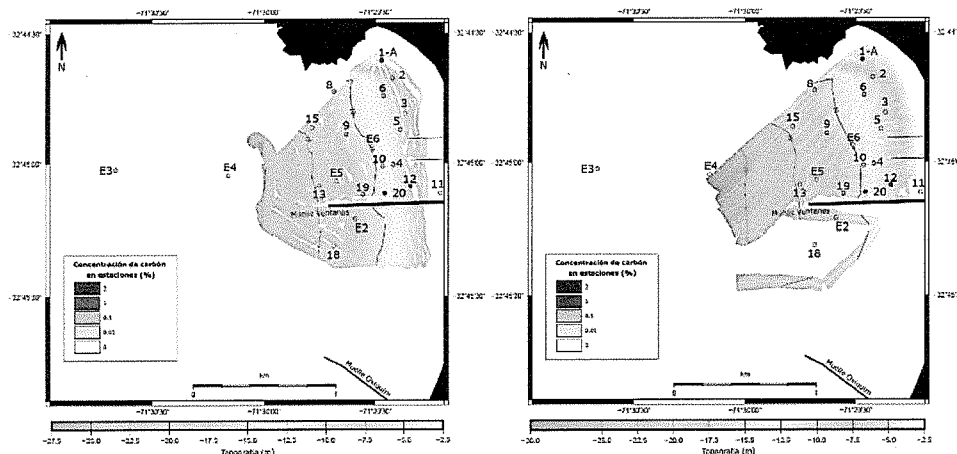


Figura 16. Mapa batimétrico del área de estudio para el sector caleta Ventana, a partir de datos acústicos obtenidos del levantamiento con sonar multihaz de la lancha hidrográfica SHOA. El mapa de la izquierda, para el levantamiento de agosto de 2019; y el de la derecha, el de noviembre de 2019. Isóbatas cada 5 m.

De la observación de la topografía del fondo marino obtenida, se pueden apreciar una serie de formas de fondo (geoformas), que corresponden a estructuras batimétricas positivas o negativas formadas por procesos dinámicos como el transporte por olas y las corrientes de viento y de marea (ver libro de Wright et al., 1999, para información básica sobre formas de fondo). En ocasiones pueden corresponder a deposición por flujos de detritos de materiales desde la costa.

En el área de estudio se reconocen sectores con la presencia de rocas submarinas mayores y otros con rocas aisladas. En la figura 17 se observa, por ejemplo, un grupo de rocas localizado en el sector NNW del área de estudio. Además, alrededor de éstas, existen áreas con rizos de arena ("ripples") con orientación aproximada N-S. Estos rizos de arena son comunes en el área de estudio y, en ocasiones, son cubiertos por barras de arena fina (Fig. 18), las cuales pueden tener una altura sobre el fondo marino de ~1 m (ver perfil de Fig. 18). Estas barras de arena tienden a tener una orientación o rumbo N-S, con formas alargadas, anchos máximos de 100 m y terminando con formas de puntas o flechas.

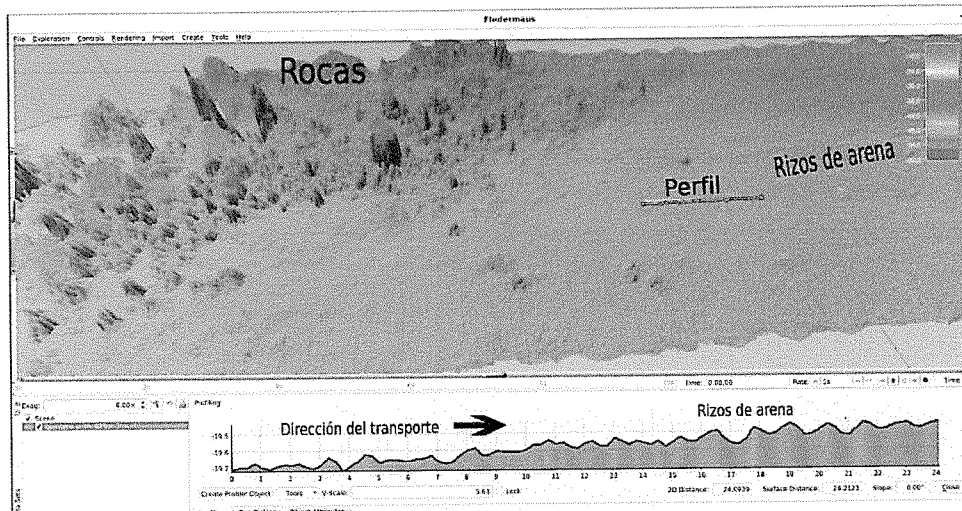


Figura 17. Imagen de la morfología submarina sector NW del área de estudio, donde se aprecian rocas y rizos de arena. Unidades del perfil en metros.

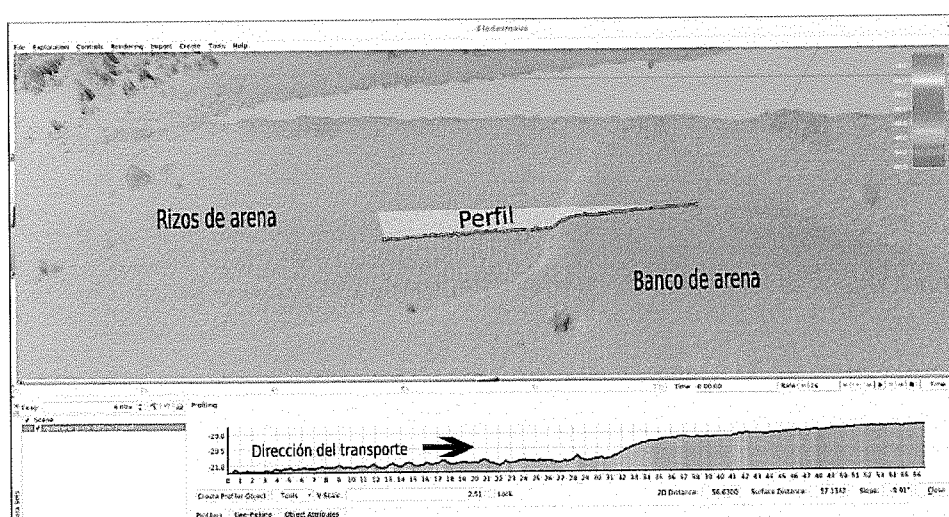


Figura 18. Imagen de la morfología submarina sector Norte del área de estudio, donde se aprecia banco de arena con forma de punta y rizos de arena. Unidades del perfil en metros.

Especialmente en el sector sur del área de estudio (entre muelle Ventanas y muelle Oxiquim), existen geoformas de dunas submarinas (anchos de 8 a 30 m) (Fig. 19), que en ocasiones poseen rizos superpuestos, y zurdos con rumbos N-S y NW-SE (Fig. 20), que también entre éstos se forman estructuras tipo dunas. Aunque en realidad para clasificar una geoforma como "duna" debiera existir alturas comparables a la profundidad, en este caso, tal característica no se cumple, siendo las alturas muy pequeñas comparables más bien a los rizos, pero sus longitudes (distancias entre valle y valle) son bastante más grandes que los rizos, por lo tanto, se consideran como "dunas pequeñas". Éstas también en ocasiones se orientan N-S alargándose, formando estructuras más parecidas a barras.

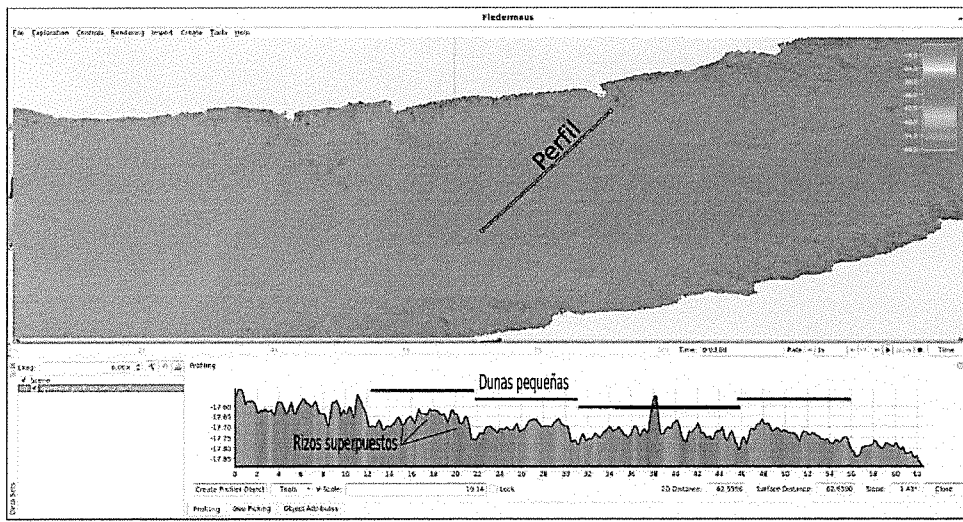


Figura 19. Imagen de la morfología submarina sector Sur del área de estudio, donde se aprecian dunas pequeñas y rizos superpuestos. Unidades del perfil en metros.

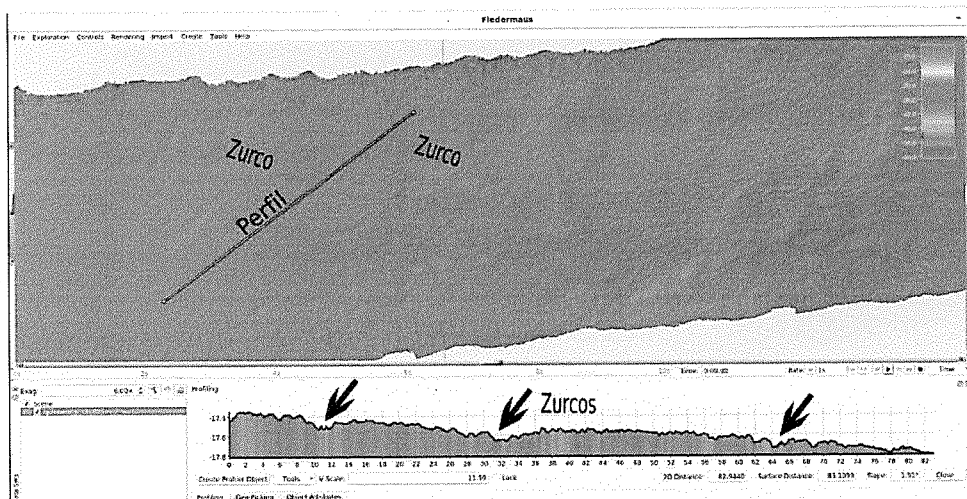


Figura 20. Imagen de la morfología submarina sector Sur del área de estudio, donde se aprecian surcos y estructuras abultadas entre éstos, tipo dunas. Unidades del perfil en metros.

La figura 21 resume en un mapa, las geoformas identificadas a partir del modelo topográfico submarino para el levantamiento batimétrico a bordo del buque "Cabo de Hornos". En ese mapa también se indican las concentraciones de carbón encontradas en las muestras de sedimentos.

Los resultados de los levantamientos batimétricos efectuados por la lancha hidrográfica del SHOA (Figs. 22 y 23), mostraron la presencia de los mismos tipos de geofomas de fondo identificadas por la batimetria del buque "Cabo de Hornos", predominando aquellas de rizos y bancos de arena manteniéndose, aproximadamente, el patrón de transporte de fondo, a pesar de que se realizaron los levantamientos en distintos meses, aunque en el mismo período primaveral. Es así como algunas geofomas de extensiones mayores se mantuvieron espacialmente, como los bancos, ubicados en la parte exterior del muelle Ventanas, con orientaciones aproximadas N-S y con formas de puntas, así también el límite general, al interior de la bahía, entre las arenas con rizos y la de bancos (en la isóbata de ~10 m). Sin embargo, geofomas más pequeñas de las mismas y otras de mayores extensiones, pero al interior de la bahía, variaron considerablemente su distribución y localización, denotándose el carácter dinámico del área en función de la poca profundidad y el efecto del oleaje, especialmente en sectores más cercanos a la costa. Por otro lado, se confirma el transporte contrario en el sector norte de la bahía, en relación al transporte dominante W-E, facilitando la circulación contraria la presencia de rocas en ese lugar.

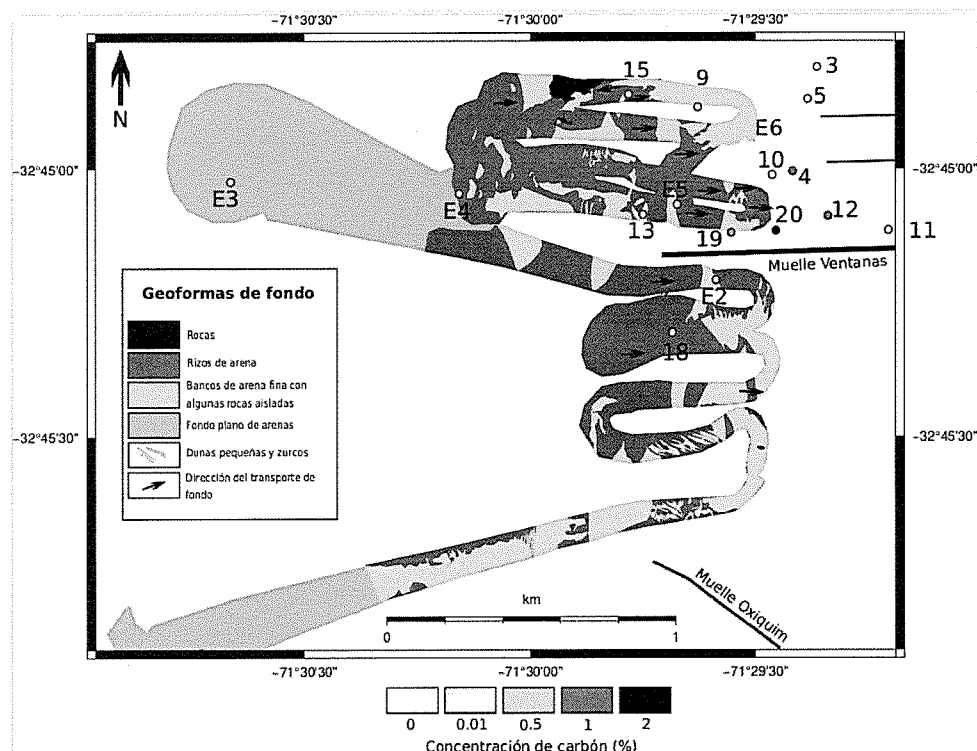


Figura 21. Mapa de la identificación de las geoformas submarinas a partir de los datos batimétricos obtenidos por el buque AGS "Cabo de Hornos" (septiembre 2019). Se muestran también las posiciones de las estaciones de muestreo de sedimentos y la concentración de carbón para cada sitio.

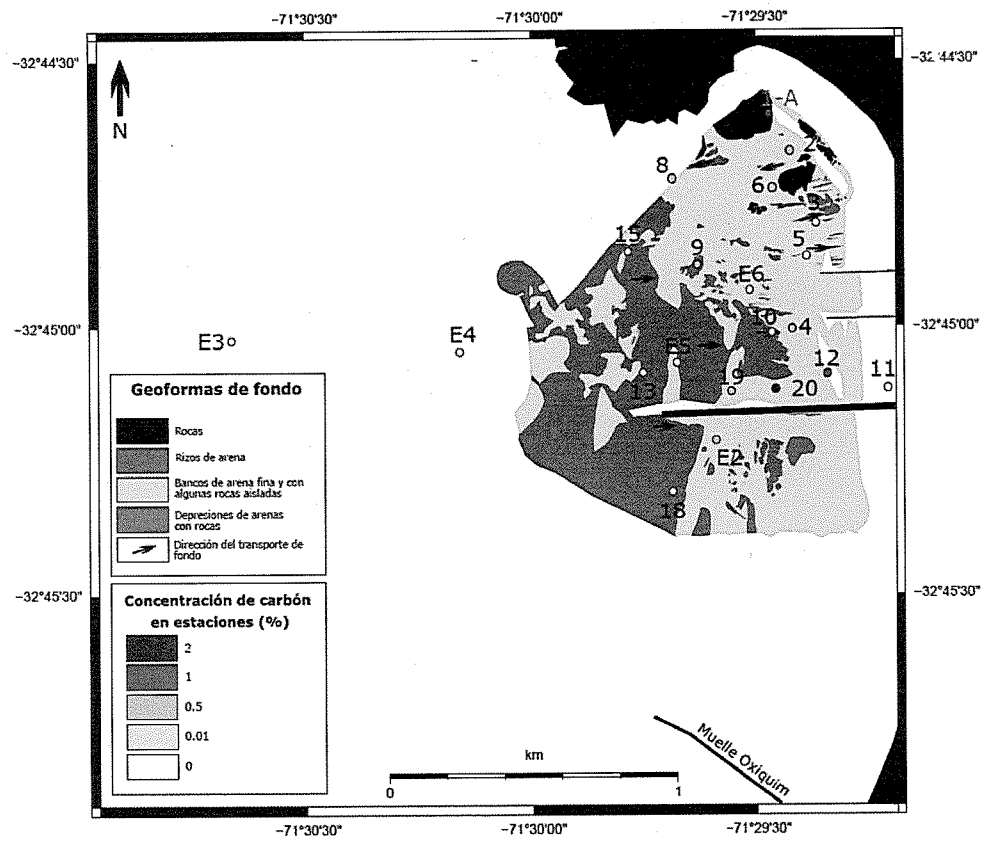


Figura 22. Mapa de la identificación de las geoformas submarinas a partir de los datos batinométricos obtenidos por la lancha hidrográfica SHOA (agosto 2019). Se muestran también las posiciones de las estaciones de muestreo de sedimentos y la concentración de carbón para cada sitio.

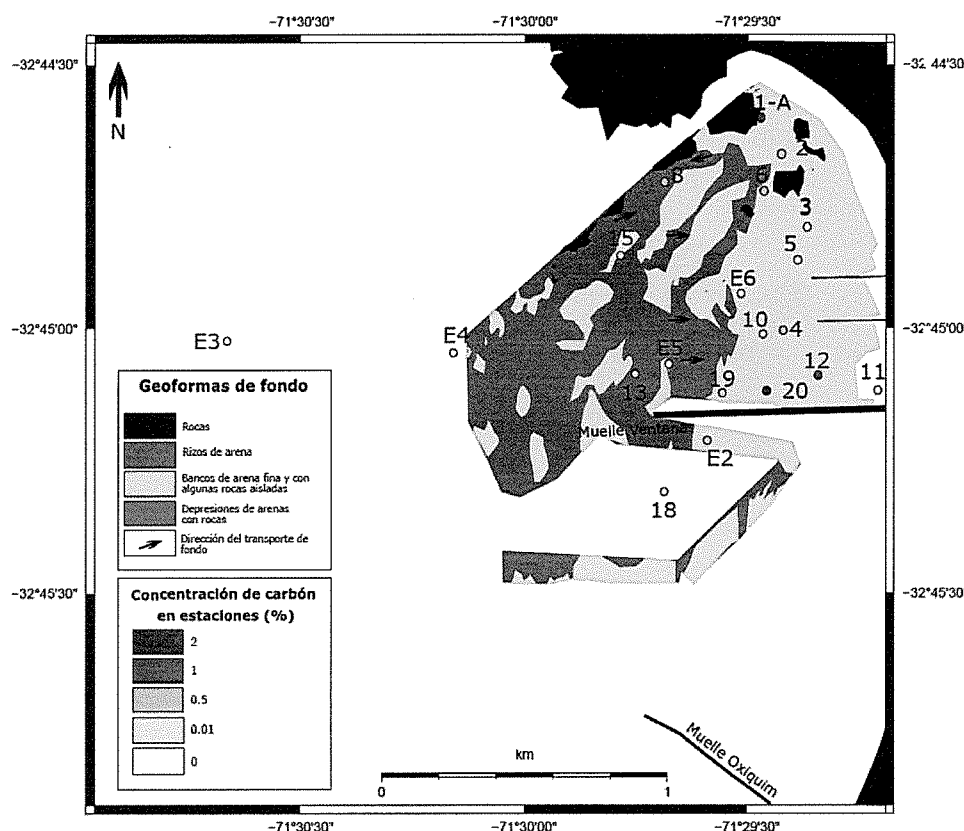


Figura 23. Mapa de la identificación de las geoformas submarinas a partir de los datos batimétricos obtenidos por la lancha hidrográfica SHOA (noviembre 2019). Se muestran también las posiciones de las estaciones de muestreo de sedimentos y la concentración de carbón para cada sitio.

3.3. Backscatter

El sistema de sonar multihaz adquiere datos de amplitud de backscatter, es decir, cantidad de energía acústica reflejada en el fondo marino que llega directamente al transductor. La energía acústica emitida al llegar al fondo se refleja, se absorbe y se dispersa. Lo anterior dependerá de los tipos de materiales y la rugosidad del piso marino. Materiales más finos permitirán mayor absorción y menor energía reflejada, pero tendrán menor rugosidad, que permitirán menor dispersión, pero sumando los efectos, se producirán en general menores valores de amplitud de backscatter. Con los materiales más gruesos y consolidados, ocurrirá lo inverso (Rodrigo, 2006). La existencia de partículas con concentración suficiente de carbón, podrían modificar el comportamiento acústico del fondo. Dada su menor densidad se produciría una mayor absorción comparada a arenas de cuarzo, pero su presencia en el fondo permitiría mayor rugosidad que un fango, por lo tanto, se esperarían, en general, valores intermedios de amplitud de backscatter o bien, sitios con materiales gruesos, mostrarían valores disminuidos (si son partículas pequeñas de carbón) y, sitios con materiales finos, mostrarían aumentados sus valores.

El mapa de la figura 24, muestra una imagen de las variaciones de las amplitudes de backscatter en el área de estudio a partir de los datos acústicos obtenidos por el buque "Cabo de Hornos", donde los tonos más oscuros indican valores con mayor backscatter y, los tonos más claros, menores valores de backscatter, es decir, tonos claros representan materiales más finos y tonos oscuros, materiales más gruesos.

En el mapa se observan que las áreas con distintas tonalidades de grises se correlacionan con el mapa de la identificación de geoformas (Fig. 21). Sitios con rocas y arenas con rizos, tienen mayores valores de amplitud de backscatter, en cambio, sitios con arenas finas como los bancos, tienen valores de amplitudes entre intermedios y bajos. El área más alejada de la costa (donde está la estación E3) tiene el valor más bajo de amplitud de backscatter, indicando que allí se encontrarían los materiales más finos del área de estudio. La información de backscatter muestra un mejor detalle de las estructuras sedimentarias y de rocas del fondo marino, observándose con mejor claridad las dunas y sectores con mezcla de arenas de distintas granulometrías, incluyendo objetos como cables y tuberías (Fig. 25).

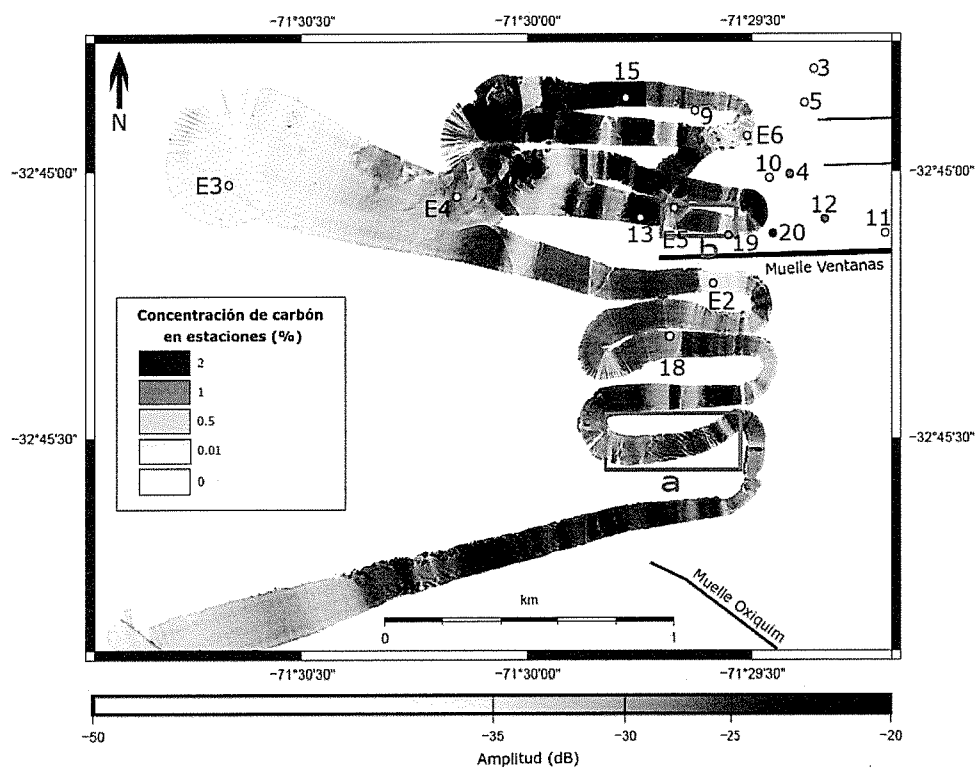


Figura 24. Mapa de amplitud de backscatter, a partir de datos acústicos obtenidos del levantamiento con sonar multihaz del buque AGS "Cabo de Hornos". En los recuadros rojos se indican las áreas de la figura 25. Se muestran también las posiciones de las estaciones de muestreo de sedimentos y la concentración de carbón para cada sitio.

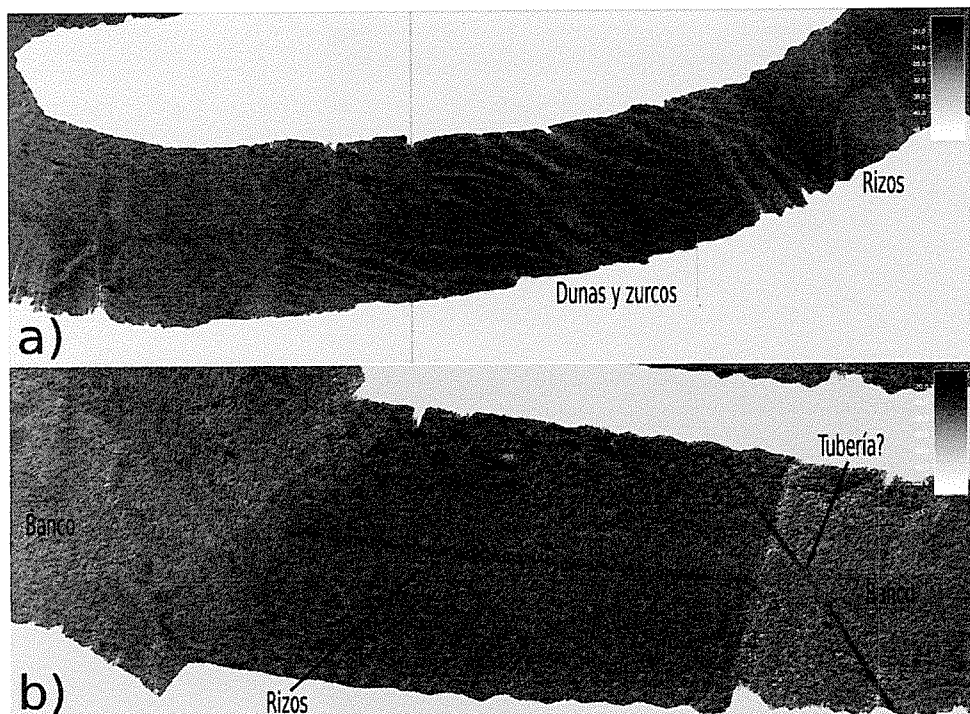


Figura 25. Imágenes de amplitud de backscatter a partir de datos acústicos obtenidos del levantamiento con sonar multihaz del buque AGS "Cabo de Hornos". Se muestran como ejemplo la identificación de geoformas submarinas y una posible tubería. a) Sector sur del área de estudio. b) Sector al norte del muelle Ventanas (ver localización de las áreas en la figura 24).

Al igual que la interpretación morfológica y su asociación con las concentraciones de carbón, con los datos de backscatter no se pudo establecer alguna correlación definitiva entre esos resultados, ya que no se observaron contrastes acústicos importantes que pudieran identificar directamente la presencia de carbón, esto posiblemente debido a que la distribución de carbón el fondo del mar es más diseminada y no tan masiva como se esperaba. Sin embargo, considerando el sector de mayor concentración de carbón ubicado en el lado norte del muelle Ventanas, podría existir una tendencia a que los sitios con mayor concentración de carbón se asocien a los bancos de arena, sin embargo, sitios con rizos de arena podrían también contener carbón y éste depositarse preferentemente en los valles de las ondas (Fig. 26). En otras palabras, la distribución del carbón en el fondo marino podría depender más de la cercanía a la fuente que del tipo de geoforma.

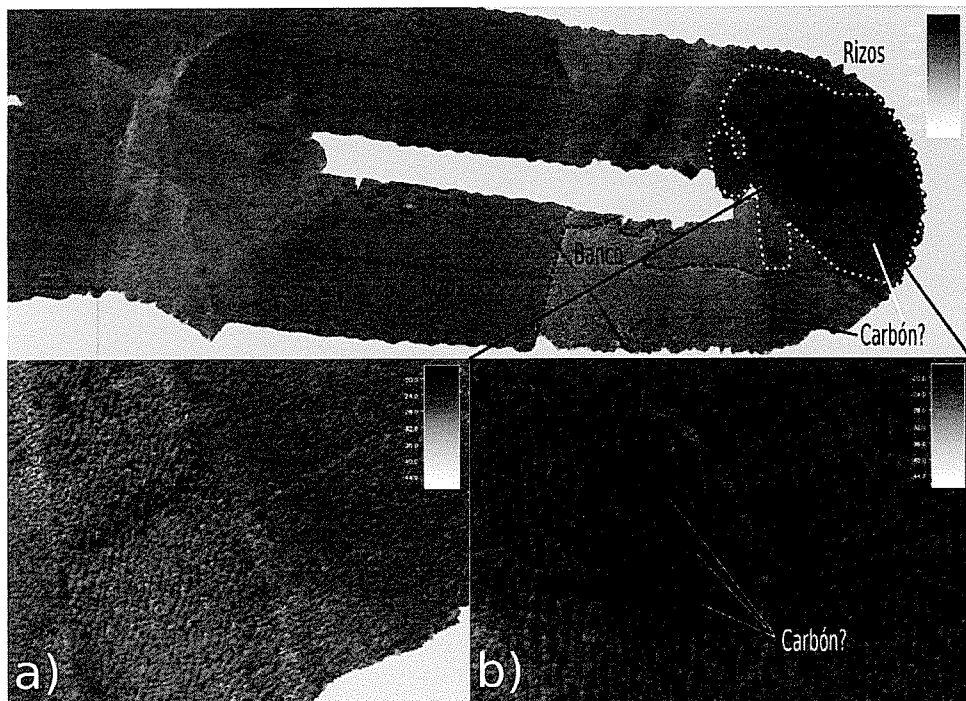


Figura 26. Imágenes de amplitud de backscatter a partir de datos acústicos obtenidos del levantamiento con sonar multihaz del buque AGS “Cabo de Hornos”. La imagen de arriba corresponde al sector norte del muelle Ventanas. Se indica el área del banco de arena con líneas segmentadas y posible límite norte, dentro de esta área, de una subárea de mayor concentración de carbón con líneas punteadas. Este carbón sobrepasaría el banco (área con linea punteada blanca), ubicándose sobre los rizos de arena y concentrándose más en los valles de los rizos. a) Sector Sur del área de estudio con rizos para comparación. b) Ampliación del sector norte del muelle Ventanas con rizos. Se observa un patrón diferente con respecto a “a” y de otros sitios del área de estudio con rizos.

Finalmente, el mapa de la interpretación de las amplitudes de backscatter y su correlación con la granulometría de sedimentos se presenta en la figura 27, encontrándose una buena correlación entre éstos, sin embargo, no es posible aún establecer asociaciones definitivas dada la falta de información, aunque se observa una tendencia a que exista mayor concentración de carbón en áreas de arenas finas, sin descartar áreas con arena muy gruesa con rizos.

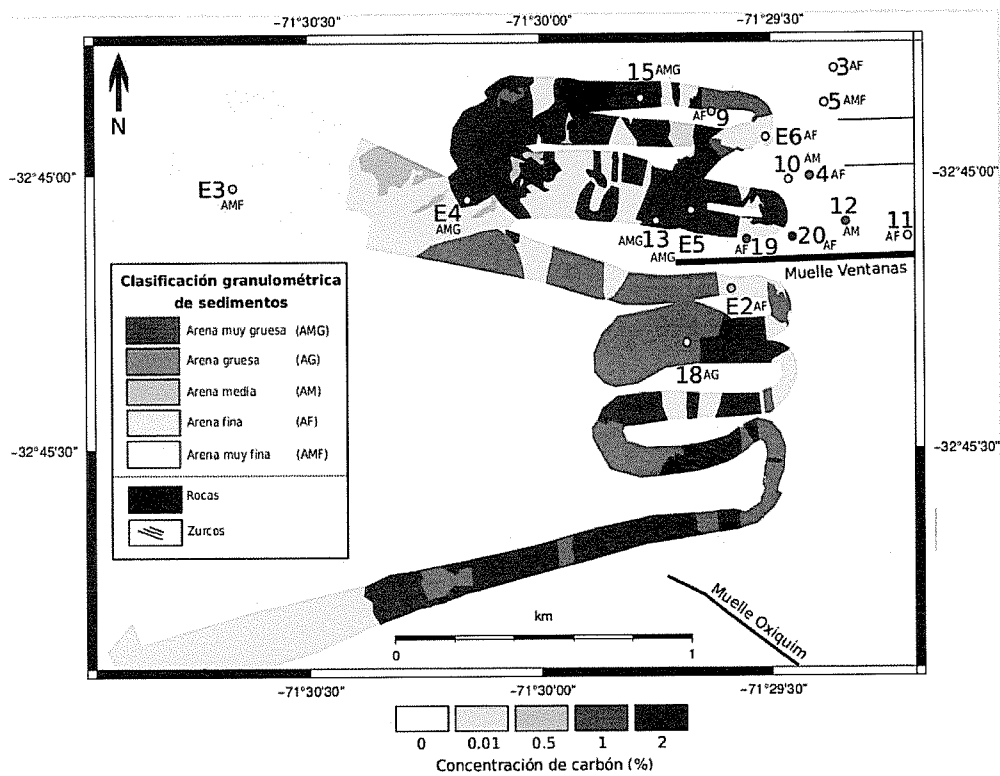


Figura 27. Mapa de la asociación entre el backscatter acústico, obtenido por el buque AGS "Cabo de Hornos", y la granulometría de sedimentos. El detalle de los datos granulométricos de cada muestra se encuentra en la Tabla 1.

Del mismo modo que para la figura 24, se obtuvo el mapa de backscatter para los datos obtenidos por la lancha hidrográfica SHOA en agosto de 2019 (Fig. 28), el cual se correlacionó bien con la interpretación de la topografía submarina y la identificación de geoformas, pero con mejor resolución. A partir de estos datos, se confeccionó el mapa de interpretación de backscatter y su asociación con la granulometría (Fig. 29). De estos mapas, se aprecia que las arenas finas y medias tienden a concentrar más carbón que otras más gruesas, como fue hipotetizado previamente según los valores de backscatter esperado, sin embargo, no se aprecian áreas que pudieran ser

asignadas exclusivamente a depósitos de carbón dado, posiblemente, a su carácter diseminado, por lo que se necesitarían tecnologías de mayor resolución (por ejemplo, ROVs, LIDAR, etc), además de inspección visual, para realizar dichas correlaciones.

Por otra parte, no fue posible obtener datos de calidad de backscatter para el levantamiento de noviembre de 2019, debido a problemas con el computador de a bordo de la lancha.

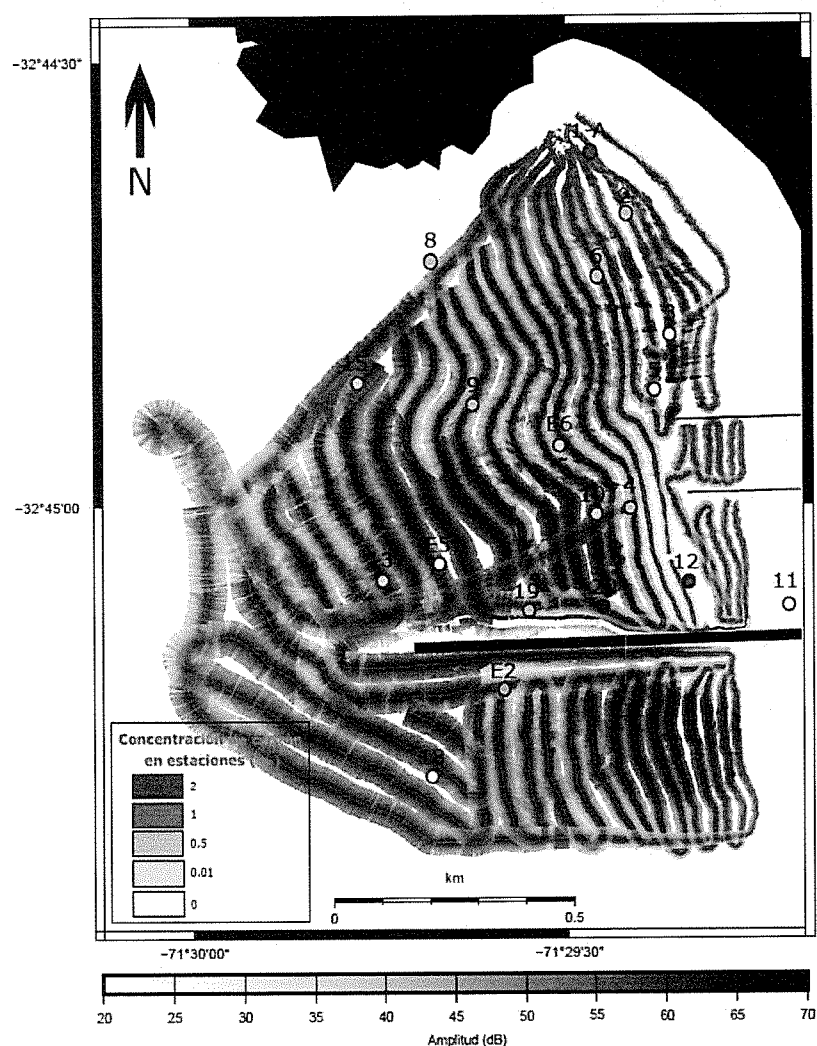


Figura 28. Mapa de amplitud de backscatter, a partir de datos acústicos obtenidos del levantamiento con sonar multihaz de la lancha hidrográfica SHOA en agosto 2019. Se muestran también las posiciones de las estaciones de muestreo de sedimentos y la concentración de carbón para cada sitio.

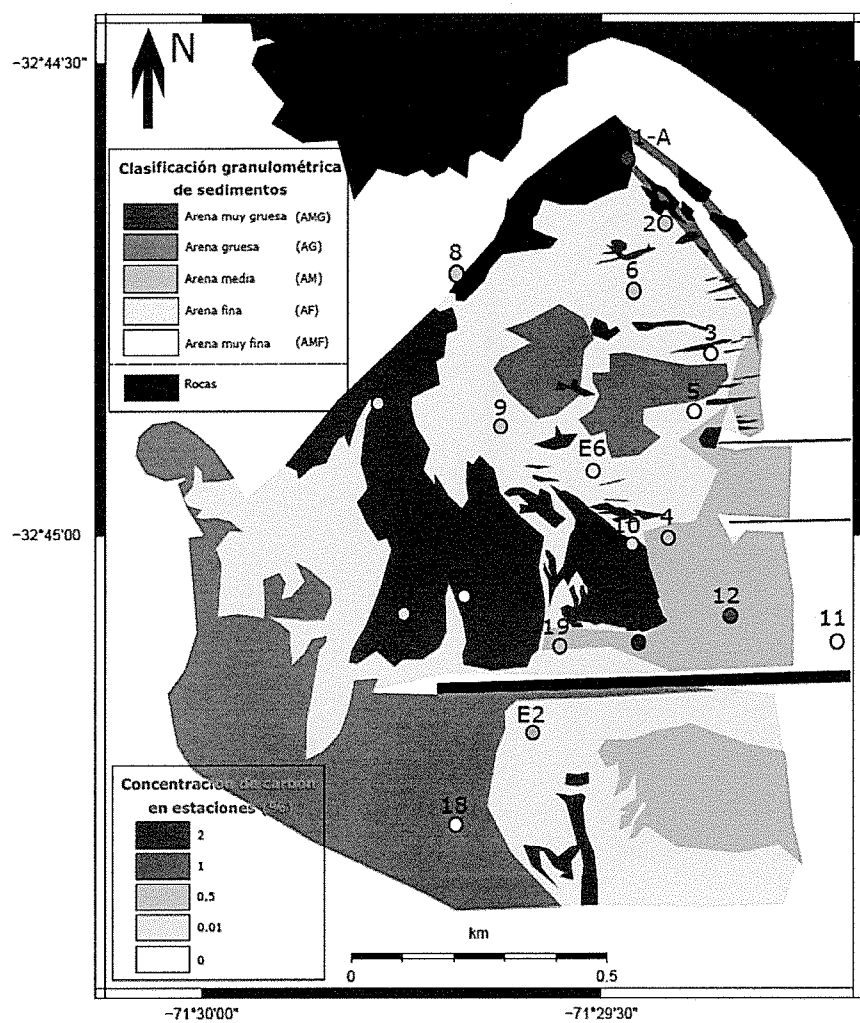


Figura 29. Mapa de la asociación entre el backscatter acústico, obtenido de los datos de la lancha hidrográfica SHOA en agosto 2019, y la granulometría de sedimentos.

3.4. Registros de sub-bottom profiler (SBP)

Durante el levantamiento con el buque "Cabo de Hornos" en septiembre de 2019, se utilizó el SBP de abordo para inspección del subfondo marino y verificar estratificaciones para, además, correlacionar con los testigos de sedimentos. Sin embargo, dado el carácter granulométrico del fondo marino, dominado por arenas gruesas a medias, en general el equipo no pudo penetrar lo suficiente como para realizar un análisis adecuado. La figura 30a muestra un registro de ejemplo en la parte norte de muelle Ventanas, donde se muestra la alta intensidad de reflexión en el fondo marino y luego un estrato más notable a un metro de profundidad del fondo. La figura 30b, localizada en la estación 15, muestra la alta reflectividad del fondo marino y sin penetración.

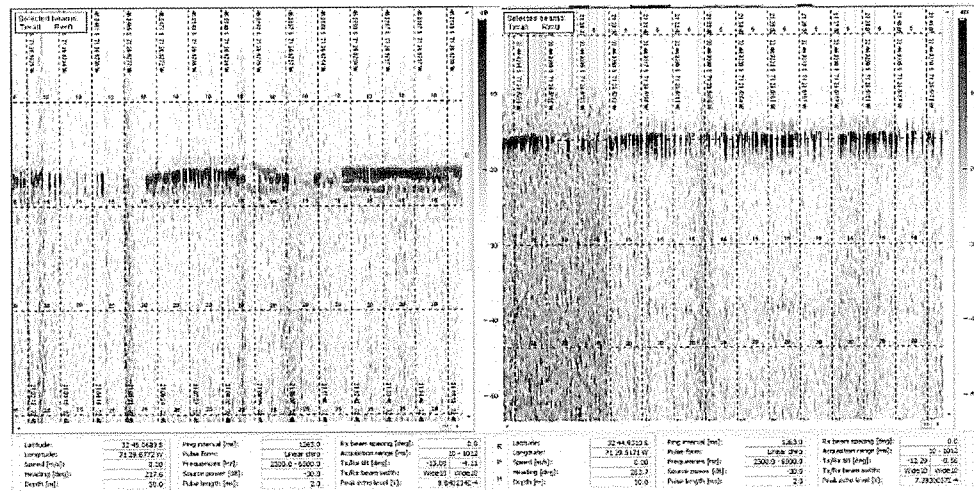


Figura 30. Registros de SBP obtenidos por el buque "Cabo de Hornos" en septiembre de 2019. a. Al norte del muelle Ventanas. b. En la estación 15 (ver Fig. 21 para conocer su localización).

3.5. Registros visuales submarinos y de superficie

Los registros visuales submarinos corresponden a fotografías y videos realizados por los buzos Armada en los sitios de muestreo de los testigos de sedimentos. De la figura 31, se observa que el carbón está distribuido de forma diseminada, sin embargo, se observó en cantidades variables en toda el área de estudio. Estos se mostraron en mayor cantidad en el costado norte del muelle Ventanas y en la parte norte de la bahía más cerca de la playa. En general, el carbón tendió a distribuirse en los valles de los rizos de arena y en los bordes de bancos de arena, así como mostraron las imágenes de backscatter.

Durante el levantamiento con la lancha hidrográfica SHOA en noviembre de 2019, se pudo observar material negro desplazándose sobre y cercano al fondo marino durante un período de las llamadas "varazones de carbón". Éstos fueron observados más notoriamente entre el muelle Ventanas y los ductos de AES-Gener (Fig. 32). Este material se desplazaba conforme el movimiento de las olas, alcanzando finalmente la playa. Sin embargo, no se puede asegurar que sea carbón dado que no se tomaron muestras.

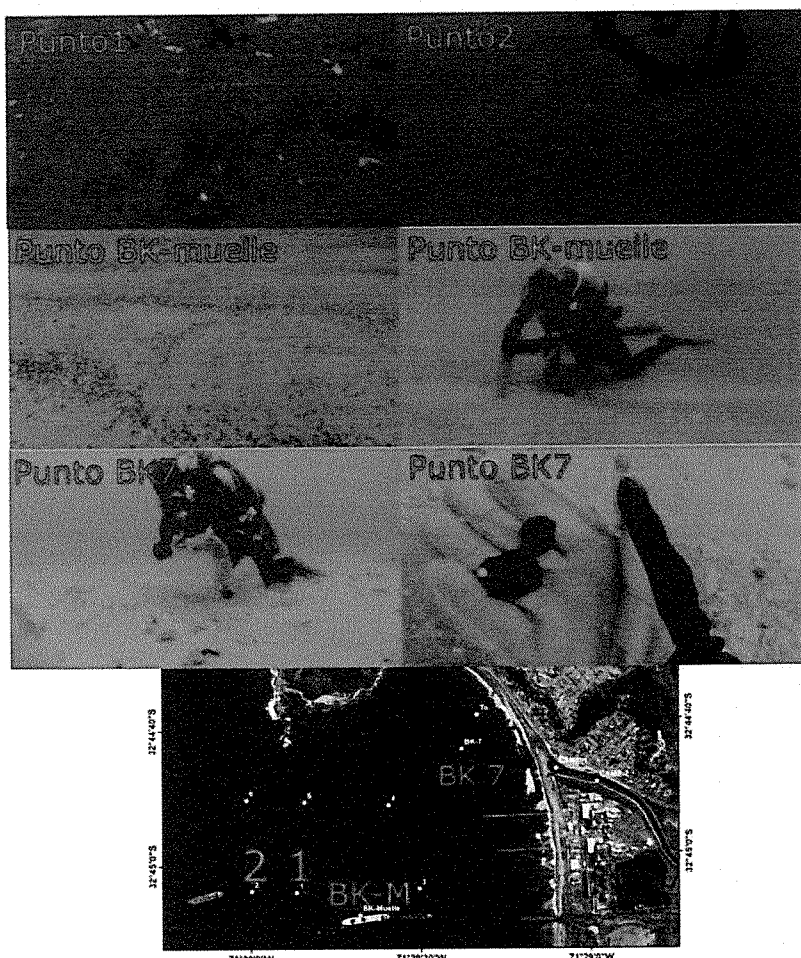


Figura 31. Fotografías-videos de buzos Armada en sitios de muestreo. Punto 1: carbón se observa en los valles de rizos de arena. El muestreo se hizo en un lugar cercano sin carbón superficial. Punto 2: No se aprecia carbón. Punto Bk-muelle. Mayor concentración de carbón de tamaños de 1 a 7 cm. Punto Bk7: Tamaños variables de carbón.

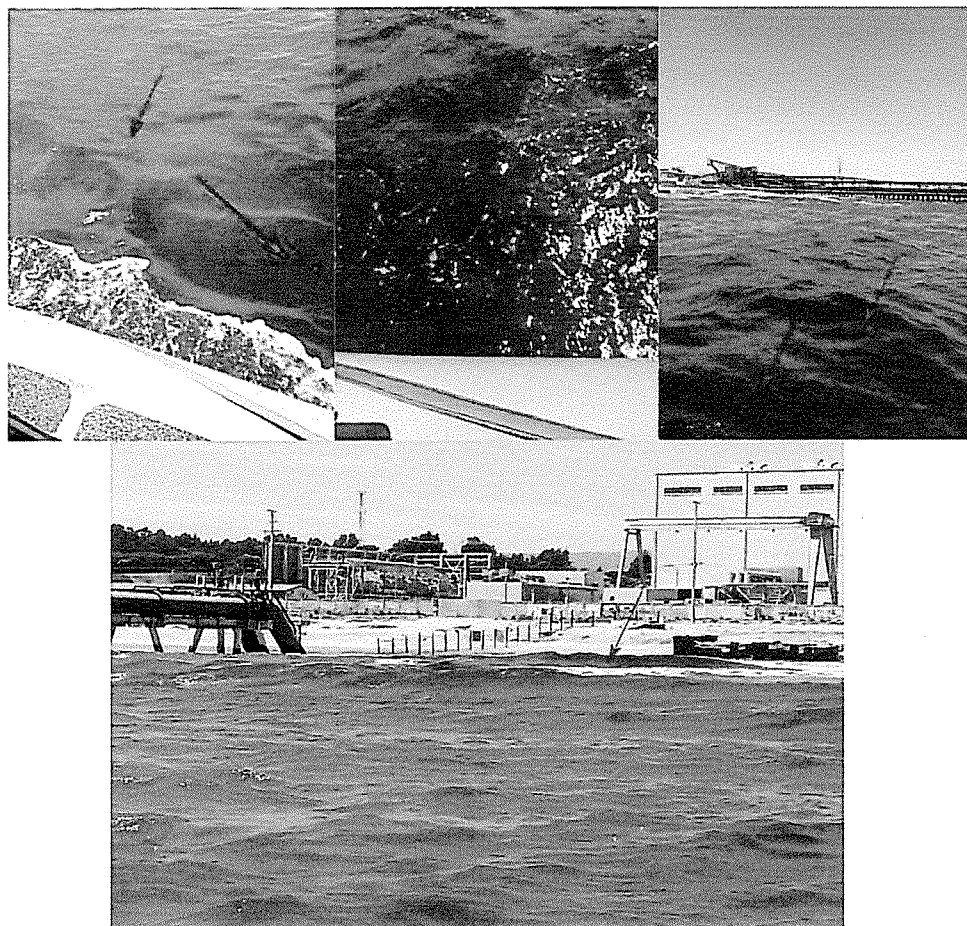


Figura 32. Fotografías obtenidas durante el levantamiento con lancha hidrográfica SHOA en noviembre de 2019. Arriba: se observa material negro (indicado por flechas) que se desplaza conforme al oleaje, es decir, de oeste a este, por el fondo marino y a niveles intermedios. Abajo: el material alcanza la costa, observándose las olas obscuras en la zona de rompiente (flecha).

3.6. Procesos de transporte de sedimentos

En esta sección se identifican los procesos que transportan el sedimento dentro del área de estudio y las potenciales áreas de deposición, basados en los resultados obtenidos de los métodos de análisis acústicos y de la tipificación de sedimentos. Como primer proceso de transporte de sedimentos, se tiene el producido por el oleaje. Al tratarse de una bahía con profundidades someras, el oleaje es capaz de producir una fuerza friccional sobre el fondo que permite desplazar el sedimento. Dado que principalmente la composición/tamaño de los sedimentos es de tipo arena, su poca cohesión, causa facilidad para el movimiento. En este caso, corrientes entre 0.01 a 1 m/s pueden movilizar la arena. Los rizos de arena indican velocidades de corriente de ~0.1 m/s. Por otro lado, las dunas se forman con mayores velocidades y los surcos, con aún más, causando erosión en el piso marino (~1.5 m/s). De la observación de los mapas, por ejemplo, de la figura 21, se interpreta que, en el sector sur del área de estudio, las corrientes son más fuertes que en el sector norte.

La dirección del transporte por oleaje puede ser determinada por la diferencia de pendientes de las ondas de arena, donde una menor pendiente refleja de donde viene la corriente. Por lo cual, analizando varios sitios del área de estudio, se pudo determinar las direcciones del transporte que son visualizadas con flechas en las figuras 21, 22 y 23. De ahí se desprende que el transporte por oleaje es predominantemente hacia el este y, más hacia el norte de la bahía, se tiende a cambiar la dirección hacia el NE. Sólo el sector N, cercano a las rocas, se apreció una dirección contraria y esto es posible debido a éstas mismas pueden causar una barrera para la circulación, por lo cual, la corriente cambia de rumbo. Esta circulación puede producirse por corriente litorales dado el ángulo del frente del oleaje con la costa. En este informe no se analiza la corriente litoral, debido a la falta de datos cercano a la costa, aunque se considera que pudiese ser un factor importante, en especial para el transporte de carbón, donde podría transportarse de forma paralela a la costa de sur a norte, para luego acumularse el carbón en la parte de más al NW dada la presencia de rocas y la punta de la costa. No se descarta que en algunos puntos pudieran producirse corrientes de resaca sacando una cierta cantidad de material hacia afuera de la costa, interrumpiendo el flujo litoral.

Por otro lado, se tienen los bancos de arena fina, que como se observó de las figuras 21, 22 y 23, tienden a tener un rumbo N-S y, en ocasiones, con una tendencia NNE-SSW, esto especialmente en el sector norte y oeste del muelle Ventanas. Los bancos y barras, a diferencia de los rizos, son gobernados por corrientes de marea y se orientan de forma paralela a éstas. Por lo tanto, las corrientes de marea transportan el material del fondo marino hacia adentro y afuera, de manera casi perpendicular a la costa del sector norte de la bahía, es por ellos que a pesar de las diferencias en los períodos de mediciones se mantienen más o menos en sus áreas. Por otro lado, en el sector de las rocas, al igual que la dirección de los rizos, los bancos se orientan hacia el oeste, por lo que se puede

esperar que exista una corriente de marea rotatoria, posiblemente influenciada por la forma de la bahía, que podría hacer permanecer parte del carbón en ese sitio del fondo marino.

3.6. Estratigrafía y temporalidad de los sedimentos marinos de la bahía y del Estero Campiche

La estratigrafía de los testigos de sedimentos de la Bahía de Quintero-Ventana (el Anexo "D" muestra los resultados estratigráficos de los testigos obtenidos), se obtuvo sobre dos tipos diferentes de morfología submarina: los bancos de arena y los ripples. En términos generales, los cores obtenidos sobre los bancos de arena presentan estructuras sedimentarias del tipo masiva, estratificación cruzada y flow ripples, mientras que los obtenidos sobre los ripples, presentan estructuras masivas y estratificación leve. La presencia de este tipo de estructuras sedimentarias en un rango de pocos centímetros de profundidad sugiere que el transporte de los sedimentos es altamente dinámico.

En cuanto a las edades obtenidas, estas varían entre 104,06 a 4.180 +/- 30 años y representan cuantos años han transcurrido hasta ahora desde la muerte del organismo datado (ver Anexo "E" sobre los resultados originales de la datación). En el testigo 3 (Anexo "D", Fig. A-26) se dató un fragmento de concha con una antigüedad de 3.230 +/- 30 años. Este fragmento se ubica en la base del testigo en una zona de sedimentación masiva y fragmentos de conchas de bivalvos, lo que indica una removilización del material clástico a partir de los últimos 3.230 +/- años.

El testigo 4 (Anexo "D", Fig. A-27), obtenido en un banco de arena, presenta una estructura de sedimentación masiva con alto contenido de fragmentos bioclásticos. Un fragmento de concha ubicado en la base de este testigo presenta una edad de 2.350 +/- 30 años, por lo que la removilización de este material es posterior a esa edad.

El testigo BK-Muelle (Anexo "D", Fig. A-30), obtenido en un banco de arena próximo al Muelle Ventanas, presenta una estructura de sedimentación masiva con bajo contenido de fragmentos bioclásticos. Estos fragmentos se habrían removilizado dentro de los últimos 104,06 años, sin embargo, cabe señalar que, según los datos de radiocarbono, esta muestra tiene un 94% de probabilidad de estar datada entre los años 1804 a Post 1950. Las muestras marinas posteriores a 1950 no pueden ser datadas con precisión con este método, debido a que las pruebas nucleares que iniciaron en esa década alteraron el decaimiento radiactivo natural de los isotopos de ^{14}C .

Con respecto a la estratigrafía de los testigos del Estero de Campiche, esta está dividida en dos ambientes: el sector de la desembocadura y la del canal central. El sector de la desembocadura del estero, representado por el

testigo CAMP-1 (Anexo "D", Fig. A-32), presenta un estratigrafía laminar y cruzada muy leve con partículas tamaño arena fina a media y fragmentos bioclásticos en la base del testigo, lo que sugiere influencia de sedimentos marinos en este sector. El fragmento de concha datado indica una edad de 600 +/- 30 años, por lo que las estructuras sedimentarias son posteriores a ese periodo.

El testigo del sector del canal central del estero, CAMP-2 (Anexo "D", Fig. A-33), presenta dos eventos de estratificación laminar con sucesiones intermedias de estratificaciones cruzadas leves. El episodio de estratificación laminar más antiguo tiene, según el material vegetal datado, 4.180 +/- 30 años de antigüedad y el más reciente 380 +/- 30 años. La relación temporal entre la estratificación y la edad del material vegetal es más directa en este caso, ya que el tipo de sedimento (fango orgánico), las estructuras sedimentarias y el ambiente geológico de la cuenca del canal, indican un ambiente de deposición pasivo de baja tasa de sedimentación y sin removilización de los sedimentos, debido a la baja energía de transporte en comparación con un ambiente marino costero poco profundo. Sin embargo, entre estos períodos pasivos, se encuentran sedimentos más gruesos (*sand beds*) que representan períodos de mayor energía de transporte y mayor tasa de sedimentación. Según los datos de paleo-tsunamis obtenidos por Dura et al. (2014) en base a los registros sedimentarios de las llanuras de inundación de la bahía de Quintero, existirían dos eventos que tienen una edad cercana a los obtenidos en los fangos orgánicos del Estero Campiche, uno ocurrido hace aproximadamente 3.800 años y otro ocurrido en el año 1.730. Los sedimentos fangosos presentan edades más antiguas pero próximas a estos eventos, respectivamente, por lo que los estratos arenosos en el testigo podrían representar *tsunami sand beds* que erosionaron parte del fango dejando secciones más antiguas en contacto con los sedimentos de los eventos tsunamigénicos.

La Tabla 4, resume los resultados estratigráficos e identificación de carbón en los testigos, y la Tabla 5, las edades determinadas.

Tabla 4. Resumen de resultados de las estructuras sedimentarias y el tipo de deposición de las partículas de carbón de los testigos de sedimentos de la Bahía de Quintero-Ventana.

Muestra	Latitud	Longitud	Longitud testigo [cm]	Geomorfología submarina	Estructuras Internas	Carbón
1	32,751230°S	71,497584°W	15,19	Ripples	Masivo	-
2	32,751125°S	71,499785°W	24,80	Banco de arena	Estratificación cruzada - Flow Ripples	Diseminado (leve)
3	32,751207°S	71,491576°W	19,66	Ripples	Masivo - estratificación leve	-
4	32,747791°S	71,492993°W	19,05	Banco de arena	Masivo	Diseminado (Leve)
5	32,747586°S	71,497095°W	18,02	Ripples	Masivo	-
6	32,747437°S	71,499940°W	15,07	Banco de arena	Masivo - Flow Ripples (leve)	-
BK-7	32°44'43.8"S	71°29'21.6"W	12,14	-	Masivo	-
BK-Muelle	32°45'08.0"S	71°29'40.2"W	29,13	Banco de arena	Masivo	Diseminado
CAMP-1	32°44'47.1"S	71°29'05.0"W	28,59	-	Estratificación laminar y cruzada (leve)	-
CAMP-2	32°44'49.2"S	71°28'57.8"W	24,10	-	Estratificación laminar (intensa) - estratificación cruzada (leve)	-
To	32°44'38.8"S	71°29'18.7"W	24,21	-	Masivo - estratificación leve	Superficial

Tabla 5. Datos geocronológicos en base a radiocarbono (^{14}C) de los testigos de sedimentos de la Bahía de Quintero-Ventana.

Muestra	Latitud	Longitud	Geomorfología submarina	Material	Edad convencional de radiocarbono	Calibración de calendario
3	32,751207°S	71,491576°W	Ripples	Concha	3.230 +/- 30 BP	(95.4%) 1372 - 521 cal BC (3321 - 2470 cal BP)
4	32,747791°S	71,492993°W	Banco de arena	Concha	2.350 +/- 30 BP	(95.4%) 291 cal BC - 538 cal AD (2240 - 1412 cal BP)
BK-Muelle	32°45'08.0"S	71°29'40.2"W	Banco de arena	Concha	104,06 +/- 0.39 pMC	(94%) 1804 - Post AD 1950 (146 - Post BP 0) (1.4%) 1765 - 1785 cal AD (185 - 165 cal BP)
CAMP-1	32°44'47.1"S	71°29'05.0"W	-	Concha	600 +/- 30 BP	(67.9%) 1385 - 1431 cal AD (565 - 519 cal BP) (27.5%) 1319 - 1351 cal AD (631 - 599 cal BP)
CAMP-2_A	32°44'49.2"S	71°28'57.8"W	-	Sedimento orgánico	4.180 +/- 30 BP	(91.7%) 2875 - 2618 cal BC (4824 - 4567 cal BP) (3.7%) 2609 - 2585 cal BC (4558 - 4534 cal BP)
CAMP-2_B	32°44'49.2"S	71°28'57.8"W	-	Materia vegetal	380 +/- 30 BP	(95.4%) 1463 - 1629 cal AD (487 - 321 cal BP)

4. Conclusiones

1. Los sedimentos superficiales del fondo de la bahía Quintero, sector caleta Ventana, corresponden a arenas de distintas granulometrias, compuestas principalmente de cuarzo y feldespatos.
2. Se encontraron partículas de carbón mineral distribuido en todo el fondo marino del área de estudio, en cantidades o concentraciones variables (ver Fig. 14) y de forma diseminada, donde el 86.37% del total de las muestras, presentó carbón mineral. Se detectó carbón mineral de tipo combustionado y no combustionado. El carbón no combustionado presentó texturas masivas o maceralosa leve, mientras que el combustionado presentó texturas porosas. En cuanto al carbón mineral analizado como muestra de control del varamiento en la playa, este presentó contenidos de carbono entre 83,54% a 87,09% similares a las muestras QV-12, QV-13 y QV-BC-E3 del fondo marino.
3. Las distintas metodologías utilizadas para la identificación y determinación de la concentración de carbón en las muestras, indicaron que el carbón en el fondo del mar se encuentra más concentrado (mayor cantidad de partículas en la muestra) en el sector localizado entre el muelle Ventanas y los ductos de la empresa AES-Gener, luego hacia el norte y cercano a la costa, existe un gradiente en su concentración, que va aumentando hasta la parte más al norte del área. Además, la normalización e interpolación final de los datos, indicó que los valores máximos de presencia de partículas de carbón mineral no combustionado se concentraron en un radio de 500 m alrededor de las tuberías de descarga de AES-Gener (ver Fig. 14).
4. Tanto en este trabajo, como en Cisternas (2019), se encontraron partículas de carbón mineral combustionado, lo que indica que estas partículas provienen de una etapa posterior a su utilización en una caldera. Cabe señalar que no se puede establecer una relación directa entre el tipo de caldera utilizada y la textura del carbón combustionado, ya que la combustión puede deberse a una caldera de baja temperatura que no logra la combustión total de la partícula de carbón o a una maniobra rápida de recambio del material que está siendo combustionado causando una combustión incompleta independiente del tipo de caldera. Por otra parte, tanto el carbón combustionado como el no combustionado identificado por Cisternas (2019) tienen composiciones de carbono (80,02% a 82,39%), detectadas con SEM/EDS, similares a las identificadas en algunas muestras de este trabajo (81,10% a 84,83%).
5. Las geoformas del fondo marino son de distintos tipos, donde predominaron las áreas con bancos y con rizos de arenas. Los bancos se componen principalmente de arena fina y los rizos de arena gruesa. En ocasiones, los bancos cubrieron a los sectores con rizos. Los bancos tienden a orientarse por corrientes de marea. Los rizos son conformados por ondulaciones de arena de decenas de centímetros e indican la dirección de las corrientes de fondo

producido por el oleaje principalmente. Lo anterior, demuestra que el área de estudio es altamente dinámica, donde se combinan distintos mecanismos de transporte de materiales.

6. Se encontró que en los bancos de arenas y en los rizos había carbón, en éstos últimos en sus valles, por lo que el transporte de carbón por el fondo marino o en niveles intermedios de la columna de agua por corrientes u oleaje, es un mecanismo factible, y la presencia y concentración de carbón en el fondo marino, no depende del tipo de geoforma, sino que de la proximidad a la fuente y del mecanismo de transporte. La alta concentración relativa de carbón en el sector norte de la bahía, se explica por la presencia de rocas que actúan como barrera para la circulación.

7. La distribución del carbón se explicaría debido al transporte generado por corrientes litorales que van de sur a norte por la costa. Considerando que la fuente de carbón está entre los ductos de AES-Gener y el muelle Ventanas, el carbón que sale hacia afuera de la costa en esta zona, se devolvería a ésta por el oleaje y las corrientes de marea, posteriormente el carbón continuaría su camino al norte, donde al enfrentarse a las rocas del NW, gran parte permanecería en ese sitio o en la playa, y otra menor cantidad lograría salir hacia mar adentro. Para confirmar esta hipótesis, es necesario realizar estudios a fin de comprobar la corriente litoral. Se recomienda la realización de modelos numéricos de transporte.

8. Los testigos de sedimentos del fondo marino de la bahía (ver Anexo D) indican que este sistema sedimentario es altamente dinámico, por lo menos desde hace 3.230 años aprox., por lo que no se conservan las estructuras sedimentarias originales, siendo estas modificadas constantemente, probablemente, en cortos períodos de tiempo. Por lo tanto, el estudio estratigráfico no entregaría información correcta del carbón histórico, es decir, no se puede determinar si un carbón en un nivel estratigráfico más profundo corresponde a un carbón más antiguo.

9. Los testigos de sedimento del Estero de Campiche, indican un ambiente pasivo de sedimentación con períodos energéticos intensos de deposición lo que sugiere presencia de eventos tsunamigénicos ocurridos en el pasado.

10. No se encontraron partículas de carbón en el estero Campiche, por lo que a priori, se descarta una proveniencia de partículas de carbón desde este lugar. Se sugiere realizar un mayor número de muestreo en ese sitio para confirmar esta conclusión.

5. Referencias

- Caress, D. W., Chayes, D. N., y Dos S. Ferreira, C. (2017). MB-System. Seafloor Mapping Software: Processing and Display of Swath Sonar Data. [<http://www.ldeo.columbia.edu/res/pi/MBSystem/>].
- Cisternas, M. (2019). Estudio petrográfico para caracterizar las partículas carbonosas presentes en 4 muestras. Instituto de geología económica aplicada de la Universidad de Concepción.
- Cisternas, M. (2019). Estudio petrográfico comparado de las partículas de carbón en varamientos en Playa Ventanas del 2011 y 2018, Puchuncaví, 5° Región, Chile. Instituto de geología económica aplicada de la Universidad de Concepción.
- Comisión de Recursos Naturales. (2011). Informe de la comisión de recursos naturales, bienes nacionales y medio ambiente recaído en el mandato otorgado por la sala a fin de analizar, indagar, investigar y determinar la participación de la empresa estatal CODELCO y empresas asociadas, en la contaminación ambiental en la zona de Puchuncaví y Quintero. Informe solicitado a la Comisión por la Cámara de Diputados de Chile.
- Dura, T., Cisternas, M., Horton, B., Ely, L., Nelson, A., Wesson, R. & Pilarczyk, J. (2014). Coastal evidence for Holocene subduction-zone earthquakes and tsunamis in central Chile. *Quaternary Science Reviews*, 113, 93-111.
- Hogg, A., Turney, C., Palmer, J. & Southon, J. (2013). The New Zealand Kauri (*Agathis Australis*) Research Project: A Radiocarbon Dating Intercomparison of Younger Dryas Wood and Implications for IntCal13. *Radiocarbon*, 55(4), 2035-2048.
- Reimer, P., Bard, E., Bayliss, A. & Beck, J. (2013). IntCal13 and Marine13 Radiocarbon Age Calibration Curves 0–50,000 Years cal BP. *Radiocarbon*, 55(4), 1869-1887.
- Rodrigo, C., (2006). Caracterización y clasificación de la bahía de Puerto Montt mediante batimetría de multihaz y datos de backscatter. *Investig. Mar.* 34, 83-94.
- Wessel, P., Smith, W. H. F., Scharroo, R., Luis, J. F., y Wobbe, F. (2017). The Generic Mapping Tools. Technical Reference and Cookbook. [https://gmt.soest.hawaii.edu/doc/5.3.3/GMT_Docs.html].
- Wright, J., Colling, A., Park, D. (1999). Waves, tides and shallow-water processes. The Open University Team, Eds. Butterworth-Heinemann, Oxford, 227 pp.

ANEXO "A"
PETROGRAFÍA BINOCULAR

Muestra QV-01-A

Sedimento de color pardo grisáceo de clasificación textural tipo arena y granulométrica tipo arena muy fina. De acuerdo con las distribuciones de los tamaños de los clastos un 0,3% corresponde a arena muy gruesa, 0,9% a arena gruesa, 2,3% a arena media, 28,5% a arena fina y 68% a arena muy fina, lo que lo clasifica como moderadamente bien seleccionado con un tamaño promedio de los clastos de 131,5 μm y una moda de 106,5 μm .

Los clastos presentan formas sub-discoidales a sub-redondeadas, y composicionalmente corresponden a cuarzo (75%), íliticos ígneos (12%), feldespato potásico (10,5%), fragmentos de bivalvos y/o gasterópodos (1%), biotita (0,5%) y carbón (1%).



Figura A-1. Fotografía con lupa binocular en aumento 3x de partículas de carbón en la muestra QV-01-A.

Muestra QV-02

Sedimento de color pardo grisáceo de clasificación textural tipo arena y granulométrica tipo arena muy fina. De acuerdo con las distribuciones de los tamaños de los clastos un 0,3% corresponde a arena muy gruesa, 0,7% a arena gruesa, 1,8% a arena media, 29,8% a arena fina, 64,8% a arena muy fina y 2,6% a limo y arcilla, lo que lo clasifica como moderadamente bien seleccionado con un tamaño promedio de los clastos de 127,2 μm y una moda de 106,5 μm .

Los clastos presentan formas sub-redondeadas a esféricas, y composicionalmente corresponden a cuarzo (65%), plagioclasa (7,9%), líticos igneos (10%), feldespato potásico (7%), fragmentos de conchas (3%), biotita (3%), anfíbol (4%) y carbón (0,1%).

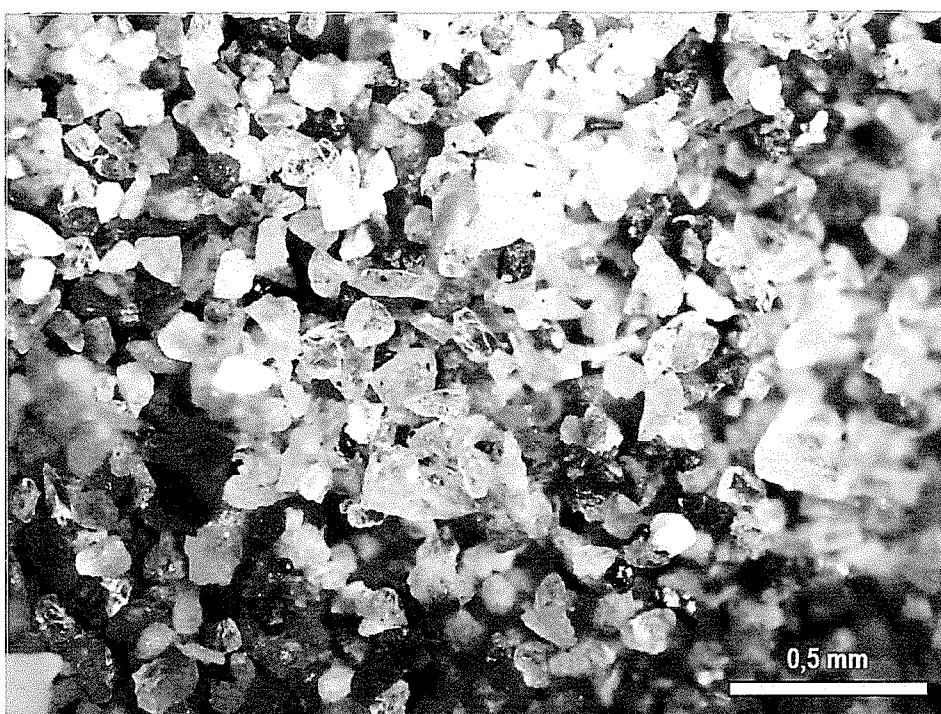


Figura A-2. Fotografía con lupa binocular en aumento 5x de la muestra QV-02.

Muestra QV-03

Sedimento de color pardo grisáceo de clasificación textural tipo arena y granulométrica tipo arena fina. De acuerdo con las distribuciones de los tamaños de los clastos un 10,1% corresponde a arena muy gruesa, 7,1% a arena gruesa, 14,3% a arena media, 34,3% a arena fina, 33,8% a arena muy fina y 0,3% a limo y arcilla, lo que lo clasifica como pobremente seleccionado con un tamaño promedio de los clastos de 306,3 μm y una moda de 200 μm .

Los clastos presentan formas sub-discoidales a sub-redondeadas, y composicionalmente corresponden a cuarzo (67%), plagioclasa (1%), líticos ígneos (20%), feldespato potásico (5%), fragmentos de bivalvos y/o gastrópodos (2%), biotita (2%) y anfibol (3%).



Figura A-3. Fotografía con lupa binocular en aumento 2x de la muestra QV-03.

Muestra QV-04

Sedimento de color pardo grisáceo de clasificación textural tipo arena y granulométrica tipo arena fina. De acuerdo con las distribuciones de los tamaños de los clastos un 0,4% corresponde a arena muy gruesa, 3,2% a arena gruesa, 10,1% a arena media, 43,1% a arena fina, 42,4% a arena muy fina y 0,8% a limo y arcilla, lo que lo clasifica como moderadamente seleccionado con un tamaño promedio de los clastos de 185,7 μm y una moda de 200 μm .

Los clastos presentan formas sub-discoidales a sub-redondeadas, y composicionalmente corresponden a cuarzo (60%), plagioclasa (20%), líticos ígneos (5%), feldespatio potásico (10%), fragmentos de bivalvos y/o gastrópodos (1%), biotita (3,5%) y carbón (0,5%).

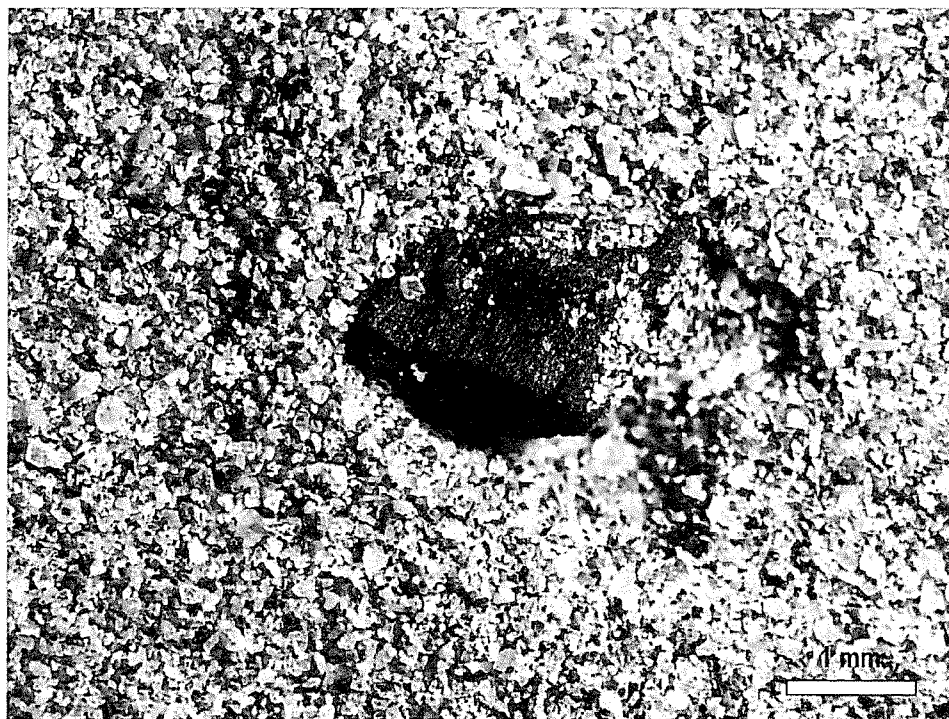


Figura A-4. Fotografía con lupa binocular en aumento 1x de partículas de carbón en la muestra QV-04.

Muestra QV-05

Sedimento de color pardo grisáceo de clasificación textural tipo arena y granulométrica tipo arena muy fina. De acuerdo con las distribuciones de los tamaños de los clastos un 2,1% corresponde a arena muy gruesa, 0,7% a arena gruesa, 1,6% a arena media, 31,7% a arena fina, 62,9% a arena muy fina y 1,1% a limo y arcilla, lo que lo clasifica como moderadamente bien seleccionado con un tamaño promedio de los clastos de 135,5 μm y una moda de 106,5 μm .

Los clastos presentan formas sub-discoidales a sub-redondeadas, y composicionalmente corresponden a cuarzo (78%), plagioclasa (1%), líticos ígneos (5%), feldespatos potásico (5%), fragmentos de bivalvos y/o gastrópodos (3%), biotita (1%) y anfíbol (7%).

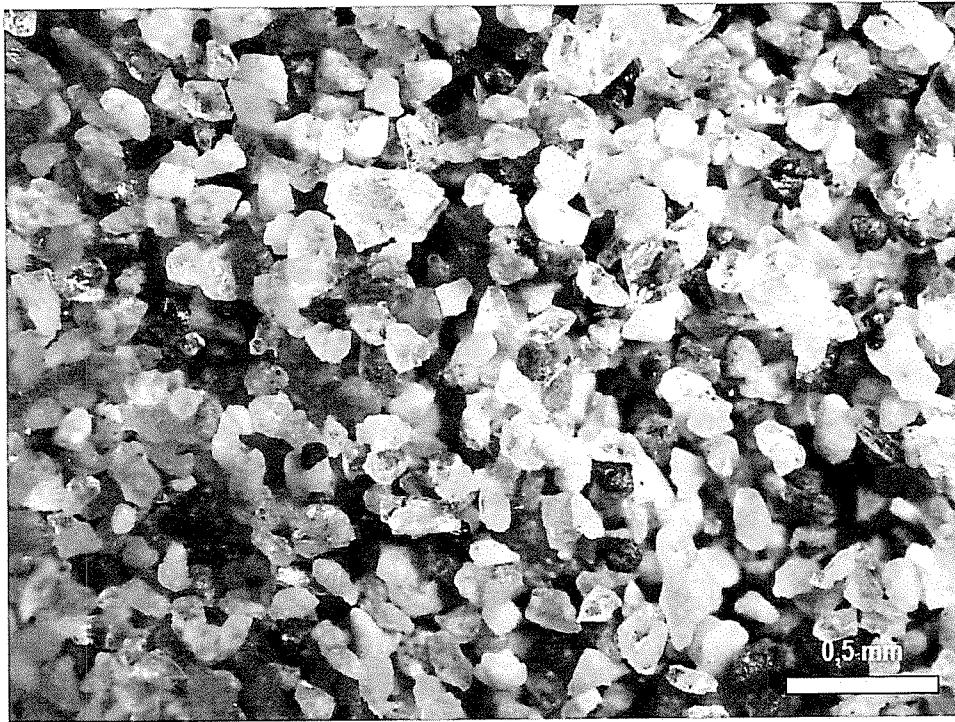


Figura A-5. Fotografía con lupa binocular en aumento 5x de la muestra QV-05.

Muestra QV-06

Sedimento de color pardo grisáceo de clasificación textural tipo arena y granulométrica tipo arena muy fina. De acuerdo con las distribuciones de los tamaños de los clastos un 2,3% corresponde a arena muy gruesa, 3,1% a arena gruesa, 6,3% a arena media, 31,9% a arena fina, 55,1% a arena muy fina y 1,3% a limo y arcilla, lo que lo clasifica como moderadamente seleccionado con un tamaño promedio de los clastos de 176,4 μm y una moda de 106,5 μm .

Los clastos presentan formas sub-discoidales a sub-anguloso, y composicionalmente corresponden a cuarzo (65%), plagioclasa (1%), íliticos ígneos (18%), feldespatio potásico (5%), fragmentos de bivalvos y/o gastrópodos (3,8%), biotita (2%), anfibol (5%) y carbón (0,2%).

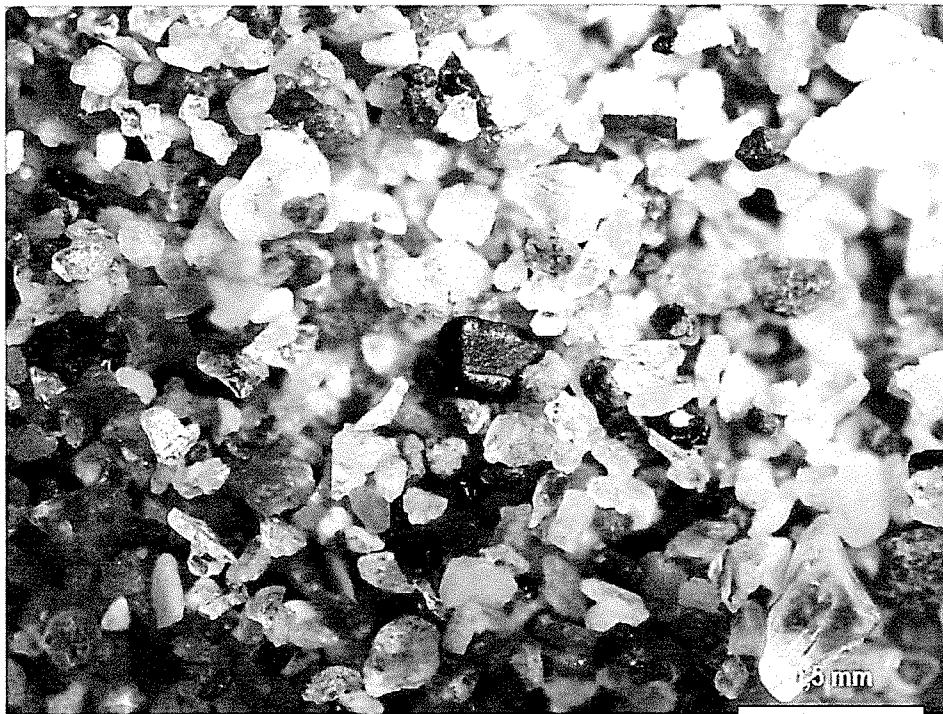


Figura A-6. Fotografía con lupa binocular en aumento 5x de la muestra QV-06.

Muestra QV-08

Sedimento de color pardo grisáceo de clasificación textural tipo arena y granulométrica tipo arena media. De acuerdo con las distribuciones de los tamaños de los clastos un 20,7% corresponde a arena muy gruesa, 16,3% a arena gruesa, 31,0% a arena media, 25,6% a arena fina, 6,3% a arena muy fina y 0,1% a limo y arcilla, lo que lo clasifica como pobemente seleccionado con un tamaño promedio de los clastos de 402,6 μm y una moda de 200 μm .

Los clastos presentan formas sub-discoidales a sub-redondeadas, y composicionalmente corresponden a cuarzo (25%), íliticos ígneos (30%), fragmentos de bivalvos (39%), biotita (0,9%), anfíbol (5%) y carbón (0,1%).



Figura A-7. Fotografía con lupa binocular en aumento 0,67x de la muestra QV-08.

Muestra QV-09

Sedimento de color pardo grisáceo de clasificación textural tipo arena y granulométrica tipo arena fina. De acuerdo con las distribuciones de los tamaños de los clastos un 0,7% corresponde a arena muy gruesa, 1,8% a arena gruesa, 4,8% a arena media, 43,7% a arena fina, 48,3% a arena muy fina y 0,8% a limo y arcilla, lo que lo clasifica como moderadamente seleccionado con un tamaño promedio de los clastos de 161,5 μm y una moda de 106,5 μm .

Los clastos presentan formas sub-discoidales a sub-angulares, y composicionalmente corresponden a cuarzo (65%), plagioclasa (1%), líticos ígneos (20%), feldespato potásico (3%), fragmentos de bivalvos y/o gastrópodos (5%), biolita (1%), anfibol (4,98%) y carbón (0,02%).

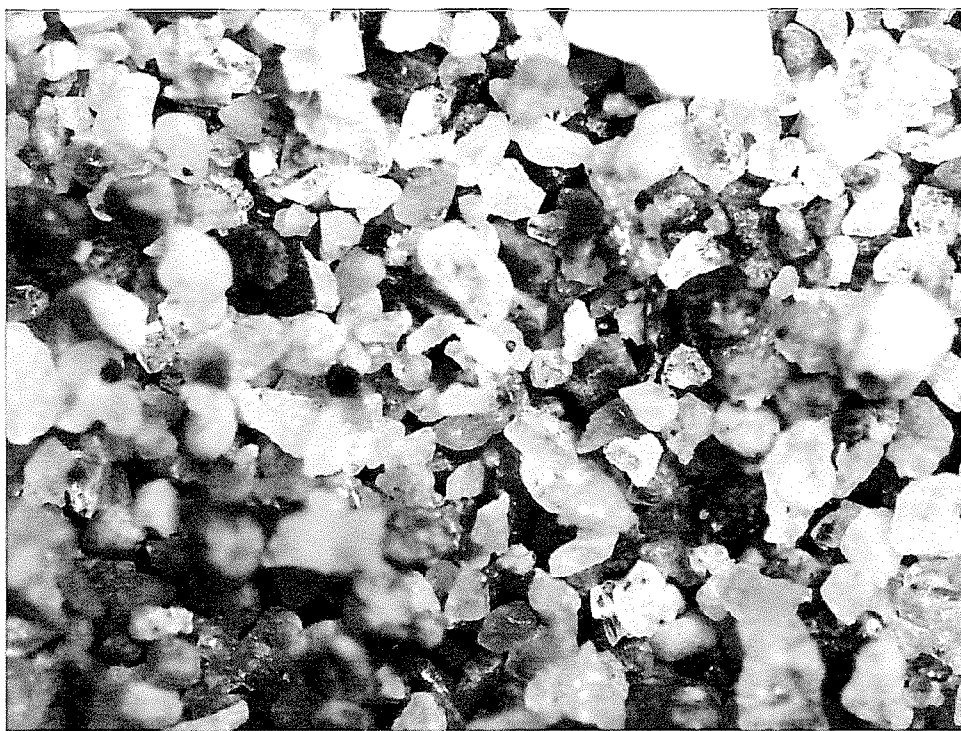


Figura A-8. Fotografía con lupa binocular en aumento 5x de la muestra QV-09.

Muestra QV-10

Sedimento de color pardo grisáceo de clasificación textural tipo arena y granulométrica tipo arena media. De acuerdo con las distribuciones de los tamaños de los clastos un 28,3% corresponde a arena muy gruesa, 13,3% a arena gruesa, 6,6% a arena media, 22,1% a arena fina, 28,8% a arena muy fina y 0,8% a limo y arcilla, lo que lo clasifica como pobemente seleccionado con un tamaño promedio de los clastos de 556,6 μm y una moda de 106,5 μm .

Los clastos presentan formas sub-discoidales a sub-redondeadas, y composicionalmente corresponden a cuarzo (80%), líticos ígneos (10%), feldespato potásico (2,99%), fragmentos de gastrópodos (2%), biotita (3%), anfibol (2%) y carbón (0,01%).



Figura A-9. Fotografía con lupa binocular en aumento 2x de la muestra QV-10.

Muestra QV-11

Sedimento de color pardo grisáceo de clasificación textural tipo arena y granulométrica tipo arena fina. De acuerdo con las distribuciones de los tamaños de los clastos un 0,1% corresponde a arena muy gruesa, 1,5% a arena gruesa, 5,1% a arena media, 41,1% a arena fina, 51,4% a arena muy fina y 0,9% a limo y arcilla, lo que lo clasifica como moderadamente seleccionado con un tamaño promedio de los clastos de 154 μm y una moda de 106,5 μm .

Los clastos presentan formas sub-discoidales a sub-redondeadas, y composicionalmente corresponden a cuarzo (63%), plagioclasa (1%), ilíticos ígneos (25%), feldespato potásico (4%), fragmentos de bivalvos y/o gastrópodos (0,5%), biotita (0,5%), anfíbol (6%).



Figura A-10. Fotografía con lupa binocular en aumento 3x de la muestra QV-11.

Muestra QV-12

Sedimento de color pardo grisáceo de clasificación textural tipo arena y granulométrica tipo arena media. De acuerdo con las distribuciones de los tamaños de los clastos un 20,9% corresponde a arena muy gruesa, 7,8% a arena gruesa, 12,1% a arena media, 26,7% a arena fina, 32,1% a arena muy fina y 0,5% a limo y arcilla, lo que lo clasifica como pobemente seleccionado con un tamaño promedio de los clastos de 280,9 μm y una moda de 106,5 μm .

Los clastos presentan formas sub-discoidales a sub-redondeadas, y composicionalmente corresponden a cuarzo (68%), plagioclasa (5%), líticos ígneos (12%), feldespato potásico (6%), fragmentos de bivalvos y/o gastrópodos (4,9%), biotita (0,1%), anfíbol (3%) y carbón (1%).



Figura A-11. Fotografía con lupa binocular en aumento 0,67x de partícula de carbón en la muestra QV-12.

Muestra QV-13

Sedimento de color pardo amarillento claro de clasificación textural tipo arena y granulométrica tipo arena muy gruesa. De acuerdo con las distribuciones de los tamaños de los clastos un 64,7% corresponde a arena muy gruesa, 22,6% a arena gruesa, 11,1% a arena media, 1,2% a arena fina, 0,4% a arena muy fina y 0,1% a limo y arcilla, lo que lo clasifica como moderadamente bien seleccionado con un tamaño promedio de los clastos de 561,2 μm y una moda de 800 μm .

Los clastos presentan formas sub-discoidales a sub-redondeadas, y composicionalmente corresponden a cuarzo (44,89%), líticos ígneos (25%), feldespato potásico (5%), fragmentos de bivalvos y/o gastrópodos (20%), anfíbol (5%), epidota (0,1%) y carbón (0,01%).



Figura A-12. Fotografía con lupa binocular en aumento 0,67x de la muestra QV-13.

Muestra QV-15

Sedimento de color pardo amarillento claro de clasificación textural tipo arena y granulométrica tipo arena muy gruesa. De acuerdo con las distribuciones de los tamaños de los clastos un 74,7% corresponde a arena muy gruesa, 16,2% a arena gruesa, 7,1% a arena media, 1,5% a arena fina y 0,5% a arena muy fina, lo que lo clasifica como bien seleccionado con un tamaño promedio de los clastos de 745 μm y una moda de 1500 μm .

Los clastos presentan formas sub-discoidales a sub-redondeadas, y composicionalmente corresponden a cuarzo (35%), líticos ígneos (40%), feldespato potásico (5%), fragmentos de gastrópodos (13,99%), biotita (1%), anfíbol (5%) y carbón (0,01%).



Figura A-13. Fotografía con lupa binocular en aumento 0,67x de la muestra QV-15.

Muestra QV-18

Sedimento de color pardo amarillento de clasificación textural tipo arena y granulométrica tipo arena gruesa. De acuerdo con las distribuciones de los tamaños de los clastos un 29,5% corresponde a arena muy gruesa, 35,9% a arena gruesa, 31,3% a arena media, 2,9% a arena fina y 0,3% a arena muy fina, lo que lo clasifica como moderadamente seleccionado con un tamaño promedio de los clastos de 811 μm y una moda de 800 μm .

Los clastos presentan formas sub-discoidales a sub-angulares, y composicionalmente corresponden a cuarzo (62%), líticos ígneos (15%), feldespato potásico (10%), fragmentos de bivalvos y/o gastrópodos (5%), biotita (1%) y anfíbol (7%).



Figura A-14. Fotografía con lupa binocular en aumento 1x de la muestra QV-18.

Muestra QV-19

Sedimento de color pardo grisáceo de clasificación textural tipo arena y granulométrica tipo arena fina. De acuerdo con las distribuciones de los tamaños de los clastos un 0,8% corresponde a arena muy gruesa, 10,8% a arena gruesa, 33,9% a arena media, 32,5% a arena fina, 21,4% a arena muy fina y 0,5% a limo y arcilla, lo que lo clasifica como moderadamente seleccionado con un tamaño promedio de los clastos de 290,2 μm y una moda de 200 μm .

Los clastos presentan formas sub-redondeadas a esféricas, y composicionalmente corresponden a cuarzo (70%), plagioclasa (6%), líticos ígneos (12%), feldespato potásico (4,6%), fragmentos de bivalvos (1%), anfíboles (2%), biotita (4%) y carbón (0,4%).



Figura A-15. Fotografía con lupa binocular en aumento 5x de la muestra QV-19.

Muestra QV-20

Sedimento de color pardo grisáceo de clasificación textural tipo arena y granulométrica tipo arena fina. De acuerdo con las distribuciones de los tamaños de los clastos un 1,6% corresponde a arena muy gruesa, 9,2% a arena gruesa, 28,5% a arena media, 38,5% a arena fina, 22% a arena muy fina y 0,2% a limo y arcilla, lo que lo clasifica como moderadamente seleccionado con un tamaño promedio de los clastos de 278,3 μm y una moda de 200 μm .

Los clastos presentan formas sub-discoidales a sub-redondeadas, y composicionalmente corresponden a cuarzo (70%), plagioclasa (1%), íliticos ígneos (13%), feldespatos potásico (6%), fragmentos de bivalvos y/o gastrópodos (2%), biotita (1%), anfibol (5%) y carbón (2%).



Figura A-16. Fotografía con lupa binocular en aumento 0,67x de partícula de carbón en la muestra QV-20.

Muestra QV-21

Sedimento de color pardo grisáceo de clasificación textural tipo arena y granulométrica tipo arena fina. De acuerdo con las distribuciones de los tamaños de los clastos un 3,1% corresponde a arena muy gruesa, 5,2% a arena gruesa, 11,6% a arena media, 37,7% a arena fina, 42,1% a arena muy fina y 0,2% a limo y arcilla, lo que lo clasifica como moderadamente seleccionado con un tamaño promedio de los clastos de 202,7 μm y una moda de 106,5 μm .

Los clastos presentan formas redondeadas a sub-prismoidales, y composicionalmente corresponden a cuarzo (70%), plagioclasa (7%), líticos ígneos (7%), feldespato potásico (6%), fragmentos de bivalvos (6%), anfíboles (2%) y biotita (2%).

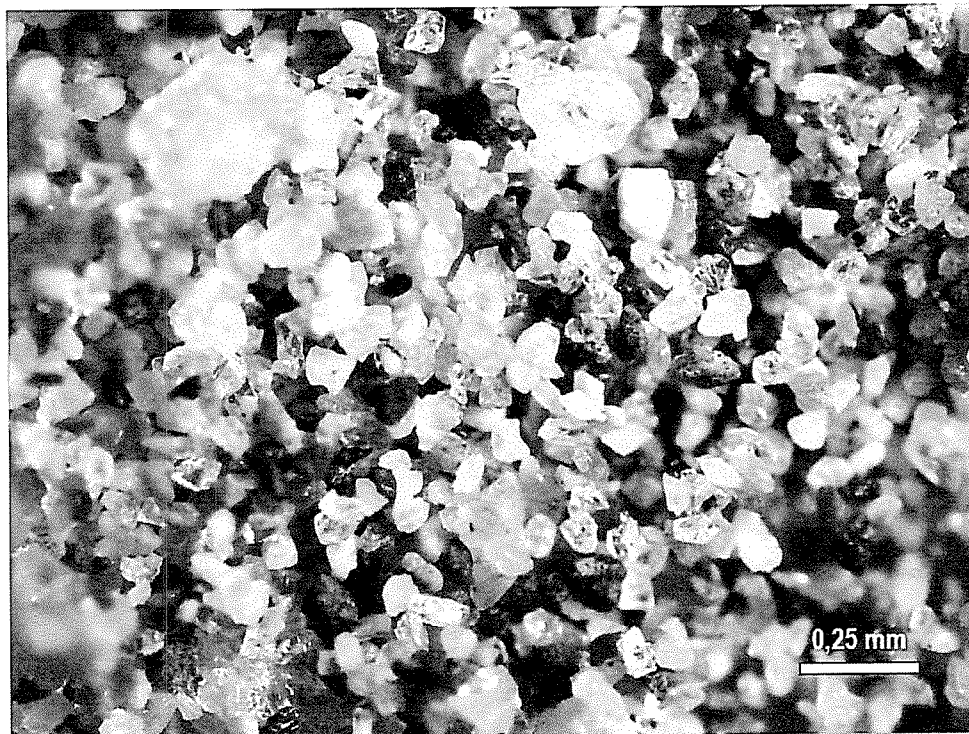


Figura A-17. Fotografía con lupa binocular en aumento 4x de la muestra QV-21.

Muestra QV-BC-E2

Sedimento de color gris oliva claro de clasificación textural tipo arena y granulométrica tipo arena fina. De acuerdo con las distribuciones de los tamaños de los clastos un 0,7% corresponde a arena muy gruesa, 5,0% a arena gruesa, 14,6% a arena media, 29,1% a arena fina, 49,8% a arena muy fina y 0,8% a limo y arcilla, lo que lo clasifica como moderadamente seleccionado con un tamaño promedio de los clastos de 191,2 μm y una moda de 106,5 μm .

Los clastos presentan formas sub-prismoidal a sub-redondeadas, y composicionalmente corresponden a cuarzo (55%), liticos ígneos (10%), feldespato potásico (26,8%), fragmentos de bivalvos (1%), biotita (2%), anfíbol (5%) y carbón (0,2%).



Figura A-18. Fotografía con lupa binocular en aumento 5x de la muestra QV-BC-E2.

Muestra QV-BC-E3

Sedimento de color gris oliva de clasificación textural tipo arena y granulométrica tipo arena muy fina. De acuerdo con las distribuciones de los tamaños de los clastos un 0,9% corresponde a arena muy gruesa, 1,6% a arena gruesa, 3,1% a arena media, 28,3% a arena fina, 56,8% a arena muy fina y 9,4% a limo y arcilla, lo que lo clasifica como moderadamente seleccionado con un tamaño promedio de los clastos de 140,2 μm y una moda de 106,5 μm .

Los clastos presentan formas sub-redondeadas a esféricas, y composicionalmente corresponden a cuarzo (33%), plagioclasa (6%), líticos igneos (20%), feldespato potásico (6%), fragmentos de bivalvos (2%), fragmentos de gastrópodos (25%), biotita (8%) y carbón (0,01%).

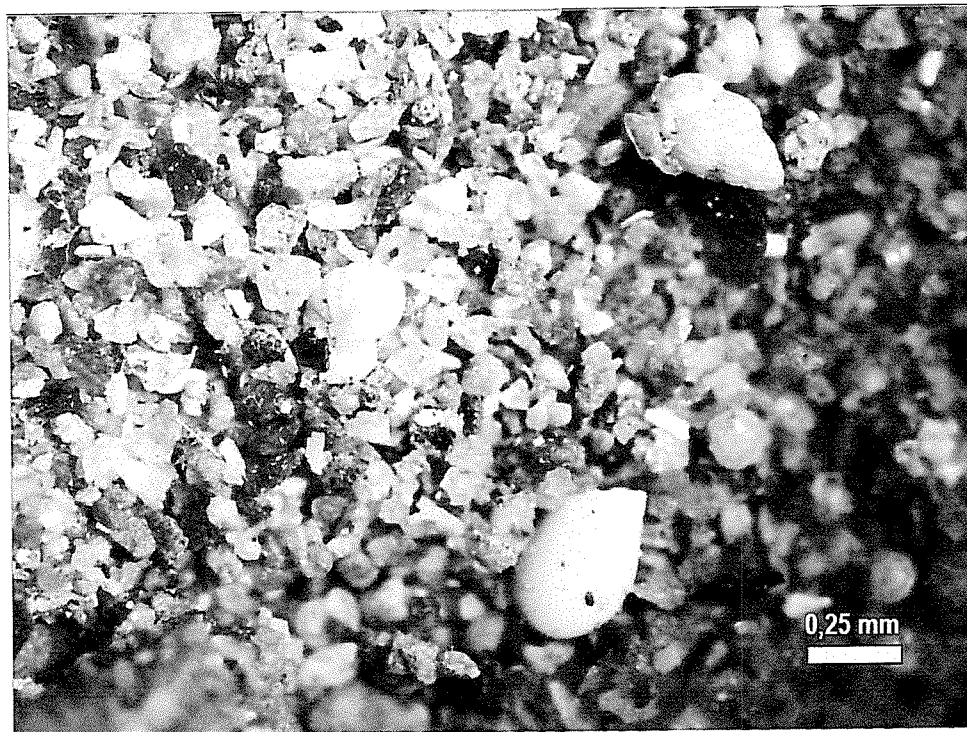


Figura A-19. Fotografía con lupa binocular en aumento 5x de la muestra QV-BC-E3.

Muestra QV-BC-E4-B

Sedimento de color pardo claro de clasificación textural tipo arena y granulométrica tipo arena muy gruesa. De acuerdo con las distribuciones de los tamaños de los clastos un 86,6% corresponde a arena muy gruesa, 6,7% a arena gruesa, 4,4% a arena media, 1,4% a arena fina, 0,7% a arena muy fina y 0,2% a limo y arcilla, lo que lo clasifica como muy bien seleccionado con un tamaño promedio de los clastos de 348,7 μm y una moda de 1500 μm .

Los clastos presentan formas sub-discoidales a sub-redondeadas, y composicionalmente corresponden a



cuarzo (10%), líticos ígneos (40%), fragmentos de bivalvos y/o gastrópodos (50%).

Figura A-20. Fotografía con lupa binocular en aumento 0,67x de la muestra QV-BC-E4-B.

Muestra QV-BC-E5

Sedimento de color pardo claro de clasificación textural tipo arena y granulométrica tipo arena muy gruesa. De acuerdo con las distribuciones de los tamaños de los clastos un 80,2% corresponde a arena muy gruesa, 14,1% a arena gruesa, 5,2% a arena media, 0,2% a arena fina, 0,2% a arena muy fina y 0,1% a limo y arcilla, lo que lo clasifica como muy bien seleccionado con un tamaño promedio de los clastos de 505,8 μm y una moda de 1500 μm .

Los clastos presentan formas discoidales a sub-redondeadas, y composicionalmente corresponden a cuarzo (40%), líticos ígneos (45%), feldespato potásico (5%), fragmentos de bivalvos y/o gastrópodos (10%).



Figura A-21. Fotografía con lupa binocular en aumento 0,67x de la muestra QV-BC-E5.

Muestra QV-BC-E6

Sedimento de color pardo grisáceo de clasificación textural tipo arena y granulométrica tipo arena fina. De acuerdo con las distribuciones de los tamaños de los clastos un 0,5% corresponde a arena muy gruesa, 2,8% a arena gruesa, 7,5% a arena media, 45,8% a arena fina, 42,9% a arena muy fina y 0,5% a limo y arcilla, lo que lo clasifica como moderadamente seleccionado con un tamaño promedio de los clastos de 177 μm y una moda de 200 μm .

Los clastos presentan formas sub-discoidales a sub-redondeadas, y composicionalmente corresponden a cuarzo (73,39%), íliticos igneos (10%), feldespato potásico (12%), fragmentos de bivalvos y/o gastrópodos (4%), biotita (0,5%), anfíbol (5%), epidota (0,1%) y carbón (0,01%).

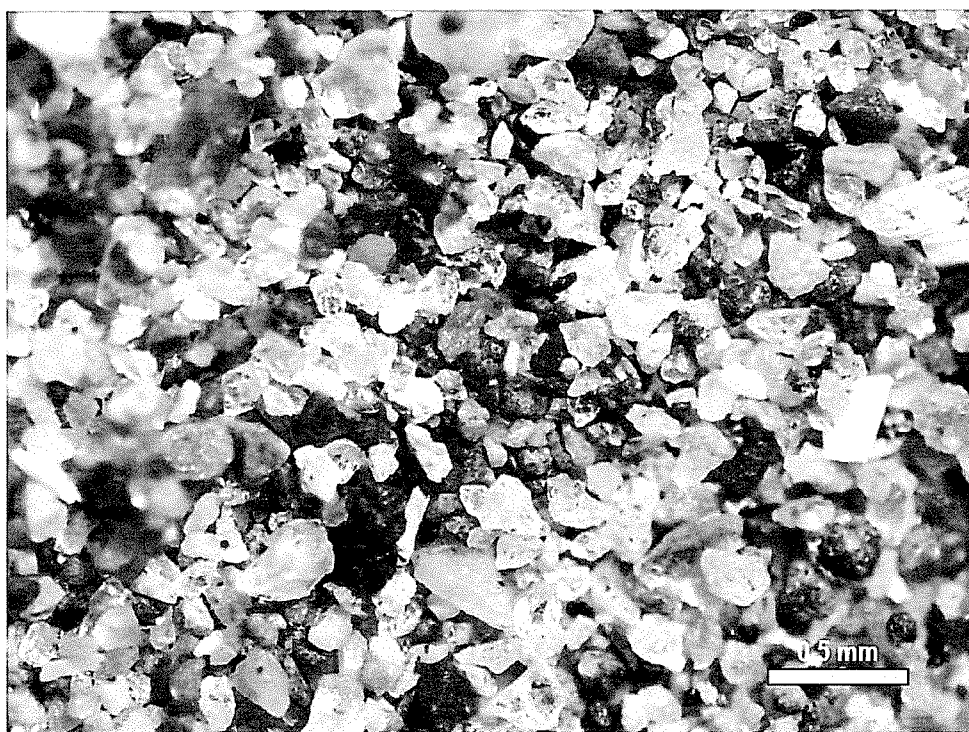
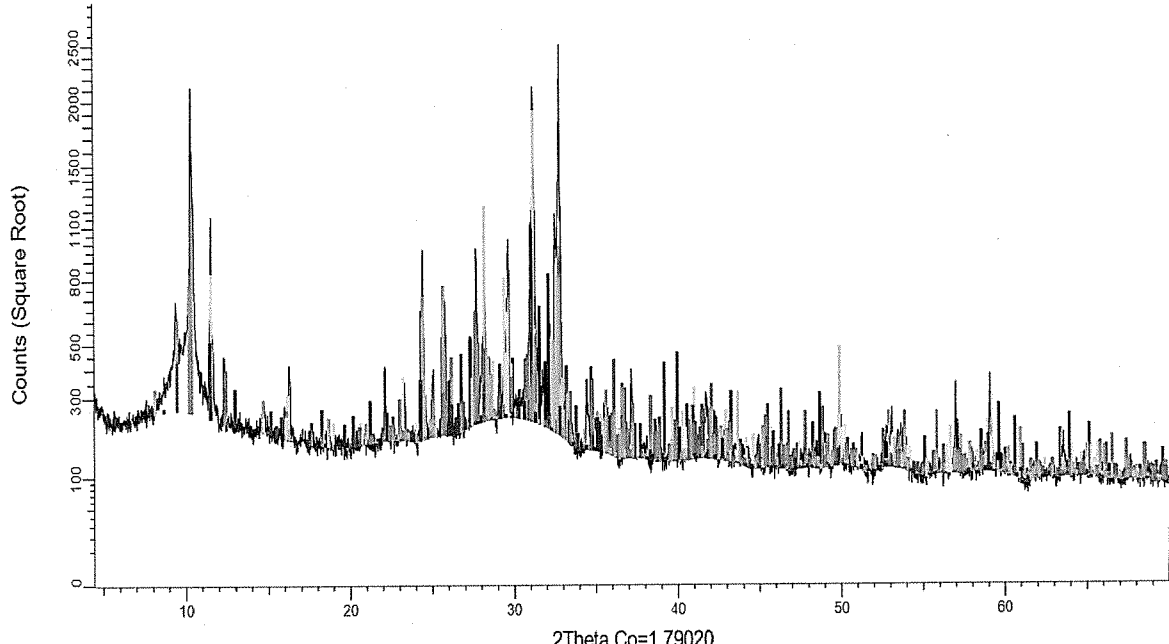


Figura A-22. Fotografía con lupa binocular en aumento 3x de la muestra QV-BC-E6.

ANEXO “B”
DIFRACCIÓN DE RAYOS X (DRX)

Muestra CONTROL (QV-PV-A)

%-Crystallinity	51,78
%-Amorphous	48,22



Pattern #	Compound Name	Formula	S-Q
COD 9002203	Albite	Al Na O8 Si3	14,52%
COD 9009663	Albite , calcian	Al1.02 Ca0.02 Na0.98 O8 Si2.98	12,33%
COD 1532512	Quartz sandstone	O2 Si	7,57%

Quillota 980, Viña del Mar, CHILE. Fono: (56) 32 2845589

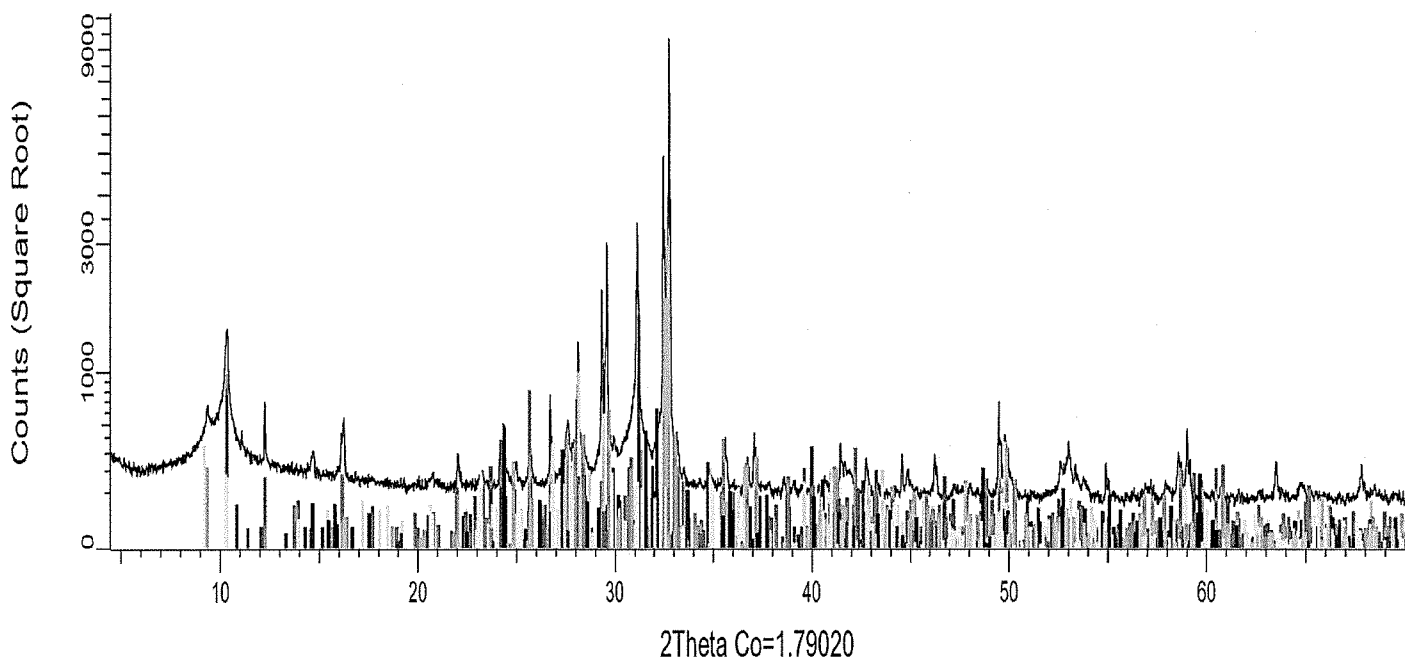
COD 9003434	Pyroxene-ideal	Mg O3 Si	7,33%
COD 9000181	Tamarugite	Al H12 Na O14 S2	6,68%
COD 9015250	Tremolite	Ca2 Mg5 O24 Si8	5,63%
COD 9001616	Heulandite-Ca	Al4.446 Ca1.848 H12.38 K0.06 Na0.65 O48.38 Si13.554	5,45%
PDF 87-2096	Quartz low	Si O2	4,33%
COD 1527004	sanidine-like feldspar	Al K O8 Si3	4,02%
PDF 02-0646	Cordierite	2 Mg O -2 Al2 O3 -5 Si O2	3,69%
PDF 05-0423	Lignite (NR)	C - Si O2	2,66%
COD 9014004	Carbon	C	2,29%
COD 1000042	Muscovite 2M1	Al3 H2 K O12 Si3	1,96%
PDF 46-0744	Calcium Aluminum Silicate	Al3 Ca0.5 Si3 O11	1,74%
PDF 86-2270	Anhydrite	Ca (S O4)	1,72%
COD 9001582	Biotite	Al1.207 Fe0.4 K1.906 Mg0.512 Mn0.007 Na0.034 O12 Si2.808 Ti0.067	1,59%
PDF 74-1786	Kaolinite 1A	Al2 Si2 O5 (O H)4	1,36%
COD 9010178	Annite	Al1.28 Fe1.41 K0.93 Mg1.02 Na0.07 O12 Si2.72 Ti0.46	1,28%
COD 9016249	Cristobalite	O2 Si	1,27%
COD 1526931	Anatase nanocrystalline	O2 Ti	1,11%
PDF 02-0509	Labradorite	Na2 O -2 Ca O -3 Al2 O3 -8 Si O2	0,99%
COD 1200004	β -MgSO4	Mg O4 S	0,96%
COD 8103498	Ramsdellite	Mn O2	0,93%
COD 9008082	Tistarite	O3 Ti2	0,80%
PDF 79-2329	Calcium Aluminum Oxide Sulfide	Ca8 (Al12 O24) S2	0,79%
COD 9013305	Wurtzite-4H	S Zn	0,79%
PDF 80-0502	Siderite magnesian calcian, syn	Ca0.1 Mg0.33 Fe0.57 (CO3)	0,75%
COD 8103690	sodium oxalate	C2 Na2 O4	0,74%
PDF 48-0682	Sodium Copper Manganese Oxide	Na4 Cu0.65 Mn0.35 Ox	0,67%
COD 9009086	Anatase	O2 Ti	0,59%
COD 9009055	potassium oxide	K2 O	0,57%
COD 9002827	Tuperssuatsiaite	Fe1.09 H10 Mn1.91 Na1.88 O28 Si8	0,56%
COD 9016410	Siderite	C Fe O3	0,49%
COD 9013453	Rasvumite	Fe2 K S3	0,45%
PDF 89-3435	Crstobalite, β	Si O2	0,38%
COD 9000167	Forsterite	Ca0.004 Fe0.912 Mg1.07 Mn0.012 O4 Si	0,35%
COD 1011031	Moissanite 3C	Si C	0,34%
COD 1011198	Wuestite	Fe O	0,18%
COD 1541151	Wuestite met.	Fe0.914 O	0,16%

S-Q a 100% fases cristalinas

Color	Pattern #	Compound Name	Formula	S-Q
	COD 9002203	Albite	AlNa O ₈ Si ₃	14.40%
	COD 9009633	Albite calcian	Al _{1.02} Ca _{0.02} Na _{0.95} O ₈ Si _{2.93}	12.23%
	COD 1532512	Quartzsandstone	O ₂ Si	7.51%
	COD 9003434	Proxene-ideal	Mg _{0.3} Si	7.27%
	COD 9000181	Tanumite	AlH ₁₂ Na O ₁₄ S ₂	6.62%
	COD 9015250	Tremolite	Ca ₂ Mg ₅ O ₂₄ Si ₈	5.55%
	COD 9001616	Hauandite-Ca	Al _{4.48} Ca _{1.84} H _{12.33} K _{0.05} Na _{0.65} O _{48.38} Si _{13.55}	5.41%
	PDF 87-2936	Quartzlow	SiO ₂	4.29%
	COD 1527004	sandine-k-feldspar	AlK _{0.8} Si ₃	3.95%
	PDF 02-0545	Cordiente	2Mg _{0.2} Al ₂ O ₃ -5SiO ₂	3.66%
	PDF 05-0425	Lignite(NR)	C-SiO ₂	2.64%
	COD 9014004	Carbon	C	2.27%
	COD 1000042	Muscovite2M1	Al ₃ H ₂ KO ₁₂ Si ₃	1.95%
	PDF 46-0744	Calcium Aluminum Silicate	Al ₅ Ca _{0.5} Si ₃ O ₁₁	1.73%
	PDF 86-2270	Anhydrite	Ca (S O ₄)	1.71%
	COD 9010178	Anita	Al _{1.28} Fe _{1.41} K _{0.93} Mg _{1.02} Na _{0.07} O ₁₂ Si _{2.72} Ti _{0.46}	1.69%
	COD 9001582	Gastite	Al _{1.207} Fe _{0.4} K _{1.905} Mg _{0.512} Mn _{0.007} Na _{0.034} O ₁₂ Si _{2.808} Ti _{0.057}	1.57%
	PDF 74-1786	Kaolinita1A	Al ₂ Si ₂ O ₅ (OH) ₄	1.35%
	COD 9016249	Cristobalite	O ₂ Si	1.26%
	PDF 79-2329	Calcium Aluminum Oxide Sulfide	Ca ₈ (Al ₁₂ O ₂₄)S ₂	1.17%
	COD 1526931	Anatasiananocrystalline	O ₂ Ti	1.10%
	PDF 02-0509	Labradorite	Na ₂ O 2Ca O 3Al ₂ O ₃ 8SiO ₂	0.95%
	COD 120004	B-MgSO ₄	Mg O ₄ S	0.95%
	COD 8103498	Ramsdellite	Mn O ₂	0.92%
	COD 9008082	Tetartite	O ₃ Ti ₂	0.79%
	COD 9013305	Wurzite-4H	S Zn	0.78%
	PDF 80-0502	Siderite-magnesiancalcian syn	Ca _{0.1} Mg _{0.33} Fe _{0.57} (C O ₃)	0.74%
	COD 8103690	sodiumoxalate	C ₂ N ₂ O ₄	0.73%
	PDF 48-0582	Sodium Copper Manganese Oxide	Na ₄ Cu _{0.65} Mn _{0.35} Ox	0.67%
	COD 9008086	Anatase	O ₂ Ti	0.59%
	COD 9009055	potassiumoxide	K ₂ O	0.57%
	COD 9002827	Tupersusutitania	Fe _{1.09} H ₁₀ Mn _{1.91} Na _{1.88} O ₂₈ Si ₆	0.55%
	COD 9016410	Siderite	CaFe O ₃	0.48%
	COD 9013453	Rasvumite	Fe ₂ K ₃ S	0.44%
	PDF 89-3435	Cristobalite_β	SiO ₂	0.38%
	COD 9000167	Forsterite	Ca _{0.004} Fe _{0.912} Mg _{1.07} Mn _{0.012} O ₄ Si	0.34%
	COD 1011031	Moissanite3C	SiC	0.33%
	COD 1011198	Wuestite	Fe O	0.18%
	COD 1541151	Wuestitemet.	Fe _{0.914} O	0.16%

Muestra QV-04

%-Crystallinity	53,70
%-Amorphous	46,30



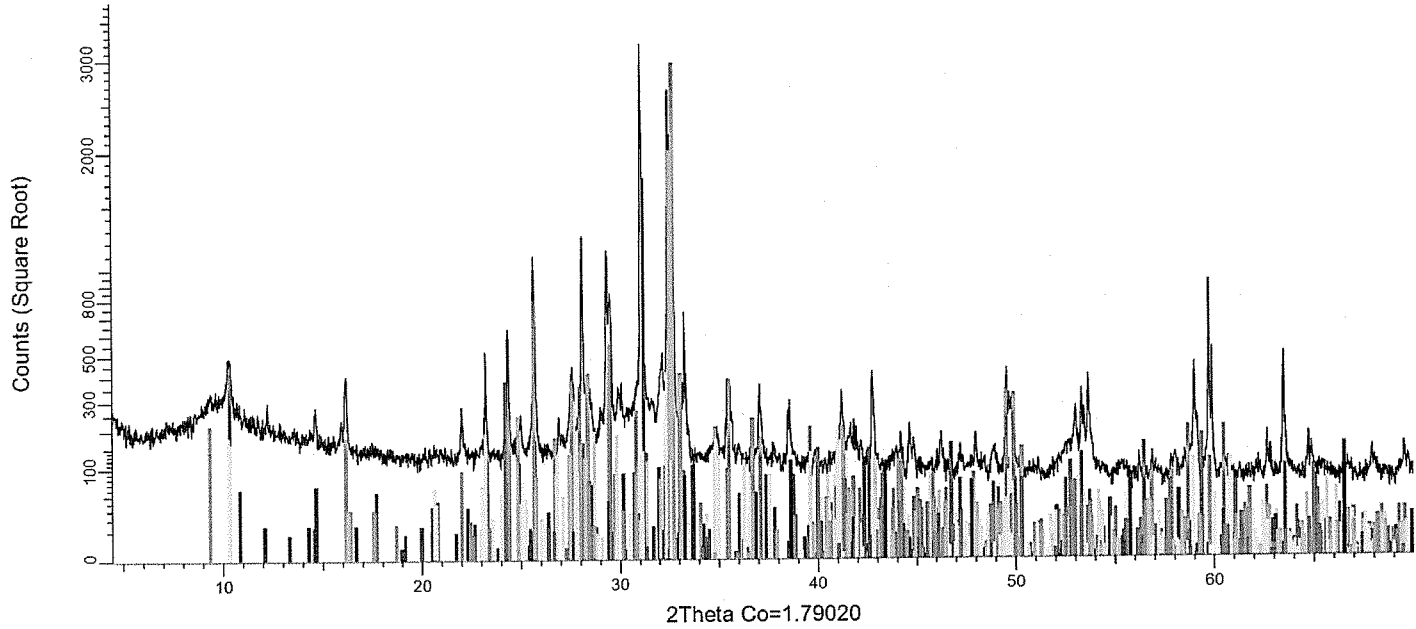
Compound Name	Formula	Pattern #	S-Q
Albite, calcian, ordered	(Na , Ca) Al (Si , Al) ₃ O ₈	PDF 41-1480	18,80%
Albite, disordered	Na (Si ₃ Al) O ₈	PDF 10-0393	16,63%

Pyroxene-ideal	Mg O3 Si	COD 9003434	10,70%
sanidine-like feldspar	Al K O8 Si3	COD 1527004	6,54%
Quartz low	O2 Si	COD 9015022	3,58%
Muscovite 2M1	Al3 H2 K O12 Si3	COD 1000042	3,20%
Calcium Aluminum Silicate	Al3 Ca0.5 Si3 O11	PDF 46-0744	2,84%
Anhydrite	Ca (S O4)	PDF 86-2270	2,80%
Annite	Al1.28 Fe1.41 K0.93 Mg1.02 Na0.07 O12 Si2.72 Ti0.46	COD 9010178	2,78%
Sulfur Oxide Graphite	C4 S O3	PDF 38-1212	2,56%
Sodium Aluminum Silicate	Na3.22 Al5.48 Si90.52 O190.9	PDF 41-0411	2,43%
Muscovite-2M1	Al2.65 Fe0.12 K0.92 Mg0.06 Na0.08 O12 Si3.2 Ti0.04	COD 9001953	2,38%
Anatase nanocrystal	O2 Ti	COD 1526931	2,24%
Calcium Aluminum Oxide Sulfide	Ca8 (Al12 O24) S2	PDF 79-2329	1,91%
Augite, aluminian	Ca (Mg , Fe , Al) (Si , Al)2 O6	PDF 41-1483	1,88%
Wurtzite-4H	S Zn	COD 9013305	1,78%
Kaersutite	Ca1.784 Fe1.72 K0.1 Mg3.494 Na1.058 O24 Si8	COD 9015124	1,74%
Cristobalite	O2 Si	COD 9016249	1,64%
Labradorite	Na2 O ·2 Ca O ·3 Al2 O3 ·8 Si O2	PDF 02-0509	1,60%
β -MgSO4	Mg O4 S	COD 1200004	1,57%
Fayalite	Fe1.1 Mg0.75 Mn0.15 O4 Si	COD 9016212	1,52%
Xonotlite	Ca6 O19 Si6	COD 9008438	1,17%
Biotite	Al1.207 Fe0.4 K1.906 Mg0.512 Mn0.007 Na0.034 O12 Si2.808 Ti0.067	COD 9001582	1,10%
Sodium Copper Manganese Oxide	Na4 Cu0.65 Mn0.35 Ox	PDF 48-0682	1,10%
Anatase	O2 Ti	COD 9009086	0,85%
Sapphirine-2M	Mg3.5 Al9 Si1.5 O20	PDF 21-0549	0,84%
Cancrinite	C Al3 Ca Na3 O15 Si3	COD 1010549	0,65%
Carbon	C6O	PDF 44-0558	0,63%
Carbon	C	COD 9014004	0,58%
Forsterite	Ca0.004 Fe0.912 Mg1.07 Mn0.012 O4 Si	COD 9000167	0,56%
Siderite	C Fe O3	COD 9016410	0,47%
Copper Zinc	Cu0.70 Zn2	PDF 65-1873	0,36%
Annite	Al3.448 Fe3 K0.99 Na0.01 O12 Si2.552	COD 9002315	0,34%
α -Cristobalite, syn	Si O2	PDF 89-3434	0,23%

Color	Pattern #	Compound Name	Formula	S-Q
	PDF41-1480	Albite, calcian ordered	(Na, Ca) Al(Si, Al)3O8	18.80%
	PDF10-0393	Albite, disordered	Na(Si3Al)O8	16.63%
	COD9003434	Pyroxene-ideal	MgO3Si	10.70%
	COD1527094	sanidine-like feldspar	AlK0.8Si3	6.54%
	CODS015022	Quartz	O2Si	3.58%
	COD1000042	Muscovite-2M1	Al3H2K O12Si3	3.20%
	PDF45-0744	Calcium Aluminum Silicate	Al3Ca0.5Si3O11	2.84%
	PDF85-2270	Anhydrite	Ca(SO4)	2.80%
	CODS010178	Anhite	Al1.28Fe1.41K0.93Mg1.02Na0.07O12Si2.72Ti0.46	2.78%
	PDF38-1212	Sulfur Oxide Graphite	C4S O3	2.56%
	PDF41-0411	Sodium Aluminum Silicate	Na3.22Al5.48Si90.52O160.9	2.43%
	COD9001553	Muscovite-2M1	Al2.65Fe0.12K0.92Mg0.05Na0.03O12Si3.2Ti0.04	2.33%
	COD1526931	Anatase nanocrystal	O2Ti	2.24%
	PDF75-2329	Calcium Aluminum Oxide Sulfide	Ca8(Al12O24)S2	1.91%
	PDF41-1483	Augite aluminian	Ca1(Mg, Fe, Al)Si Al12O6	1.88%
	COD9013305	Wurtzite-4H	S Zn	1.78%
	COD9015124	Kaerutite	Ca1.784Fe1.72K0.1Mg3.494Na1.058O24Si8	1.74%
	CODS016249	Cristobalite	O2Si	1.64%
	PDF02-0509	Labradorite	Na2O·2CaO·3Al2O3·8SiO2	1.60%
	COD1200034	6-MgSO4	MgO4S	1.57%
	COD9016212	Fayalite	Fe1.1Mg0.75Mn0.15O4Si	1.52%
	COD9008438	Xonotlite	Ca6O15Si6	1.17%
	CODS001582	Biotite	Al1.207Fe0.4K1.906Mg0.512Mn0.007Na0.034O12Si2.808Ti0.057	1.10%
	PDF48-0682	Sodium Copper Manganese Oxide	Na4Cu0.65Mn0.35Ox	1.10%
	COD9006086	Anatase	O2Ti	0.85%
	PDF21-0549	Sapphirine-2M	Mg3.5Al5Si1.5O20	0.84%
	COD1010549	Cancrinite	CAI3Ca Na3O15Si3	0.65%
	PDF44-0558	Carbon	C60	0.53%
	CODS014004	Carbon	C	0.53%
	COD9000167	Forsterite	Ca0.004Fe0.912Mg1.07Mn0.012O4Si	0.56%
	COD9016410	Siderite	CFe O3	0.47%
	PDF65-1873	Copper Zinc	Cu0.70Zn2	0.35%
	CODS002315	Anhite	Al3.448Fe3K0.59Na0.01O12Si2.552	0.34%
	PDF85-3434	α -Cristobalite syn	SiO2	0.23%

Muestra QV-05

%-Crystallinity	52,50
%-Amorphous	47,50



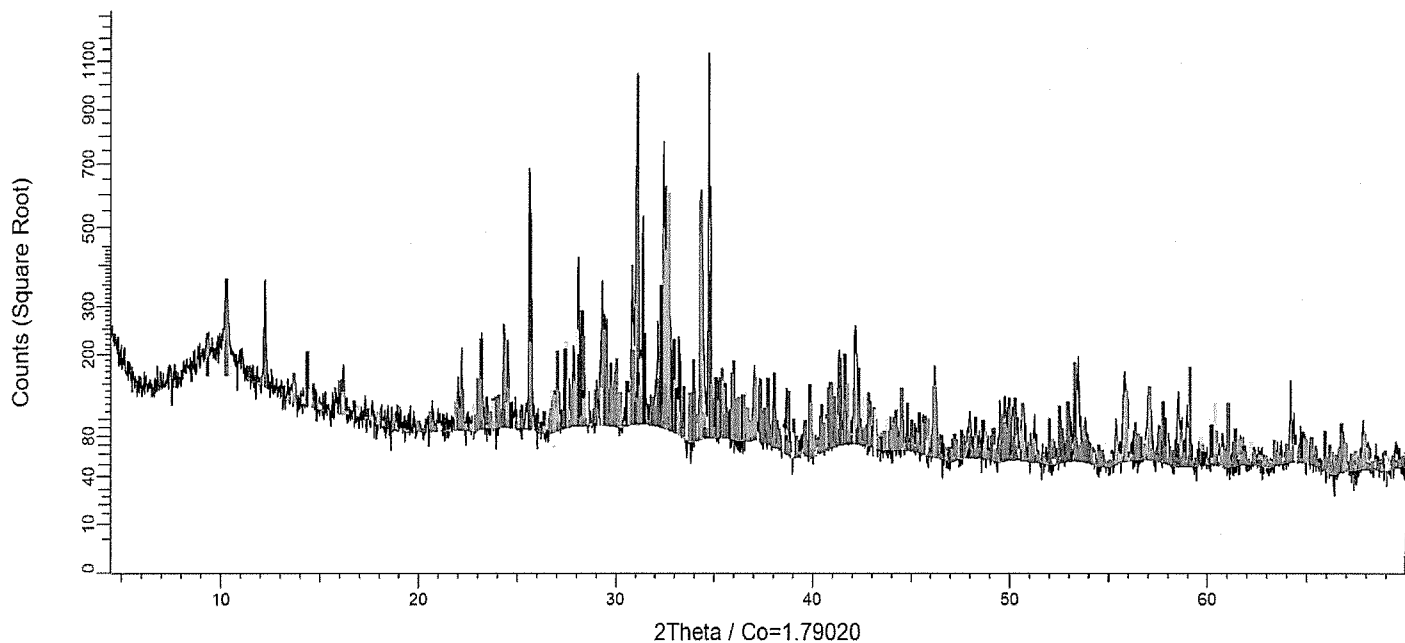
Compound Name	Formula	Pattern #	S-Q
Albite, calcian, ordered	(Na , Ca) Al (Si , Al) ₃ O ₈	PDF 41-1480	37,31%

Quartz low	O2 Si	COD 9015022	7,10%
Muscovite 2M1	Al3 H2 K O12 Si3	COD 1000042	6,35%
Calcium Aluminum Silicate	Al3 Ca0.5 Si3 O11	PDF 46-0744	5,63%
Sulfur Oxide Graphite	C4 S O3	PDF 38-1212	5,09%
Muscovite-2M1	Al2.65 Fe0.12 K0.92 Mg0.06 Na0.08 O12 Si3.2 Ti0.04	COD 9001953	4,73%
Augite, aluminian	Ca (Mg , Fe , Al) (Si , Al)2 O6	PDF 41-1483	3,73%
Anatase	O2 Ti	COD 9015929	3,61%
Labradorite	Na2 O ·2 Ca O ·3 Al2 O3 ·8 Si O2	PDF 02-0509	3,18%
β -MgSO4	Mg O4 S	COD 1200004	3,12%
Annite	Al1.28 Fe1.41 K0.93 Mg1.02 Na0.07 O12 Si2.72 Ti0.46	COD 9010178	2,39%
Xonotlite	Ca6 O19 Si6	COD 9008438	2,32%
Sodium Copper Manganese Oxide	Na4 Cu0.65 Mn0.35 Ox	PDF 48-0682	2,18%
Cementite	C Fe3	COD 5910001	2,08%
Pyrite	Fe S2	COD 9015842	1,82%
Rhodochrosite	C Mn O3	COD 5000207	1,71%
Sapphirine-2M	Mg3.5 Al9 Si1.5 O20	PDF 21-0549	1,67%
Cancrinite	C Al3 Ca Na3 O15 Si3	COD 1010549	1,29%
Carbon	C60	PDF 44-0558	1,24%
Carbon	C	COD 9014004	1,14%
Forsterite	Ca0.004 Fe0.912 Mg1.07 Mn0.012 O4 Si	COD 9000167	1,12%
Copper Zinc	Cu0.70 Zn2	PDF 65-1873	0,72%
α -Cristobalite, syn	Si O2	PDF 89-3434	0,46%

Color	Pattern #	Compound Name	Formula	S-Q
	PDF 41-1480	Albite, calcian, ordered	(Na, Ca) Al(Si, Al)3O8	37.31 %
	COD 9015022	Quartz low	O2Si	7.10 %
	COD 1000042	Muscovite 2M1	Al3H2KO12Si3	6.35 %
	PDF 46-0744	Calcium Aluminum Silicate	Al3Ca0.5Si3O11	5.63 %
	PDF 38-1212	Sulfur Oxide Graphite	C4S O3	5.09 %
	COD 9001953	Muscovite-2M1	Al2.65Fe0.12K0.92Mg0.06Na0.08O12Si3.2Ti0.04	4.73 %
	PDF 41-1483	Augite, aluminian	Ca(Mg, Fe, Al)(Si, Al)2O6	3.73 %
	COD 9015929	Anatase	O2Ti	3.61 %
	PDF 02-0509	Labradorite	Na2O·2CaO·3Al2O3·8SiO2	3.18 %
	COD 1200004	β -MgSO4	Mg O4 S	3.12 %
	COD 9010178	Annite	Al1.28Fe1.41K0.93Mg1.02Na0.07O12Si2.72Ti0.46	2.39 %
	COD 9008438	Xonotlite	Ca6O19Si6	2.32 %
	PDF 48-0682	Sodium Copper Manganese Oxide	Na4Cu0.65Mn0.35Ox	2.18 %
	COD 5910001	Cementite	CFe3	2.08 %
	COD 9015842	Pyrite	FeS2	1.82 %
	COD 5000207	Rhodochrosite	CMnO3	1.71 %
	PDF 21-0549	Sapphirine-2M	Mg3.5Al9Si1.5O20	1.67 %
	COD 1010549	Cancrinite	CAI3CaNa3O15Si3	1.29 %
	PDF 44-0558	Carbon	C60	1.24 %
	COD 9014004	Carbon	C	1.14 %
	COD 9000167	Forsterite	Ca0.004Fe0.912Mg1.07Mn0.012O4Si	1.12 %
	PDF 65-1873	Copper Zinc	Cu0.70Zn2	0.72 %
	PDF 89-3434	α -Cristobalite, syn	SiO2	0.46 %

Muestra QV-08

%-Crystallinity	45,69
%-Amorphous	54,31



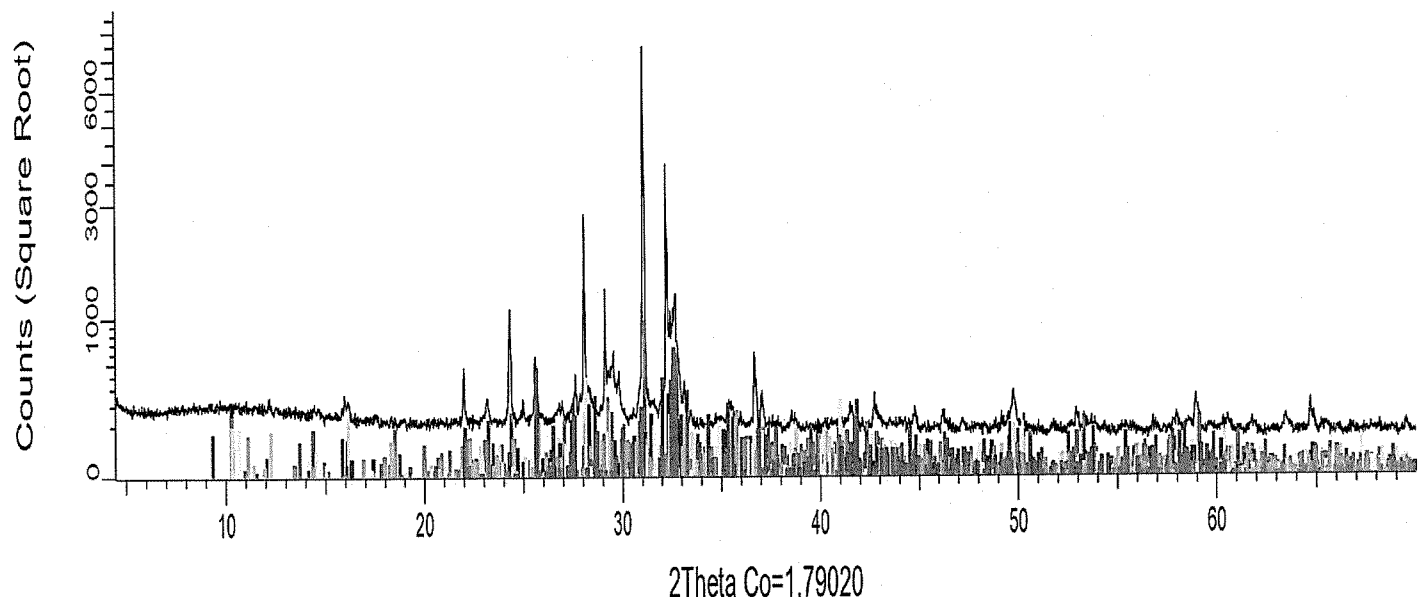
Compound Name	Formula	Pattern #	S-Q
Albite	Al1.02 Ca0.02 Na0.98 O8 Si2.98	COD 9009663	15,64%
Oligoclase	Al1.179 Ca0.179 Na0.821 O8 Si2.821	COD 9011422	12,51%
Albite, calcian, ordered	(Na, Ca) Al (Si, Al)3 O8	PDF 41-1480	11,45%
Quartz low	O2 Si	COD 1011176	6,59%
Diopside-ferrian	Ca Fe0.194 Mg0.906 O6 Si1.9	COD 9005336	5,15%

Muscovite / phengite	Al2.9 Fe0.04 H2 K0.86 Mg0.06 Na0.1 O12 Si3	COD 9014960	5,12%
Calcite	C Ca O3	COD 9016706	3,83%
Illite	Al2 H2 K O12 Si4	COD 9013718	3,65%
Graftonite	Ca Fe1.38 Mn0.62 O8 P2	COD 9000165	3,32%
Kaersutite	Ca1.784 Fe1.72 K0.1 Mg3.494 Na1.058 O24 Si8	COD 9015124	2,95%
Phlogopite	Fe0.993 H1.442 K Mg2.007 O12 Si3.96	COD 9010398	2,93%
Illite 1M	Al2.34 Ca0.02 Fe0.02 H4 K0.78 Mg0.34 Na0.02 O12 On Si3.35	COD 2300190	2,20%
Berlinite iso	Al O4 P	COD 1544551	2,12%
Phlogopite	Fe1.1 H0.24 K Mg1.9 O12 Si4	COD 9016344	2,01%
Kaolinite 2M	Al2 H4 O9 Si2	COD 1011045	1,74%
Celadonite	Al0.42 Ca0.04 Fe1.3 H2 K0.78 Mg0.58 O12 Si3.68 Ti0.02	COD 9015417	1,60%
Pectolite	Ca1.23 Mn0.77 Na O9 Si3	COD 9000612	1,53%
Larnite	Ca2 (Si O4)	PDF 83-0461	1,34%
sulphur alpha	S8	COD 1537087	1,31%
Thenardite	Na2 O4 S	COD 1011184	1,22%
Berlinite	Al O4 P	COD 9006550	1,10%
Ulvöspinel, syn	Fe2 Ti O4	PDF 34-0177	1,06%
Brookite	O2 Ti	COD 9004137	1,06%
Meionite, scapolite group	Ca4Al6Si6O24(CO3)	COD 1541653	0,94%
Augite, aluminian	Ca (Mg , Fe , Al) (Si , Al)2 O6	PDF 41-1483	0,85%
Ferrihydrite	Fe0.39 O0.595	COD 9012762	0,72%
Anatase	Ti O2	COD 5000223	0,69%
Gypsum	Ca H4 O6 S	COD 9013169	0,62%
Bayerite	Al H3 O3	COD 9016646	0,59%
aluminum sodium silicate	Al0.333 H0.167 Na0.167 O2 Si0.667	COD 9009366	0,55%
Taromite, potassian	Na2 Ca Fe5 Al2 Si6 O22 (OH)2	PDF 20-0734	0,51%
Quartz	O2 Si	COD 9011496	0,49%
Cementite	C Fe3	COD 5910001	0,47%
Cronstedite	Fe1.4 H1.667 O4.001 Si0.5	COD 9000019	0,47%
Gismondine	Al2 Ca H8 O12 Si2	COD 9012417	0,43%
Nikischerite	Al3 Fe6 H42 Na O38 S2	COD 9004733	0,26%
Forsterite	Ca0.004 Fe0.912 Mg1.07 Mn0.012 O4 Si	COD 9000167	0,25%
Rhodochrosite	C Mn O3	COD 5000207	0,19%
Titanomagnetite	Fe2 O4 Ti	COD 9000934	0,17%
α -Cristobalite, syn	Si O2	PDF 89-3434	0,10%
Tenorite	CU O	COD 1011194	0,10%
Dolomite	C2 Ca Mg O6	COD 9000573	0,07%
Zinc carbonate	C O3 Zn	COD 5910061	0,07%

Color	Pattern #	Compound Name	Formula	S-Q
	COD 9036683	Albite	Al1.02 Ca0.02 Na0.98 O8 Si2.98	15.75 %
	COD 9011422	Oligoclase	Al1.179 Ca0.179 Na0.821 O8 Si2.821	12.58 %
	PDF 41-1480	Albite, calcian, ordered	(Na, Ca) Al (Si, Al)3 O8	11.52 %
	COD 1011175	Quartz low	O2 Si	5.98 %
	COD 9005336	Dioptase-ferrian	CaFe0.194 Mg0.806 O8 Si1.9	5.18 %
	COD 9014980	Muscovite/ phengite	Al2.9 Fe0.04 H2 K0.86 Mg0.08 Na0.1 O12 Si3	5.16 %
	COD 9016706	Calcite	CaCa O3	3.84 %
	COD 9013718	Illite	Al2 H2 K O12 Si4	3.67 %
	COD 9000165	Graftontite	Ca Fe1.33 Mn0.62 O8 P2	3.34 %
	COD 9015124	Kaersutite	Ca1.784 Fe1.72 K0.1 Mg3.454 Na1.058 O24 Si8	2.97 %
	COD 9010388	Phlogopite	Fe0.953 H1.442 K Mg2.007 O12 Si3.66	2.54 %
	COD 2300180	Illite 1M	Al2.34 Ca0.02 Fe0.02 H4 K0.78 Mg0.34 Na0.02 O12 On Si3.35	2.21 %
	COD 1544551	Berlinite iso	Al O4 P	2.14 %
	COD 9016344	Phlogopite	Fe1.1 H0.24 K Mg1.9 O12 Si4	2.02 %
	COD 1011045	Kaolinite 2M	Al2 H4 O9 Si2	1.75 %
	COD 9015417	Celadonite	Al0.42 Ca0.04 Fe1.3 H2 K0.78 Mg0.58 O12 Si3.68 Ti0.02	1.61 %
	COD 9000612	Pectolite	Ca1.23 Mn0.77 Na0.9 Si3	1.54 %
	PDF 83-0461	Larnite	Ca2 (Si O4)	1.34 %
	COD 1537087	Subthulite alpha	Si8	1.32 %
	COD 1011184	Thenardite	Na2 Ca4 S	1.23 %
	COD 9006550	Berlinite	Al O4 P	1.11 %
	PDF 34-0177	Unospirel, syn	Fe2Ti O4	1.07 %
	COD 9034137	Brookite	O2 Ti	1.07 %
	COD 1541653	Magnite, scapolite group	Ca4Al6Si6O24(CO3)	0.95 %
	PDF 41-1483	Augite, aluminian	Ca (Mg, Fe, Al) (Si, Al)2 O8	0.88 %
	COD 9012782	Ferryhydrite	Fe0.3SiO0.595	0.73 %
	COD 5000223	Anatase	TiO2	0.70 %
	COD 9013159	Gypsum	Ca H4 O6 S	0.63 %
	COD 9016646	Bayelite	Al H3 O3	0.59 %
	COD 9009356	aluminium sodium silicate	Al0.333 H0.157 Na0.157 O2 Si0.657	0.55 %
	PDF 20-0734	Taramite, potassian	Na2 Ca Fe5 Al2 Si6 O22 (OH)2	0.51 %
	COD 9011495	Quartz	O2 Si	0.49 %
	COD 5910001	Cementite	CFe3	0.48 %
	COD 9000019	Cronstedite	Fe1.4 H1.667 C4.001 Si0.5	0.48 %
	COD 9012417	Gismondine	Al2 Ca H8 O12 Si2	0.44 %
	COD 9004733	Nikischerite	Al3 Fe5 H42 Na O38 Si2	0.26 %
	COD 9000157	Forsterite	Ca0.004 Fe0.912 Mg1.07 Mn0.012 O4 Si	0.26 %
	COD 5000207	Rhodochrosite	CMn O3	0.19 %
	COD 9000934	Titanomagnetite	Fe2O4 Ti	0.17 %
	PDF 83-3434	α -Cristobalite, syn	Si O2	0.11 %
	COD 1011154	Tenorite	CuO	0.10 %
	COD 9000573	Dolomite	C2 CaMg O6	0.07 %
	COD 9010051	Zinc carbonate	CO3 Zn	0.07 %

Muestra QV-09

%-Crystallinity	56,88
%-Amorphous	43,12



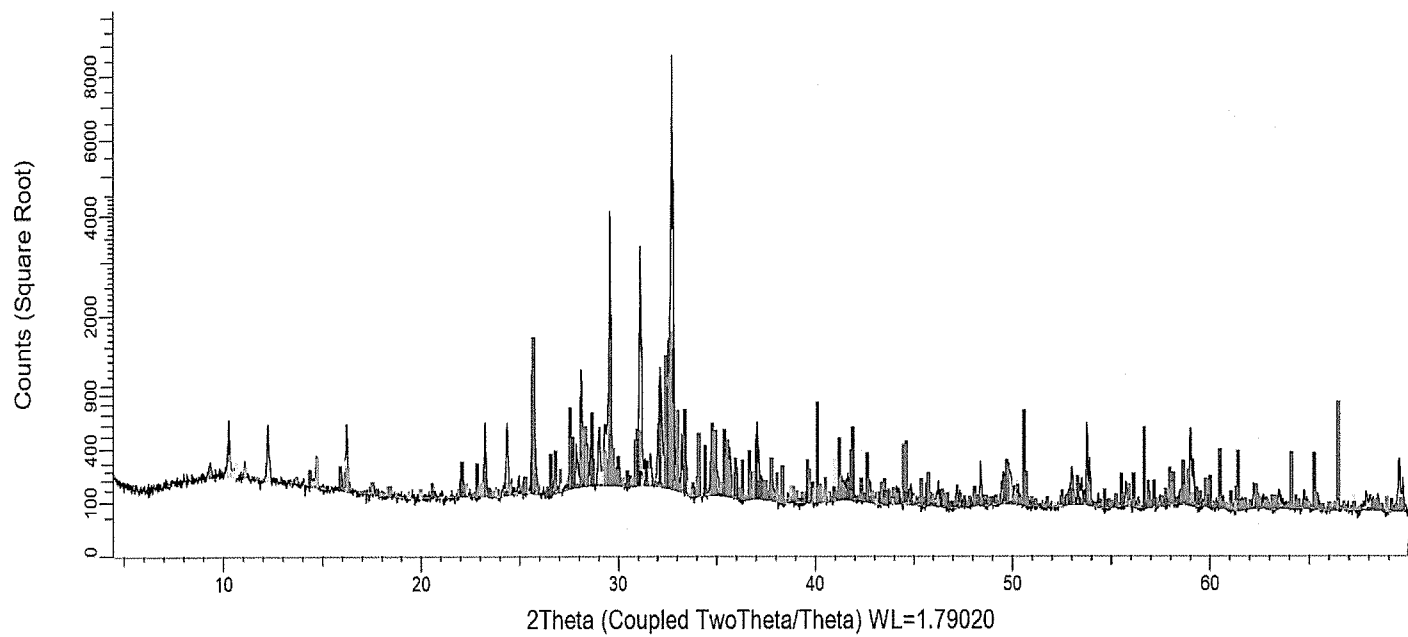
Compound Name	Pattern #	Formula	S-Q
Albite	COD 9009663	Al1.02 Ca0.02 Na0.98 O8 Si2.98	21,85%

Oligoclase	COD 9011422	Al1.179 Ca0.179 Na0.821 O8 Si2.821	17,48%
Quartz low	COD 1011176	O2 Si	5,21%
Bytownite	COD 9011200 (d x by)	Al0.92 Ca0.43 Na0.07 O4 Si1.08	5,07%
Kaersutite	COD 9015124	Ca1.784 Fe1.72 K0.1 Mg3.494 Na1.058 O24 Si8	4,12%
Phlogopite	COD 9010398	Fe0.993 H1.442 K Mg2.007 O12 Si3.96	4,09%
Illite 1M	COD 2300190	Al2.34 Ca0.02 Fe0.02 H4 K0.78 Mg0.34 Na0.02 O12 On Si3.35	3,07%
Berlinite iso	COD 1544551	Al O4 P	2,96%
Phlogopite	COD 9016344	Fe1.1 H0.24 K Mg1.9 O12 Si4	2,81%
Kaolinite 2M	COD 1011045	Al2 H4 O9 Si2	2,43%
Celadonite	COD 9015417	Al0.42 Ca0.04 Fe1.3 H2 K0.78 Mg0.58 O12 Si3.68 Ti0.02	2,24%
Pectolite	COD 9000612	Ca1.23 Mn0.77 Na O9 Si3	2,14%
Larnite	PDF 83-0461	Ca2 (Si O4)	1,87%
sulphur alpha	COD 1537087	S8	1,83%
Thenardite	COD 1011184	Na2 O4 S	1,70%
Berlinite	COD 9006550	Al O4 P	1,53%
Uvöspinel, syn	PDF 34-0177	Fe2 Ti O4	1,49%
Clintonite-1M	COD 9001887	Al3.46 Ca Fe0.15 H2 Mg2.19 O12 Si1.2	1,41%
Melonite, scapolite group	COD 1541653	Ca4Al6Si6O24(CO3)	1,32%
Anatase	COD 5000223	Ti O2	0,97%
Gypsum	COD 9013169	Ca H4 O6 S	0,87%
Bayerite	COD 9016646	Al H3 O3	0,82%
	COD 1004043	Al Cl4 Na	0,79%
aluminium sodium silicate	COD 9009366	Al0.333 H0.167 Na0.167 O2 Si0.667	0,77%
Tararamite, potassian	PDF 2D-0734	Na2 Ca Fe5 Al2 Si6 O22 (O H)2	0,71%
Quartz	COD 9011496	O2 Si	0,68%
Cementite	COD 5910001	C Fe3	0,66%
Cronstedtite	COD 9000019	Fe1.4 H1.667 O4.001 Si0.5	0,66%
Gismondine	COD 9012417	Al2 Ca H8 O12 Si2	0,61%
Sodalite	COD 9003330	Al3 Cl Na4 O12 Si3	0,59%
Nikischerite	COD 9004733	Al3 Fe6 H42 Na O38 S2	0,36%
Chloritoid	COD 9000773	Al3.84 Fe1.93 Mg0.15 O14 Si2	0,36%
Forsterite	COD 9000167	Ca0.D04 Fe0.912 Mg1.07 Mn0.012 O4 Si	0,36%
Ferrihydrite	COD 9012762	Fe0.39 O0.595	0,31%
Beusite	COD 9004214	Ca1.18 Fe0.9 Mn0.92 O8 P2	0,29%
Rhodochrosite	COD 5000207	C Mn O3	0,27%
Burkeite	COD 9009347	Ca49 Na3 O3.5 Si1.01	0,25%
Titanomagnetite	COD 9000934	Fe2 O4 Ti	0,24%
α -Cristobalite, syn	PDF 89-3434	Ca O2	0,22%
Tenorite	COD 1011194	Cu O	0,14%
Ramsdellite	COD 9016028	Mn O2	0,12%
Dolomite	COD 9000573	C2 Ca Mg O6	0,09%
Zinc carbonate	COD 5910061	C O3 Zn	0,09%

Color	Pattern #	Compound Name	Formula	S-O
	COD 5009553	Albite	Al _{0.02} Ca _{0.02} Na _{0.55} O ₃ Si ₂ Si ₃	21.85%
	COD 5011422	Oligoclase	Al _{0.179} Ca _{0.179} Na _{0.82} O ₃ Si ₂ Si ₃	17.45%
	COD 1011176	Quartz low	O ₂ Si	9.21%
	COD 5011200 (dx bv)	Ebtowrite	Al _{0.92} Ca _{0.43} Na _{0.07} O ₄ Si _{1.08}	5.07%
	COD 5015124	Kaersutite	Ca _{1.764} Fe _{1.72} K _{0.1} Mg _{3.454} Na _{1.053} O ₂₄ Si ₆	4.12%
	COD 5010358	Phlogopite	Fe _{0.593} Hi _{1.442} KMg _{2.007} O ₁₂ Si _{3.99}	4.09%
	COD 2900190	Nite 1M	Al _{0.34} Ca _{0.02} Fe _{0.02} H ₄ K _{0.75} Mg _{0.24} Na _{0.02} O ₁₂ Or _{0.35}	3.07%
	COD 1544551	Bardite iso.	AlO ₄ P	2.96%
	COD 5016344	Phlogopite	Fe _{1.1} H _{0.24} KMg _{1.9} O ₁₂ Si ₄	2.61%
	COD 10111045	Kapinite 2M	Al ₂ H ₄ O ₈ Si ₂	2.43%
	COD 5015417	Celadonite	Al _{0.42} Ca _{0.04} Fe _{1.3} H ₂ K _{0.78} Mg _{0.55} O ₁₂ Si _{3.65} Ti _{0.02}	2.24%
	COD 5000612	Perovsite	Ca _{1.23} Mn _{0.77} Na _{0.8} Si ₃	2.14%
	PDF 83-0461	Lamita	Ca ₂ (Si ₁ O ₄)	1.87%
	COD 1537087	sulphuralphs	Si ₈	1.83%
	COD 1011184	Therandite	Na ₂ O ₄ S	1.70%
	COD 5009550	Berkite	AlO ₄ P	1.53%
	PDF 34-0177	Uvospinelsvn	Fe ₂ Ti ₄ O ₄	1.49%
	COD 5001687	Clintonite-1M	Al _{3.45} Ca _{0.15} H ₂ Mg _{2.19} O ₁₂ Si _{1.2}	1.41%
	COD 1541653	Meldnite, scapolite group	Ca ₄ A ₆ Si ₆ O ₂₄ (CO ₃)	1.32%
	COD 5000223	Anatase	TiO ₂	0.57%
	COD 5013169	Gypsum	CaH ₄ O ₆ S	0.57%
	COD 5016646	Bayrite	AlH ₃ O ₃	0.52%
	COD 1004043	AlC ₁₄ Na	AlC ₁₄ Na	0.79%
	COD 5009356	aluminum sodium silicate	Al _{0.333} H _{0.167} Na _{0.157} O ₂ Si _{0.667}	0.77%
	PDF 20-0734	Taramire potassium	Na ₂ Ca ₂ Fe ₅ Al ₂ Si ₆ O ₂₂ (OH) ₂	0.71%
	COD 5011498	Quartz	O ₂ Si	0.68%
	COD 5910091	Camerite	CaFe ₃	0.65%
	COD 5000019	Cronstetite	Fe _{1.4} H _{1.657} O _{4.001} Si _{0.5}	0.65%
	COD 5012417	Gismondine	Al ₂ Ca ₁ HSi ₂ O ₁₂ Si ₂	0.61%
	COD 5003330	Sodilite	Al ₃ Cl ₁ Na ₅ O ₁₂ Si ₃	0.59%
	COD 5004733	Nikischerite	Al ₃ Fe ₆ H ₄₂ Na ₀ O ₃₈ Si ₂	0.36%
	COD 5000773	Chloritoid	Al _{3.84} Fe _{1.53} Mg _{0.15} O ₁₄ Si ₂	0.35%
	COD 5000167	Forsterite	Ca _{0.024} Fe _{0.512} Mg _{1.07} Mn _{0.012} O ₄ Si ₁	0.35%
	COD 5012752	Ferrimhydrate	Fe _{0.38} O _{0.585}	0.31%
	COD 5004214	Bausite	Ca _{1.18} Fe _{0.5} Mg _{0.92} O ₈ P ₂	0.29%
	COD 5000267	Rhodochrosite	CaMn ₀ O ₃	0.27%
	COD 5009347	Burkite	Ca _{0.49} Na ₃ O _{3.5} Si _{1.01}	0.25%
	COD 5003934	Transomagnatite	Fe ₂ O ₄ Ti ₁	0.24%
	COD 1530292		CaO ₂	0.22%
	PDF 83-3434	α -Cristobalite svn	SiO ₂	0.15%
	COD 1011184	Tenorite	CuO	0.14%
	COD 5015028	Ramsdellite	MnO ₂	0.12%
	COD 5000573	Dolomite	C ₂ Ca ₁ Mg ₀ O ₆	0.09%
	COD 5910061	Zinc carbonate	CO ₃ Zn	0.09%

Muestra QV-10

%-Crystallinity	62,44
%-Amorphous	37,56



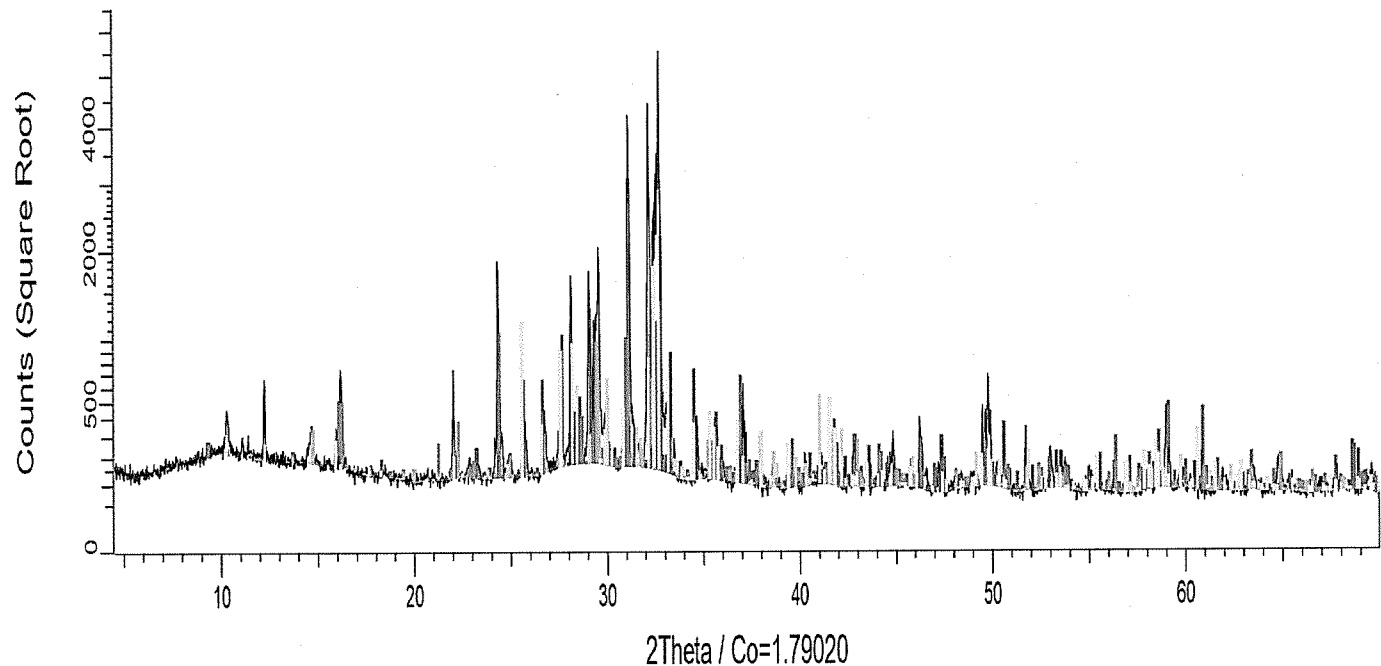
Pattern #	Compound Name	Formula	S-Q
COD 9011422	Oligoclase	Al1.179 Ca0.179 Na0.821 O8 Si2.821	11.44%

COD 2108237	Bytownite	Al1.75 Ca0.75 Na0.25 O8 Si2.25	11.07%
COD 9009663	Albite	Al1.02 Ca0.02 Na0.98 O8 Si2.98	8.95%
COD 9015124	Kaersutite	Ca1.784 Fe1.72 K0.1 Mg3.494 Na1.058 O24 Si8	8.82%
COD 9010398	Phlogopite	Fe0.993 H1.442 KMg2.007 O12 Si3.95	4.60%
COD 1011176	Quartz low	O2 Si	4.30%
COD 2300190	Illite 1M	Al2.34 Ca0.02 Fe0.02 H4 K0.75 Mg0.34 Na0.02 O12 On Si3.35	3.61%
COD 1544551	Berlinitic iso	Al O4 P	3.48%
COD 9000851	Akimotoite	Mg O3 Si	3.46%
COD 9016344	Phlogopite	Fe1.1 H0.24 KMg1.9 O12 Si4	3.30%
COD 9011144	calcium phosphate oxide	Ca4(PO4)2O	2.94%
COD 1011045	Kaolinite 2M	Al2 H4 O9 Si2	2.85%
COD 9015417	Celadonite	Al0.42 Ca0.04 Fe1.3 H2 K0.78 Mg0.56 O12 Si3.68 Ti0.02	2.63%
COD 9000612	Pectolite	Ca1.23 Mn0.77 Na O9 Si3	2.52%
PDF 83-0451	Larnite	Ca2 (Si O4)	2.19%
COD 1537087	sulphur alpha	S8	2.15%
COD 1011184	Thenardite	Na2 O4 S	2.00%
COD 9035550	Berlinitic	Al O4 P	1.80%
PDF 34-0177	Uvöspinel, syn	Fe2 Ti O4	1.74%
COD 1526931	Anatase	O2 Ti	1.65%
COD 9001867	Clintonite-1M	Al3.46 Ca Fe0.15 H2 Mg2.19 O12 Si1.2	1.66%
COD 1541653	Meionite, scapolite group	Ca4Al6Si6O24(CO3)	1.55%
COD 5000223	Anatase	Ti O2	1.13%
COD 9016199	Epidote	Al2.09 Ca2 Fe0.91 H O13 Si3	1.12%
COD 9013169	Gypsum	Ca H4 O5 S	1.02%
COD 9016546	Bayerite	Al H3 O3	0.95%
COD 9000165	Graftonite	Ca Fe1.38 Mn0.62 O8 P2	0.95%
COD 9009366	aluminum sodium silicate	Al0.333 H0.167 Na0.167 O2 Si0.667	0.90%
PDF 20-0734	Taramite, potassian	Na2 Ca Fe5 Al2 Si6 O22 (O H)2	0.84%
COD 9011496	Quartz	O2 Si	0.80%
COD 5910031	Cementite	C Fe3	0.78%
COD 9000019	Cronstedtite	Fe1.4 H1.667 O4.001 Si0.5	0.77%
COD 9012417	Gismondine	Al2 Ca H8 O12 Si2	0.71%
COD 9003330 (d x by)	Sodalite	Al3 Cl Na4 O12 Si3	0.69%
COD 1535469	hydrossodalite	Al16 H16 Mg1.95 Na1.95 O32 Si6	0.63%
COD 9004733	Nikischerite	Al3 Fe6 H42 Na O38 Si2	0.43%
COD 9003773	Chlortoid	Al3.84 Fe1.93 Mg0.15 O14 Si2	0.42%
COD 9000167	Forsterite	Ca0.004 Fe0.912 Mg1.07 Mn0.012 O4 Si	0.42%
COD 9012762	Ferryonyrite	Fe0.39 O0.595	0.36%
COD 9044214	Beusite	Ca1.18 Fe0.9 Mn0.92 O8 P2	0.34%
COD 5000207	Rhodochrosite	C Mn O3	0.32%
COD 9009347	Burkeltite	Ca0.49 Na3 O3.5 Si1.01	0.30%
COD 900034	Titanomagnetite	Fe2 O4 Ti	0.28%
PDF 89-3434	α -Cristobalite, svn	Si O2	0.17%
COD 1011194	Tenorite	Cu O	0.16%
COD 4002439	Quartz	O2 Si	0.14%
COD 9016028	Ramsdellite	Mn O2	0.13%
COD 9000573	Dolomite	C2 Ca Mg O6	0.11%
COD 5910051	Zinc carbonate	C O3 Zn	0.11%

Color	Pattern #	Compound Name	Formula	S-Q
■■■	COD 9011422	Oligocels	A1.179 Ca0.129 Na0.821 O8 S2.821	11.44 %
■■■	COD 2108237	Brownite	A1.75 Ca0.75 Na0.25 O8 S2.25	11.07 %
■■■	COD 9009663	Albite	A11.02 Ca0.02 Na0.98 O8 S2.98	8.99 %
■■■	COD 9015124	Kersantite	Ca1.78 Fe1.72 K0.1 Mg3.494 Na1.058 O12 S3.95	4.84 %
■■■	COD 9010398	Pyrope	Fe0.993 H1.442 KM=2.007 O12 S3.95	4.80 %
■■■	COD 1011176	Quartz low	O2 Si	4.30 %
■■■	COD 2300190	Quartz 1M	A12.34 Ca0.02 Fe0.02 H4 K0.78 Mg0.34 Na0.02 O12 Oi S3.35	3.81 %
■■■	COD 1544551	Bertrandite iso	A1 O4 P	3.48 %
■■■	COD 9000851	Aluminite	Mg O3 S	3.48 %
■■■	COD 9016344	Philipsite	Fe1.1 H2.24 KMg1.9 O12 S4	3.30 %
■■■	COD 9011144	calcium phosphore oxide	Ca4 PO4 2O	2.94 %
■■■	COD 1011045	Kersantite 2M	A12 H4 O9 S2	2.85 %
■■■	COD 9015417	Celsianite	A10.42 Ca0.04 Fe1.3 H2 K0.78 Mg0.58 O12 S3.68 Ti0.02	2.63 %
■■■	COD 9000612	Reposit	Ca1.23 Mn0.77 Na0.93 S3	2.52 %
■■■	PDF 83-0461	Lamprophyllite	O2 Si O4	2.19 %
■■■	COD 1537087	Sulphur white	S8	2.15 %
■■■	COD 1011184	Thennardite	Na2 O4 S	2.00 %
■■■	COD 9006550	Berlinite	A1 O4 P	1.69 %
■■■	PDF 34-0177	Uvarovite, syn	Fe2 Ti O4	1.74 %
■■■	COD 1526331	Anorthite	O2 Ti	1.68 %
■■■	COD 9001687	Clinorite-1M	A13.44 Ca Fe0.15 H2 Ni=2.19 O12 S1.2	1.66 %
■■■	COD 1541653	Melano-actinolite group	Ca4A15.50(24)C03	1.55 %
■■■	COD 5000223	Anorthite	Ti O2	1.13 %
■■■	COD 9016199	Epidote	A12.09 Ca2 Fe0.91 H O13 S3	1.12 %
■■■	COD 9013169	Gypsum	Ca H4 O6 S	1.02 %
■■■	COD 9016645	Bayenite	A1 H3 O3	0.98 %
■■■	COD 9000165	Graftonite	Ca Fe1.38 Mn0.62 O8 P2	0.98 %
■■■	COD 9009368	luminous sodium silicate	A10.333 H0.167 Na0.167 O2 S0.567	0.90 %
■■■	PDF 20-0734	Teranite, potassium	Na2 Ca Fe5 A12 S6 O22 (OH)12	0.84 %
■■■	COD 9011498	Quartz	O2 Si	0.80 %
■■■	COD 5810001	Cementite	O Fe3	0.78 %
■■■	COD 9000019	Chromite	Fe1.4 M1.667 O4.001 S0.5	0.77 %
■■■	COD 9012417	Gummardite	A12 Ca H8 O12 S2	0.71 %
■■■	COD 9003333 (ch by)	Sodite	A13 Cl Na4 O12 S3	0.69 %
■■■	COD 1536449	hydrated-oxite	A18 H18 Mg1.36 Na1.98 O32 S6	0.63 %
■■■	COD 9004733	Natrolite	A13 Fe5 H42 Na0.035 S2	0.43 %
■■■	COD 9009773	Chondrodite	A13.84 Fe1.33 Mg0.15 O14 S2	0.42 %
■■■	COD 9000167	Poriferite	Ca0.002 Fe0.312 Mg1.07 Mn0.012 O4 S	0.42 %
■■■	COD 9012752	Ferrimhydrite	Fe0.35 O9 S5	0.36 %
■■■	COD 9004214	Beudite	Ca1.16 Fe0.9 M4.032 O8 P2	0.34 %
■■■	COD 5000207	Phosphate	O Mn O3	0.32 %
■■■	COD 9009347	Burkite	Ca4.49 Na3 O3.5 Si1.01	0.30 %
■■■	COD 900934	Thomomysite	Fe2 O4 Ti	0.28 %
■■■	PDF 69-3434	o-Chrysotile, syn	S O2	0.17 %
■■■	COD 1011184	Tenontite	Ca O	0.16 %
■■■	COD 4020438	Quartz	O2 Si	0.16 %
■■■	COD 9018028	Ramsdellite	Mn O2	0.14 %
■■■	COD 9000573	Dolomite	O2 Ca Mg O6	0.11 %
■■■	COD 5810061	Zinc carbonato	O O2 Zn	0.11 %

Muestra QV-11

%-Crystallinity	55,39
%-Amorphous	44,61



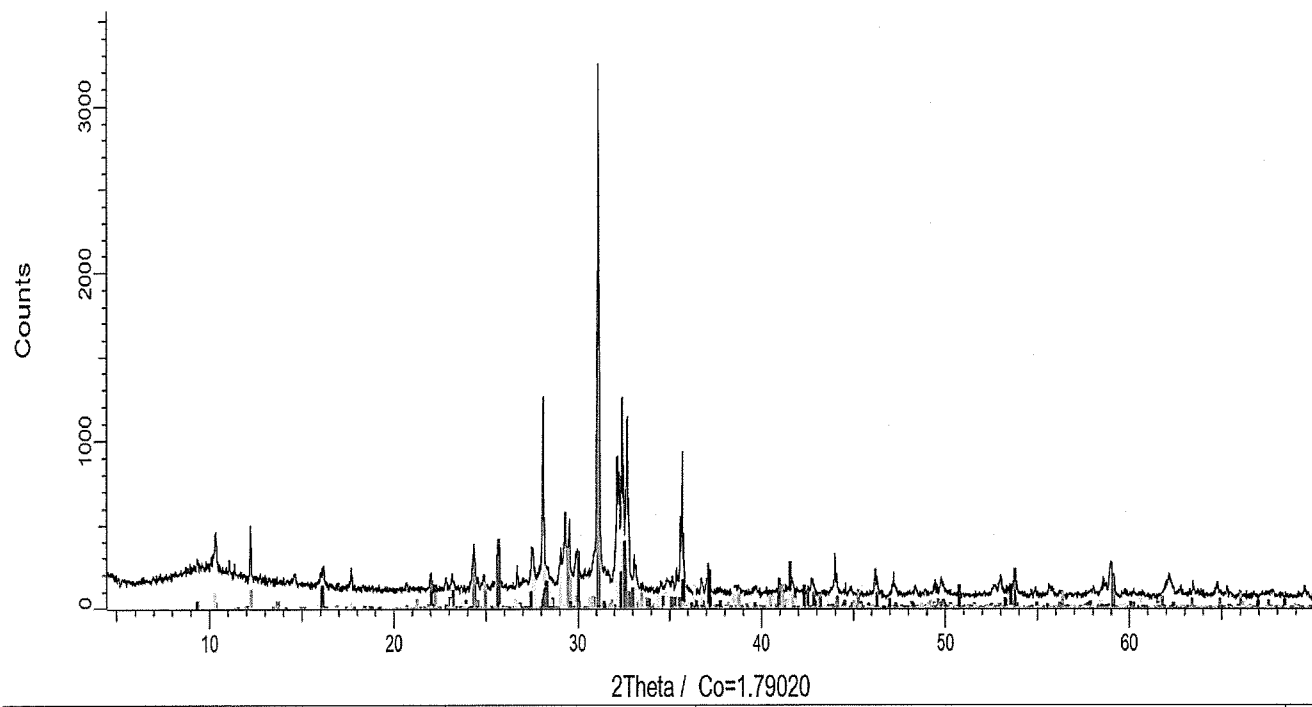
Color	Pattern #	Compound Name	Formula	S-Q
Yellow	PDF 79-1148	Andesine	Na _{0.499} Ca _{0.491} (Al _{1.488} Si _{2.506} O ₈)	19.10%
Gray	COD 6000749	Labradorite	Al _{0.83} Ca _{0.34} Na _{0.15} O ₄ Si _{1.17}	15.65%

128, 128, 255	COD 9009663	Albite	Al _{1.02} Ca _{0.02} Na _{0.98} Si _{2.98}	7,64%
Red	COD 1011176	Quartz low	O ₂ Si	5,55%
Gold	COD 9015124	Kaersutite	Ca _{1.784} Fe _{1.72} K _{0.1} Mg _{3.494} Na _{1.058} O ₂₄ Si ₈	4,13%
192, 0, 192	COD 3300190	Illite 1M	Al _{2.34} Ca _{0.02} Fe _{0.2} H ₄ K _{0.78} Mg _{0.34} Na _{0.02} O ₁₂ On Si _{3.35}	3,06%
Olive	COD 1544551	Berlineite iso	Al _{1.04} P	2,97%
MediumPurple	COD 9016344	Phlogopite	Fe _{1.1} H _{0.24} KMg _{1.9} O ₁₂ Si ₄	2,51%
Green	COD 9014857	hydrous-perovskite	H ₆ MgO ₆ Si	2,40%
LightPink	COD 9015417	Celadonite	Al _{0.42} Ca _{0.04} Fe _{1.3} H ₂ K _{0.78} Mg _{0.58} O ₁₂ Si _{3.65} Ti _{0.02}	2,24%
DarkGoldenrod	COD 9014904	Carbon	C	2,21%
Gold	COD 9014701	Vaterite	CCaO ₃	2,16%
SpringGreen	COD 9030812	Pectolite	Ca _{1.33} Mn _{0.77} Na _{0.9} Si ₃	2,14%
192, 192, 255	COD 1008083	magnesium chromates	CrMgO ₄	2,04%
DarkMagenta	PDF 83-0461	Larnite	Ca ₂ (SiO ₄)	1,87%
Lime	COD 1011184	Thennardite	Na ₂ O ₄ S	1,70%
Black	COD 9006550	Berlineite	Al _{0.4} P	1,54%
LightSteelBlue	PDF 34-0177	Uvöspinel, syn	Fe ₂ TiO ₄	1,49%
DodgerBlue	COD 1541653	Melionite, scapolite group	Ca ₄ Al _{6.6} Si _{0.24} (CO ₃)	1,32%
DarkKhaki	COD 9012515	Serravancite	H ₂ MnO ₅ P	1,30%
Cyan	COD 5000223	Anatase	TiO ₂	0,95%
Magenta	COD 9013169	Gypsum	CaH ₄ O ₆ S	0,87%
DarkOrange	COD 9015646	Bayerite	AlH ₃ O ₃	0,82%
Cyan	COD 9009366	aluminosilicate keatite	Al ₁ H ₆ O ₅ Si ₂	0,68%
SpringGreen	PDF 20-0734	Quartz	O ₂ Si	0,66%
DodgerBlue	COD 9005597	Cementite	CFe ₃	0,66%
Crimson	COD 8104312	Cronestedtite	Fe _{1.4} H _{1.667} O _{4.001} Si _{0.5}	0,66%
DarkRed	COD 9011495	uninodal zeolites	O ₂ Si	0,65%
Crimson	COD 5910001	Forsterite	Ca _{0.02} Fe _{0.912} Mg _{1.07} Mn _{0.012} O ₄ Si	0,65%
192, 192, 255	COD 9000019	sodalite met.	Al _{1.002} Mg _{1.998} O ₂₄ P ₆	0,35%
MediumPurple	COD 4124081	Sodalite	Fe _{0.39} O ₃ Si ₅	0,31%
LightPink	COD 9003330 (d x by)	Poroxene-ideal	Ca _{1.18} Fe _{0.9} Mn _{0.92} O ₈ P ₂	0,29%
DarkRed	COD 9003389	hydrsodalite	Al ₆ H ₁₆ Mg _{1.98} Na _{3.98} O ₃₂ Si ₆	0,53%
DarkCyan	COD 1556469	Nikischite	Al ₃ Fe ₆ H ₄₂ Na _{0.8} Si ₂	0,37%
192, 0, 192	COD 9004733	Chloritoid	Al _{3.84} Fe _{1.93} Mg _{0.15} O ₁₄ Si ₂	0,36%
0, 0, 192	COD 9000773	Forsterite	Ca _{0.02} Fe _{0.912} Mg _{1.07} Mn _{0.012} O ₄ Si	0,36%
192, 0, 192	COD 9000167	sodalite met.	Al _{1.002} Mg _{1.998} O ₂₄ P ₆	0,35%
Red	COD 1521101	Ferrhydrite	Fe _{0.39} O ₃ Si ₅	0,31%
DarkMagenta	COD 9012762	Beusite	Ca _{1.18} Fe _{0.9} Mn _{0.92} O ₈ P ₂	0,29%
Yellow	COD 9004214	Sodium Chloride	Cl ₁ Na ₁	0,27%
Black	COD 2311042	Rhosochrosite	C Mn O ₃	0,27%
Blue	COD 5000207	Titanomagnetite	Fe ₂ O ₄ Ti	0,24%
0, 0, 192	COD 9009334	Chalcopyrite	Cu Fe S ₂	0,17%
Olive	COD 1010940	α -Cristobalite, syn	Si O ₂	0,15%
Magenta	PDF 89-3434	Tenorite	Cu O	0,14%
LightSteelBlue	COD 1011194	Quartz	O ₂ Si	0,13%
128, 128, 255	COD 4002439	Ramsdellite	Mn O ₂	0,12%
Blue	COD 9016028	Dolomite	C ₂ Ca Mg O ₆	0,09%
Lime	COD 9000573	Zinc carbonate	C O ₃ Zn	0,09%
DarkGoldenrod	COD 5910061	Zinc sulfate	O ₄ S Zn	0,05%
DarkOrange	COD 1539120			0,05%

Color	Pattern #	Compound Name	Formula	S-O
■	PDF-79-1148	Andesine	Na _{4.99} Ca _{4.91} (Al _{1.458} Si _{2.506} O ₈)	19.10 %
■	COD 9000749	Lherzolite	Al _{0.83} Ca _{0.34} Na _{0.15} O ₄ Si _{1.17}	15.66 %
■	COD 9009663	Albite	Al _{1.02} Ca _{0.02} Na _{0.98} O ₈ Si _{2.98}	7.84 %
■	COD 1911178	Quartz low	O ₂ Si	5.55 %
■	COD 9015124	Kersulite	Ca _{1.764} Fe _{1.72} K _{0.1} Mg _{3.484} Na _{1.658} O ₂₄ Si ₈	4.13 %
■	COD 2300190	Mica 1M	Al _{2.34} Ca _{0.02} Fe _{0.02} H ₄ K _{0.78} Mg _{3.34} Na _{0.02} O ₁₂ OH Si _{3.35}	3.08 %
■	COD 1541551	Berlinite iso	Al _{0.04} P	2.97 %
■	COD 9016344	Philogorskite	Fe _{1.1} H _{0.24} KMg _{3.9} O ₁₂ Si ₄	2.81 %
■	COD 9014857	Hydrocalcite-perovskite	Hg Mg O ₆ Si	2.40 %
■	COD 9015417	Celsianite	Al _{0.42} Ca _{0.04} Fe _{1.3} H ₂ K _{0.78} Mg _{0.58} O ₁₂ Si _{3.68} Ti _{0.02}	2.24 %
■	COD 9014004	Carbon	C	2.21 %
■	COD 9014701	Vesuvianite	Ca ₂ O ₈ Si ₈	2.15 %
■	COD 9000612	Pedotite	Ca _{1.23} Mn _{0.77} Na _{0.9} Si ₃	2.14 %
■	COD 1028063	Magnesium chromate	Cr ₁ Mg _{0.04}	2.04 %
■	PDF-83-0461	Lennite	Ca ₂ (Si ₄ O ₁₁)	1.87 %
■	COD 1911184	Therandite	Na ₂ O ₄ S	1.70 %
■	COD 9009550	Berlinite	Al _{0.04} P	1.54 %
■	PDF-34-0177	Ulyssiponite, sym	Fe ₂ Ti O ₄	1.49 %
■	COD 1541653	Meionite, zeospinite group	Ca ₂ Al ₆ Si ₂₄ O ₄₈	1.32 %
■	COD 9012515	Semiborchardite	H ₂ Mn O ₅ P	1.30 %
■	COD 5002223	Anorthite	Ti O ₂	0.98 %
■	COD 9013169	Gypsum	Ca H ₄ O ₆ S	0.87 %
■	COD 9012645	Barroisite	Al H ₃ O ₃	0.82 %
■	COD 9009366	aluminosilicate sodium silicate	Al _{0.333} H _{0.157} Na _{0.157} O ₂ Si _{0.667}	0.77 %
■	PDF-20-0734	Tourmaline, potassium	Na ₂ Ca Fe ₅ Al ₂ Si ₈ O ₂₂ / OH ₁₂	0.71 %
■	COD 9005557	Saneite	Al _{1.635} Cr _{0.166} Mg _{0.961} O ₄ Zn _{0.009}	0.71 %
■	COD 6104312	aluminosilicate kaolite	Al H O ₆ Si ₂	0.69 %
■	COD 9011496	Quartz	O ₂ Si	0.68 %
■	COD 5010001	Cementite	Ca Fe ₃	0.66 %
■	COD 9000019	Chromite	Fe _{1.4} H _{1.667} O ₄ O _{0.5}	0.66 %
■	COD 4124061	Ungadol zedrites	O ₂ Si	0.65 %
■	COD 9003330 (dxby)	Sodalite	Al ₃ Ca _{1.84} O ₁₂ Si ₃	0.59 %
■	COD 9003363	Pyroxene-ideal	Fe O ₃ Si	0.54 %
■	COD 1538459	hydrated-sodalite	Al ₆ H ₁₆ Mg _{1.88} Na _{1.98} O ₃₂ Si ₆	0.53 %
■	COD 9004733	Nikolschenseite	Al ₃ Fe ₂ H ₄₂ Na _{0.08} Si ₂	0.37 %
■	COD 9000773	Chondrodite	Al ₃ Si ₄ Fe _{1.63} Mg _{0.15} O ₁₄ Si ₂	0.36 %
■	COD 9000167	Forsterite	Ca _{0.004} Fe _{0.912} Mg _{1.07} Mn _{0.012} O ₄ Si	0.36 %
■	COD 1521701	sodalite mes	Al ₄ O _{0.02} Mg _{1.998} O ₂₄ P ₂	0.35 %
■	COD 5012762	Parthymite	Fe _{0.39} Cu _{0.58}	0.31 %
■	COD 5004214	Bessitasite	Ca _{1.16} Fe _{0.9} Mn _{0.32} O ₈ P ₂	0.29 %
■	COD 2311042	Sodium Chloride	Cl Na	0.27 %
■	COD 5002207	Rhodochrosite	Ca Mn O ₃	0.27 %
■	COD 9000934	Titanomagnetite	Fe ₂ O ₄ Ti	0.24 %
■	COD 1012643	Chalcocite	Cu Fe S ₂	0.17 %
■	PDF-89-3434	α-Chalcocite, sym	Si O ₂	0.15 %
■	COD 1011184	Tenorite	Cu O	0.14 %
■	COD 4002439	Quartz	O ₂ Si	0.13 %
■	COD 9016028	Ramsdellite	Mn O ₂	0.12 %
■	COD 9000573	Dolomite	C ₂ Ca Mg O ₆	0.09 %
■	COD 5012661	Zinc carbonate	Ca _{0.03} Zn	0.09 %
■	COD 15339120	Zinc sulfide	O ₄ S Zn	0.05 %

Muestra QV-BC-E2

%-Crystallinity	50,39
%-Amorphous	49,61



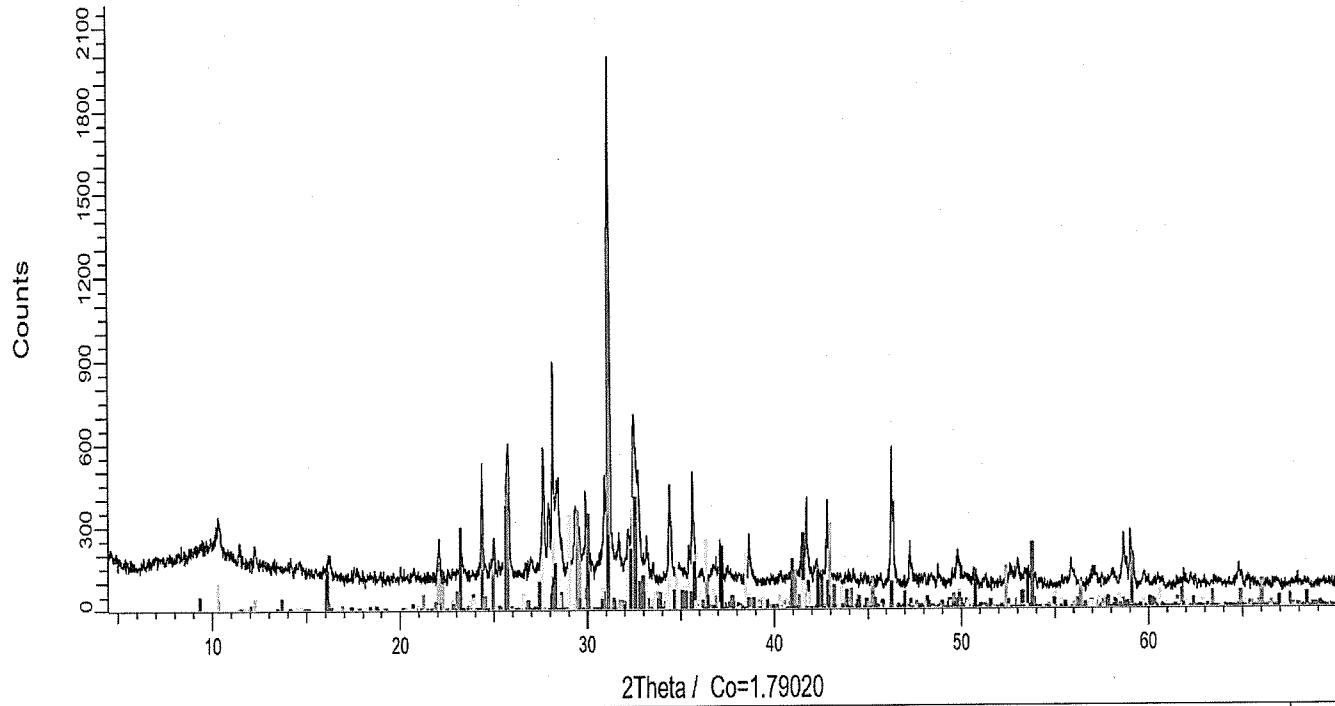
Color	Pattern #	Compound Name	Formula	S-Q
Green	COD 9009663	Albite	Al1.02 Ca0.02 Na0.98 O8 Si2.98	21,51

Cyan	COD 9009366	aluminum sodium silicate	Al0.333 H0.167 Na0.167 O2 Si0.667	0,67
Crimson	COD 8104312	aluminosilicate keatite	Al H O6 Si2	1,37
Cyan	COD 5002223	Anatase	Ti O2	0,89
Yellow	PDF 79-1148	Andesine	Na0.499 Ca0.491 (Al1.488 Si2.506 O8)	9,58
DarkOrange	COD 9016646	Bayerite	Al H3 O3	1,44
Black	COD 9006550	Berlinite	Al O4 P	0,64
Olive	COD 1544551	Berlinite iso	Al O4 P	3,63
Yellow	COD 9004214	Beusite	Ca1.18 Fe0.9 Mn0.92 O8 P2	1,79
DarkGoldenrod	COD 9014004	Carbon	C	1,32
LightPink	COD 9015417	Celadonite	Al0.42 Ca0.04 Fe1.3 H2 K0.78 Mg0.58 O12 Si3.68 Ti0.02	4,53
Crimson	COD 5910001	Cementite	C Fe3	0,6
Olive	COD 1010940	Chalcopyrite	Cu Fe S2	0,1
0, 0, 192	COD 9000773	Chloritoid	Al3.84 Ca0.02 Fe0.15 O14 Si2	0,89
192, 192, 255	COD 9000019	Cronstedtite	Fe1.4 H1.667 O4.001 Si0.5	0,62
Lime	COD 9000573	Dolomite	C2 Ca Mg O6	0,46
DarkMagenta	COD 9012762	Ferrihydrite	Fe0.39 O0.595	1,81
Magenta	COD 9013169	Gypsum	Ca H4 O6 S	1,73
192, 0, 192	COD 2300190	Illite 1M	Al2.34 Ca0.02 Fe0.02 H4 K0.78 Mg0.34 Na0.02 O12 On Si3.35	8,58
DarkKhaki	COD 9015124	Kaersutite	Ca1.784 Fe1.72 K0.1 Mg3.494 Na1.058 Q24 Si8	4,06
DarkMagenta	PDF 83-0461	Larnite	Ca2 { Si O4 }	2,05
DodgerBlue	COD 1541653	Melanite, scapolite group	Ca4Al6Si6O24(CO3)	3,72
192, 0, 192	COD 9004733	Nikisberite	Al3 Fe6 H42 Na O98 S2	0,51
Gold	PDF 53-0899	Oberlite	Na3 { Mg3 Fe +3 Ti +4 } Si8 O22 O2	2,68
SpringGreen	COD 9000612	Pectolite	Ca1.23 Mn0.77 Na O9 Si3	2,44
DarkRed	COD 9003393	Pyroxene-ideal	Fe O3 Si	1,49
DarkRed	COD 9011496	Quartz	O2 Si	5,43
Red	COD 1011176	Quartz low	O2 Si	0,83
Blue	COD 9016028	Ramsdellite	Mn O2	1,36
Blue	COD 5000207	Rhodochrosite	C Mn O3	0,33
192, 192, 255	COD 9009130	Scacchite	Cl2 Mn	0,99
DarkKhaki	COD 9012515	Serrabrancaite	H2 Mn O5 P	0,82
LightPink	COD 9003330 (d x by)	Sodalite	Al3 Cl Na4 O12 Si3	0,29
Red	COD 1521101	sodalite met.	Al4.002 Mg1.998 O24 P6	0,6
Black	COD 2311042	Sodium Chloride	Cl Na	0,3
DodgerBlue	COD 9005597	Spinel	Al1.835 Cr0.166 Mg0.991 O4 Zn0.009	1,75
SpringGreen	PDF 20-0734	Taramite, potassian	Na2 Ca Fe5 Al2 Si6 O22 (OH)2	0,5
LightSteelBlue	COD 1011194	Tenorite	Cu O	1,99
Lime	COD 1011184	Thenardite	Na2 O4 S	0,3
0, 0, 192	COD 9000934	Titanomagnetite	Fe2 O4 Ti	1,96
LightSteelBlue	PDF 34-0177	Uvöspinel, syn	Fe2 Ti O4	0,09
DarkGoldenrod	COD 5910061	Zinc carbonate	C O3 Zn	0,18
DarkOrange	COD 1539120	Zinc sulfate	O4 S Zn	0,76
Magenta	PDF 89-3434	α -Cristobalite, syn	Si O2	

Color	Pattern #	Compound Name	Formula	S-Q
	COD 5005563	Albre	Al1.02 Ca0.02 Na0.98 O8 S1.2 S3	21.51 %
	COD 5005365	aluminosodiumsilicate	Al0.333 H0.157Na0.157O2 Si3.557	3.67 %
	COD 8104312	aluminosilicatekeatite	Al1 H0.08 S1.2	1.37 %
	COD 5000223	Arasite	TiO2	0.89 %
	PDF75-1148	Arcepite	Na0.455Ca0.431(Al1.453Si2.505O8)	5.58 %
	COD 5016646	Bavertite	Al1 H3O3	1.44 %
	COD 5005550	Berlinit	Al1 O4 P	1.54 %
	COD 1544551	Berlinguito	Al1 O4 P	3.63 %
	COD 5004214	Beusite	Ca1.18Fe0.9Mn0.92O8 P2	1.79 %
	COD 5014004	Carbon	C	1.32 %
	COD 5015417	Cataldonite	Al0.42 Ca0.04 Fe1.3 H2 K0.78 Mg0.53 O12 Si3.68 Ti0.02	4.53 %
	COD 5910001	Cemantite	CaFe3	3.60 %
	COD 1010540	Chalcocite	Cu1 FeS2	2.10 %
	COD 5003773	Chlinitoid	Al0.84 Fe1.53 Mg0.15 O14 S12	2.69 %
	COD 5000019	Cronstedtite	Fe1.4H1.667O4.001Si0.5	2.62 %
	COD 500573	Dolomite	C2 CaMg O6	3.46 %
	COD 5012762	Fernihylrite	Fe0.39 Ca0.595	1.81 %
	COD 5013169	Gypsum	Ca H4 O8 S	1.73 %
	COD 2300190	Illite1M	Al2.34 Ca0.02 Fe0.02 H4 K0.78 Mg0.34 Na0.02 D12 On Si3.35	5.58 %
	COD 5015124	Kaersutite	Ca1.784Fe1.72 K0.1Mg3.454Na1.058O24 S13	4.06 %
	PDF82-0461	Lamotte	Ca2 (Si1O4)	2.05 %
	COD 1541653	Melonite scapolitegroup	Ca4Al5S6O24(CO3)	3.72 %
	COD 5014733	Nikitschenko	Al2 Fe6 H42 Na3 S2	3.51 %
	PDF52-0399	Obernite	Na3(Mg3Fe+3Ti+4)Si6 O22 O2	2.68 %
	COD 5000512	Pectolite	Ca1.23Mn0.77Na0.93 S13	2.60 %
	COD 5003393	Pyroxene-ideal	Fe O3 Si	2.44 %
	COD 5011456	Quanz	O2 Si	1.49 %
	COD 1011176	Quanzitow	O2 Si	5.43 %
	COD 5015028	Ramsdellite	Mn O2	0.83 %
	COD 5000207	Rhodochrosite	C Mn O3	1.36 %
	COD 5009130	Scapchite	C2 Mn	0.33 %
	COD 5012515	Serrabrunasite	H2 Mn O5 P	0.99 %
	COD 5003330(dx bv)	Sodalite	Al3 ClNa4 O12 S3	3.82 %
	COD 1521101	sodalitemet.	Al4.002 Mg1.998 O24 Pb	3.29 %
	COD 2311042	Sodium Chloride	Cl Na	3.60 %
	COD 5005557	Spinel	Al1.835 Cr0.165Mn0.951 O4 Zr0.009	3.30 %
	PDF20-0734	Taramite_potassian	Na2 Ca Fe5 Al2 Si6 O22 (OH)2	1.75 %
	COD 1011194	Tenortite	Cu O	0.50 %
	COD 1011184	Thenardite	Na2 O4 S	1.99 %
	COD 5000934	Titanomagnetite	Fe2O4 Ti	3.30 %
	PDF34-0177	Ulvöspinel syn	Fe2 Ti O4	1.56 %
	COD 5910051	Zinccarbonate	CO3 Zn	0.06 %
	COD 1539120	Zincsalt	O4 S Zn	2.18 %
	PDF89-3434	α -Cristobalite syn	Si O2	0.76 %

Muestra QV-BC-E3

%-Crystallinity	49,39
%-Amorphous	50,61



Color	Pattern #	Compound Name	Formula	S-Q
Green	COD 9009663	Albite	Al1.02 Ca0.02 Na0.98 O8 Si2.98	21,13

Yellow	PDF 79-1148	Andesine	Na _{4.49} Ca _{4.91} (Al _{1.488} Si _{2.506} O ₈)	9,41
192, 0, 192	COD 2300190	Illite 1M	Al _{2.34} Ca _{0.02} Fe _{0.02} H ₄ K _{0.78} Mg _{0.34} Na _{0.02} O ₁₂ On Si _{3.35}	8,43
Red	COD 1011176	Quartz low	O ₂ Si	5,33
LightPink	COD 9015417	Celadonite	Al _{0.42} Ca _{0.04} Fe _{1.3} H ₂ K _{0.78} Mg _{0.58} O ₁₂ Si _{3.68} Ti _{0.02}	4,45
Gold	COD 9015124	Kaersutite	Ca _{1.784} Fe _{1.72} K _{0.1} Mg _{3.494} Na _{1.058} O ₂₄ Si ₈	4,15
DodgerBlue	COD 1541653	Melonite, scapolite group	Ca ₄ Al ₆ Si ₆ O ₂₄ [CO ₃]	3,65
Olive	COD 1544551	Berlinite iso	Al O ₄ P	3,56
Yellow	COD 9004214	Beusite	Ca _{1.18} Fe _{0.9} Mn _{0.92} O ₈ P ₂	3,07
SpringGreen	COD 9000612	Pectolite	Ca _{1.23} Mn _{0.77} Na _{0.9} Si ₃	2,55
DodgerBlue	COD 9005597	Spinel	Al _{1.835} Cr _{0.166} Mg _{0.991} O ₄ Zn _{0.009}	2,46
DarkRed	COD 9003393	Pyroxene-ideal	Fe O ₃ Si	2,4
DarkMagenta	PDF 83-0461	Larnite	Ca ₂ (Si O ₄)	2,02
Lime	COD 1011184	Thenardite	Na ₂ O ₄ S	1,96
LightSteelBlue	PDF 34-0177	Uvöspinel, syn	Fe ₂ Ti O ₄	1,92
0, 0, 192	COD 9000773	Chloritoid	Al _{3.84} Fe _{1.93} Mg _{0.15} O ₁₄ Si ₂	1,79
DarkMagenta	COD 9012762	Ferrihydrite	Fe _{0.39} O _{0.595}	1,78
SpringGreen	PDF 20-0734	Taramite, potassian	Na ₂ Ca Fe ₅ Al ₂ Si ₆ O ₂₂ (O H) ₂	1,72
Magenta	COD 9013169	Gypsum	Ca H ₄ O ₆ S	1,69
DarkRed	COD 9011496	Quartz	O ₂ Si	1,46
DarkOrange	COD 9016646	Bayerite	Al H ₃ O ₃	1,41
Crimson	COD 8104312	aluminosilicate keatite	Al H O ₆ Si ₂	1,35
Blue	COD 5000207	Rhodochrosite	C Mn O ₃	1,33
DarkGoldenrod	COD 9014004	Carbon	C	1,3
DarkKhaki	COD 9012515	Serrabrancalite	H ₂ Mn O ₅ P	0,97
Cyan	COD 5000223	Anatase	Ti O ₂	0,88
Blue	COD 9016028	Ramsdellite	Mn O ₂	0,81
LightPink	COD 9003330 (d x by)	Sodalite	Al ₃ Cl Na ₄ O ₁₂ Si ₃	0,8
Magenta	PDF 89-3434	α-Cristobalite, syn	Si O ₂	0,74
Cyan	COD 9009366	aluminilun sodium silicate	Al _{0.333} H _{0.167} Na _{0.167} O ₂ Si _{0.667}	0,66
Black	COD 9006550	Berlinite	Al O ₄ P	0,63
192, 192, 255	COD 9000019	Cronstedtite	Fe _{1.4} H _{1.667} O _{4.001} Si _{0.5}	0,61
Crimson	COD 5910001	Cementite	C Fe ₃	0,59
Black	COD 2311042	Sodium Chloride	Cl Na	0,59
192, 0, 192	COD 9004733	Nikischerite	Al ₃ Fe ₆ H ₄₂ Na O ₃₈ S ₂	0,5
LightSteelBlue	COD 1011194	Tenorite	Cu O	0,49
Lime	COD 9000573	Dolomite	C ₂ Ca Mg O ₆	0,45
0, 0, 192	COD 9000934	Titanomagnetite	Fe ₂ O ₄ Ti	0,29
Red	COD 1521101	sodalite met.	Al _{4.002} Mg _{1.998} O ₂₄ P ₆	0,28
DarkOrange	COD 1539120	Zinc sulfate	O ₄ S Zn	0,18
Olive	COD 1010940	Chalcopyrite	Cu Fe S ₂	0,1
DarkGoldenrod	COD 5910061	Zinc carbonate	C O ₃ Zn	0,09

Color	Pattern #	Compound Name	Formula	S-Q
■	COD 9009563	Albite	Al1.02 Ca0.02 Na0.98 O6 Si2.58	21.13%
■	PDF 79-1148	Andesine	Na4.99 Ca4.91 (Al1.48 Si2.50) O8	9.41%
■	COD 2300190	Ilita 1M	Al2.34 Ca0.02 Fe0.02 H4 K0.78 Mg0.34 Na0.02 O12 On Si3.35	8.43%
■	COD 1011176	Quartz low	O2 Si	5.33%
■	COD 5015417	Celadonite	Al0.42 Ca0.04 Fe1.3 H2 K0.78 Mg0.55 O12 Si3.68 Ti0.02	4.45%
■	COD 5015124	Kaersutite	Ca1.784 Fe1.72 K0.1 Mg3.494 Na1.058 O24 Si8	4.15%
■	COD 1541653	Melanite, scapolite group	Ca4AlSi6O24(Co3)	3.65%
■	COD 1544551	Berlinita iso	Al1 O4 P	3.55%
■	COD 5004214	Beusite	Ca1.18 Fe0.9 Mn0.92 O8 P2	3.07%
■	COD 5000512	Pectolite	Ca1.23 Mn0.77 Na0.9 Si3	2.55%
■	COD 5005597	Spinel	Al1.835 Cr0.166 Mn0.691 O4 Zn0.009	2.45%
■	COD 5003393	Pvroxene-ideal	Fe O3 Si	2.40%
■	PDF 82-0451	Lamotte	Ca2 (Si O4)	2.02%
■	COD 1011184	Thennardite	Na2 Ca4 S	1.99%
■	PDF 34-0177	Ulvöspinel syn	Fe2Ti O4	1.92%
■	COD 5000773	Chondroclase	Al3.84 Fe1.93 Mg0.15 O14 Si2	1.79%
■	COD 5012762	Fenrirvitine	Fe0.39 O0.55	1.78%
■	PDF 20-0734	Tanomite potassian	Na2 Ca5 Fe5 Al2 Si6 O22 / O H12	1.72%
■	COD 5013169	Gypsum	Ca H4 O6 S	1.69%
■	COD 5011456	Quartz	O2 Si	1.45%
■	COD 5016546	Baventite	AlH3 O3	1.41%
■	COD 5104312	aluminosilicate kaolinite	Al1 H6 Si2	1.35%
■	COD 5000207	Rhodochrosite	C Mn O3	1.33%
■	COD 5014004	Carbon	C	1.30%
■	COD 5012515	Serrabrancale	H2 Mn O5 P	0.97%
■	COD 5000223	Anatase	Ti O2	0.88%
■	COD 5016028	Ramsdellite	Mn O2	0.81%
■	COD 5003330 (dxby)	Sodalite	Al3 Cl Na4 O12 Si3	0.80%
■	PDF 89-3434	β-Cristobalite syn	Si O2	0.74%
■	COD 5009366	aluminium sodiumsilicate	Al0.333 H0.157 Na0.157 O2 Si0.557	0.65%
■	COD 5005550	Berline	Al1 O4 P	0.63%
■	COD 5000019	Crortedrite	Fe1.4 H1.557 O4.001 Si0.5	0.61%
■	COD 5910001	Cementite	C Fe3	0.59%
■	COD 2311042	Sodium Chloride	Cl Na	0.59%
■	COD 5004733	Nikolschite	Al3 Fe6 H42 Na O38 Si2	0.50%
■	COD 1011184	Tenorite	Cu O	0.49%
■	COD 5000573	Dolomite	C2 Ca Mg O6	0.45%
■	COD 5000634	Titanomagnetite	Fe2 O4 Ti	0.29%
■	COD 1521101	Sodalitemet.	Al4.002 Mg1.998 O24 P6	0.28%
■	COD 1539120	Zinc sulfate	O4 S Zn	0.18%
■	COD 1010940	Chalcocovite	Cu Fe S2	0.10%
■	COD 5910051	Zinc carbonate	C O3 Zn	0.09%

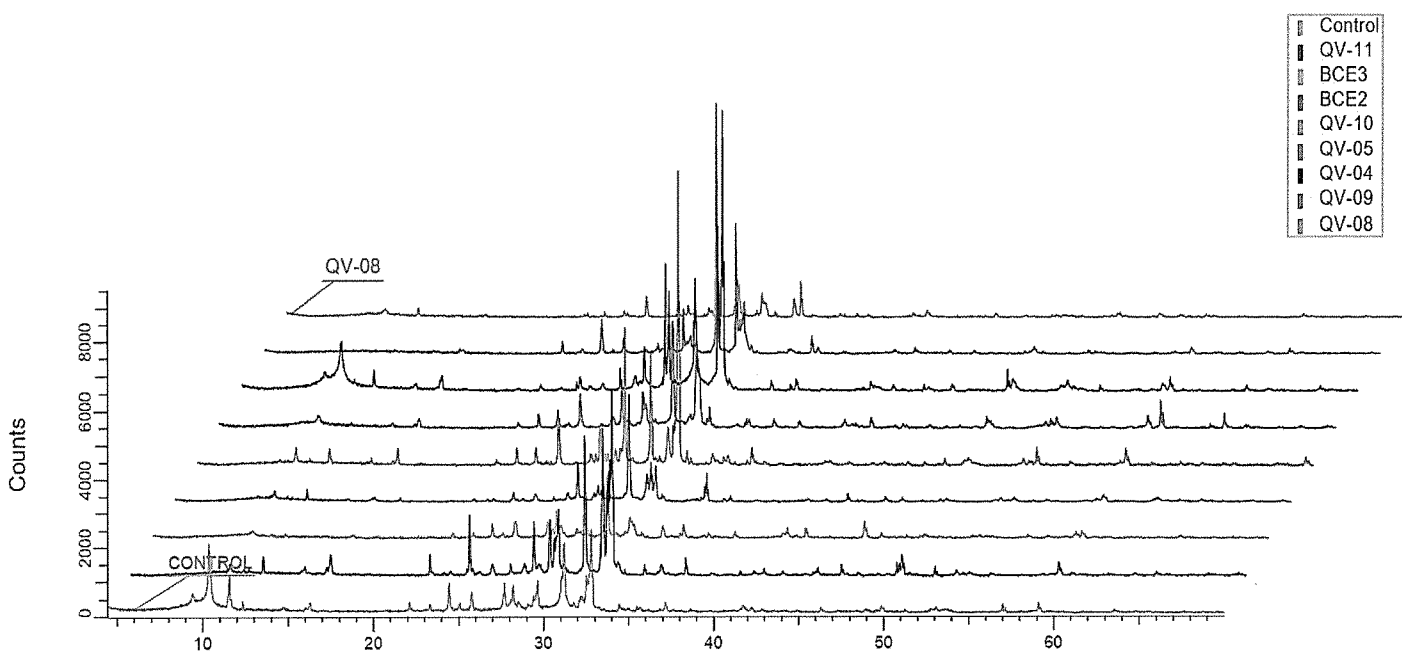


Tabla 6. Resultados del análisis de difracción de Rayos x (DRX) normalizados a las fases cristalinas de las muestras superficiales del fondo marino de la Bahía de Quintero-Ventana.

Mineral	Grupo mineral	Formula	Pattern #	CONTROL	QV_04	QV_05	QV_08	QV_09	QV_10	QV_11	BCE2	BCE3
Anatase nanocrystalline	oxide	O ₂ Ti	COD 1526931	1,11	2,24	0	0	0	1,66	0	0	0
Akimotoite	oxide silicate	Mg O ₃ Si	COD 9000851	0	0	0	0	0	3,46	0	0	0
Albite	Feldespato Na	Al Na O ₈ Si ₈	COD 9002203	14,52	0	0	0	0	0	0	0	0
Albite , calcian	Feldespato Ca	Al1.02 Ca0.02 Na0.98 O ₈ Si _{2.98}	COD 9009653	12,33	0	0	15,64	21,85	8,96	7,64	21,51	21,13
Albite, calcian, ordered	Feldespato Ca	(Na , Ca) Al{ Si , Al } ₃ O ₈	PDF 41-1480	0	18,8	37,31	11,45	0	0	0	0	0
Albite, disordered	Feldespato Na	Na { Si ₃ Al } O ₈	PDF 10-0393	0	16,63	0	0	0	0	0	0	0
aluminosilicate sodium	Aluminosilicates Na	AlO ₃₃ H _{0.167} Na _{0.167} O ₂ Si _{0.667}	COD 9009366	0	0	0	0,55	0,77	0,9	0,77	0,67	0,66
aluminosilicate keatite	silice	Al H O ₆ Si ₂	COD 8104312	0	0	0	0	0	0	0,69	1,37	1,35
Anatase	óxidos	Ti O ₂	COD 5000223	0	0	0	0,69	0,97	1,13	0,98	0,89	0,88
Anatase	oxídos	O ₂ Ti	COD 9009086	0,59	0,85	3,61	0	0	0	0	0	0
Andesine	Feldespato Ca	Na _{4.99} Ca _{4.91} (Al _{1.488} Si _{2.506} O ₈)	PDF 79-1148	0	0	0	0	0	0	19,1	9,58	9,41
Anhydrite	opaco/ yeso	Ca { S O ₄ }	PDF 86-2270	1,72	2,8	0	0	0	0	0	0	0
Annite	mica blanca	Al _{3.448} Fe ₃ K _{0.99} Na _{0.01} O ₁₂ Si _{2.552}	COD 9002315	0	0,34	0	0	0	0	0	0	0
Annite	mica blanca	Al _{1.28} Fe _{1.41} K _{0.93} Mg _{1.02} Na _{0.07} O ₁₂ Si _{2.72} Ti _{0.46}	COD 9010178	1,28	2,78	2,39	0	0	0	0	0	0
Augite, aluminian	piroxeno	Ca { Mg , Fe , Al } { Si , Al } ₂ O ₆	PDF 41-1483	0	1,88	3,73	0,85	0	0	0	0	0
Bayerite	oxide	Al H ₃ O ₃	COD 9016646	0	0	0	0,59	0,82	0,96	0,82	1,44	1,41
Berlinite	fósforos	Al O ₄ P	COD 9006550	0	0	0	1,1	1,53	1,8	1,54	0,64	0,63
Berlinite iso	fósforos	Al O ₄ P	COD 1544551	0	0	0	2,12	2,96	3,48	2,97	3,63	3,56
Beusite	fósforos	Ca _{1.18} Fe _{0.9} Mn _{0.92} O ₈ P ₂	COD 9004214	0	0	0	0	0,29	0,34	0,29	1,79	3,07
Biotite	mica blanca	Al _{1.207} Fe _{0.4} K _{1.906} Mg _{0.512} Mn _{0.007} Na _{0.034} O ₁₂ Si _{2.808} Ti _{0.067}	COD 9001582	1,59	1,1	0	0	0	0	0	0	0
Brookite	oxide	O ₂ Ti	COD 9004137	0	0	0	1,06	0	0	0	0	0
Burkite	evaporite saline	Ca _{0.49} Na ₃ O ₅ Si _{1.01}	COD 9009347	0	0	0	0	0,25	0,3	0	0	0
Bytownite	Feldespato Ca	Al _{1.75} Ca _{0.75} Na _{0.25} O ₈ Si _{2.25}	COD 2108237	0	0	0	0	0	11,07	0	0	0
Bytownite	Feldespato Ca	Al _{0.92} Ca _{0.43} Na _{0.07} O ₄ Si _{1.08}	COD 9011200	0	0	0	0	5,07	0	0	0	0
Calcite	carbonatos	C Ca O ₃	COD 9016706	0	0	0	3,83	0	0	0	0	0
Calcium Aluminum Oxide Sulfide	opacos	Ca ₈ (Al ₁₂ O ₂₄) S ₂	PDF 79-2329	0,79	1,91	0	0	0	0	0	0	0
Calcium Aluminum Silicate	otro silicato	Al ₃ Ca _{0.5} Si ₈ O ₁₁	PDF 46-0744	1,74	2,84	5,63	0	0	0	0	0	0
calcium peroxide	peróxido	Ca O ₂	COD 1530292	0	0	0	0	0,22	0	0	0	0
calcium phosphate oxide	fósfato/óxido	Ca ₄ [PO ₄] ₂ O	COD 9011144	0	0	0	0	0	2,94	0	0	0
Cancrinite	Feldespato Na/Ca	C Al ₃ Ca Na ₃ O ₁₅ Si ₃	COD 1010549	0	0,65	1,29	0	0	0	0	0	0
Carbon / grafito	carbon minerals	C	COD 9014004	2,29	0,58	1,14	0	0	0	2,21	1,32	1,3
Carbon	carbon minerals	C ₆ O	PDF 44-0558	0	0,63	1,24	0	0	0	0	0	0
Celadonite	mica verde	Al _{0.42} Ca _{0.04} Fe _{1.3} H ₂ K _{0.78} Mg _{0.58} O ₁₂ Si _{3.68} Ti _{0.02}	COD 9015417	0	0	0	1,6	2,24	2,63	2,24	4,53	4,45
Cementite	carburo	C Fe ₃	COD 5910001	0	0	2,08	0,47	0,66	0,78	0,66	0,6	0,59
Chalcocrite	sulfuro	Cu Fe S ₂	COD 1010940	0	0	0	0	0	0	0,17	0,1	0,1
Chloritoïd	clorita	Al ₃ .84 Fe _{1.93} Mg _{0.15} O ₁₄ Si ₂	COD 9000773	0	0	0	0	0,36	0,42	0,36	0,69	1,79
Clintonite 1M	mica blanca	Al _{3.46} Ca Fe _{0.15} H ₂ Mg _{2.19} O ₁₂ Si _{1.2}	COD 9001887	0	0	0	0	1,41	1,66	0	0	0
Copper Zinc	otros	Cu _{0.70} Zn ₂	PDF 65-1873	0	0,36	0,72	0	0	0	0	0	0
Cordierite	Aluminosilicates Fe / Mg	2 Mg O - 2 Al ₂ O ₃ - 5 Si O ₂	PDF 02-0546	3,69	0	0	0	0	0	0	0	0
Cristobalite	silice	O ₂ Si	COD 9016249	1,27	1,64	0	0	0	0	0	0	0
Cristobalite, β	silice	Si O ₂	PDF 89-3435	0,38	0	0	0	0	0	0	0	0
Cronstedtite	serpentina	Fe _{1.4} H _{1.667} O _{4.001} Si O ₅	COD 9000019	0	0	0	0,47	0,66	0,77	0,66	0,62	0,61
Diopside-ferrian	piroxeno	Ca Fe _{0.194} Mg _{0.906} O ₆ Si _{1.9}	COD 9005336	0	0	0	5,15	0	0	0	0	0
Dolomite	carbonatos	C ₂ Ca Mg O ₆	COD 9000573	0	0	0	0,07	0,09	0,11	0,09	0,46	0,45
Epidote	Aluminosilicates Fe / Ca	Al _{2.09} Ca ₂ Fe _{0.91} H O ₁₃ Si ₃	COD 9016199	0	0	0	0	0	1,12	0	0	0
Fayalite	olivine	Fe _{1.1} Mg _{0.75} Mn _{0.15} O ₄ Si	COD 9016212	0	1,52	0	0	0	0	0	0	0

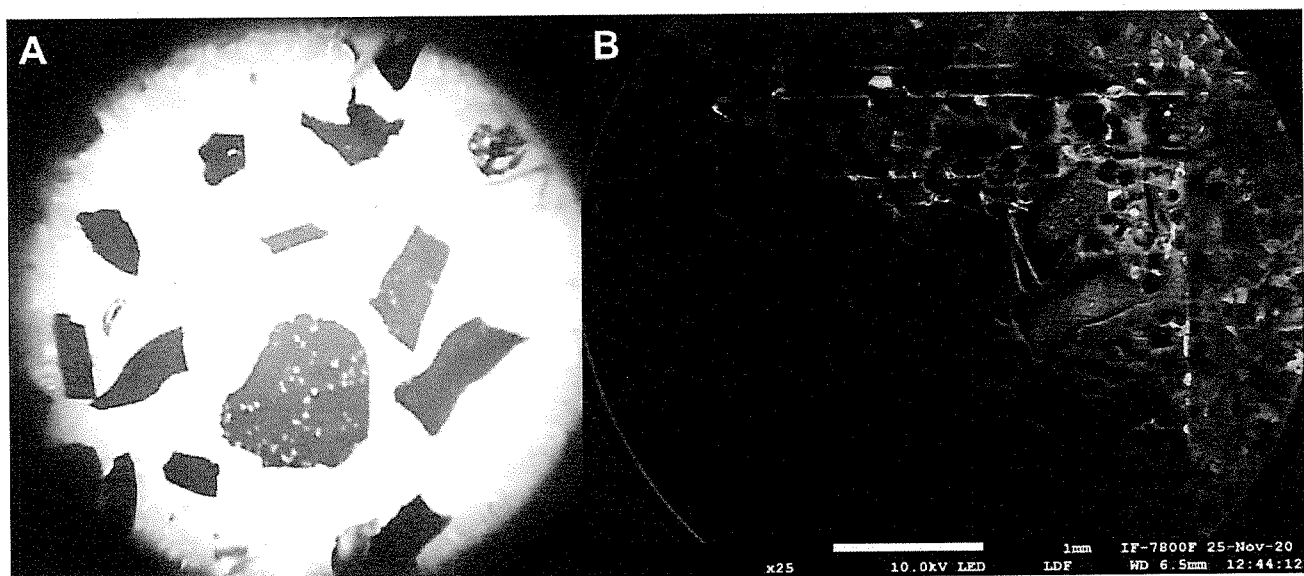
Ferrhydrite	oxide	Fe0.39 O0.595	COD 9012762	0	0	0	0,72	0,31	0,36	0,31	1,81	1,78
Forsterite	olivine	Ca0.004 Fe0.912 Mg1.07 Mn0.012 O4 Si	COD 9000167	0,35	0,56	1,12	0,25	0,36	0,42	0,36	0	0
Gismondine	zeolite	Al2 Ca H8 O12 Si2	COD 9012417	0	0	0	0,43	0,61	0,71	0	0	0
Graftonite	fosfato	Ca Fe1.38 Mn0.62 O8 P2	COD 9000165	0	0	0	3,32	0	0,96	0	0	0
Gypsum	opaco/ yeso	Ca H4 O6 S	COD 9013169	0	0	0	0,62	0,87	1,02	0,87	1,73	1,69
Heulandite-Ca	zeolite	Al4,446 Ca1.848 H12,38 K0,06 Na0,65 O48,38 Si13,554	COD 9001616	5,45	0	0	0	0	0	0	0	0
Hydrosodalite	zeolite	Al6 H16 Mg1,98 Na1,98 O32 Si6	COD 1536469	0	0	0	0	0,63	0,53	0	0	0
hydroxido-perovskite	peroskite	H6 Mg O6 Si	COD 9014857	0	0	0	0	0	2,4	0	0	0
Illite	arcilla	Al2 H2 K O12 Si4	COD 9013718	0	0	0	3,65	0	0	0	0	0
Illite 1M	arcilla	Al2,34 Ca0,02 Fe0,02 H4 K0,78 Mg0,34 Na0,02 O12 On Si3,35	COD 2300190	0	0	0	2,2	3,07	3,61	3,08	8,58	8,43
Kaersutite	antifibole	Ca1,784 Fe1,72 K0,1 Mg3,494 Na1,058 O24 Si8	COD 9015124	0	1,74	0	2,95	4,12	4,84	4,13	4,06	4,15
Kaolinite 1A	Arcilla	Al2 H4 O9 Si2	PDF 74-1786	1,36	0	0	0	0	0	0	0	0
Kaolinite 2M	Arcilla	Al2 H4 O9 Si2	COD 1011045	0	0	0	1,74	2,43	2,85	0	0	0
Labradorite	Feldespato Ca	Al0,83 Ca0,34 Na0,15 O4 Si1,17	COD 9000749	0	0	0	0	0	0	18,68	0	0
Labradorite	Feldespato Ca	Na2 O -2 Ca O -3 Al2 O3 -8 Si O2	COD 9015925	0	0	0	0	0	0	0	0	0
Labradorite	Feldespato Ca	Na2 O -2 Ca O -3 Al2 O3 -8 Si O2	PDF 02-0509	0,99	1,6	3,18	0	0	0	0	0	0
Larnite	olivine	Ca2 (Si O4)	PDF 83-0461	0	0	0	1,34	1,87	2,19	1,87	2,05	2,02
Lignite (NR)	carbon minerals	C - Si O2	PDF 05-0423	2,66	0	0	0	0	0	0	0	0
magnesium chromates	chromates	Cr Mg O4	COD 1008083	0	0	0	0	0	0	2,04	0	0
Meionite, scapolite group	scapolite	Ca4Al6Si6O24(CO3)	COD 1541653	0	0	0	0,94	1,32	1,55	1,32	3,72	3,65
Moissanite 3C	carburo	Si C	COD 1011031	0,34	0	0	0	0	0	0	0	0
Muscovite / phengite	mica inestratificada	Al2,9 Fe0,04 H2 K0,86 Mg0,06 Na0,1 O12 Si3	COD 9014960	0	0	0	5,12	0	0	0	0	0
Muscovite 2M1	Mica Blanca	Al3 H2 K O12 Si3	COD 1000042	1,96	3,2	6,35	0	0	0	0	0	0
Muscovite 2M1	Mica Blanca	Al2,65 Fe0,12 K0,92 Mg0,06 Na0,08 O12 Si3,2 Ti0,04	COD 9001953	0	2,38	4,73	0	0	0	0	0	0
Nikischerite	opaco	Al3 Fe6 H42 Na O38 S2	COD 9004733	0	0	0	0,26	0,36	0,43	0,37	0,51	0,5
Obertilite	antifibole	Na3 (Mg3 Fe +3 Ti +4) Si8 O22 O2	PDF 53-0899	0	0	0	0	0	0	2,68	0	0
Oligoclase	Feldespato Na/Ca	Al1,179 Ca0,179 Na0,821 O8 Si2,821	COD 9011422	0	0	0	12,51	17,48	11,44	0	0	0
Pectolite	piroxeno	Ca1,23 Mn0,77 Na O9 Si3	COD 9000612	0	0	0	1,53	2,14	2,52	2,14	2,6	2,55
Phlogopite	mica verde	Fe1,1 H0,24 K Mg1,9 O12 Si4	COD 9016344	0	0	0	2,01	2,81	3,3	2,81	0	0
Phlogopite	mica verde	Fe0,993 H1,442 K Mg2,007 O12 Si3,96	COD 9010398	0	0	0	2,93	4,09	4,8	0	0	0
potassium oxide	oxide	K2 O	COD 9009055	0,57	0	0	0	0	0	0	0	0
Pyrite	sulfuro	Fe S2	COD 9015842	0	0	1,82	0	0	0	0	0	0
Pyroxene-ideal	piroxeno	Fe O3 Si	COD 9003393	0	0	0	0	0	0	0,54	2,44	2,4
Pyroxene-ideal	piroxeno	Mg O3 Si	COD 9003434	7,33	10,7	0	0	0	0	0	0	0
Quartz	silice	O2 Si	COD 4002439	0	0	0	0	0	0,16	0,13	0	0
Quartz	silice	O2 Si	COD 9011496	0	0	0	0,49	0,68	0,8	0,68	1,49	1,46
Quartz low	silice	O2 Si	COD 1011176	0	0	0	6,59	9,21	4,3	5,55	5,43	5,33
Quartz low	silice	Si O2	COD 9015022	0	3,58	7,1	0	0	0	0	0	0
Quartz sandstone	silice	O2 Si	PDF 87-2096	4,33	0	0	0	0	0	0	0	0
Ramsdellite	oxide	Mn O2	COD 1532512	7,57	0	0	0	0	0	0	0	0
Ramsdellite	oxide	Mn O2	COD 9016028	0	0	0	0	0,12	0,14	0,12	0,83	0,81
Rasvumite	opacos	Mn O2	COD 8103498	0,93	0	0	0	0	0	0	0	0
Rhodochrosite	carbonatos	Mn O2	COD 9013453	0,45	0	0	0	0	0	0	0	0
sanidine-like feldspar	feldspato Na	C Mn O3	COD 5000207	0	0	1,71	0,19	0,27	0,32	0,27	1,36	1,33
Sapphirine-2M	otro silicato	Al K O8 Si3	COD 1527004	4,02	6,54	0	0	0	0	0	0	0
Scacchite	cloruro	Mg3,5 Al9 Si1,5 O20	PDF 21-0549	0	0,84	1,67	0	0	0	0	0	0
Serrabrancaite	fosfato	Cl2 Mn	COD 9009130	0	0	0	0	0	0	0,33	0	0
Siderite	carbonatos	H2 Mn O5 P	COD 9012515	0	0	0	0	0	0	1,3	0,99	0,97
Siderite magnesian calcian, syn	carbonatos	C Fe O3	COD 9016410	0,49	0,47	0	0	0	0	0	0	0
Sodalite	Feldespato Na	Ca0,1 Mg0,33 Fe0,57 (C O3)	PDF 80-0502	0,75	0	0	0	0	0	0	0	0
sodalite met.	Feldespato /fosfato	Al3 Cl Na4 O12 Si3	COD 9003330	0	0	0	0	0,59	0,69	0,59	0,82	0,8
		Al4,002 Mg1,998 O24 P6	COD 1521101	0	0	0	0	0	0	0,35	0,29	0,28

Sodium Aluminum Silicate	Aluminosilicates Na	Na _{3,22} Al _{5,48} Si _{90,52} O _{190,9}	PDF 41-0411	0	2,43	0	0	0	0	0	0	0
Sodium Chloride	cloruro	Cl Na	COD 2311042	0	0	0	0	0	0	0,27	0,6	0,59
Sodium Copper Manganese Oxide	oxido complejo	Na ₄ Cu _{0,65} Mn _{0,35} O _x	PDF 48-0682	0,67	1,1	2,18	0	0	0	0	0	0
sodium oxalate	organico	C ₂ Na ₂ O ₄	COD 8103690	0,74	0	0	0	0	0	0	0	0
Spinel	spinela	Al _{1,835} Cr _{0,166} Mg _{0,991} O ₄ Zn _{0,009}	COD 9005597	0	0	0	0	0	0	0,71	0,3	2,46
Sulfur Oxide	carburo	C ₄ S O ₃	PDF 39-1212	0	2,56	5,09	0	0	0	0	0	0
sulphur alpha	sulfuro	S ₈	COD 1537087	0	0	0	1,31	1,83	2,15	0	0	0
Tamarugite	opaco	Al H ₁₂ Na O ₁₄ S ₂	COD 9000181	6,68	0	0	0	0	0	0	0	0
Taramite, potassian	anfibole	Na ₂ Ca Fe ₅ Al ₂ Si ₆ O ₂₂ (O H) ₂	PDF 20-0734	0	0	0	0,51	0,71	0,84	0,71	1,75	1,72
Tenorite	oxide	Cu O	COD 1011194	0	0	0	0,1	0,14	0,16	0,14	0,5	0,49
Tetrachloroaluminates	cloruro	Al Cl ₄ Na	COD 1004043	0	0	0	0	0,79	0	0	0	0
Thenardite	opacos	Na ₂ O ₄ S	COD 1011184	0	0	0	1,22	1,7	2	1,7	1,99	1,96
Tistarite	oxide	O ₃ Ti ₂	COD 9003082	0,8	0	0	0	0	0	0	0	0
Titanomagnetite	oxido complejo	Fe ₂ O ₄ Ti	COD 9000934	0	0	0	0,17	0,24	0,28	0,24	0,3	0,29
Tremolite	anfibole	Ca ₂ Mg ₅ O ₂₄ Si ₈	COD 9015250	5,63	0	0	0	0	0	0	0	0
Tuperssuatsiaite	arcilla	Fe _{1,09} H ₁₀ Mn _{1,91} Na _{1,88} O ₂₈ Si ₈	COD 9002827	0,56	0	0	0	0	0	0	0	0
Ulvöspinel, syn	oxide	Fe ₂ Ti O ₄	PDF 34-0177	0	0	0	1,06	1,49	1,74	1,49	1,96	1,92
Uninodal zeolites	zeolite	O ₂ Si	COD 4124081	0	0	0	0	0	0	0,65	0	0
Vaterite	carbonatos	C Ca O ₃	COD 9014701	0	0	0	0	0	0	2,16	0	0
Wuestite	oxidos	Fe O	COD 1011198	0,18	0	0	0	0	0	0	0	0
Wuestite met.	oxidos	Fe _{0,914} O	COD 1541151	0,16	0	0	0	0	0	0	0	0
Wurtzite-4H	opacos	S Zn	COD 9013305	0,79	1,78	0	0	0	0	0	0	0
Xonotlite	anfibole	Ca ₆ O ₁₉ Si ₆	COD 9009438	0	1,17	2,32	0	0	0	0	0	0
Zinc carbonate	carbonatos	C O ₃ Zn	COD 5910061	0	0	0	0,07	0,09	0,11	0,09	0,09	0,09
Zinc sulfate	opacos	O ₄ S Zn	COD 1539120	0	0	0	0	0	0	0,05	0,18	0,18
α -Cristobalite, syn	Silice	Si O ₂	PDF 89-3434	0	0,23	0,46	0,1	0,15	0,17	0,15	0,76	0,74
β -MgSO ₄	opacos	Mg O ₄ S	COD 1200004	0,96	1,57	3,12	0	0	0	0	100,0	100,0
			%-Crystallinity	51,78	53,70	52,50	45,89	56,88	62,44	55,39	50,39	49,39
			%-Amorphous	48,22	46,30	47,50	54,31	43,12	37,56	44,61	49,61	50,61
			Suma	100,0	100,0	100,0	100,0	100,0	100,0	100,0	100,0	100,0

ANEXO “C”
MICROSCOPIA ELECTRÓNICA DE BARRIDO (SEM)
Y ESPECTROSCOPIA DE ENERGÍA DISPERSIVA (EDS)

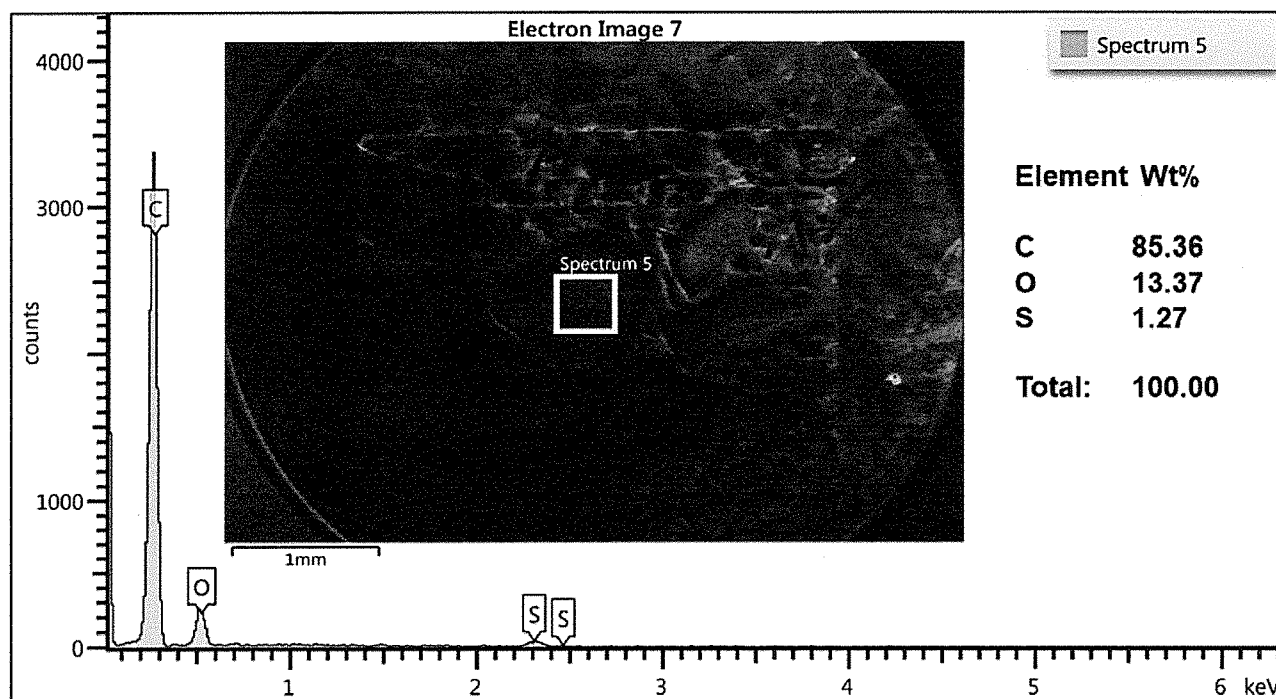
Quillota 980, Viña del Mar, CHILE. Fono: (56) 32 2845589

QV-PV-A

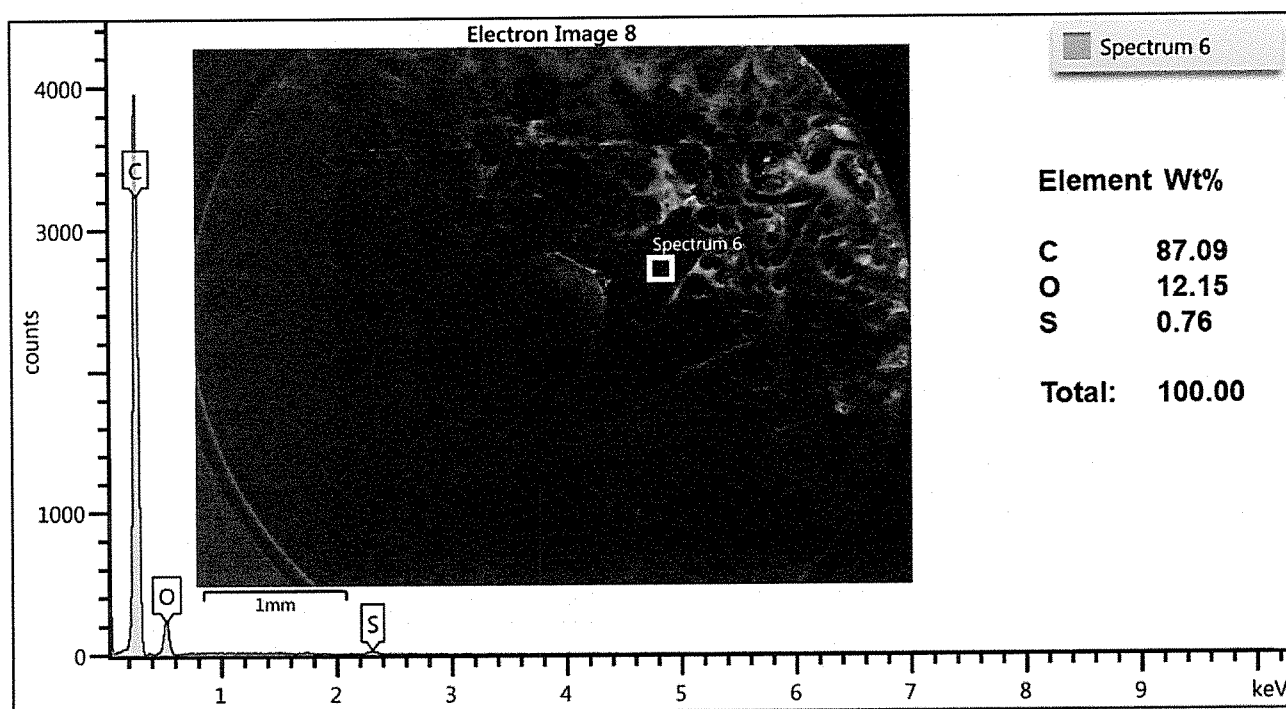


Quillota 980, Viña del Mar, CHILE. Fono: (56) 32 2845589

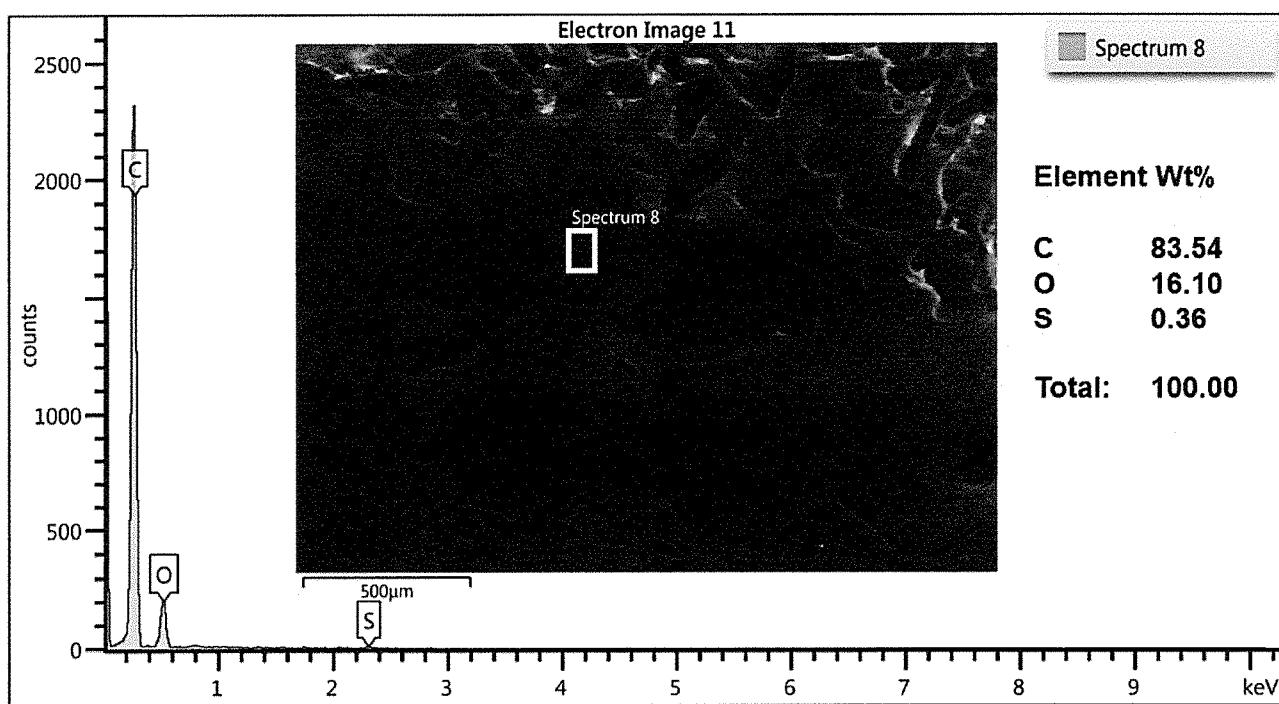
QV-PV-A



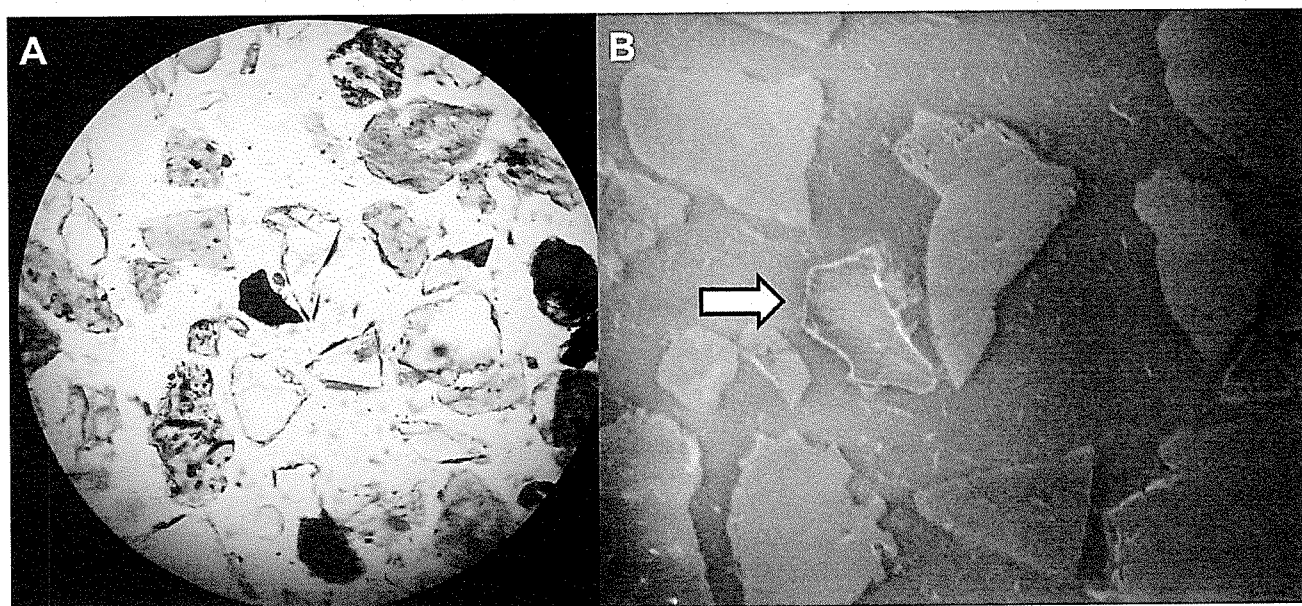
QV-PV-A



QV-PV-A

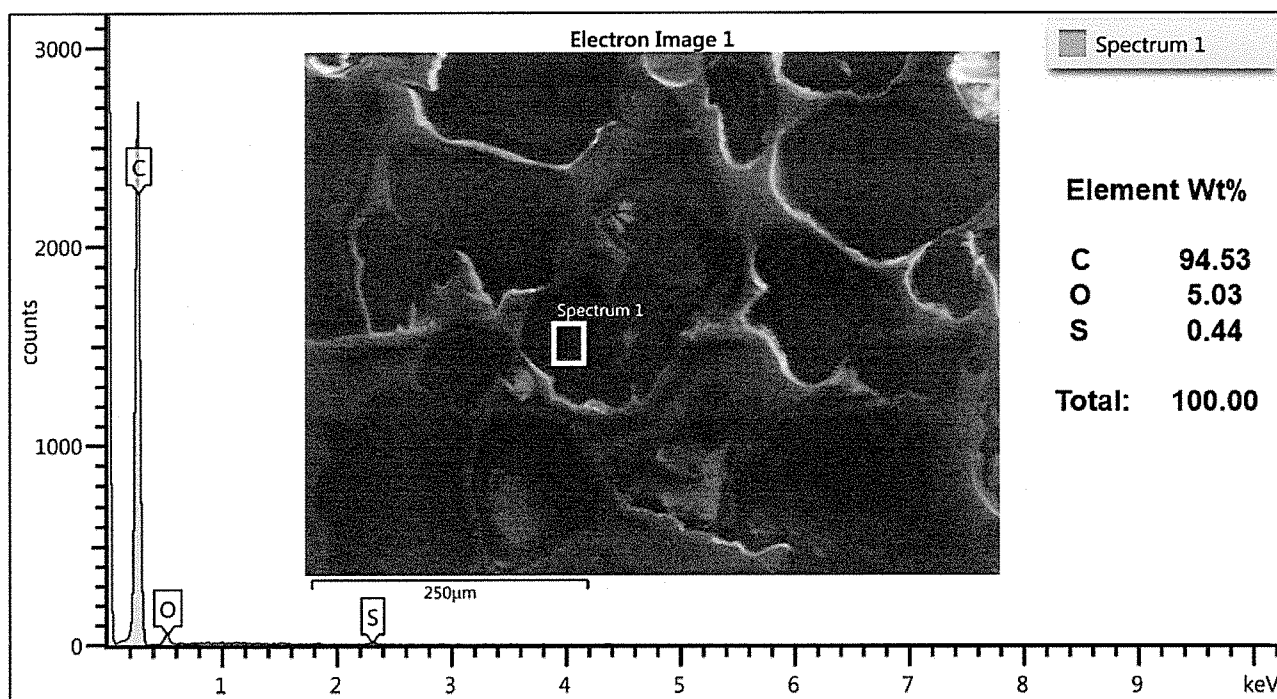


QV-21



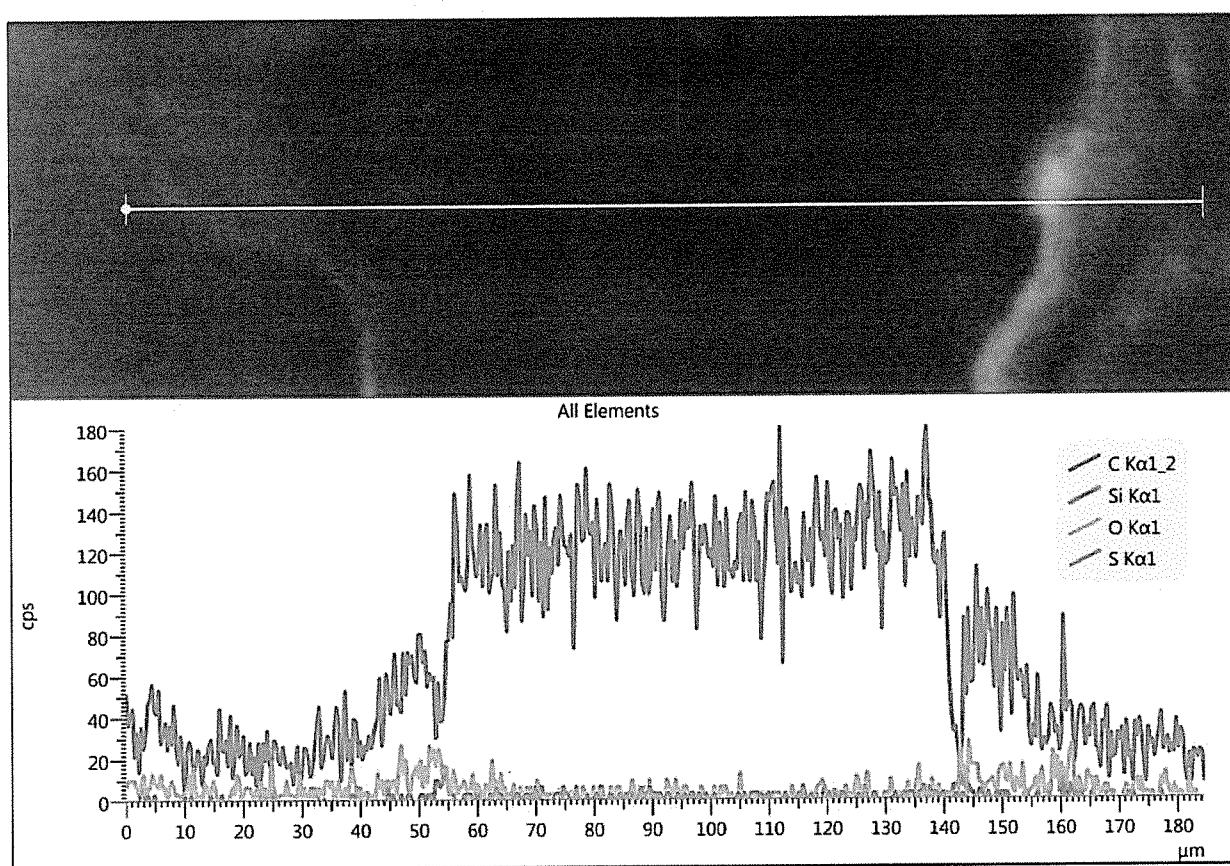
QV-21

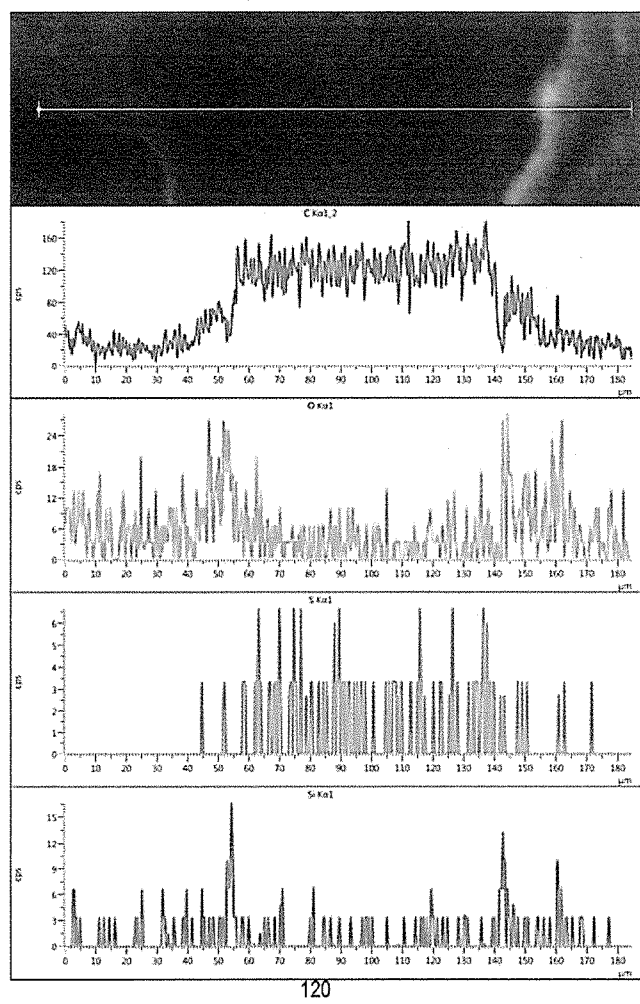
Análisis elemental EDS



QV-21

Análisis lineal elemental EDS



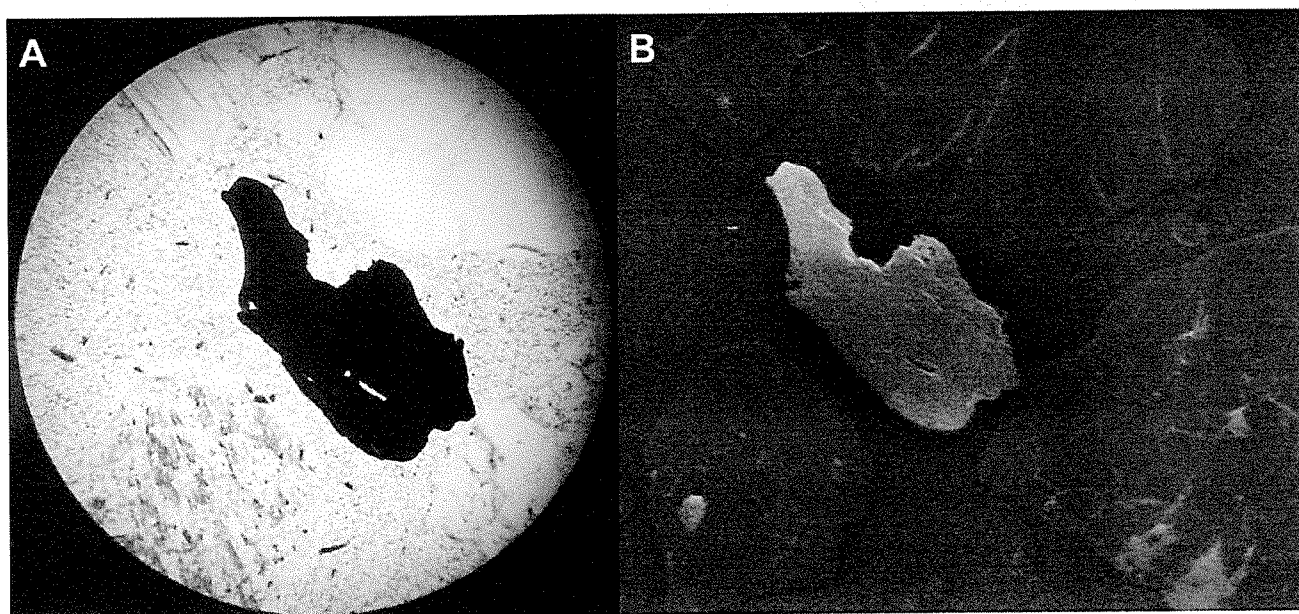


QV-21

Análisis lineal elemental EDS

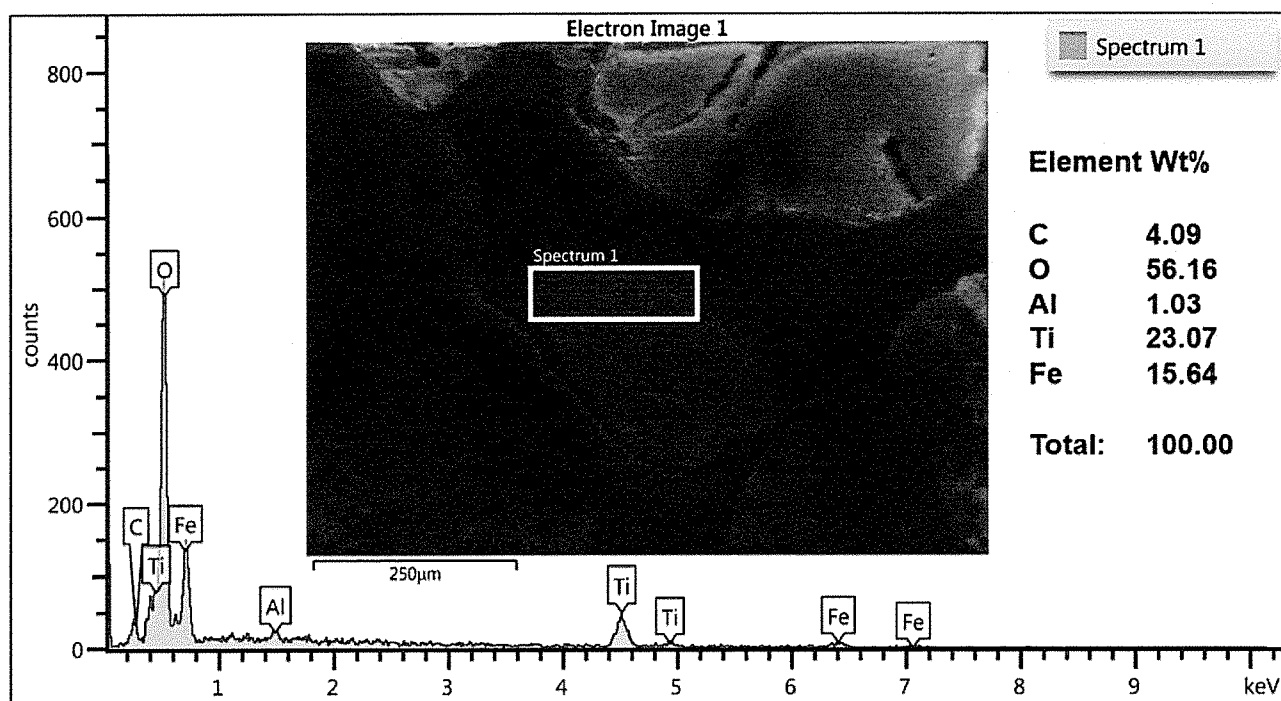
Análisis en línea con elementos separados

QV-18



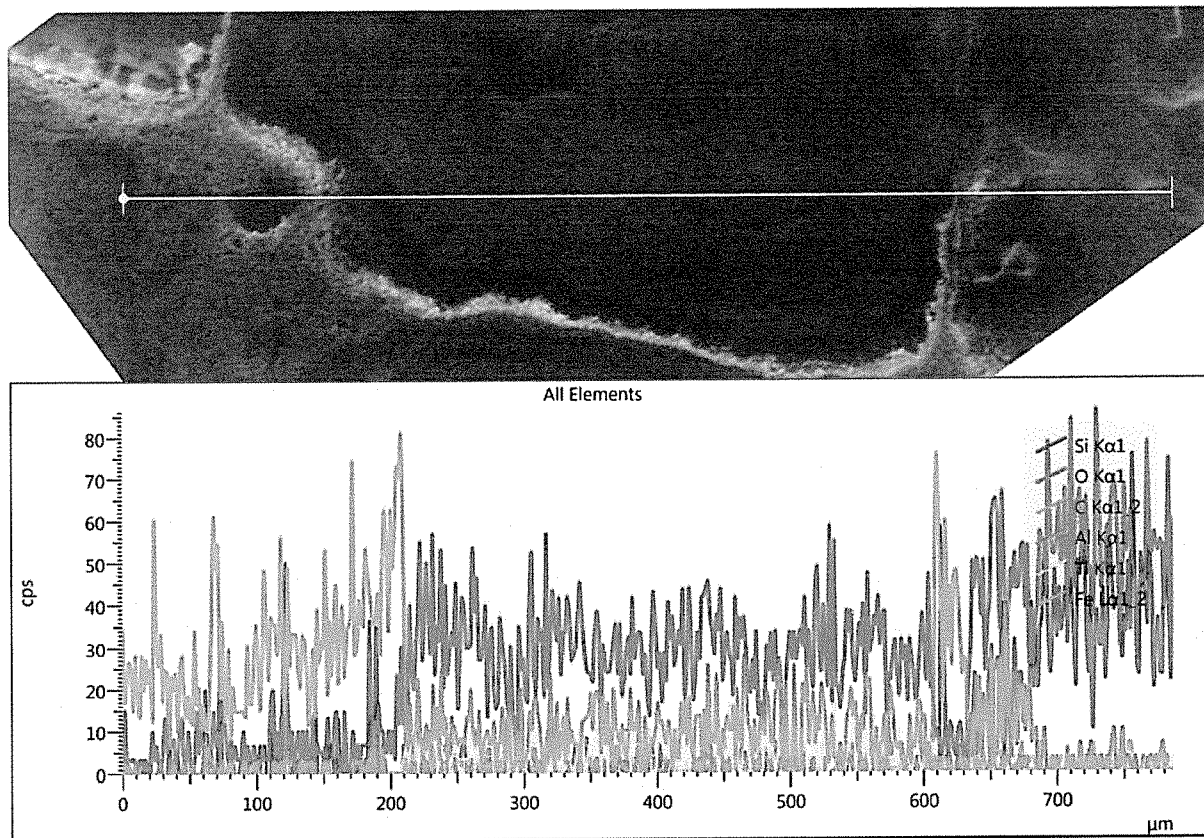
QV-18

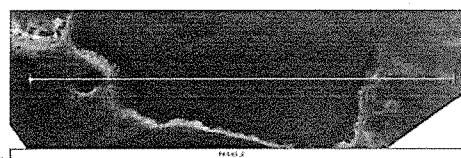
Análisis elemental EDS



QV-18

Análisis lineal elemental EDS

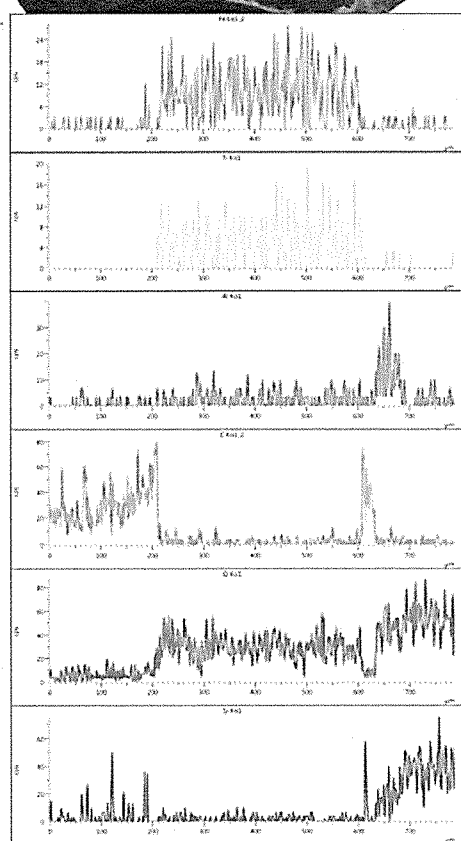




QV-18

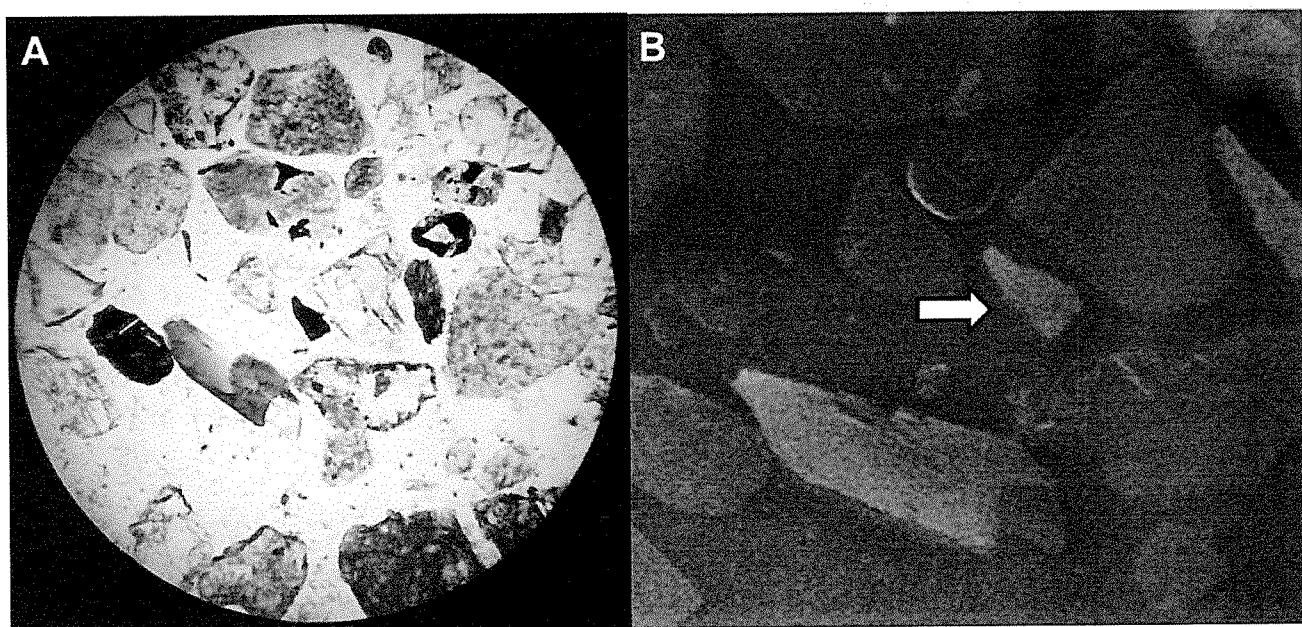
Análisis lineal elemental EDS

Análisis en línea con elementos separados



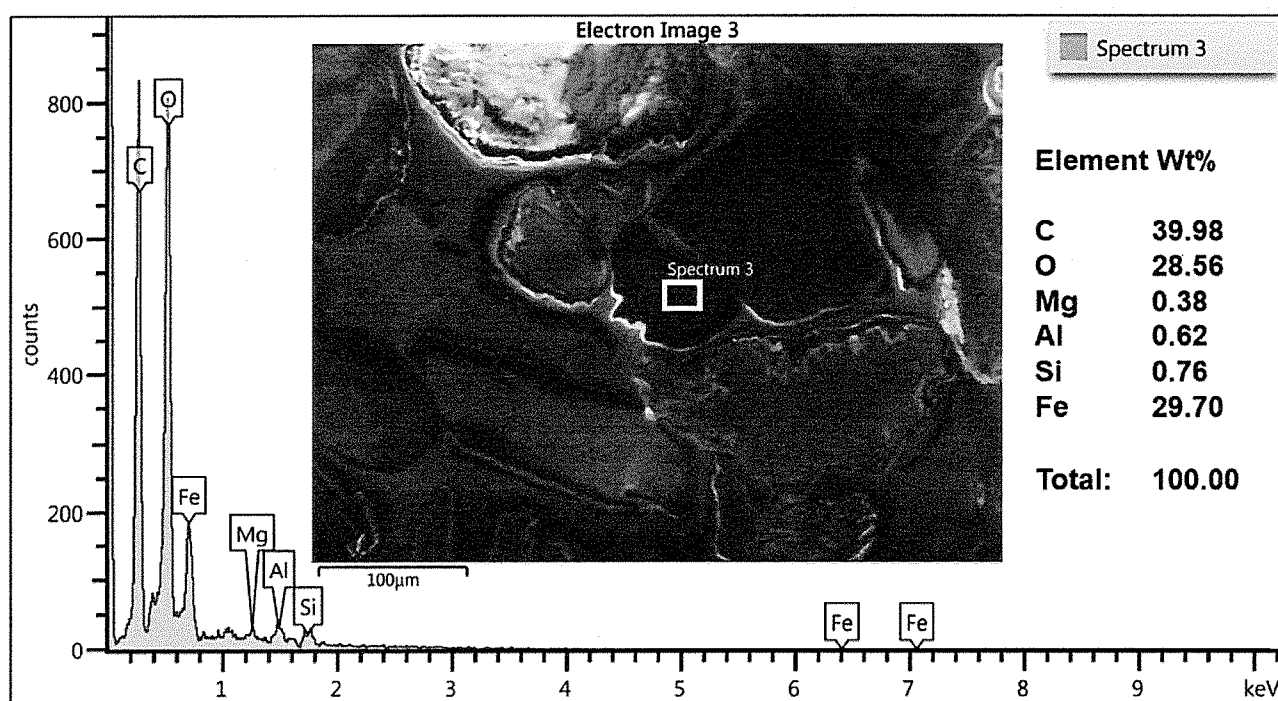
124

QV-BC-E6



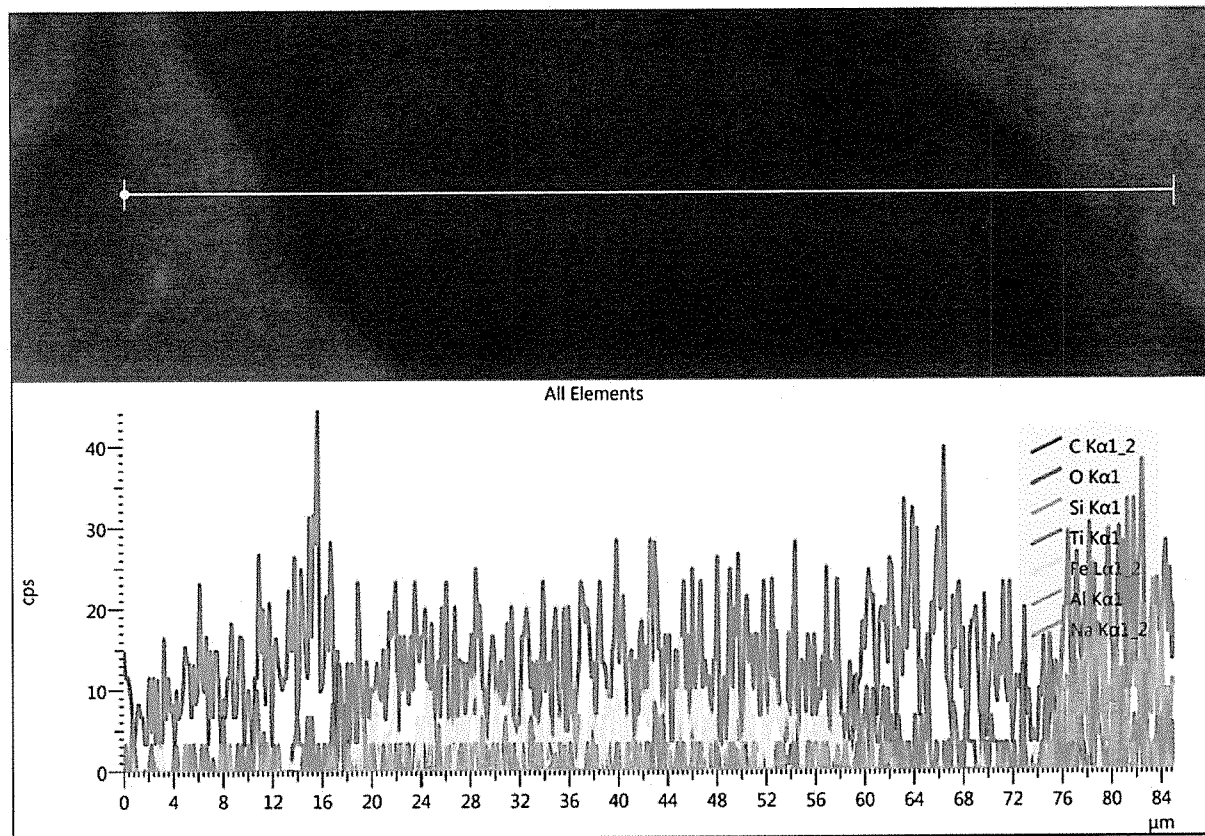
QV-BC-E6

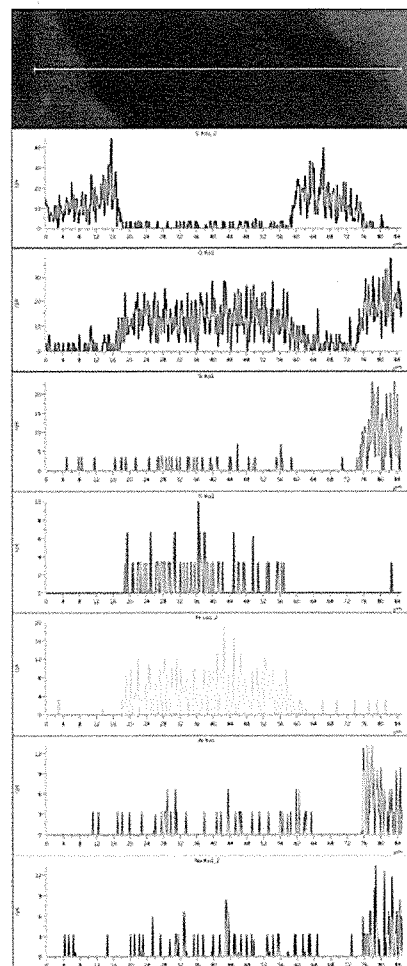
Análisis elemental EDS



QV-BC-E6

Análisis lineal elemental EDS



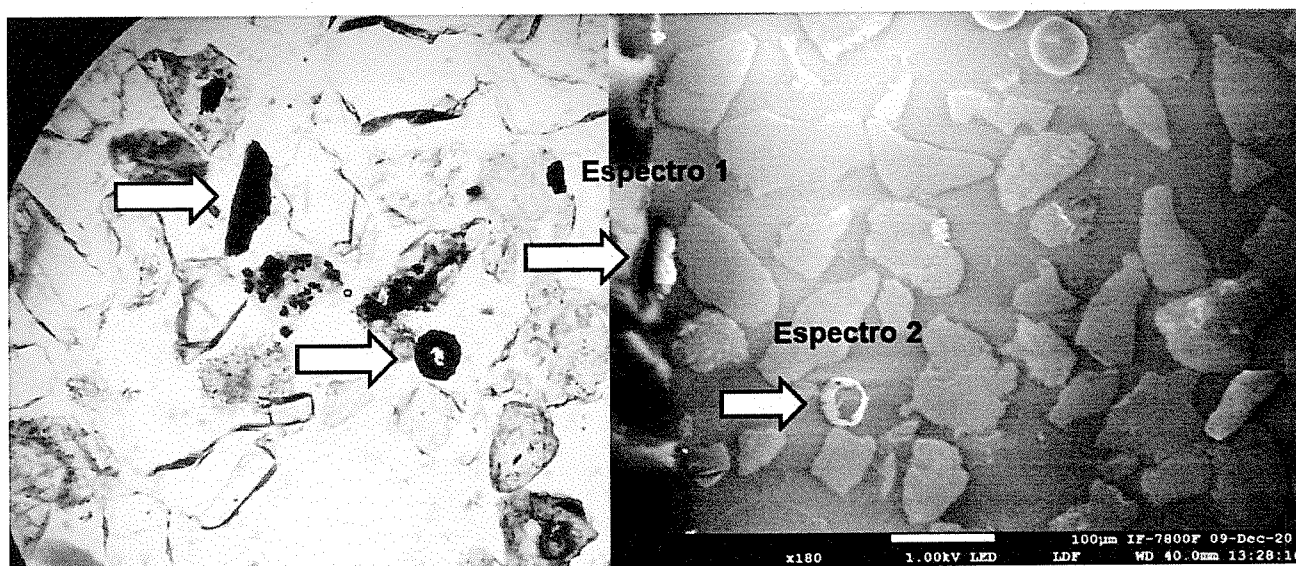


QV-BC-E6

Análisis lineal elemental EDS

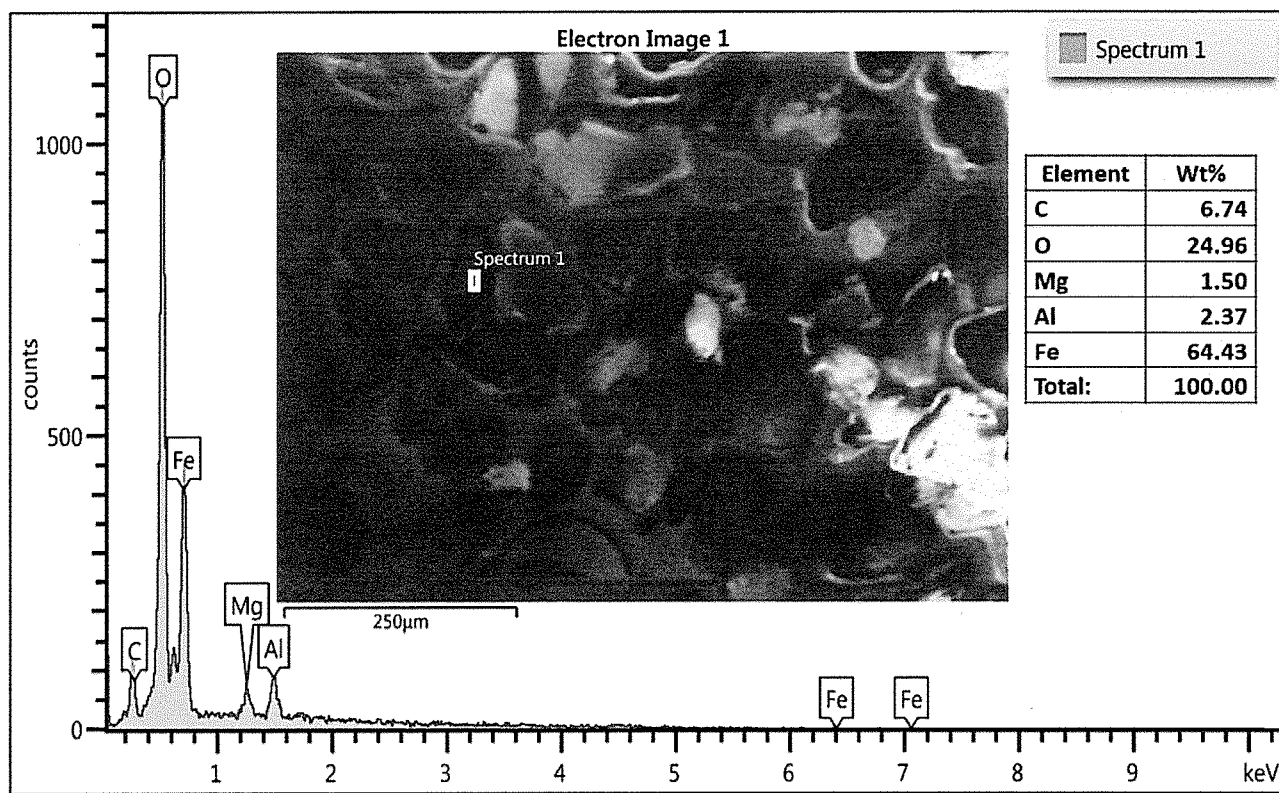
Análisis en línea con elementos separados

QV-02



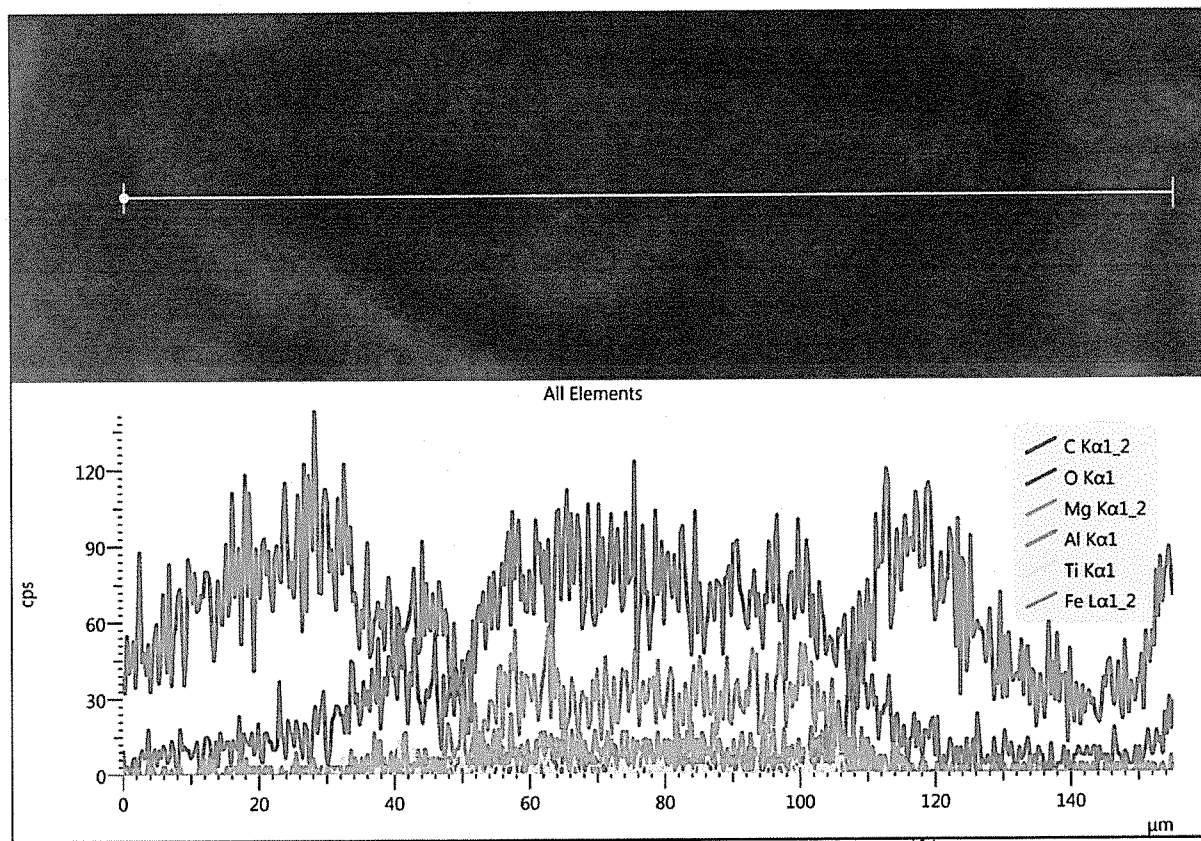
QV-02

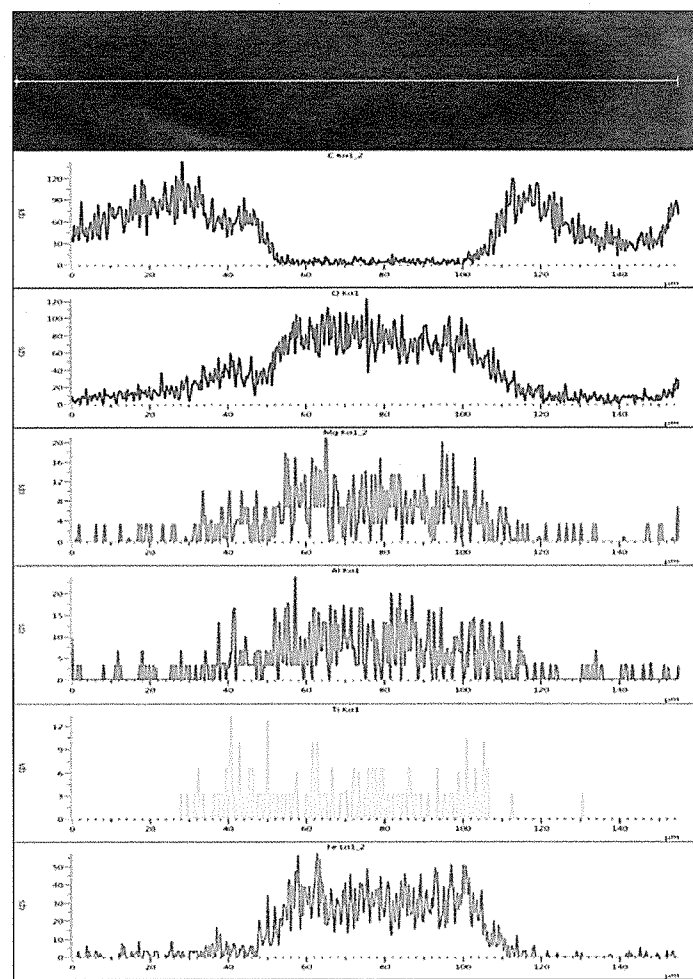
Análisis elemental EDS Espectro 1



QV-02

Análisis lineal elemental EDS Espectro 1

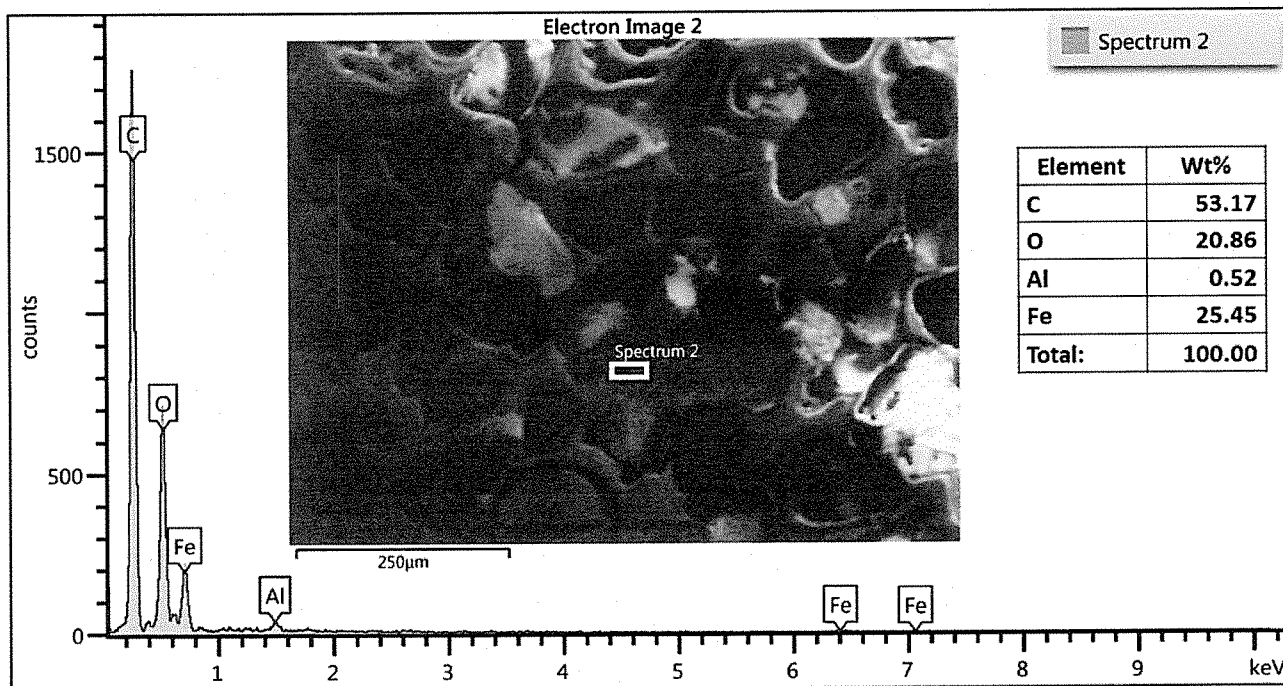




132

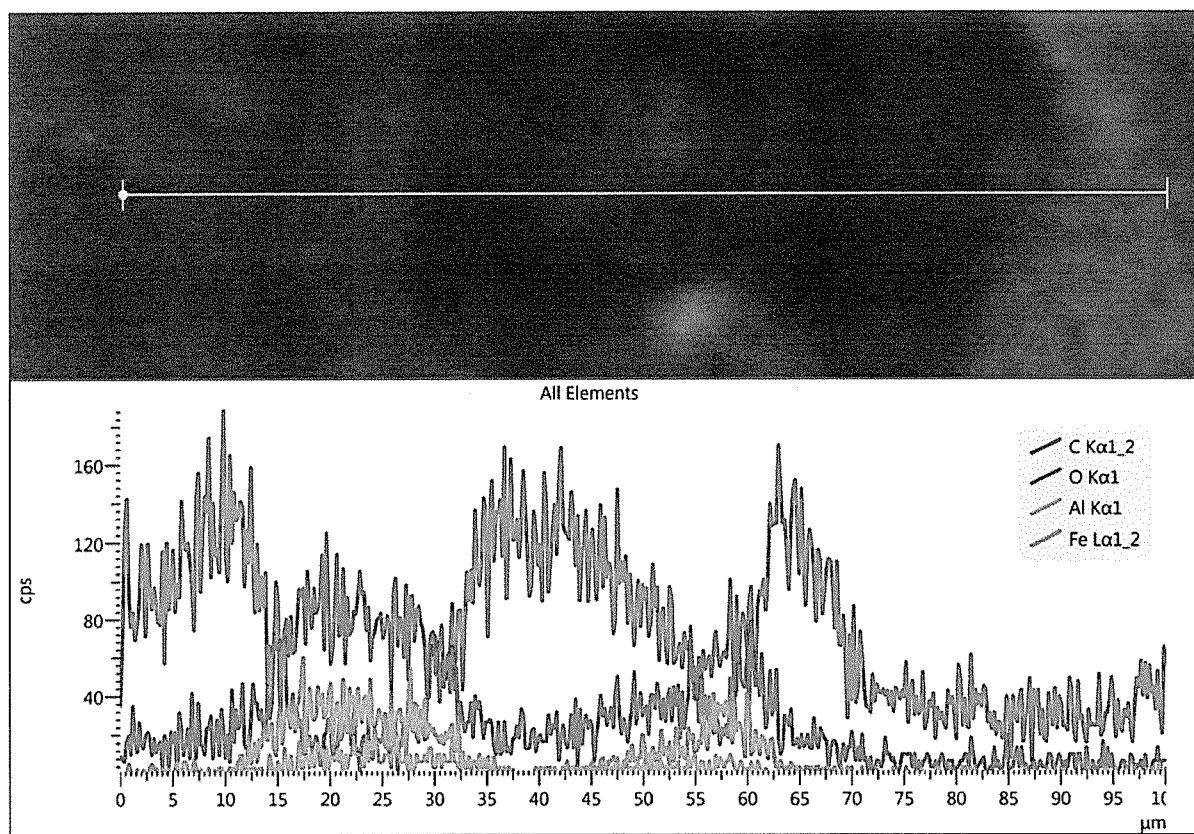
QV-02

Análisis elemental EDS Espectro 2



QV-02

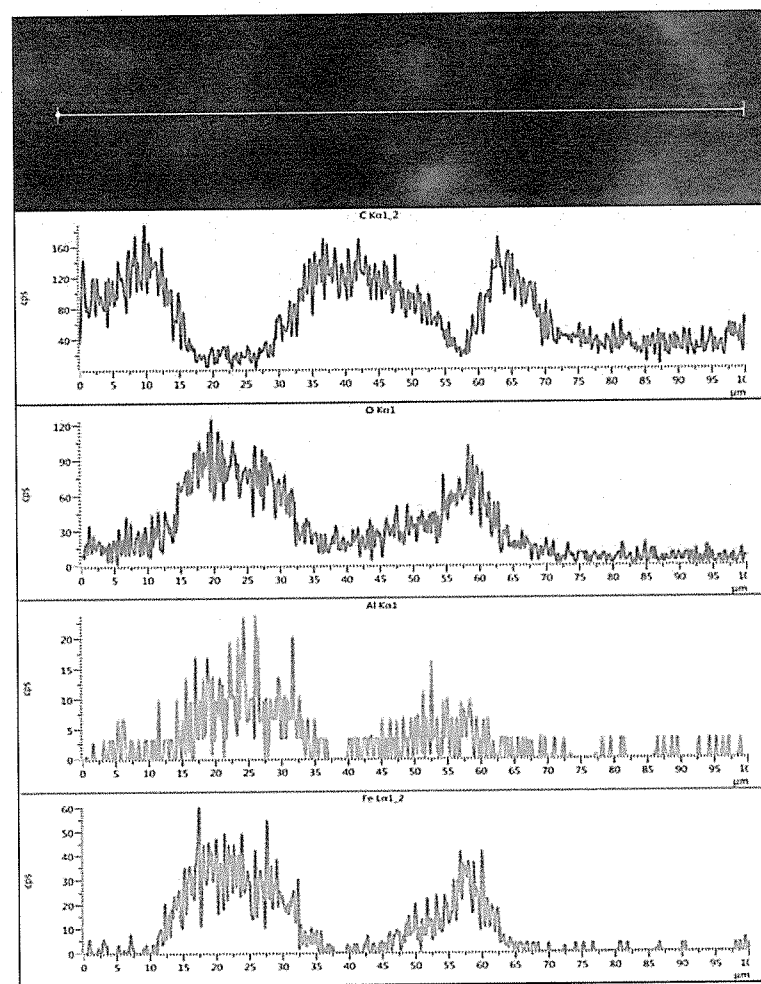
Análisis lineal elemental EDS Espectro 2



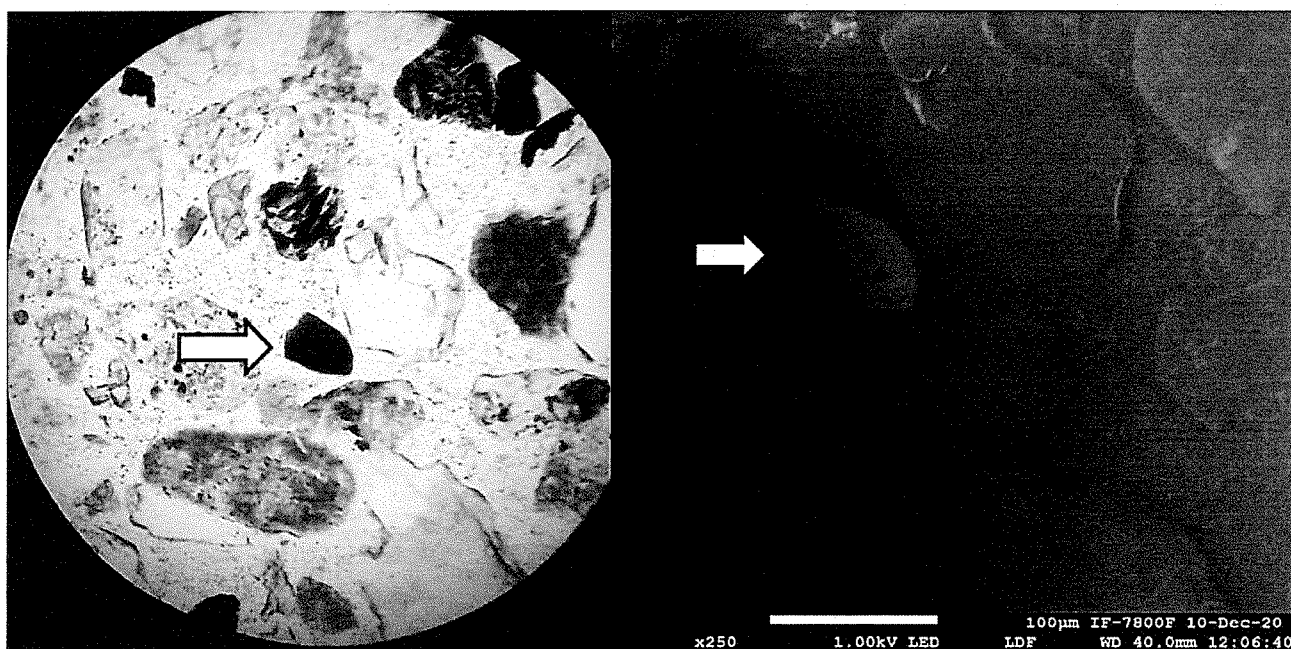
QV-02

Análisis lineal elemental EDS Espectro 2

Análisis en línea con elementos separados

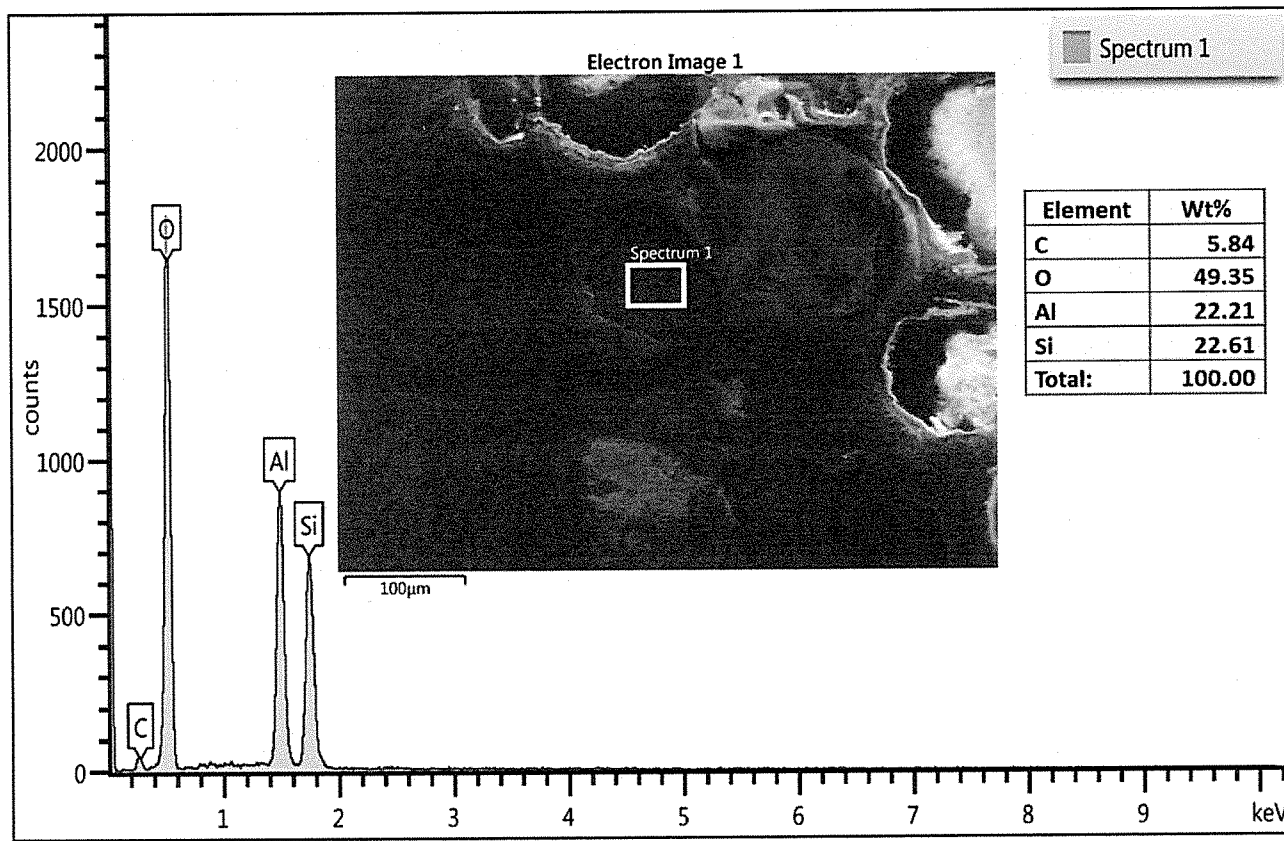


QV-04



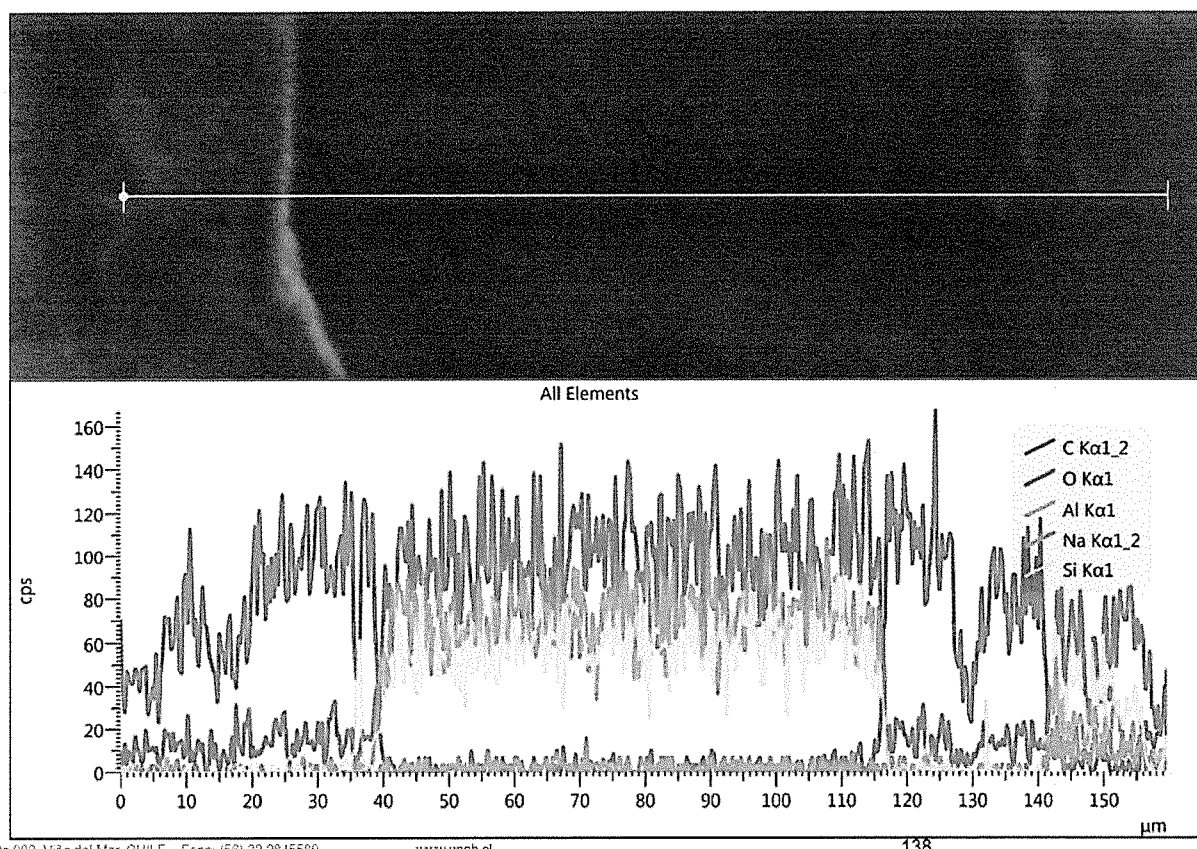
QV-04

Análisis elemental EDS



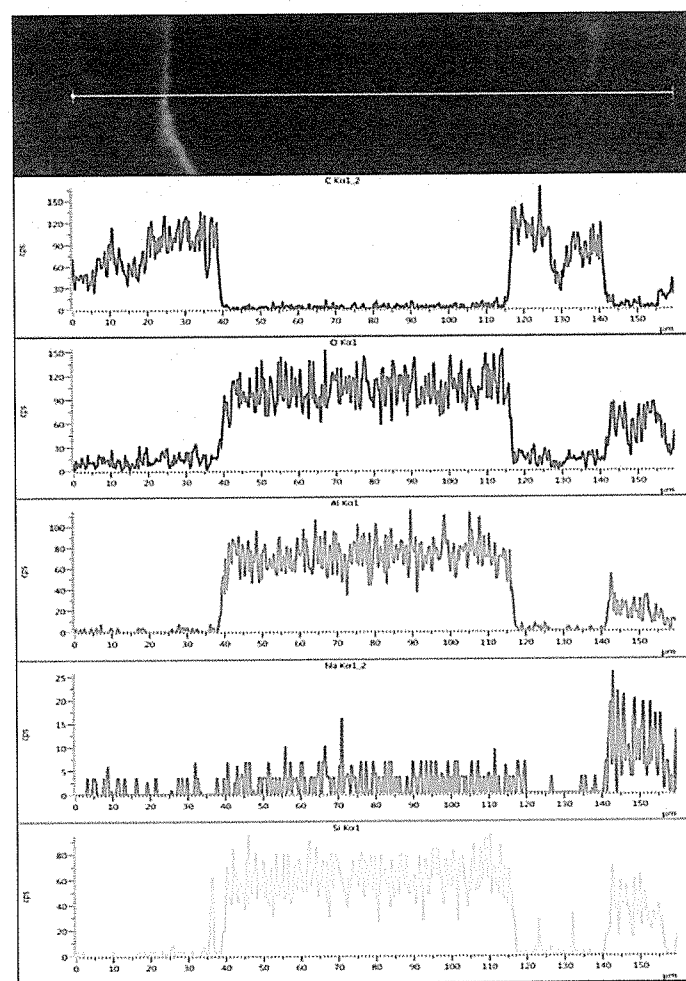
QV-04

Análisis lineal elemental EDS



Quillota 980, Viña del Mar, CHILE. Fono: (56) 32 2845589

www.unab.cl

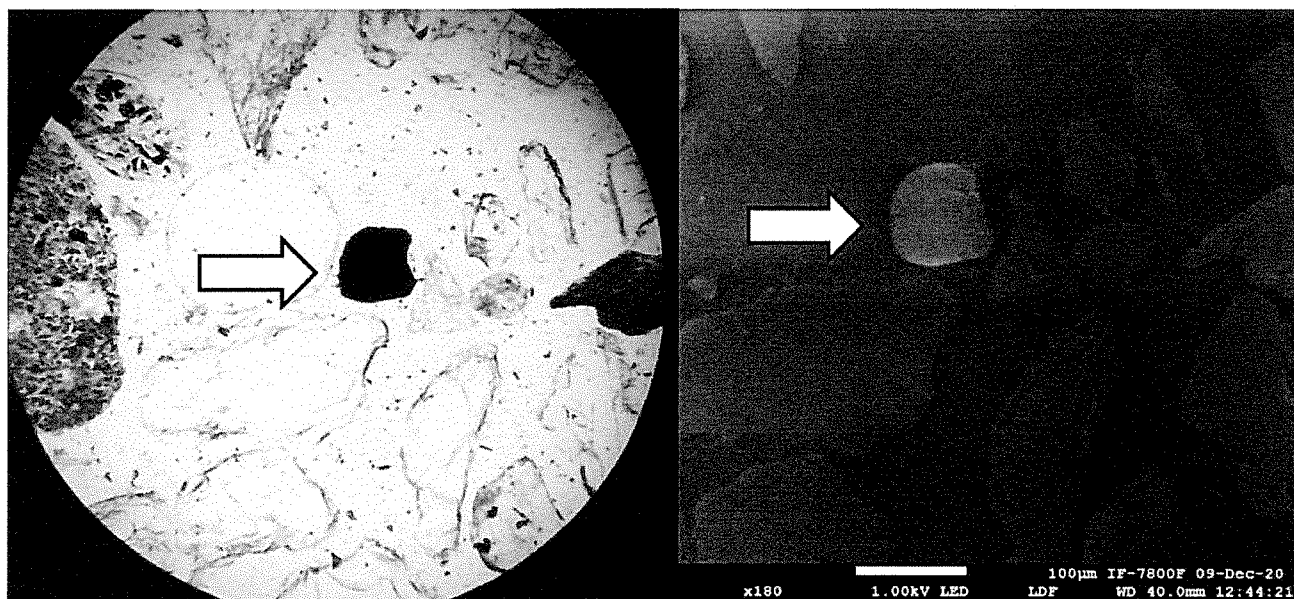


QV-04

Análisis lineal elemental EDS

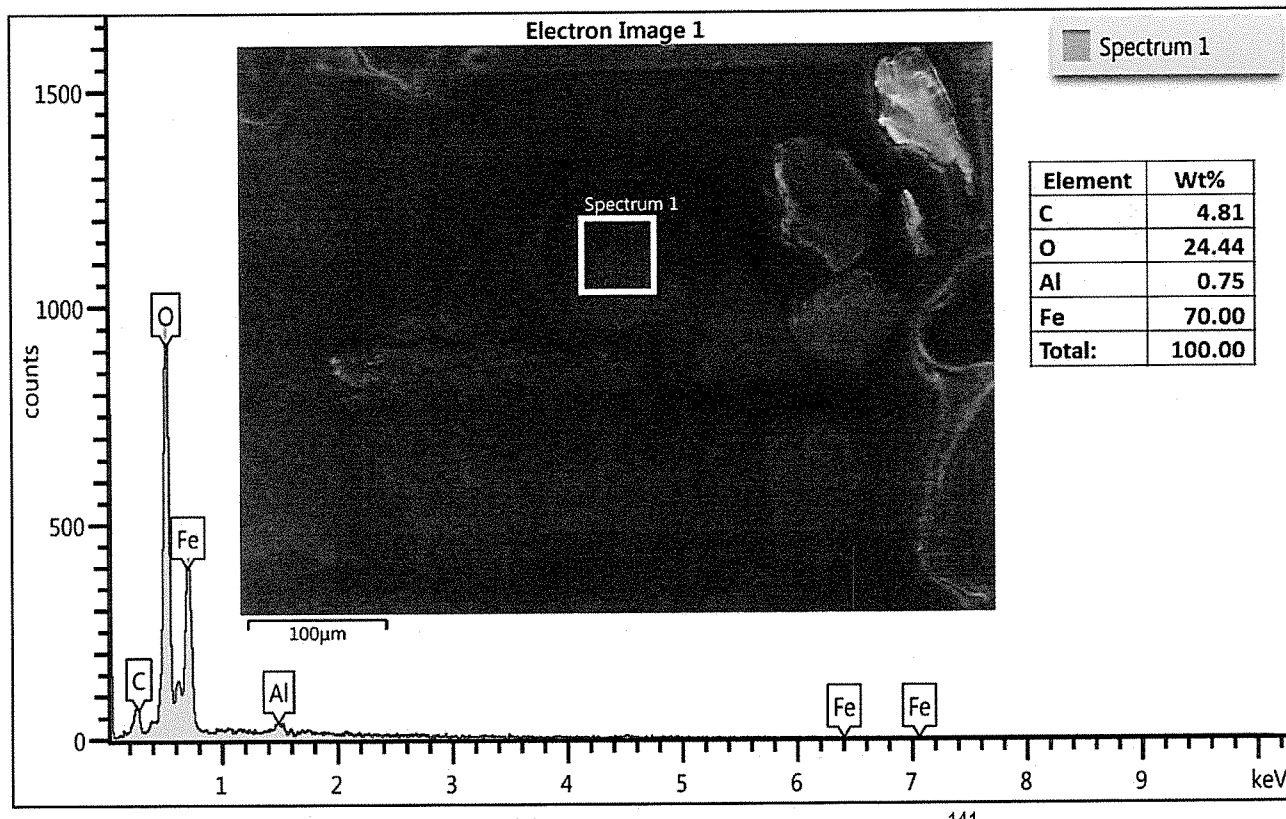
Análisis en línea con elementos separados

QV-08



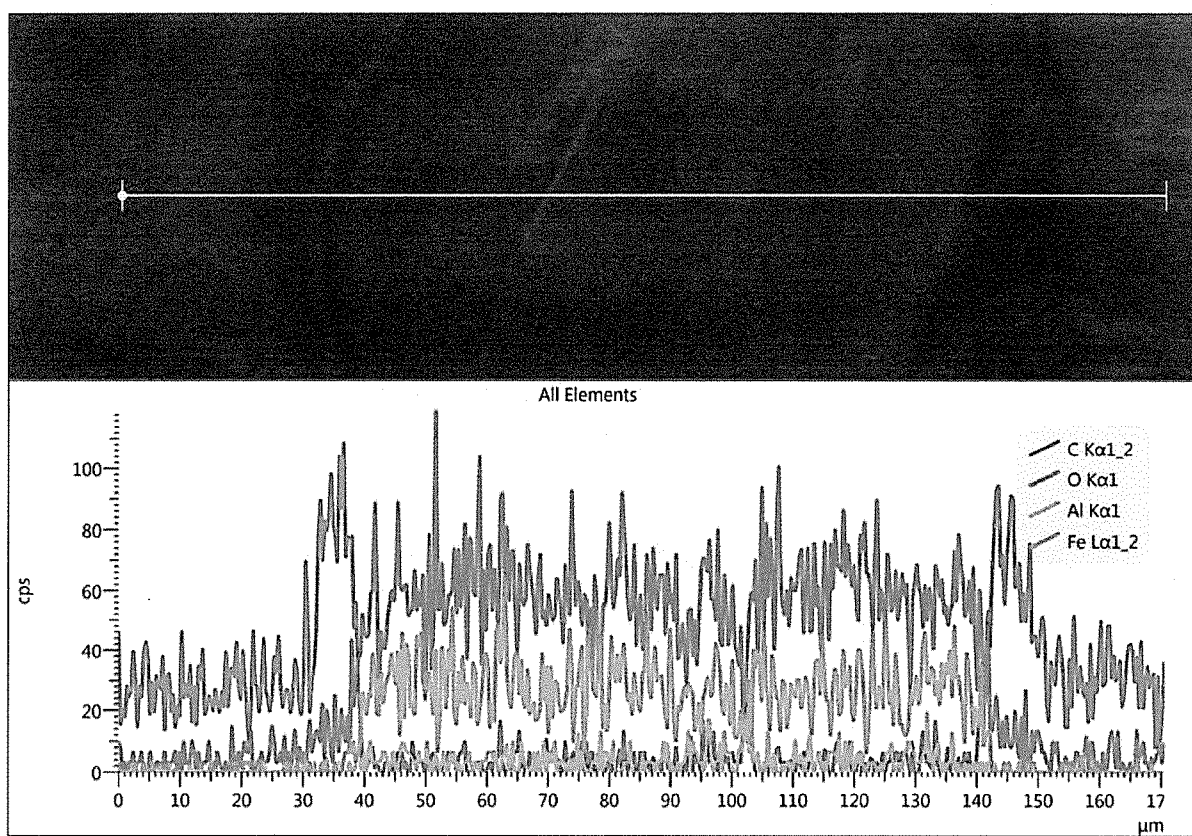
QV-08

Análisis elemental EDS



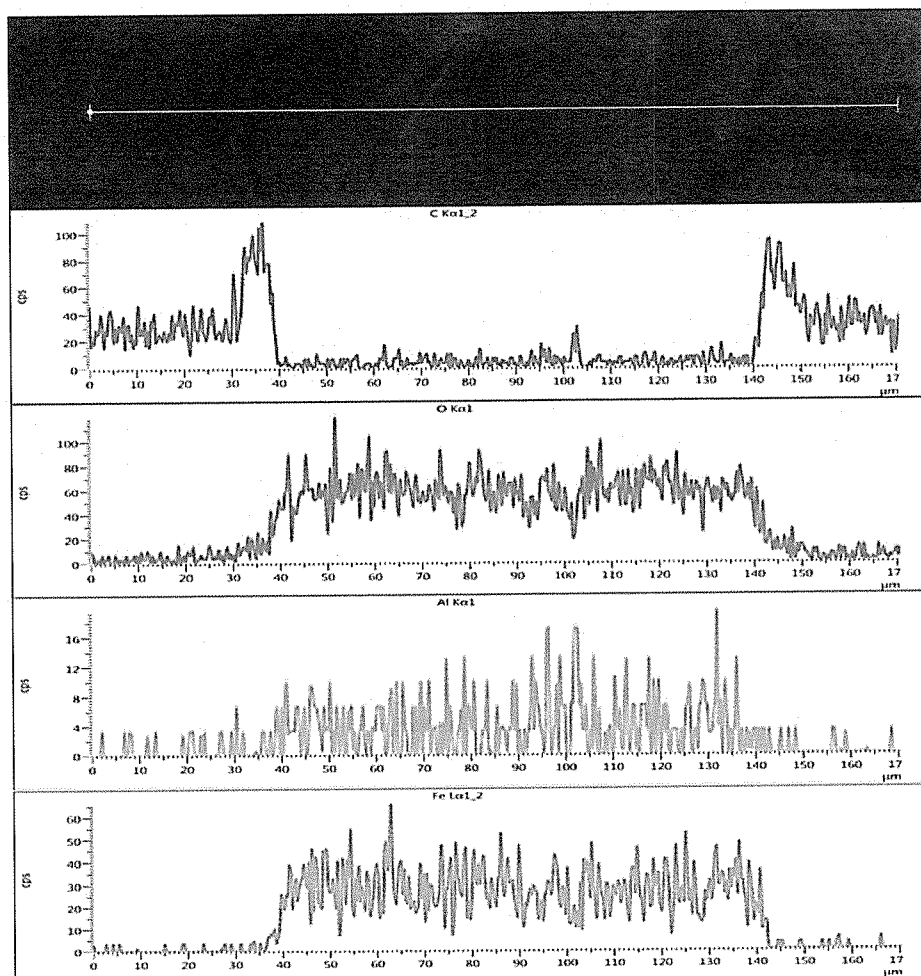
QV-08

Análisis lineal elemental EDS

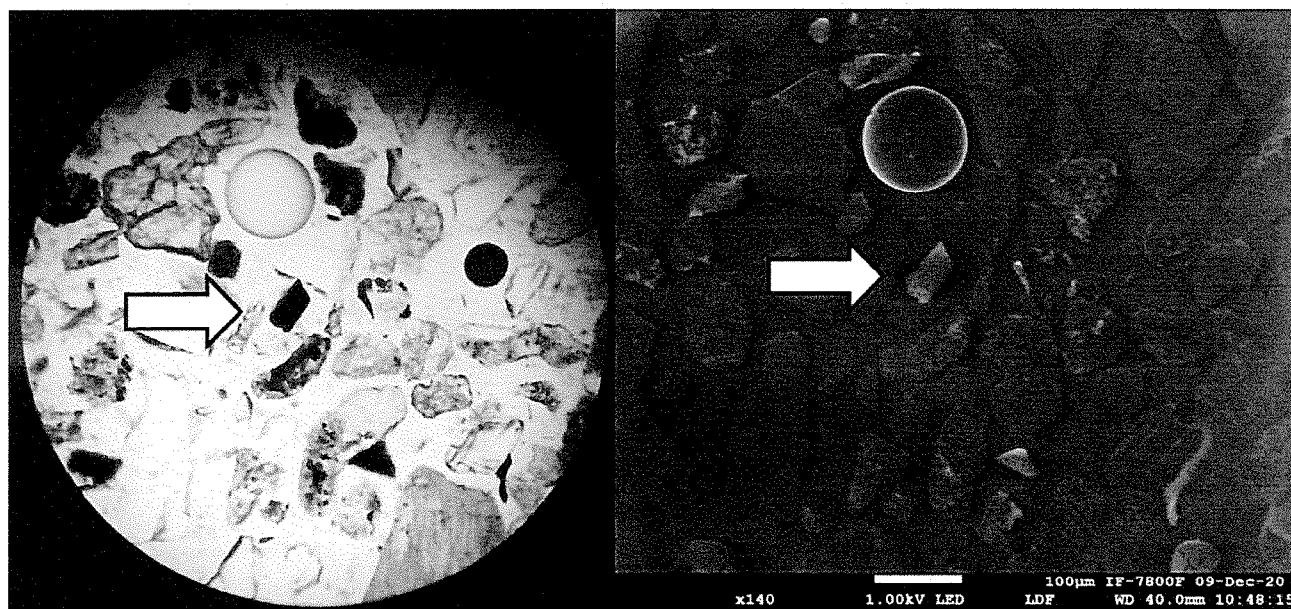


QV-08
Análisis lineal elemental EDS

Análisis en línea con
elementos separados

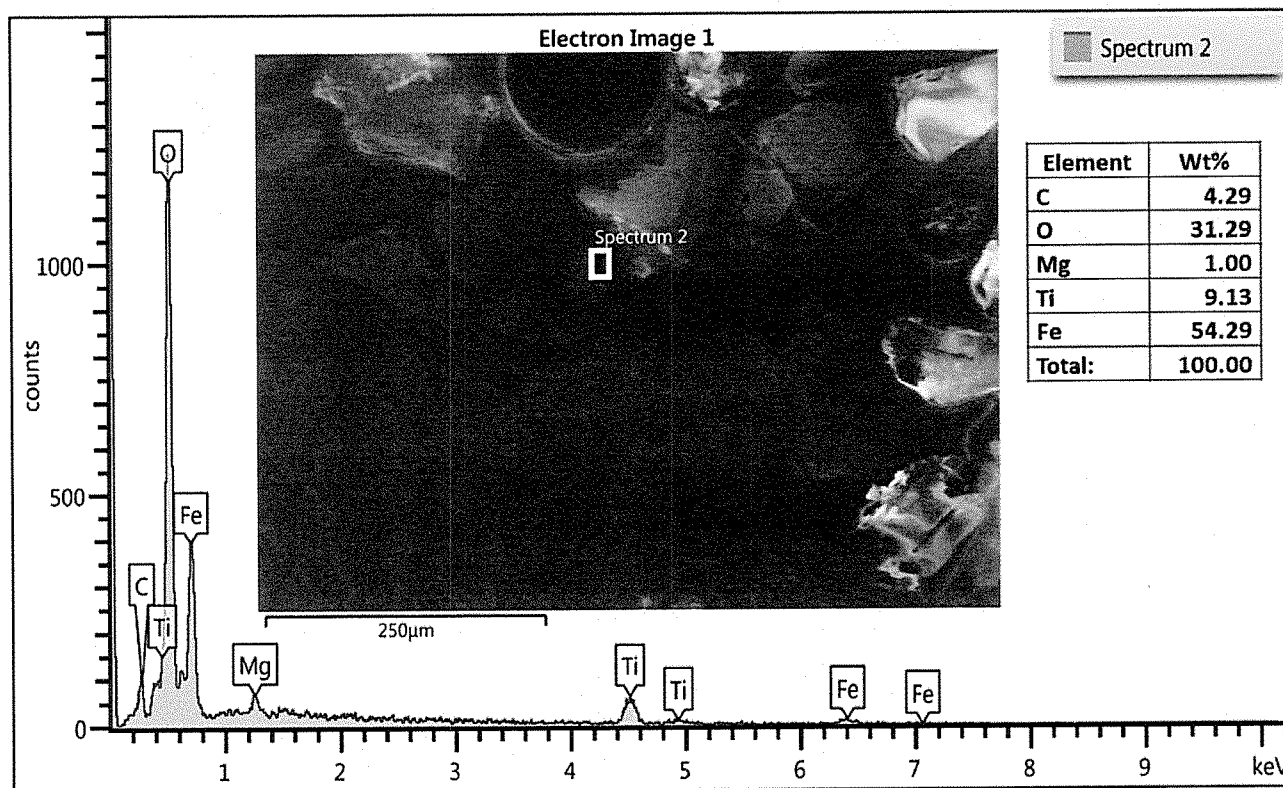


QV-09



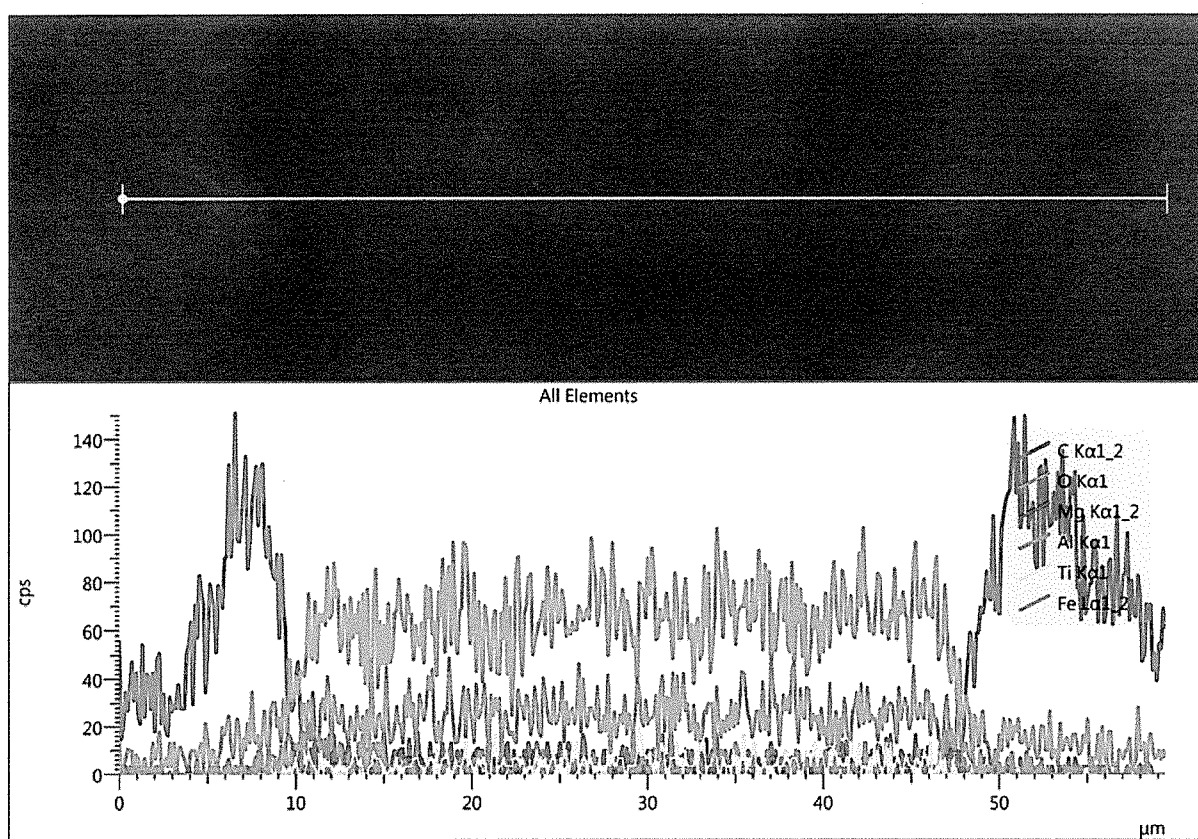
QV-09

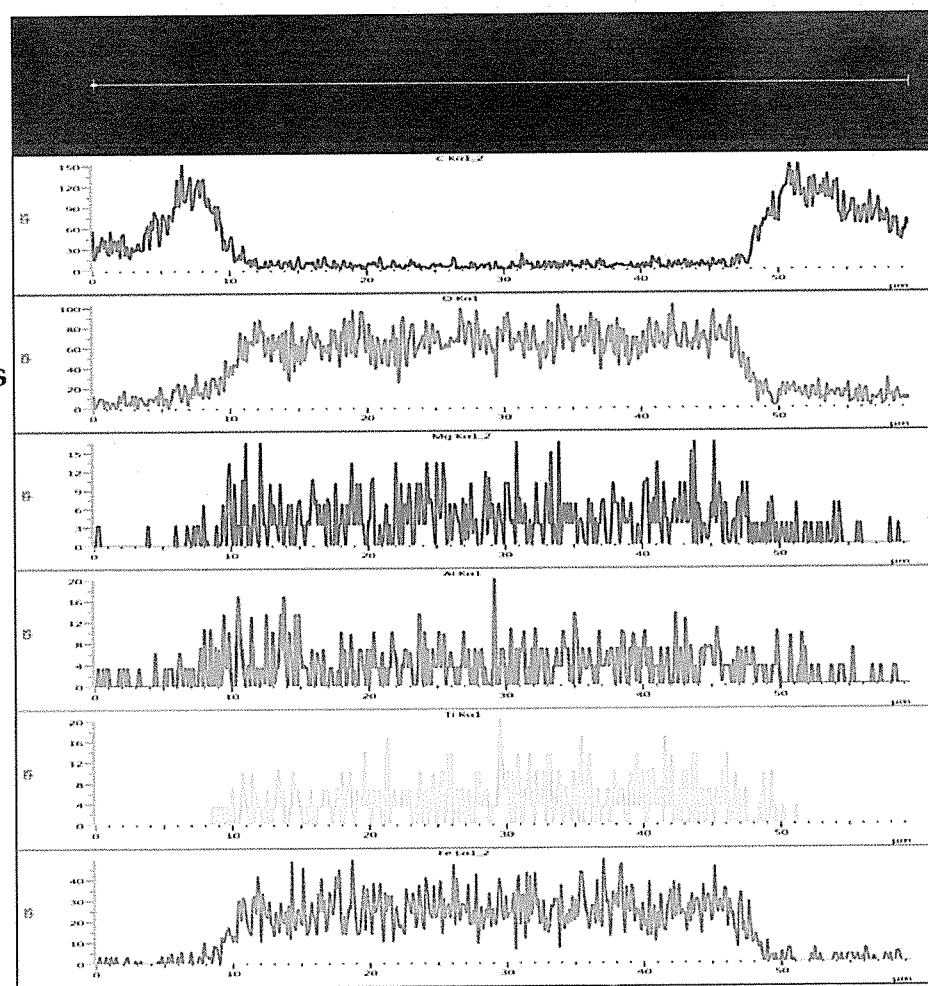
Análisis elemental EDS



QV-09

Análisis lineal elemental EDS

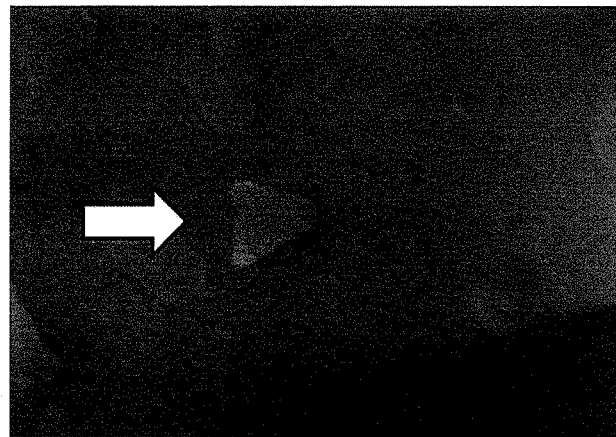
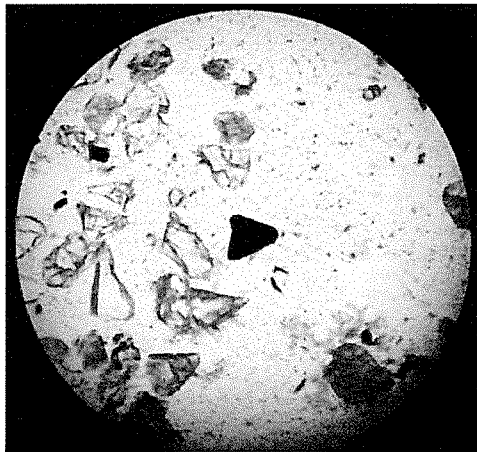




QV-09
Análisis lineal elemental EDS

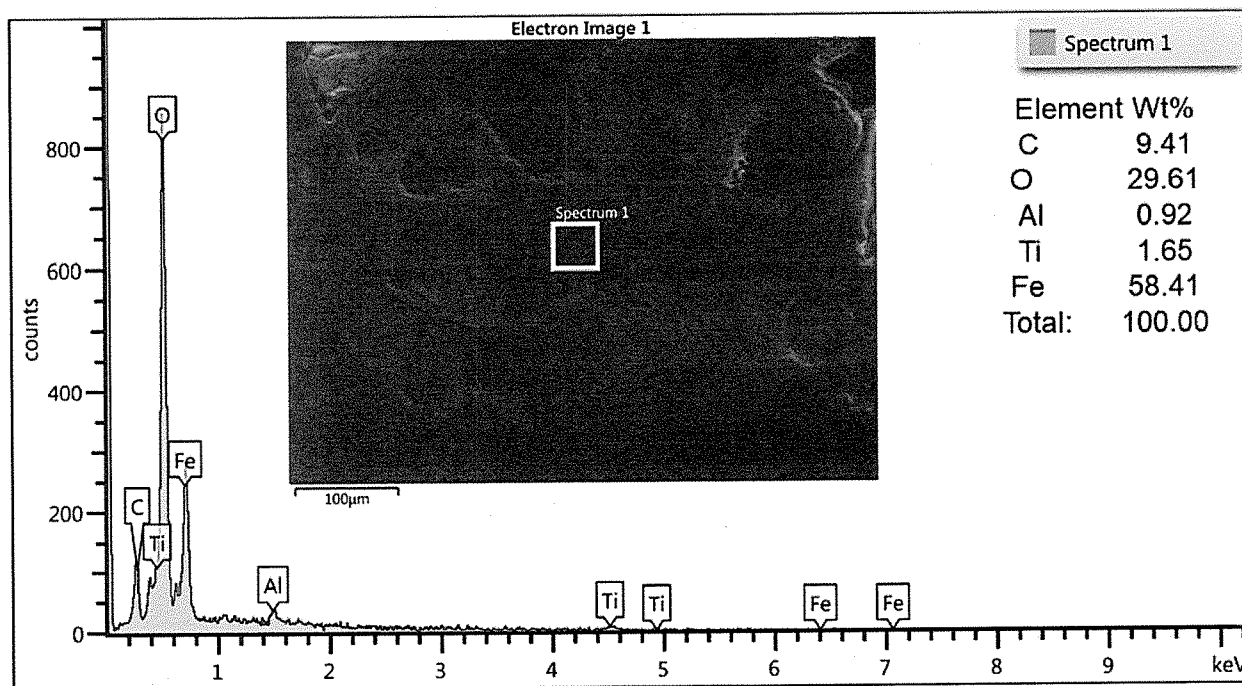
Análisis en línea con
elementos separados

Muestra QV BC E2

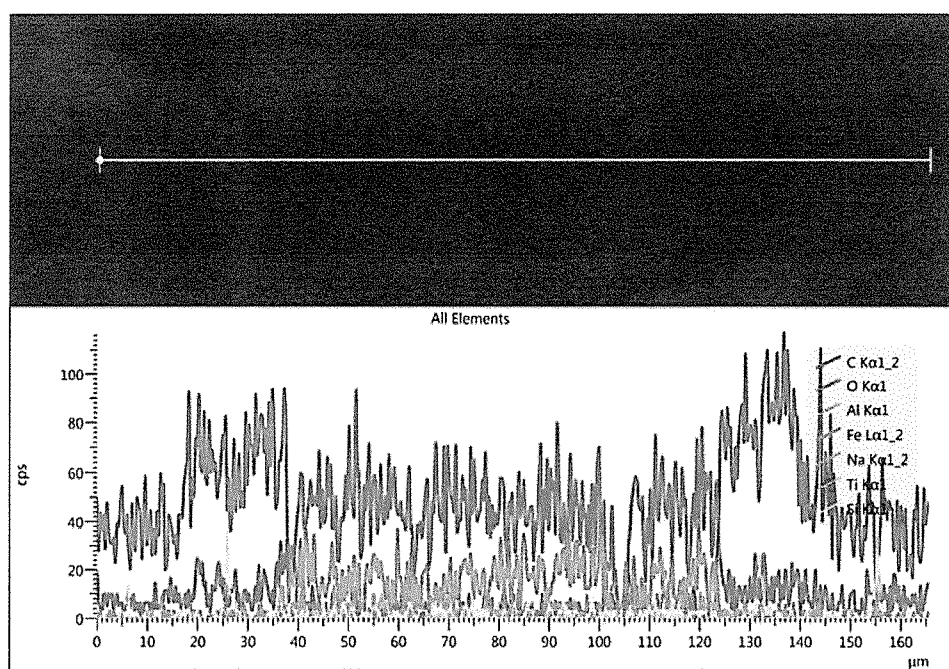


Muestra QV BC E2

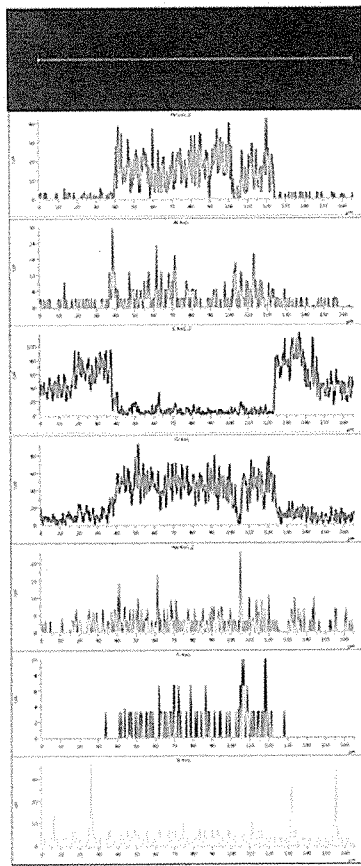
Análisis elemental EDS



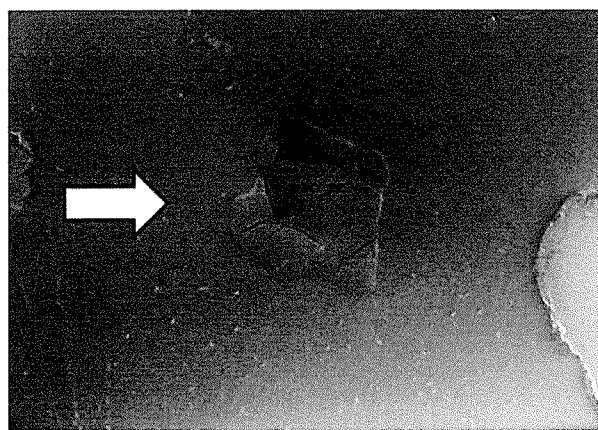
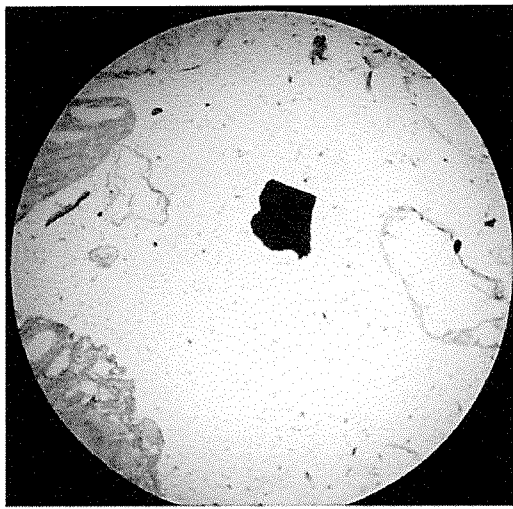
Análisis de elementos en línea



**Análisis en línea
con elementos
separados**

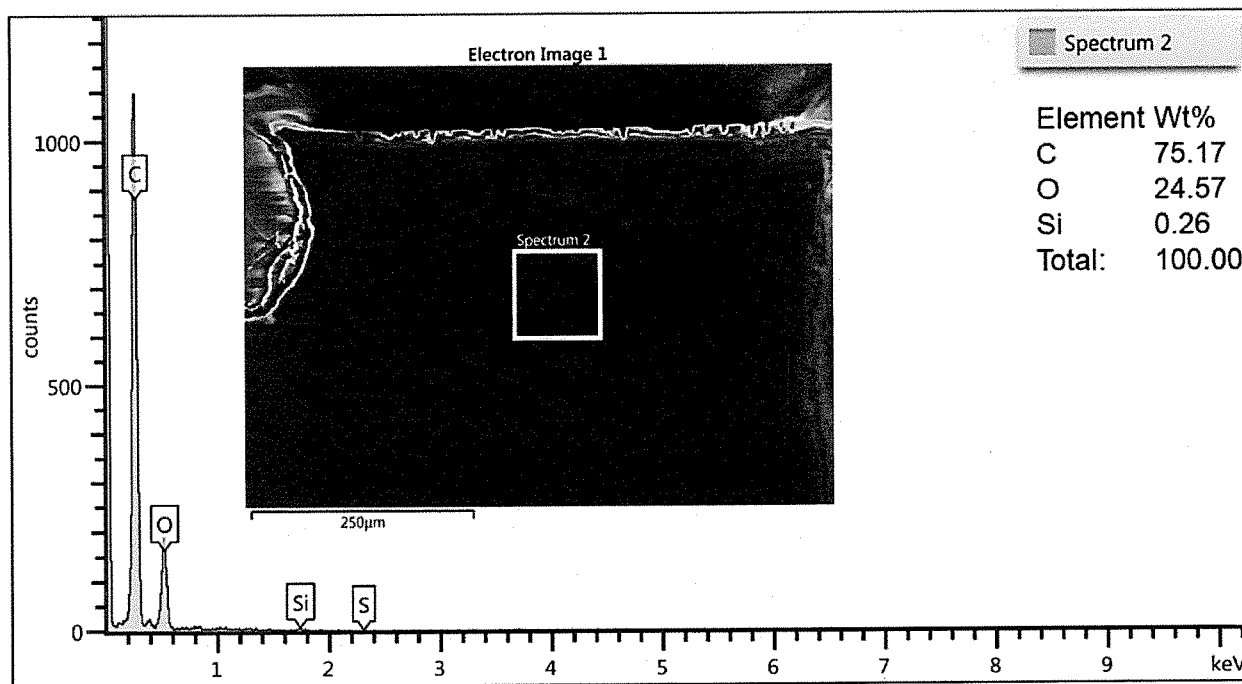


Muestra QV BC E4 B

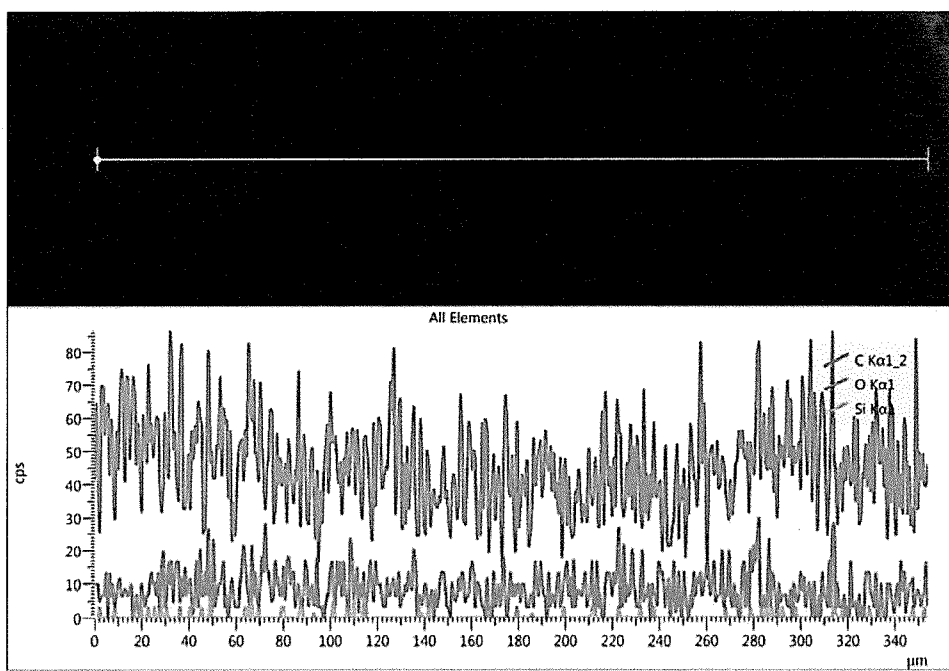


Muestra QV BC E4 B

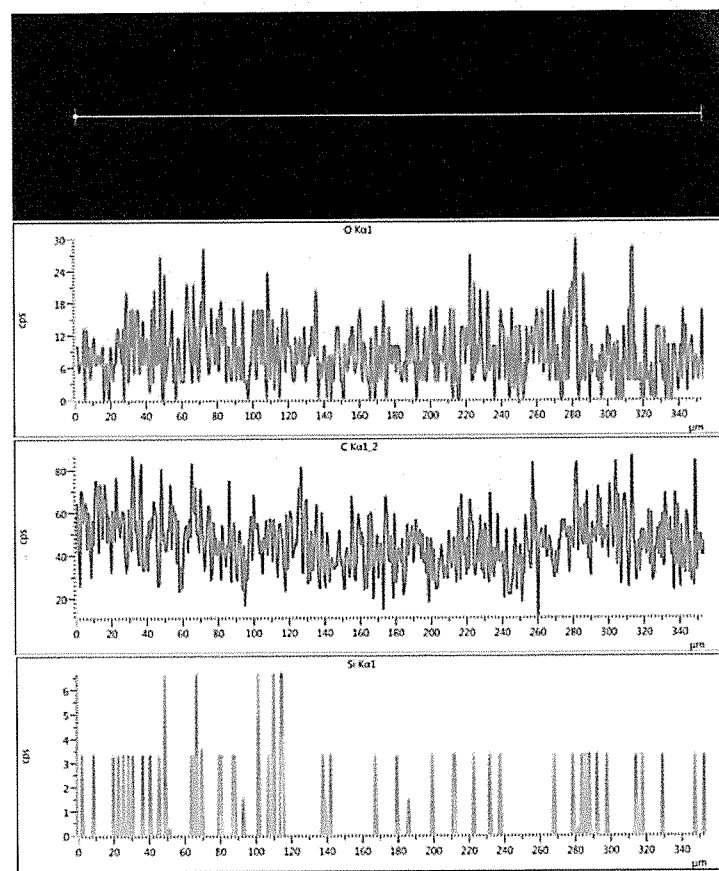
Análisis elemental EDS



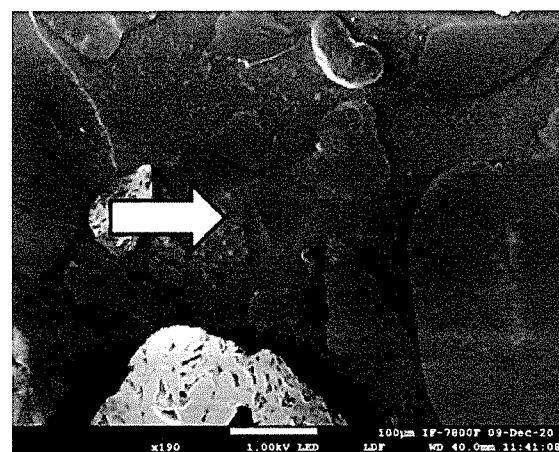
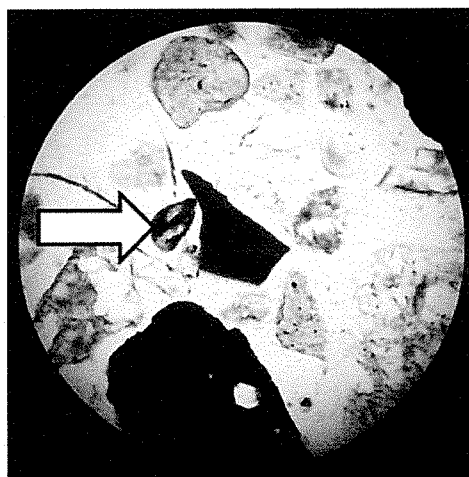
Análisis de elementos en línea



Análisis en línea
con elementos
separados

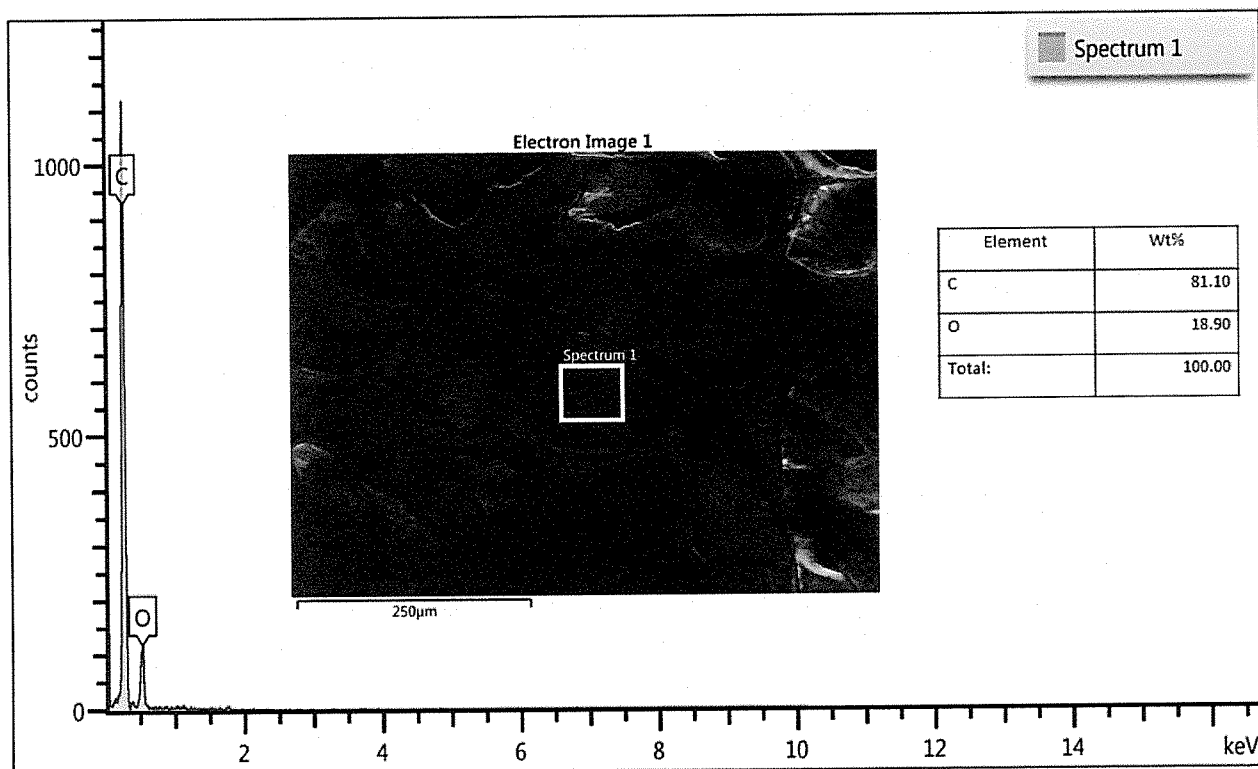


Muestra QV 12a

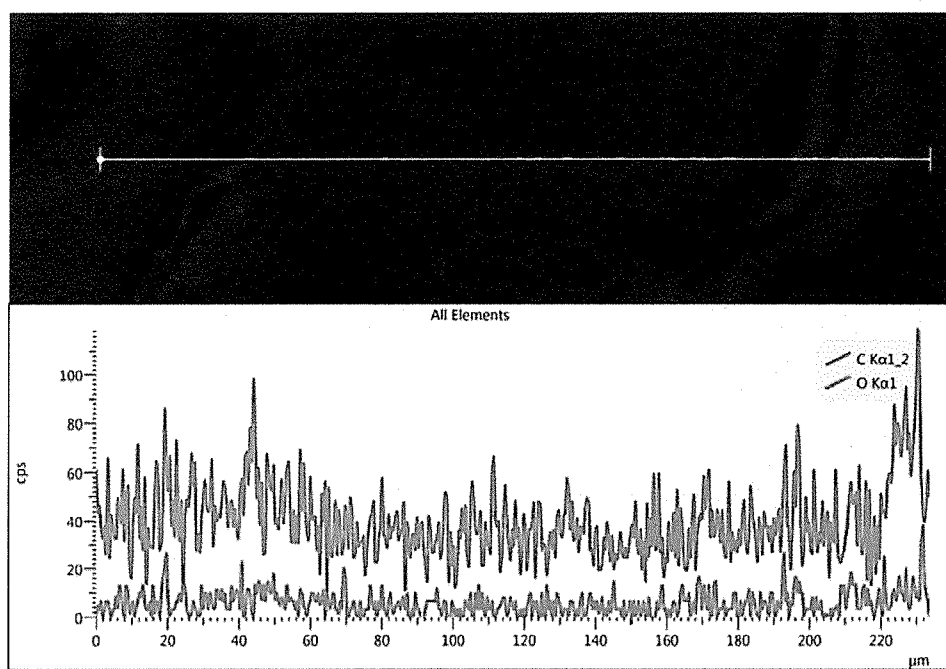


Muestra QV 12a

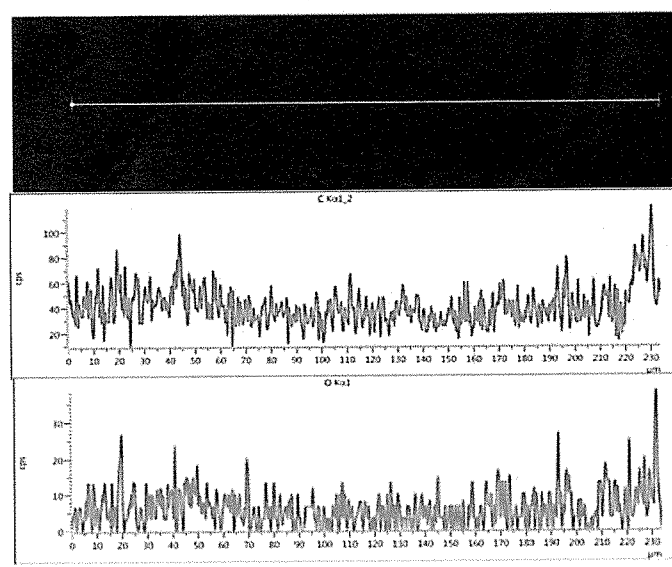
Análisis elemental EDS



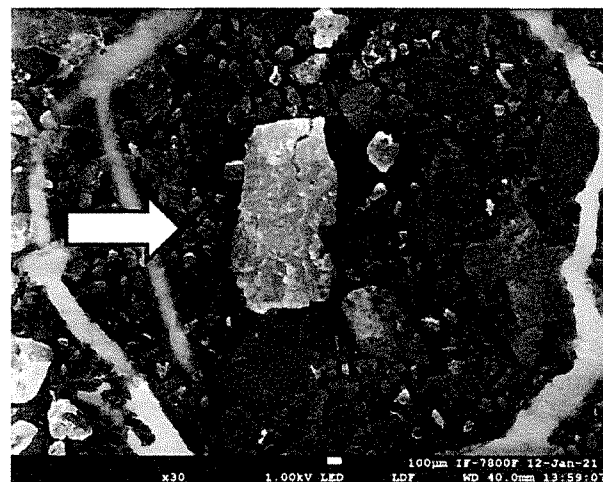
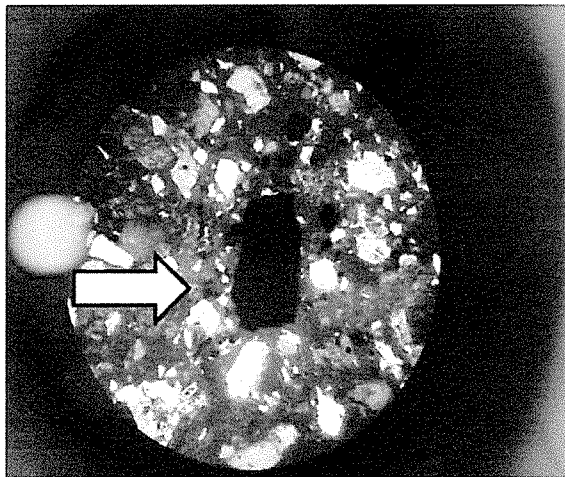
Análisis de elementos en línea



Análisis en línea con elementos separados

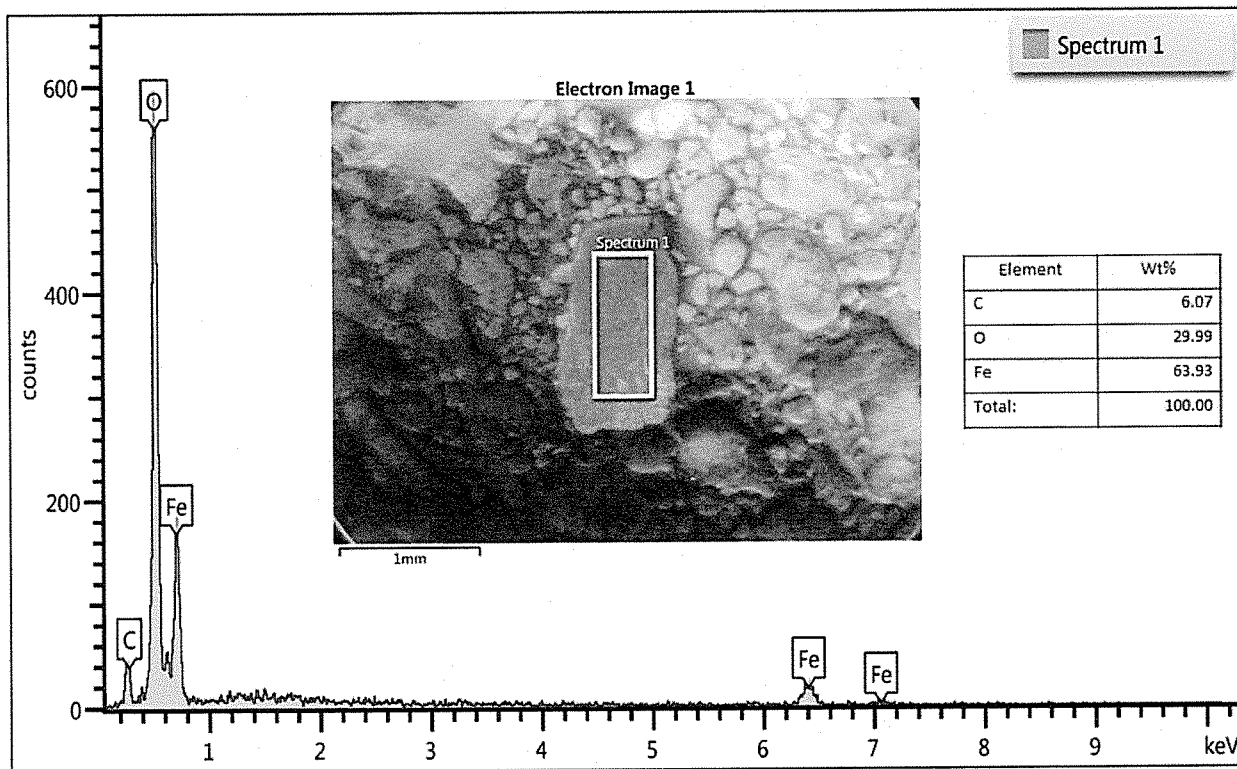


Muestra QV 12b

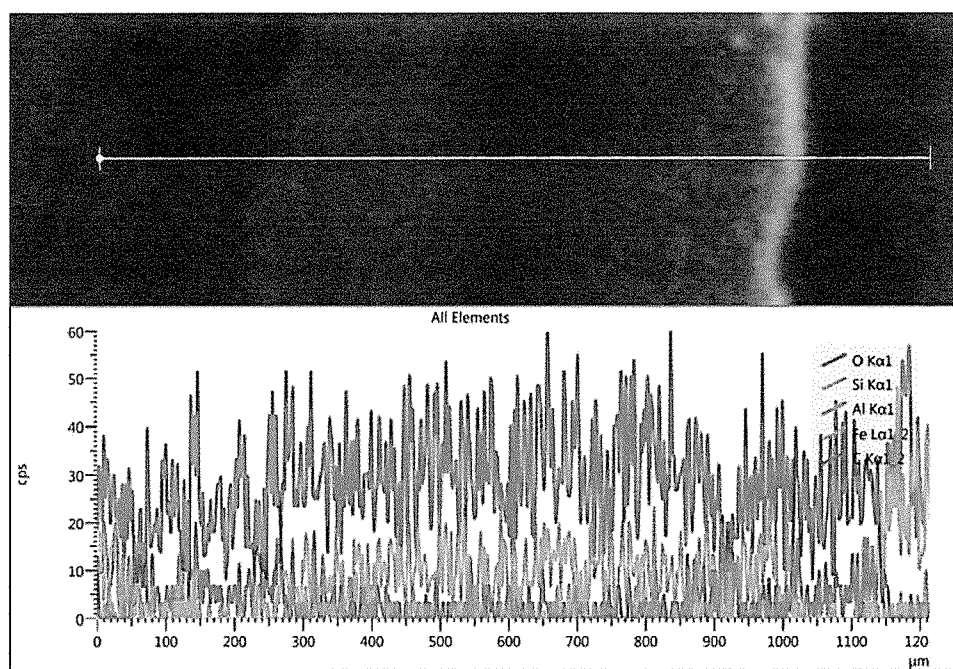


Muestra QV 12b

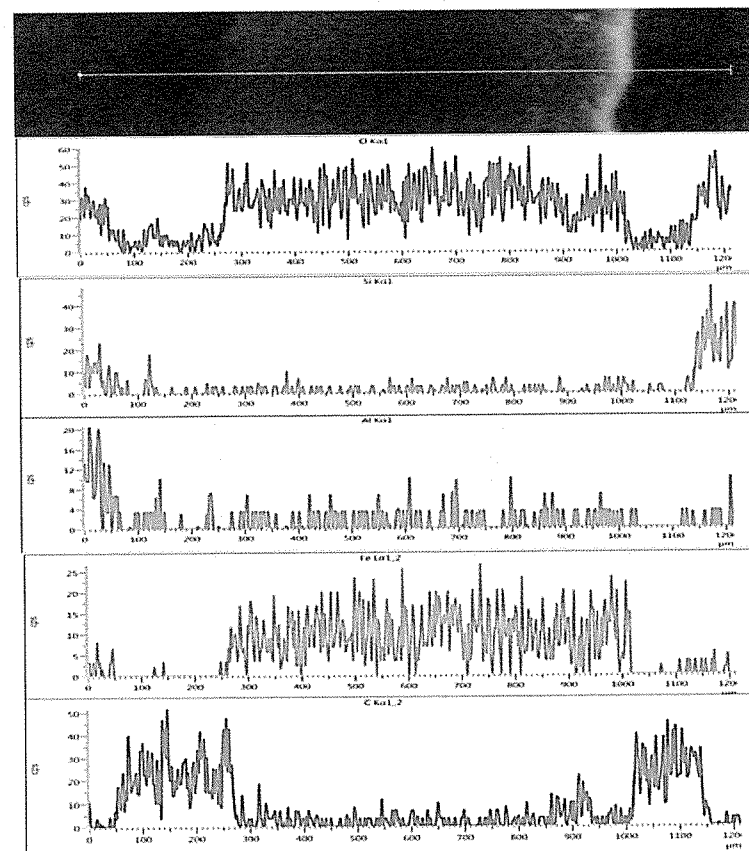
Análisis elemental EDS



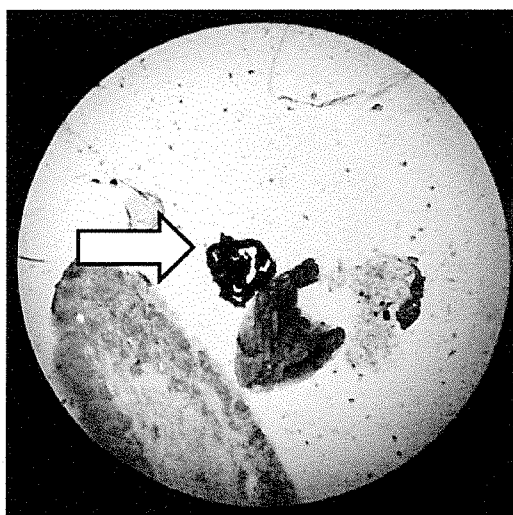
Análisis de elementos en línea



Análisis en línea
con elementos
separados

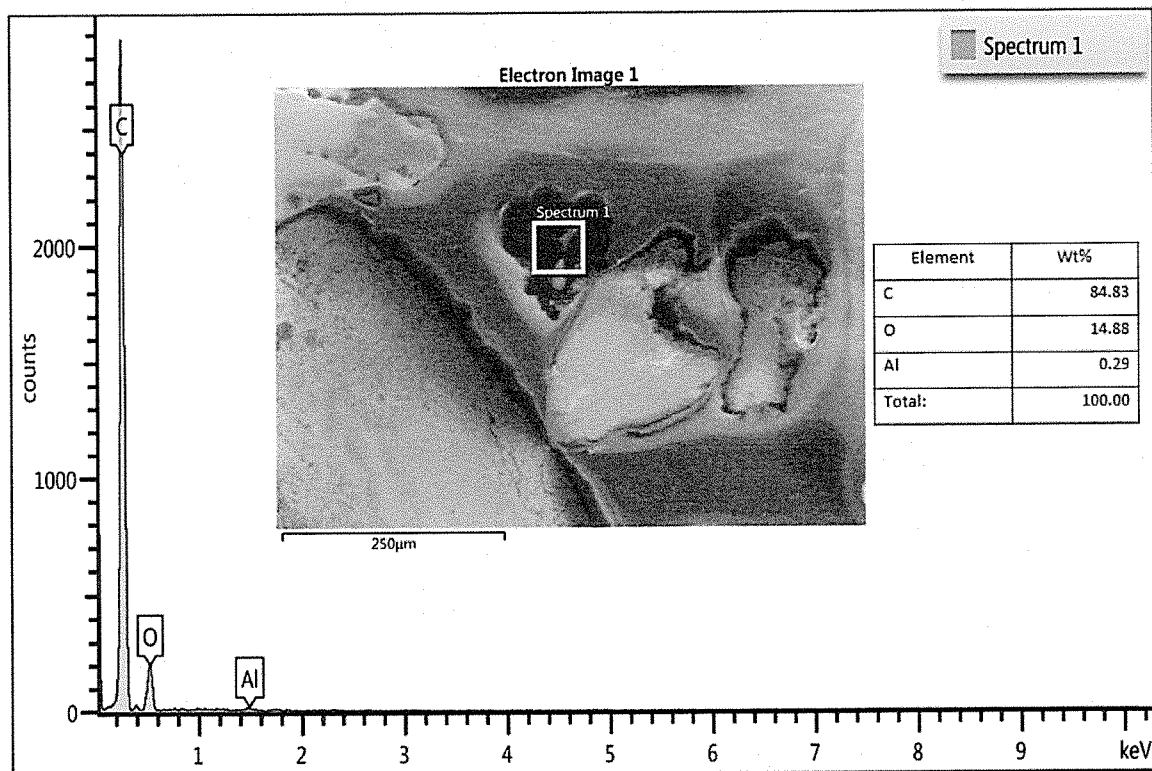


Muestra QV 13

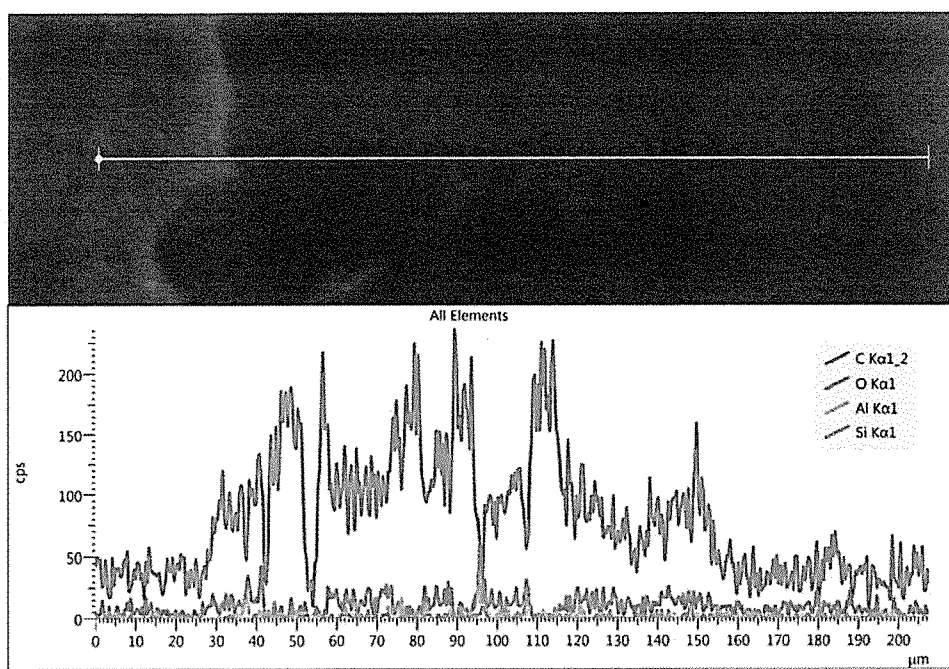


Muestra QV 13

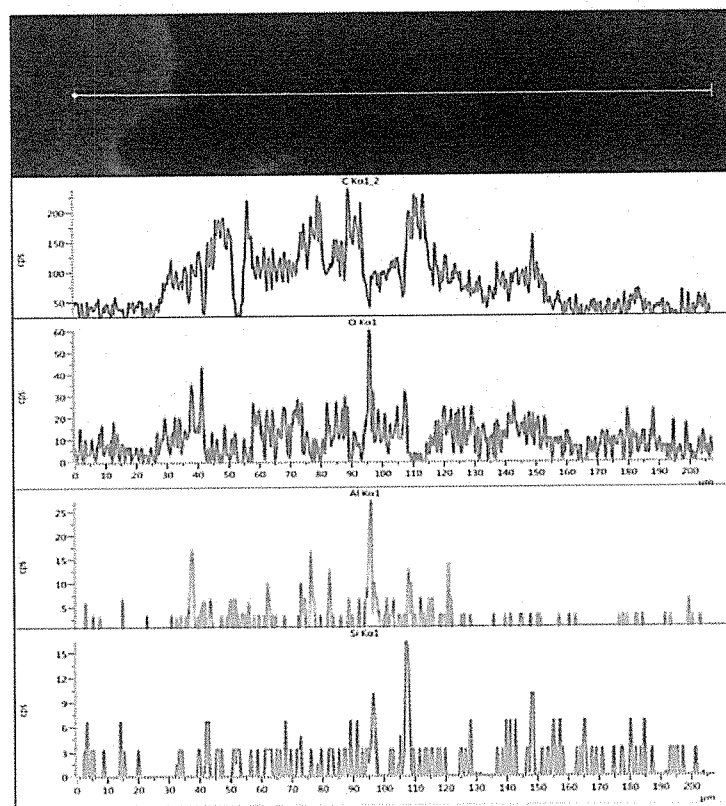
Análisis elemental EDS



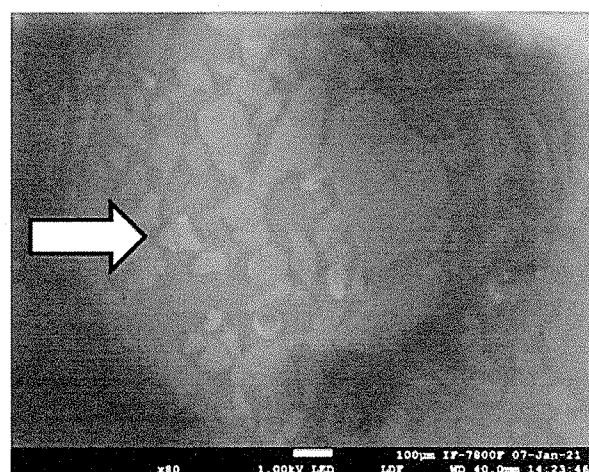
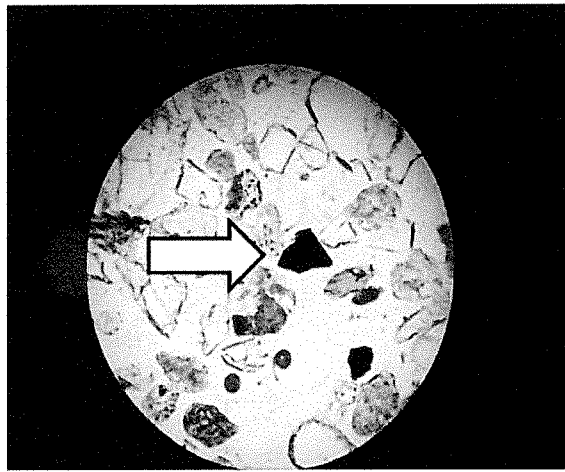
Análisis de elementos en línea



Análisis en línea
con elementos
separados

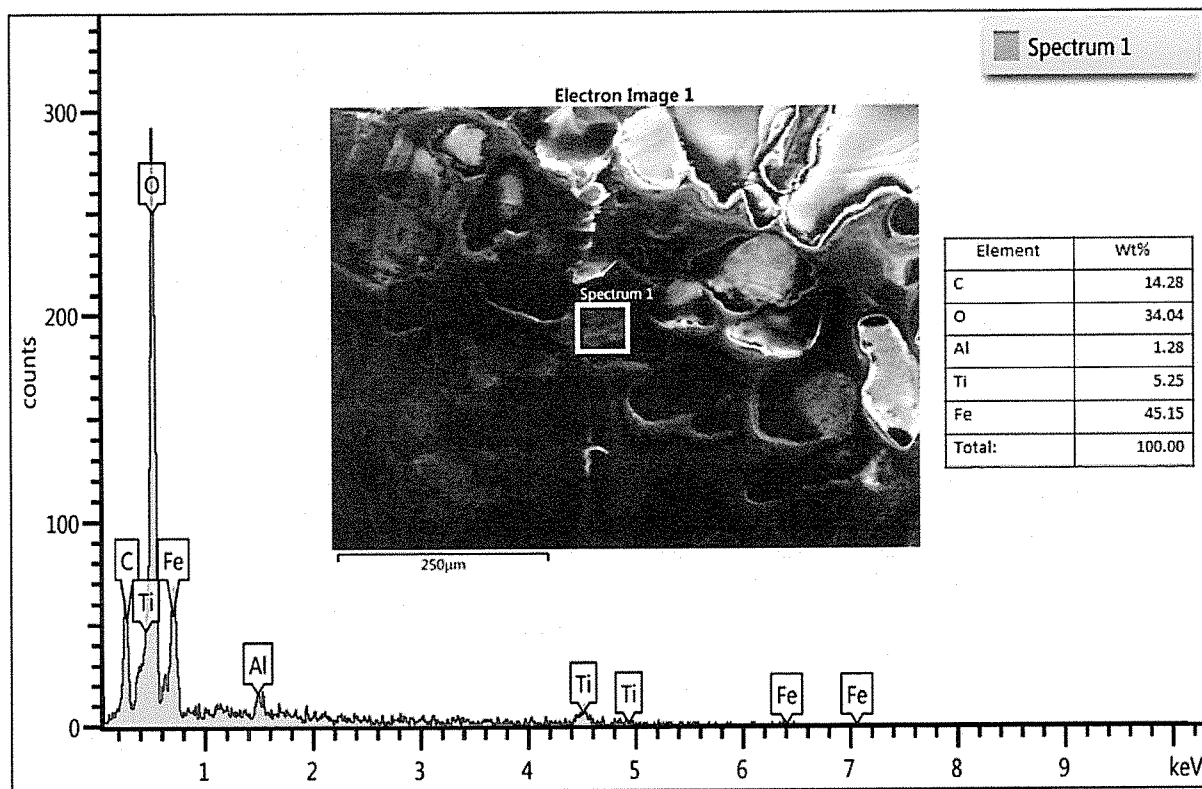


Muestra QV 03

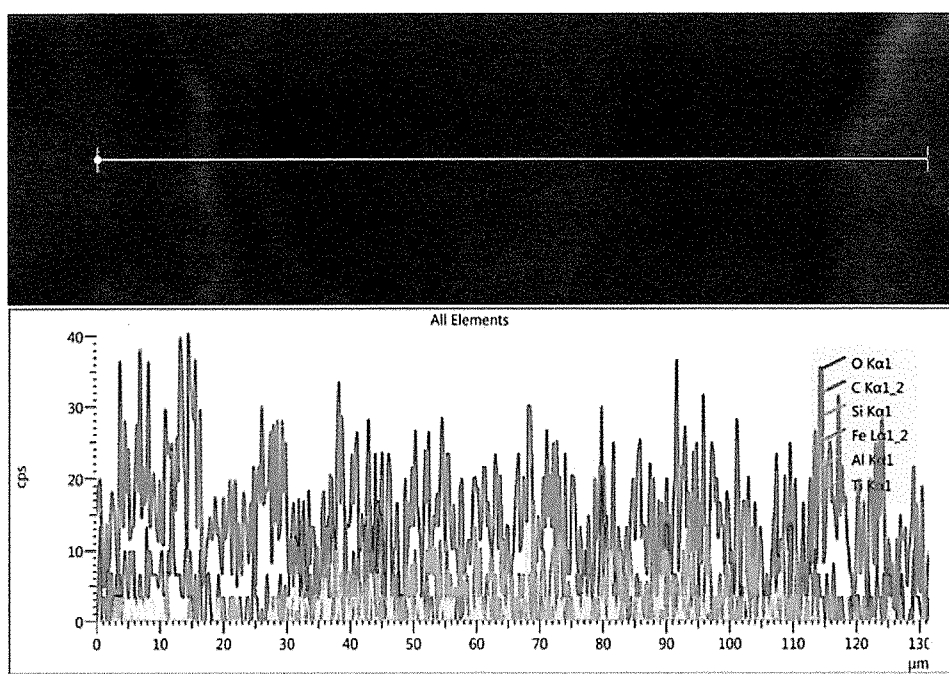


Muestra QV 03

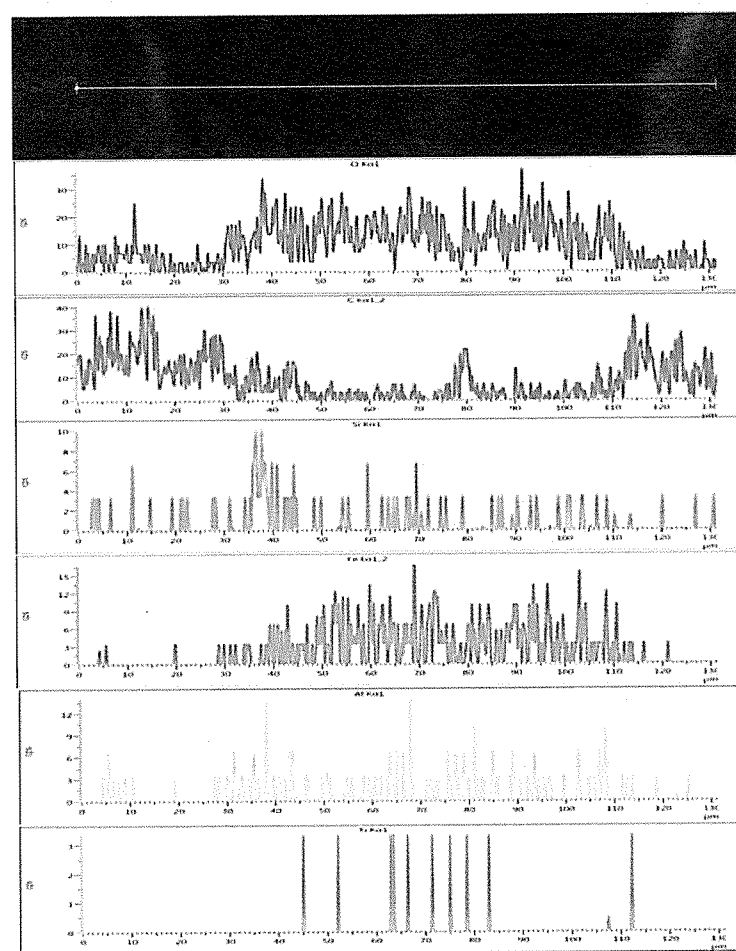
Análisis elemental EDS



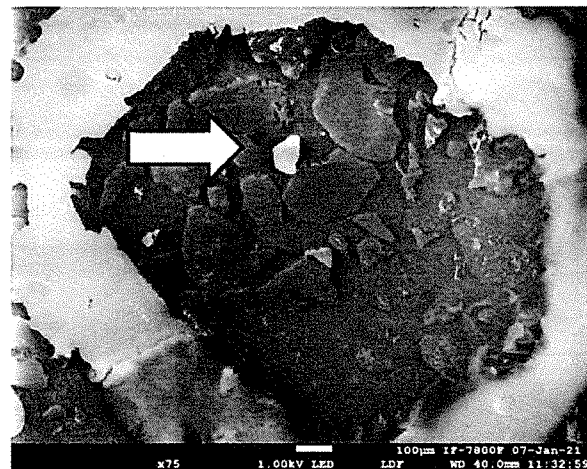
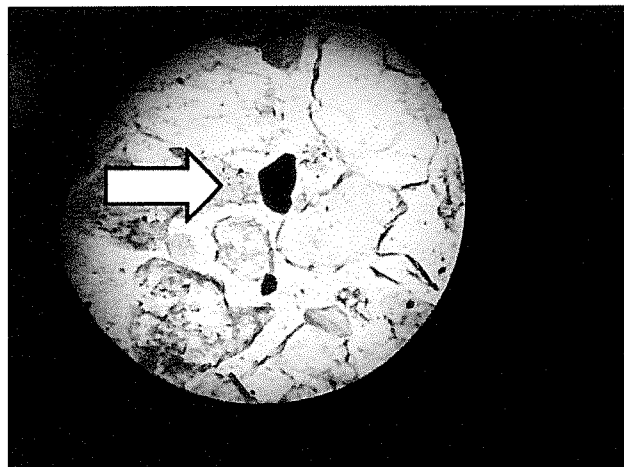
Análisis de elementos en línea



Análisis en línea con elementos separados

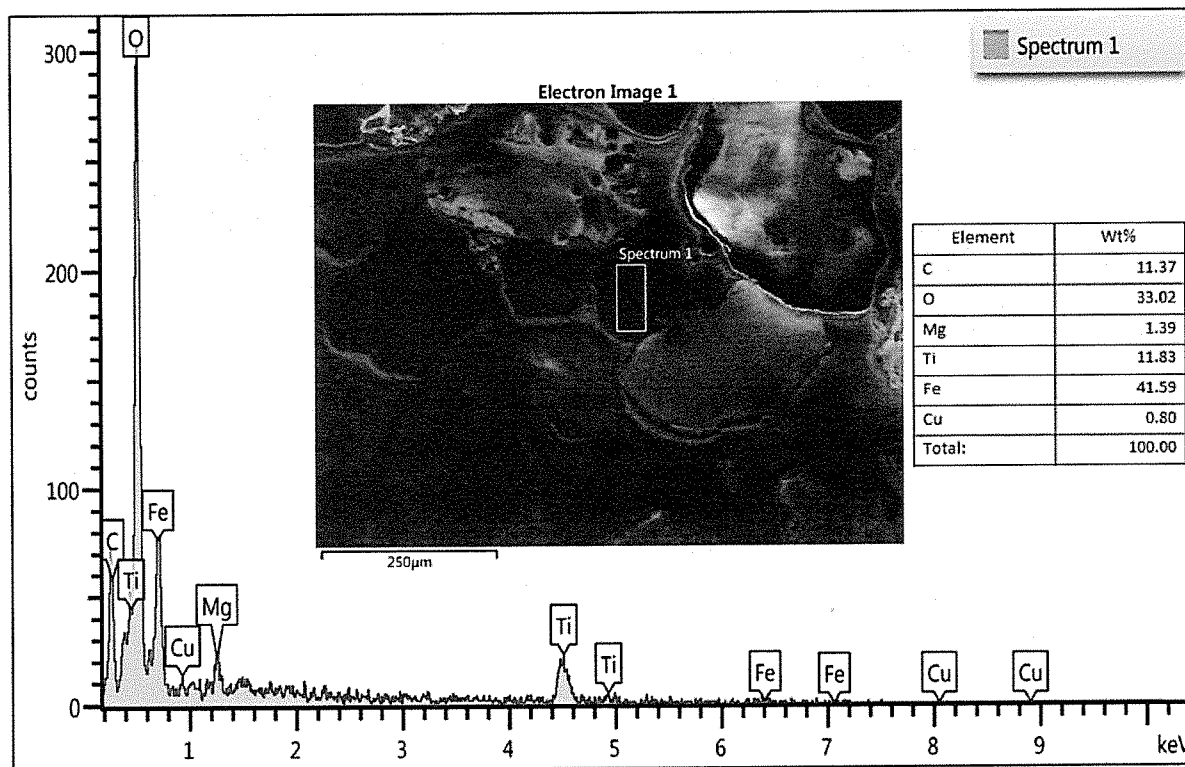


Muestra QV 20a

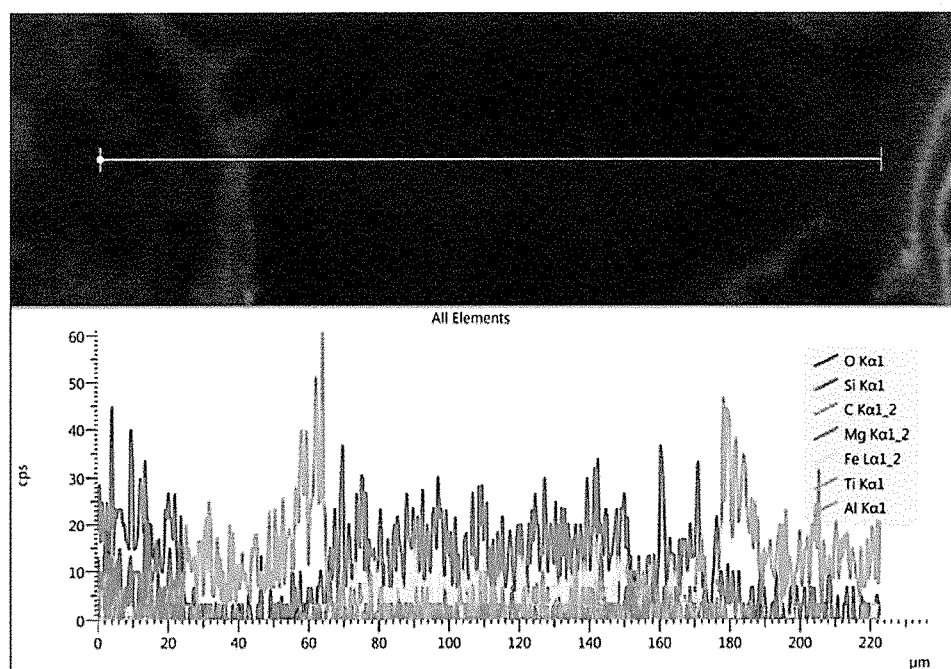


Muestra QV 20a

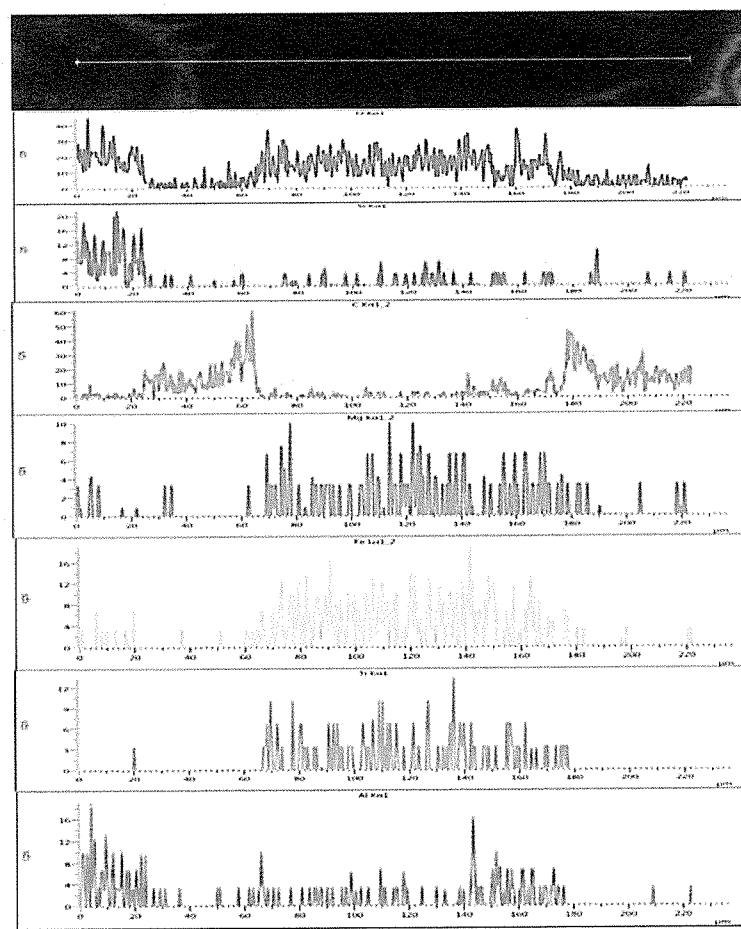
Análisis elemental EDS



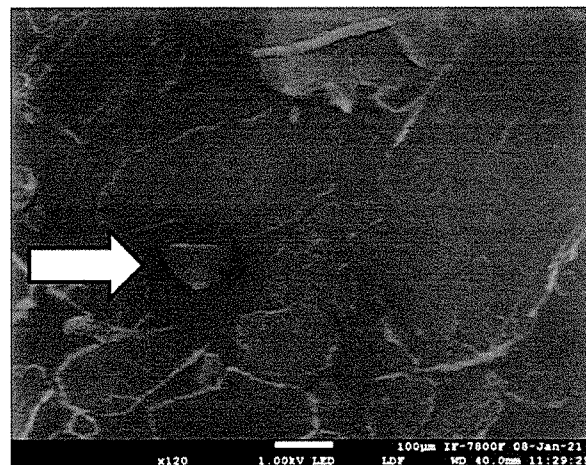
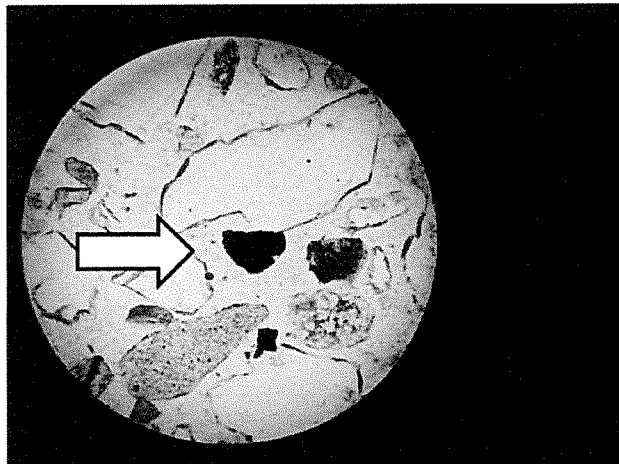
Análisis de elementos en línea



Análisis en línea
con elementos
separados

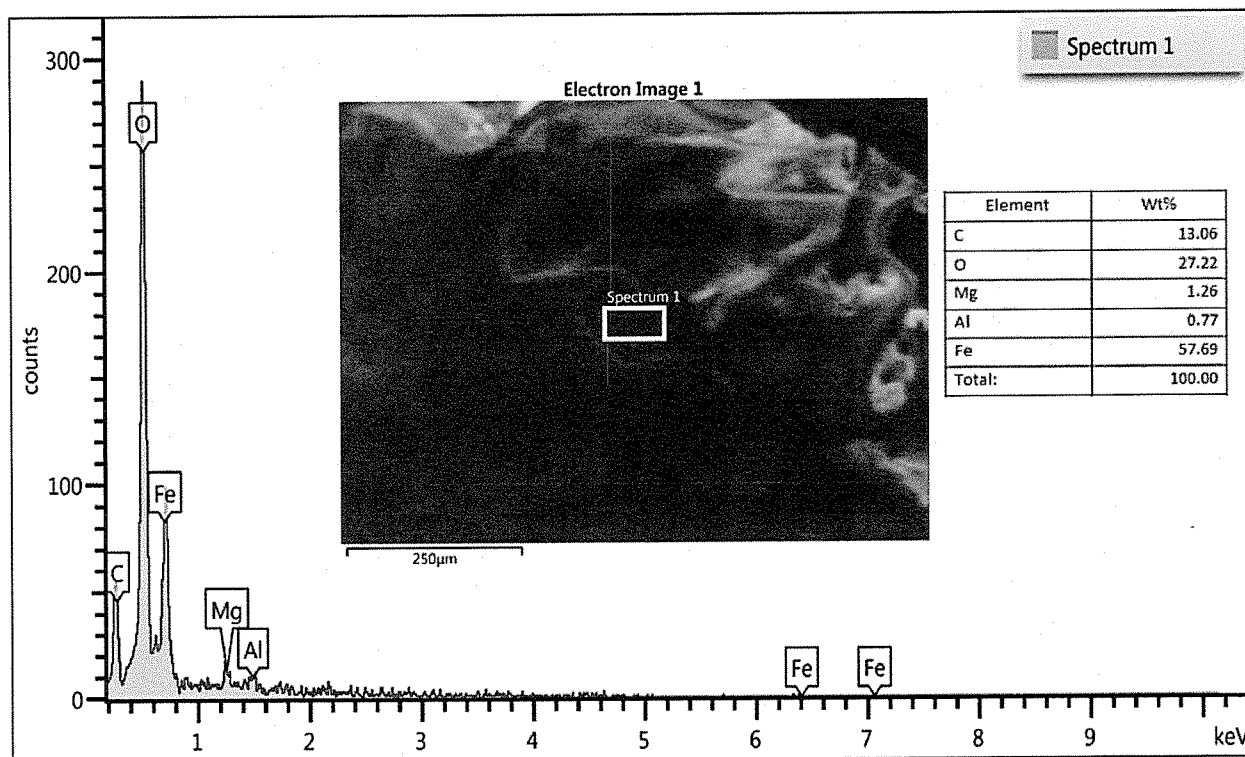


Muestra QV 20b

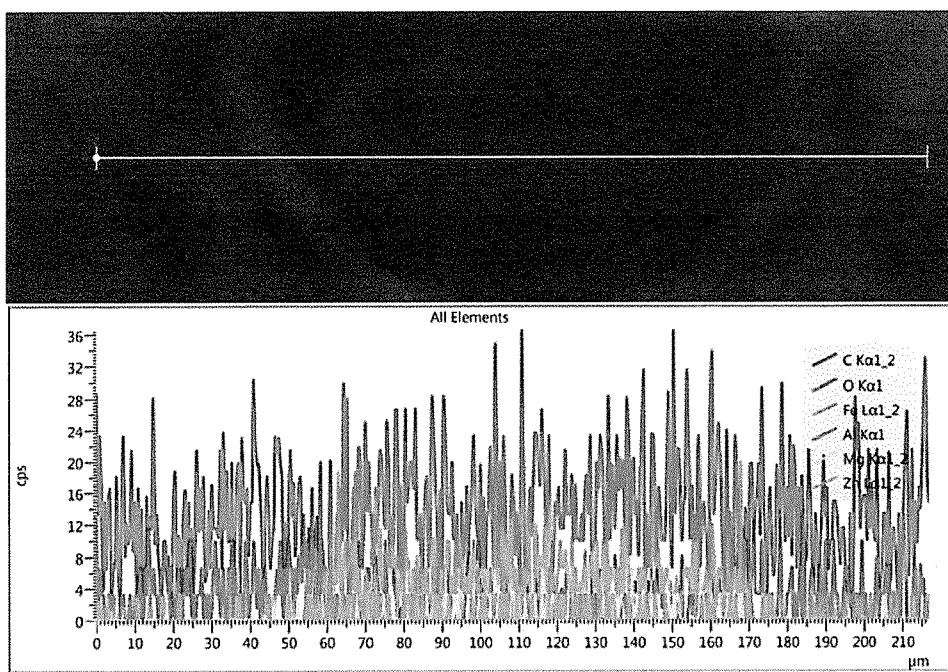


Muestra QV 20b

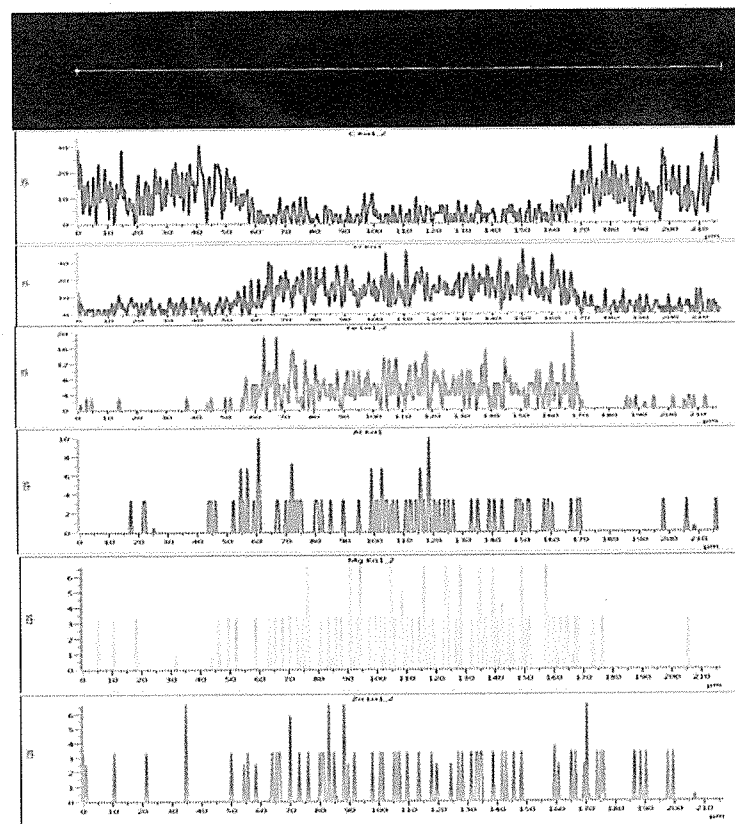
Análisis elemental EDS



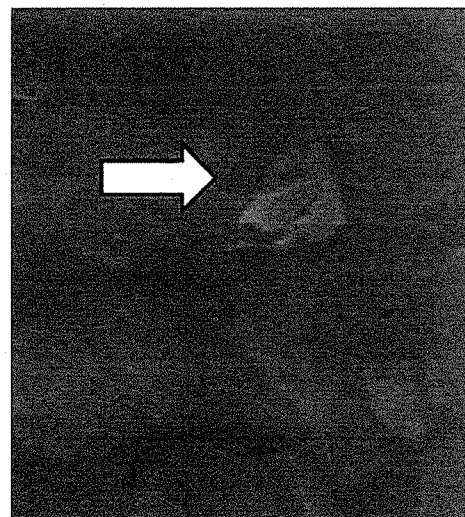
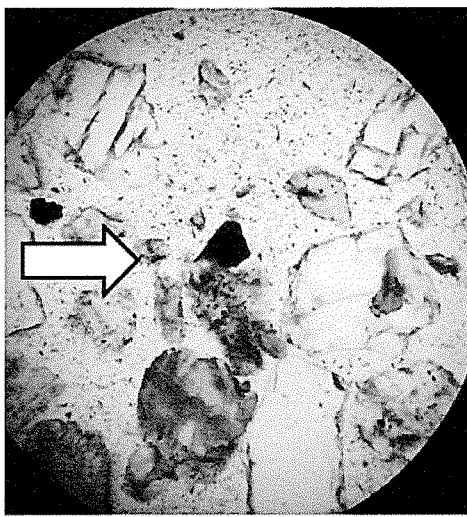
Análisis de elementos en línea



Análisis en línea
con elementos
separados

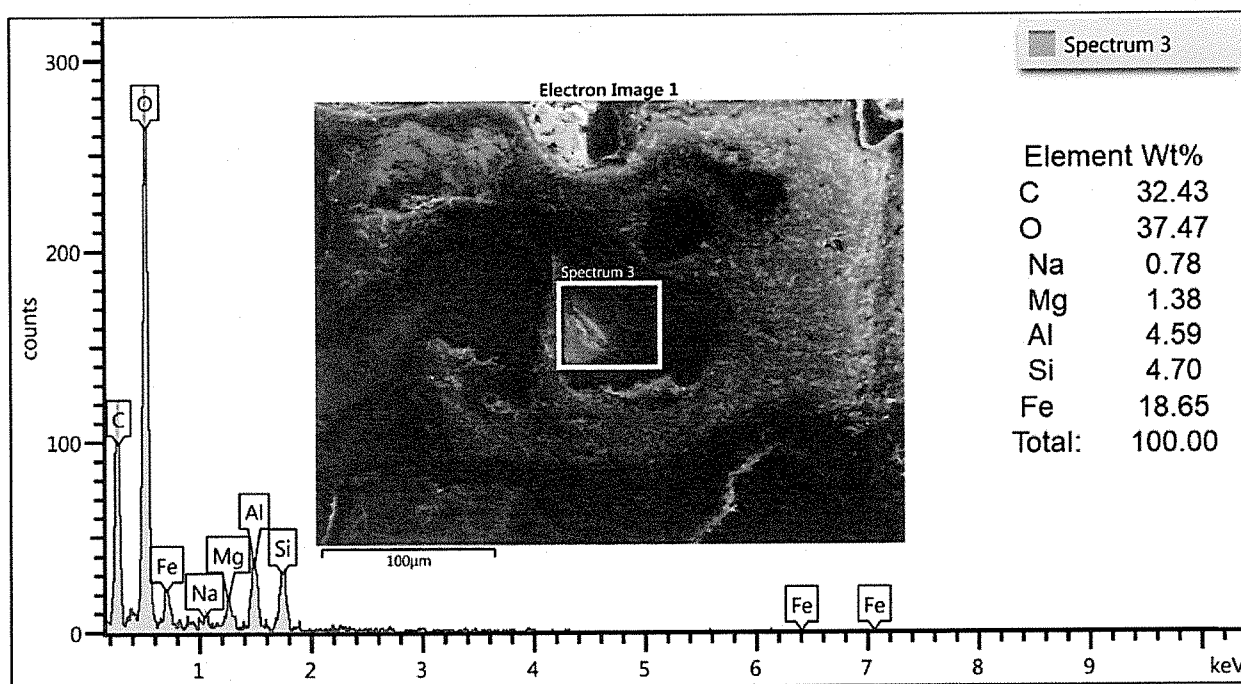


Muestra QV 19

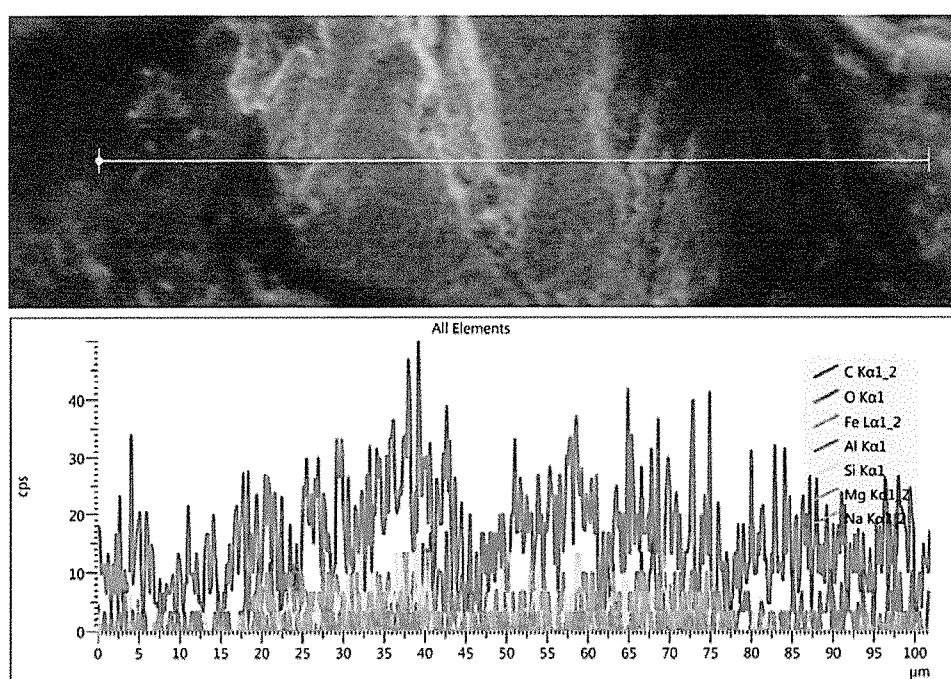


Muestra QV 19

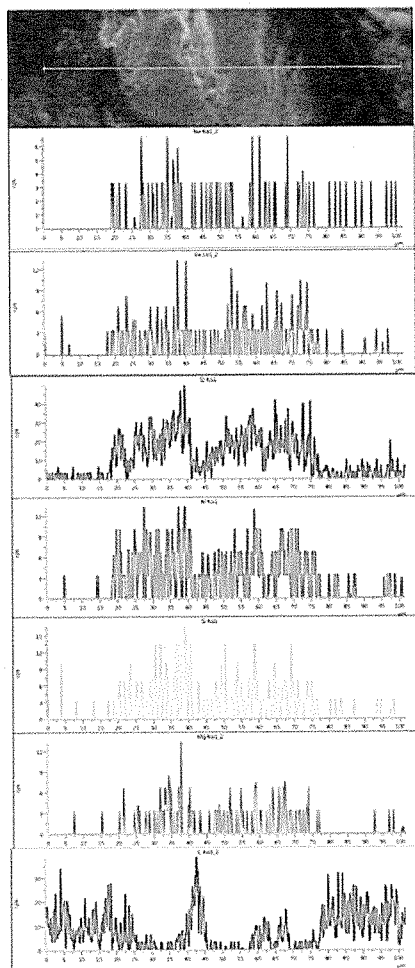
Análisis elemental EDS



Análisis de elementos en línea



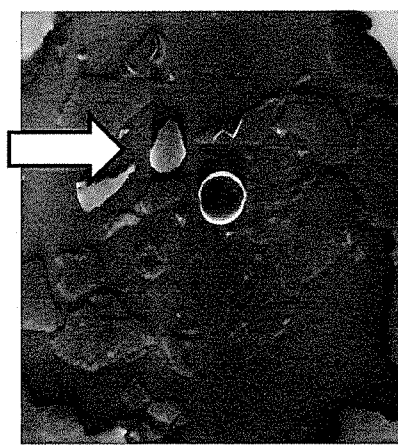
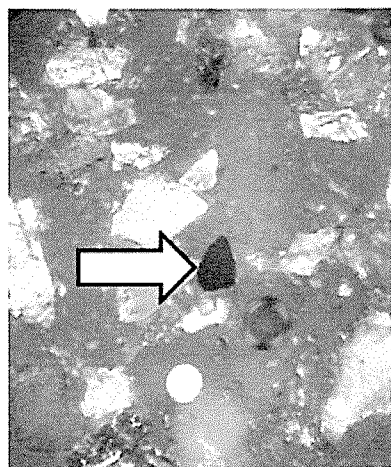
Análisis en línea
con elementos
separados



Quillota 900, Viña del Mar, CHILE. Fono: (56) 32 2846589

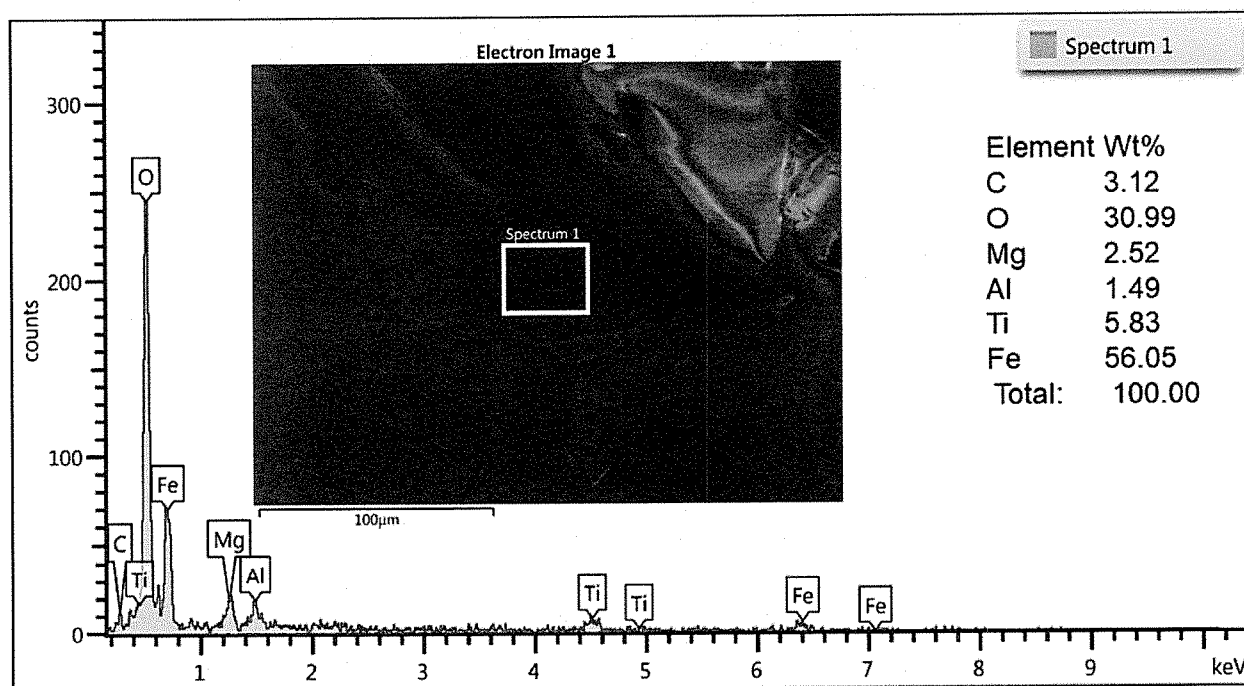
www.unab.cl

Muestra QV 11A

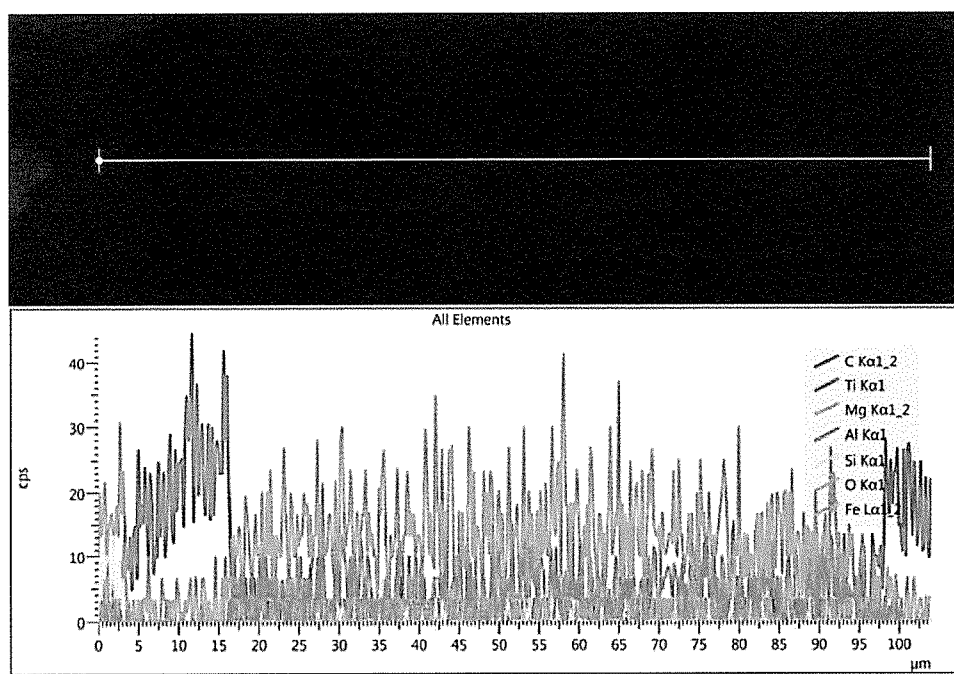


Muestra QV 11A

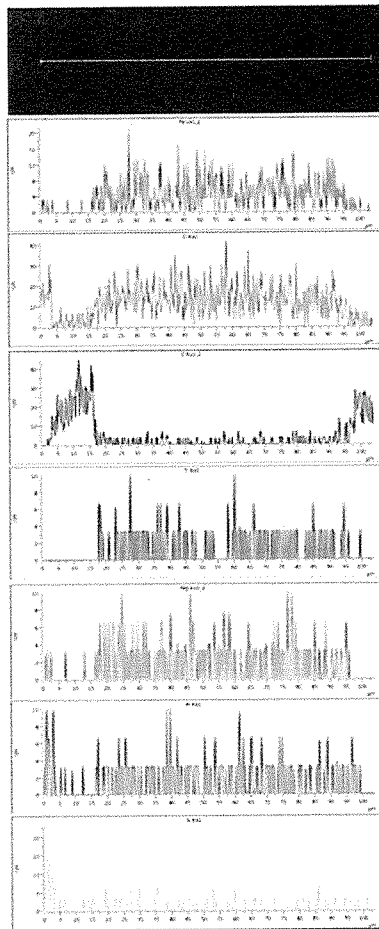
Análisis elemental EDS



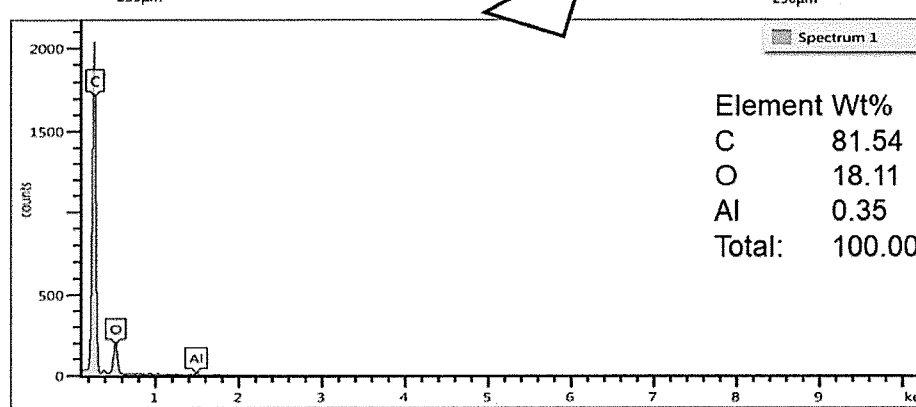
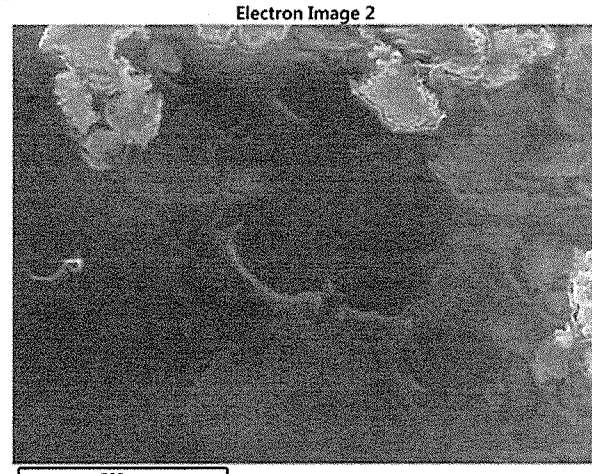
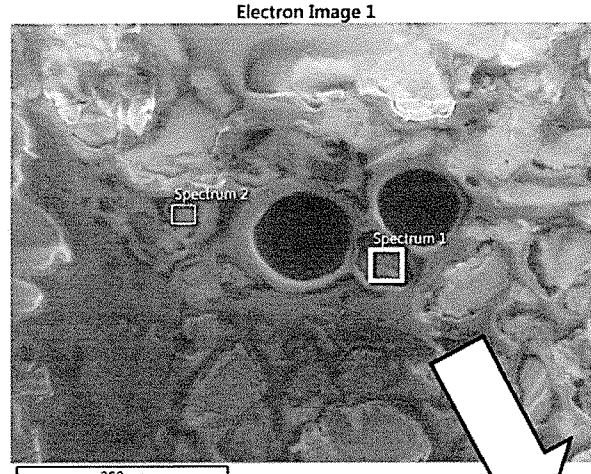
Análisis de elementos en línea



Análisis en línea
con elementos
separados



Muestra QV BC E3



La resina se daño con la radiación del haz electrónico. Por lo que no fue posible llevar acabo el análisis en línea

ANEXO "D"
TESTIGOS DE SEDIMENTOS

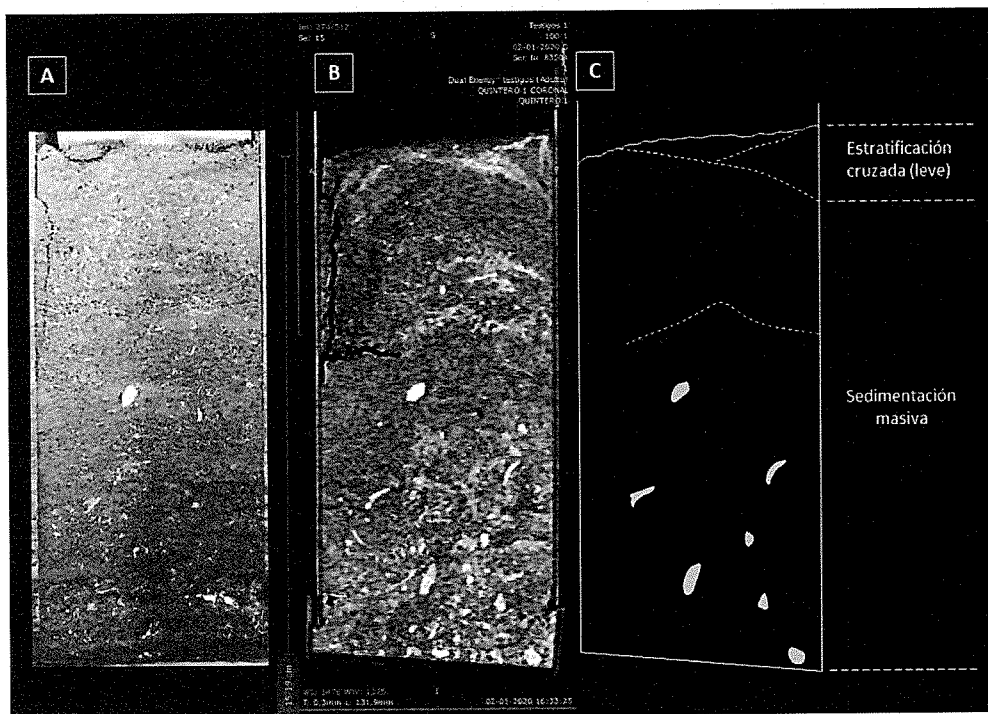


Figura A-23. Fotografía (A), tomografía computarizada de rayos X (B), esquema de las estructuras internas (C) del **testigo 1**. El testigo tiene un largo de 15,19 cm, presenta una estructura principalmente masiva con una estratificación cruzada leve en la sección superior. El tamaño de los granos va de limo a arena media (0,004 - 0,5 mm). El sedimento es de color pardo, se encuentra moderadamente seleccionado y los granos presentan una morfología sub-discoidal a sub-angulosa. Composicionalmente está conformado por cristales de cuarzo (55%), líticos (10%), feldespato potásico (9%) anfiboles (7%), plagioclasa (3%), biotita (1%) y fragmentos de bivalvos y gastrópodos. Se observa presencia de burbujas anaranjadas hidrófobas a lo largo del testigo que podrían corresponder a aceites o lubricantes.

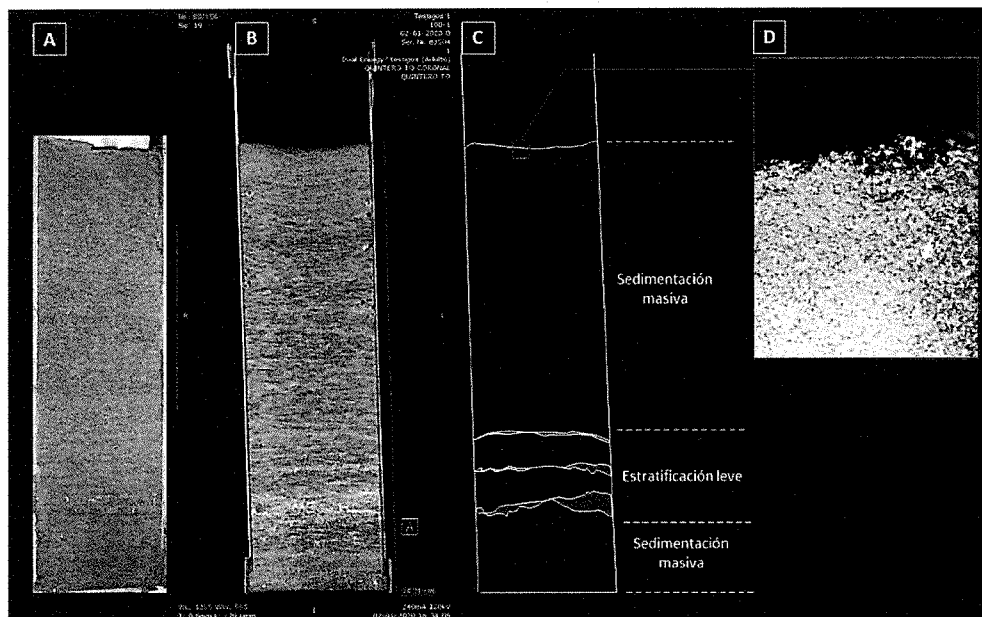


Figura A-24. Fotografía (A), tomografía computarizada de rayos X (B), esquema de las estructuras internas (C) y fotografía con lupa binocular de partículas de carbón (D) del testigo To. El testigo tiene un largo de 24,21 cm, presenta una estructura principalmente masiva de arena fina a media (0,125-0,5 mm) y una estratificación leve marcada por fragmentos de bivalvos y gastrópodos: El sedimento es de color pardo, se encuentra bien seleccionado y los granos presentan una morfología sub-discoidal a sub-angulosa. Composicionalmente está conformado por cristales de cuarzo (80%), feldespato potásico (3%), anfíboles (2.5%), biotita (2%), plagioclasa (2%), fragmentos de bivalvos y gastrópodos (2%), carbón (0.5%), fragmentos líticos (8%). Las partículas de carbón se encuentran solo en la sección superficial del testigo (D), además de hebras de plástico a lo largo de este.

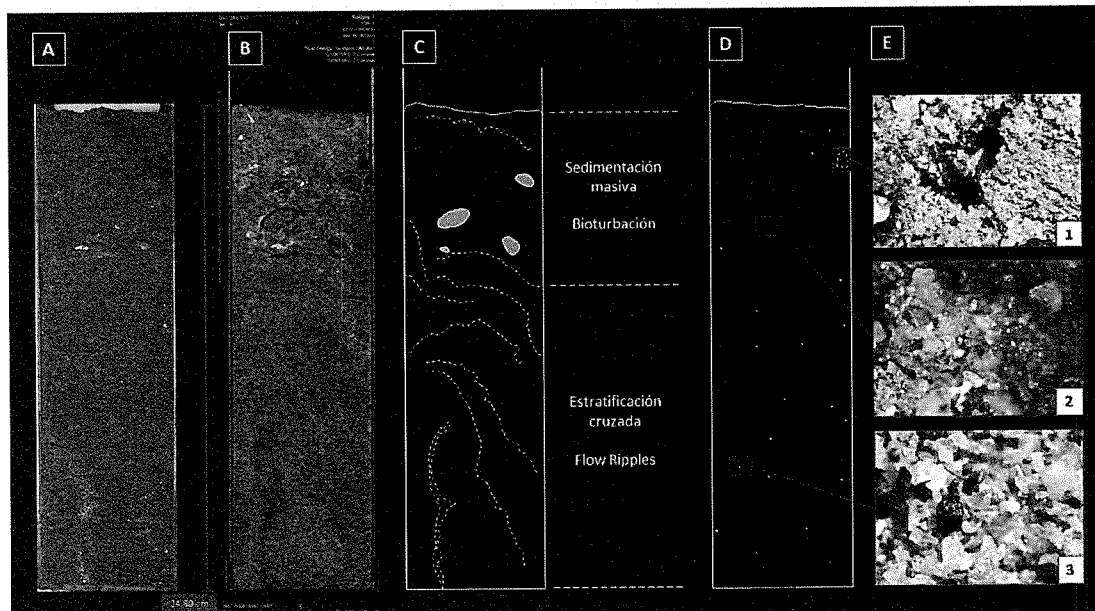


Figura A-25. Fotografía (A), tomografía computarizada de rayos X (B), esquema de las estructuras internas (C), esquema representativo de la distribución de las partículas de carbón (D), fotografías con lupa binocular de partículas de carbón (E.1 y E.3) y fotografía con lupa binocular de una burbuja hidrófoba (E.2) del testigo 2. El testigo tiene un largo de 24,80 cm, presenta una estructura masiva levemente bioturbada en la sección superior, mientras que en la sección inferior las estructuras son ligeramente estratificadas de tipo flow ripples. El sedimento es de color pardo claro a oscuro, se encuentra bien seleccionado y los granos presentan una morfología sub-discoidal a sub-angulosa. Composicionalmente está conformado por cristales de cuarzo (50%), plagioclasa (5%), feldespato potásico (5%), biotita (5%), anfiboles (5%) y magnetita (>1%), líticos (15%) y fragmentos de bivalvos y gastrópodos. Se observan burbujas anaranjadas hidrófobas y hebras de plástico a lo largo del testigo.

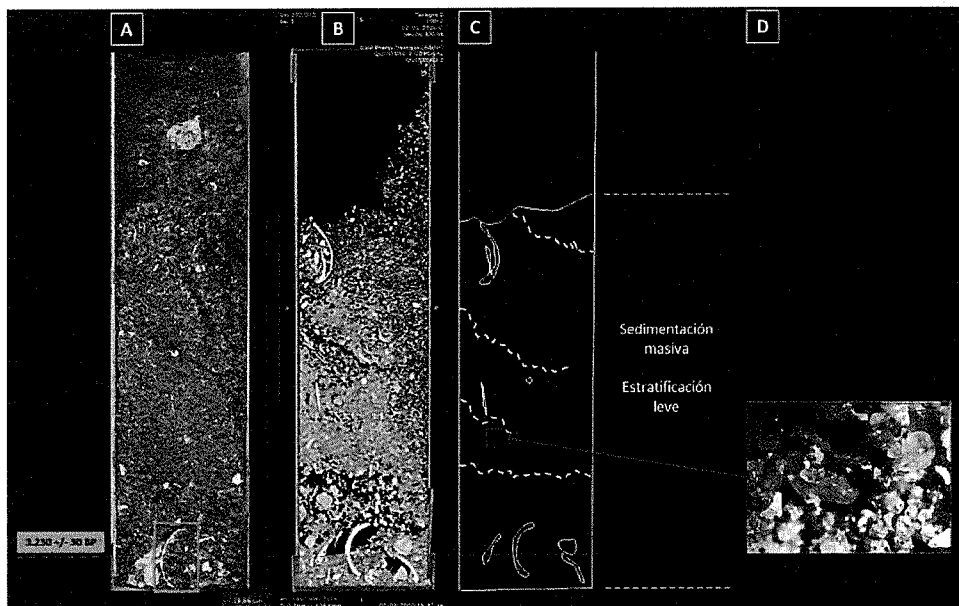


Figura A-26. Fotografia (A), tomografia computarizada de rayos X (B), esquema de las estructuras internas (C) y fotografia con lupa binocular de cristales de azufre del **testigo 3**. El testigo tiene un largo de 19,66 cm, presenta una estructura principalmente masiva de arena fina a gruesa (0,125 - 1 mm). El sedimento es de color pardo, se encuentra pobemente seleccionado y los granos presentan una morfología discoidal a sub-angulosa. Composicionalmente está conformado por cristales de cuarzo (65%), feldespato potásico (5%), anfibol (9%), biotita (1%) y fragmentos de bivalvos y gastrópodos (20%). Se observa presencia de burbujas anaranjadas hidrófobas a lo largo del testigo que podrían corresponder a aceites o lubricantes. El cuadro rojo grueso representa la muestra que fue datada con el método de radiocarbono y la edad obtenida (Conventional Radiocarbon Ages) se encuentra al costado izquierdo resaltada en rojo. La línea roja punteada es solo de referencia visual.

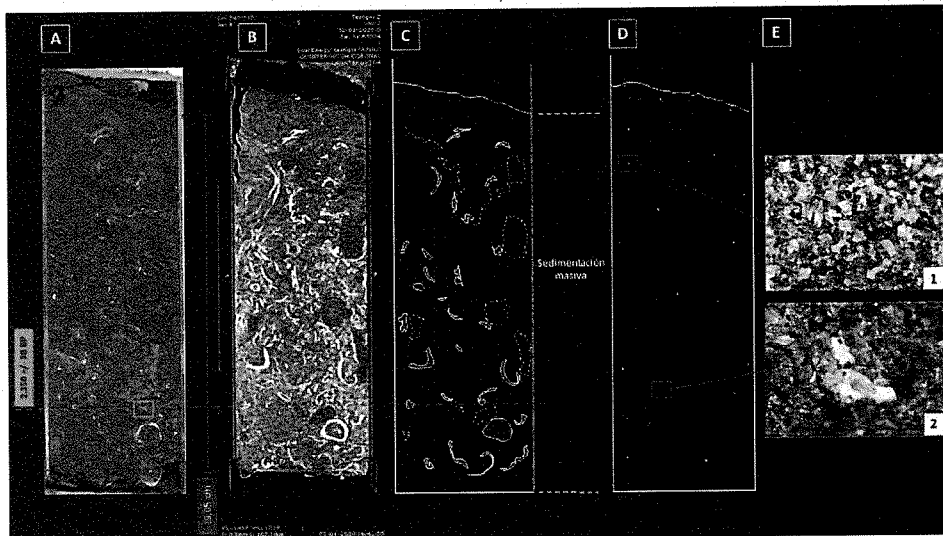


Figura A-27. Fotografía (A), tomografía computarizada de rayos X (B), esquema de las estructuras internas (C), esquema representativo de la distribución de las partículas de carbón (D), fotografía con lupa binocular de una partícula de carbón (E.1) y fotografía con lupa binocular de burbujas hidrófobas (E.2) del testigo 4. El testigo tiene un largo de 19,05 cm, presenta una estructura principalmente masiva de partículas tamaño limo a arena gruesa con presencia de fragmentos de bivalvos y gastrópodos. El sedimento es de color pardo oscuro, se encuentra pobemente seleccionado y los granos presentan una morfología discoidal a sub-angulosa. Composicionalmente está conformado por cristales de cuarzo (48%), anfibol (5%), feldespato potásico (5%), plagioclase (3%), magnetita (3%), biotita (0.9%) y carbón (0.1%), ílticos (10%) y fragmentos de bivalvos y gastrópodos (25%). Se observa presencia de burbujas anaranjadas hidrófobas a lo largo del testigo que podrían corresponder a aceites o lubricantes, además de plástico. El cuadro rojo grueso representa la muestra que fue datada con el método de radiocarbono y la edad obtenida (Conventional Radiocarbon Ages) se encuentra al costado izquierdo resaltada en rojo. La línea roja punteada es solo de referencia visual.

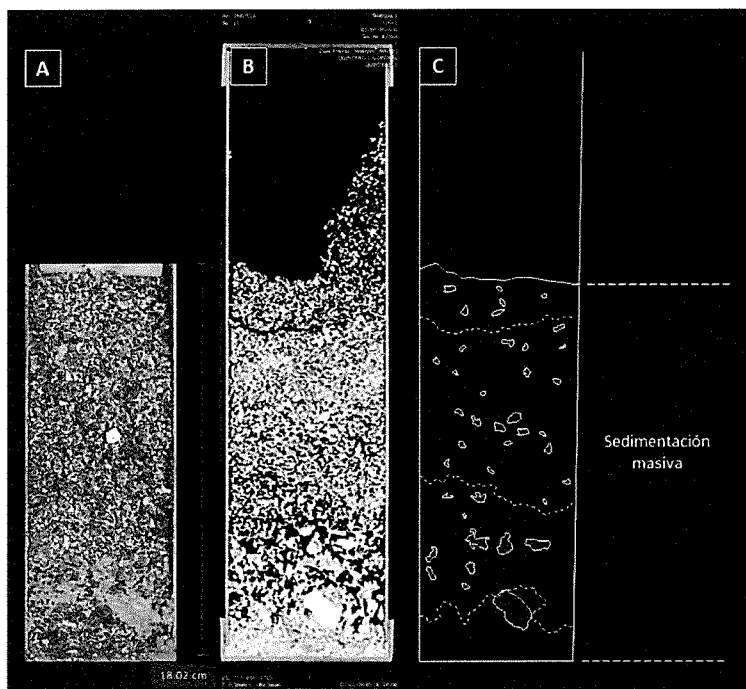


Figura A-28. Fotografía (A), tomografía computarizada de rayos X (B) y esquema de las estructuras internas (C) del testigo

5. El testigo tiene un largo de 18,02 cm, presenta una estructura masiva de arena media a muy gruesa (0,25 - 2 mm). El sedimento es de color pardo claro, se encuentra mal seleccionado y los granos presentan una morfología sub-discoidal a sub-redondeada. Composicionalmente está conformado por cristales de cuarzo (60%), fragmentos de bivalvos y gastrópodos (30%), anfibol (5%), feldespato potásico (4%) y biotita (1%).

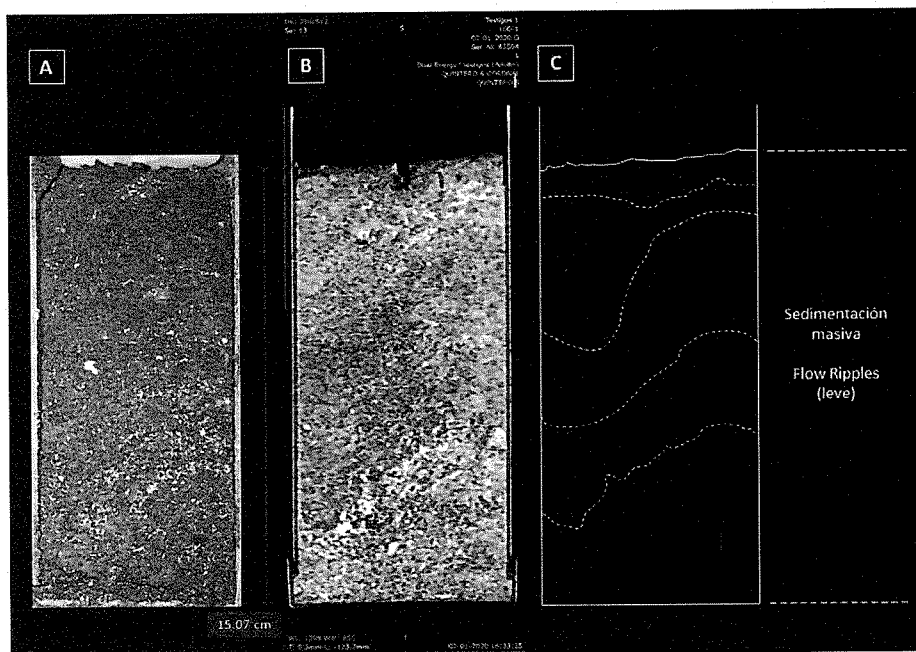


Figura A-29. Fotografía (A), tomografía computarizada de rayos X (B) y esquema de las estructuras internas (C) del testigo 6. El testigo tiene un largo de 15,07 cm, presenta una estructura principalmente masiva con una estratificación leve tipo flow ripples. El tamaño de los granos va de limo a arena fina. El sedimento es de color pardo oscuro, se encuentra moderadamente seleccionado y los granos presentan una morfología sub-discoidal a sub-angulosa. Composicionalmente está conformado por cristales de cuarzo (50%), fragmentos de bivalvos y gastrópodos (10%), anfibol (4%), plagioclasa (2%) biotita (1%), feldespato potásico (3%) y fragmentos líticos (30%). Se observan hebras de plástico a lo largo del testigo.

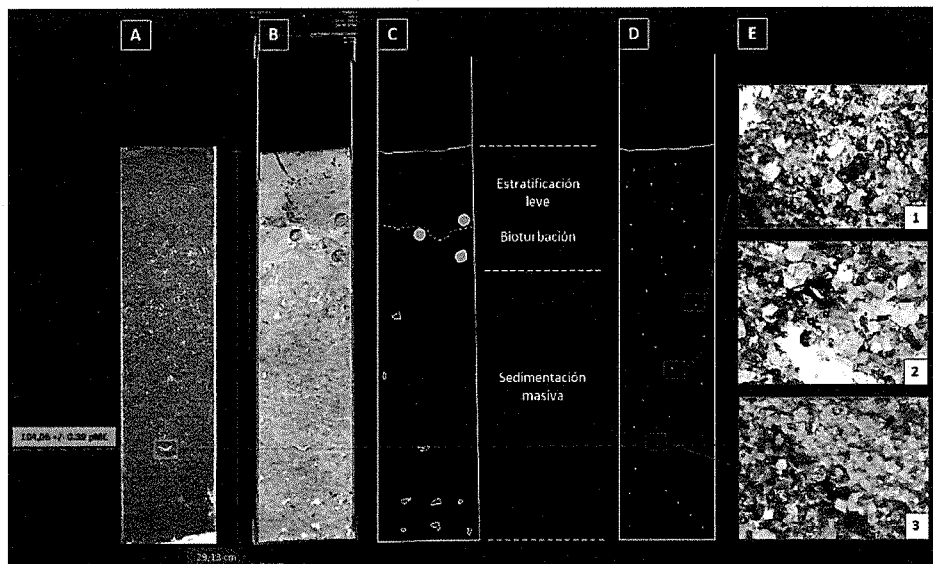


Figura A-30. Fotografía (A), tomografía computarizada de rayos X (B) y esquema de las estructuras internas (C), esquema representativo de la distribución de las partículas de carbón (D) y fotografías con lupa binocular de partículas de carbón (E.1, E.2 y E.3) del testigo BK-Muelle. El testigo tiene un largo de 29,13 cm, presenta una estructura principalmente masiva con una estratificación leve en la sección superior. El tamaño de las partículas varía entre limo a arena fina (0,004 - 0,25 mm). El sedimento es de color pardo, se encuentra bien seleccionado y los granos presentan una morfología sub-discoidal a sub-angulosa. Composicionalmente está conformado por cristales de cuarzo (45%), líticos (35%), fragmentos de bivalvos y gastrópodos (12%), anfibol (6%), biotita (1.99%) y carbón (0.01%). Se observan hebras de plástico a lo largo del testigo. El cuadro rojo grueso representa la muestra que fue datada con el método de radiocarbono y la edad obtenida (Conventional Radiocarbon Ages) se encuentra al costado izquierdo resaltada en rojo. La línea roja punteada es solo de referencia visual.

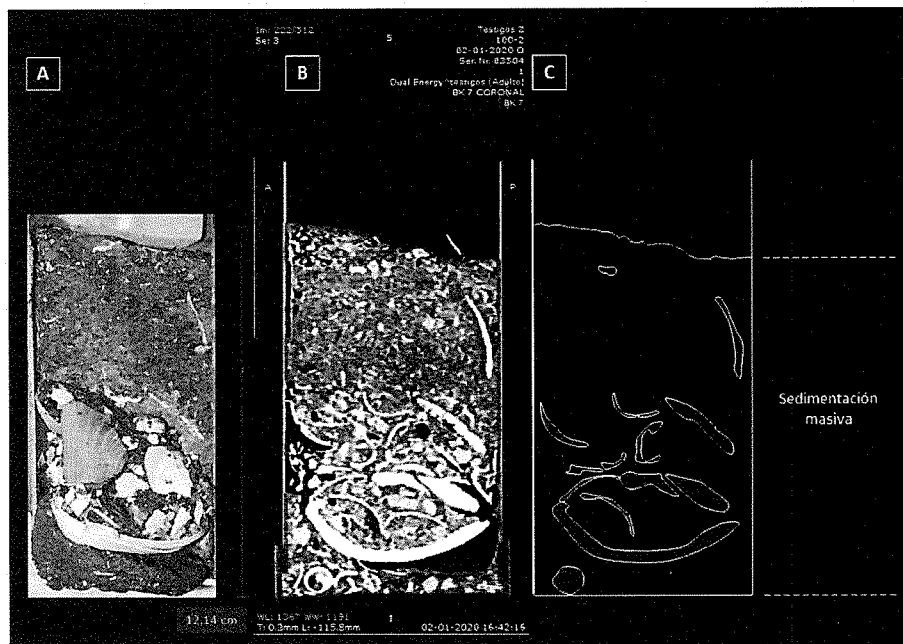


Figura A-31. Fotografía (A), tomografía computarizada de rayos X (B) y esquema de las estructuras internas (C) del testigo BK-7. El testigo tiene un largo de 12,14 cm, presenta una estructura masiva de arena fina a muy gruesa (0,125 – 2 mm). El sedimento es de color pardo oscuro, se encuentra muy mal seleccionado y los granos presentan una morfología sub-discoidal a sub-angulosa. Composicionalmente está conformado por cristales de cuarzo (35%), líticos (24%), fragmentos de bivalvos y gastrópodos (30%), anfibol (5%), feldespato potásico (3%), plagioclasa (2%) y biotita (1%).

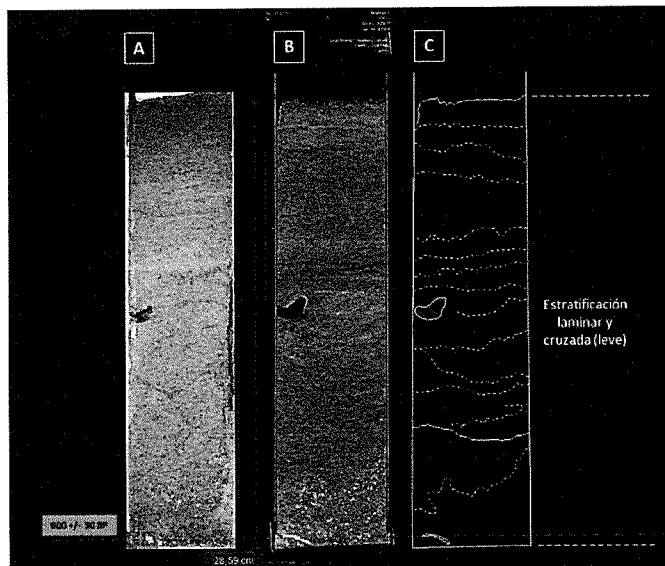


Figura A-32. Fotografía (A), tomografía computarizada de rayos X (B) y esquema de las estructuras internas (C) del testigo CAMP-1. El testigo tiene un largo de 28,59 cm, presenta una estructura estratificada laminar y cruzada leve. El tamaño de las partículas varía entre arena fina a media (0,125 - 0,5 mm). El sedimento es de color pardo, se encuentra bien seleccionado y los granos presentan una morfología sub-discoidal a sub-angulosa. Composicionalmente está conformado por cristales de cuarzo (60%), fragmentos líticos (30%), fragmentos de bivalvos y gastrópodos (2%), anfibol (3%), feldespato potásico (3%), plagioclasa (2%) y biotita (1%). El cuadro rojo grueso representa la muestra que fue datada con el método de radiocarbono y la edad obtenida (Conventional Radiocarbon Ages) se encuentra al costado izquierdo resaltada en rojo. La línea roja punteada es solo de referencia visual.

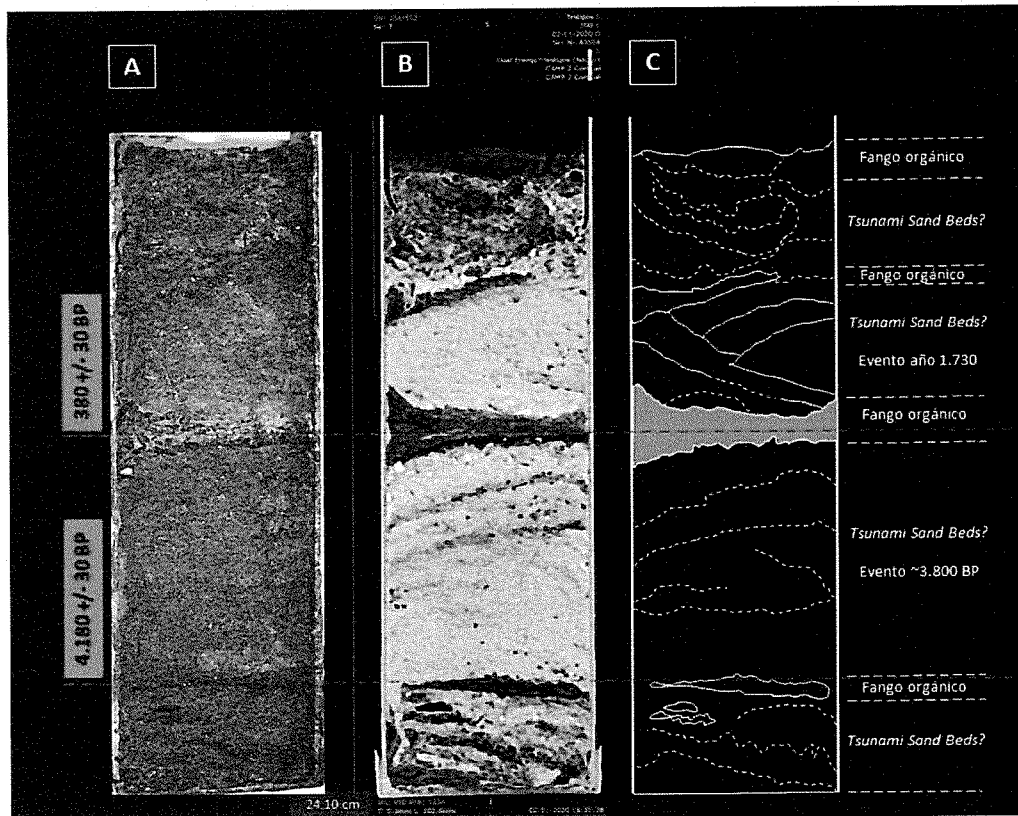


Figura A-33. Fotografía (A), tomografía computarizada de rayos X (B) y esquema de las estructuras internas (C) del testigo CAMP-2. El testigo tiene un largo de 24,10 cm, presenta estructuras estratificadas de sedimento orgánico con intercalaciones de sedimentos arenosos (*Tsunami sand beds?*). El tamaño de las partículas sedimentarias varía entre limo a arena fina-media. El sedimento es de color pardo oscuro a negro, se encuentra bien seleccionado y los granos presentan una morfología sub-discoidal a sub-angulosa. Composicionalmente está conformado por cristales de cuarzo (40%), fragmentos líticos (40%), anfibol (2%), feldespato potásico (2%), biotita (1%), plagioclasa (2%), sedimento orgánico (10%) y fragmentos de gastrópodos (3%). El cuadro rojo grueso representa la muestra que fue datada con el método de radiocarbono y la edad obtenida (Conventional Radiocarbon Ages) se encuentra al costado izquierdo resaltada en rojo. La línea roja punteada es solo de referencia visual.

ANEXO "E"
GEOCRONOLOGÍA POR RADIOCARBONO (^{14}C)

BetaCal 3.21
Calibration of Radiocarbon Age to Calendar Years
(High Probability Density Range Method (HPD): SHCAL13)

(Variables: $\delta^{13}\text{C} = -26.5 \text{ ‰}$)

Laboratory number Beta-563468

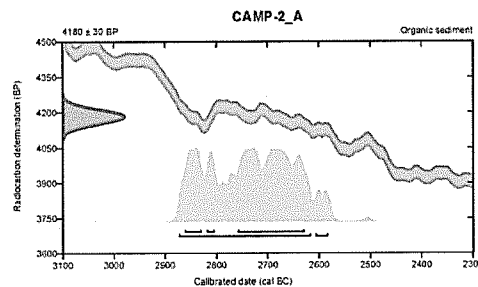
Conventional radiocarbon age $4180 \pm 30 \text{ BP}$

95.4% probability

(91.7%)	2875 - 2618 cal BC	(4824 - 4567 cal BP)
(3.7%)	2609 - 2585 cal BC	(4556 - 4534 cal BP)

68.2% probability

(49.4%)	2760 - 2631 cal BC	(4709 - 4580 cal BP)
(13.1%)	2864 - 2831 cal BC	(4813 - 4780 cal BP)
(5.8%)	2821 - 2806 cal BC	(4770 - 4755 cal BP)



Database used

SHCAL13

References

References to Probability Method

Bronk Ramsey, C. (2009). Bayesian analysis of radiocarbon dates. Radiocarbon, 51(1), 337-360.

References to Database SHCAL13

Hogg, et al. 2013. Radiocarbon 55(4)

Beta Analytic Radiocarbon Dating Laboratory

4685 S.W. 74th Court, Miami, Florida 33155 • Tel: (305)667-5167 • Fax: (305)663-0564 • Email: beta@radiocarbon.com

BetaCal 3.21

Calibration of Radiocarbon Age to Calendar Years

(High Probability Density Range Method (HPD): SHCAL13)

(Variables: $d^{13}C = -20.6 \text{ ‰}$)

Laboratory number Beta-553459

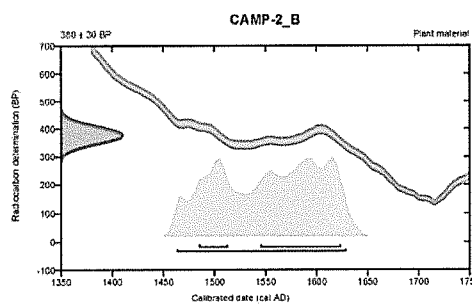
Conventional radiocarbon age $380 \pm 30 \text{ BP}$

95.4% probability

(95.4%) 1463 - 1629 cal AD (487 - 321 cal BP)

68.2% probability

(50.6%) 1545 - 1624 cal AD (405 - 326 cal BP)
(17.6%) 1485 - 1513 cal AD (465 - 437 cal BP)



Database used
SHCAL13

References

References to Probability Method
Bronk Ramsey, C. (2009). Bayesian analysis of radiocarbon dates. Radiocarbon, 51(1), 337-360.

References to Database SHCAL13
Hogg, et al., 2013. Radiocarbon 55(4).

Beta Analytic Radiocarbon Dating Laboratory
4085 S W 74th Court, Miami, Florida 33155 • Tel: (305)667-5167 • Fax: (305)663-0054 • Email: beta@radiocarbon.com

BetaCal 3.21
Calibration of Radiocarbon Age to Calendar Years
(High Probability Density Range Method (HPD): MARINE13)

(Variables: d13C = +1.3 ‰ : Delta-R = 137 ± 164 : Glob res = -200 to 500)

Laboratory number Beta-563454

Conventional radiocarbon age 3230 ± 30 BP

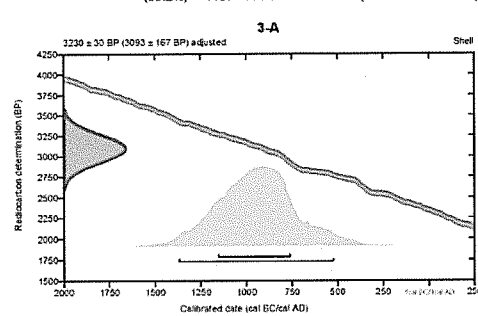
3093 ± 167 Adjusted for local reservoir correction

95.4% probability

(95.4%) 1372 - 521 cal BC (3321 - 2470 cal BP)

68.2% probability

(68.2%) 1157 - 761 cal BC (3106 - 2710 cal BP)



Database used

MARINE13

References

References to Probability Method

Bronk Ramsey, C. (2009) Bayesian analysis of radiocarbon dates. Radiocarbon, 51(1), 337-360.

References to Database MARINE13

Reimer, et al., 2013, Radiocarbon 55(4)

Beta Analytic Radiocarbon Dating Laboratory
4905 S W 74th Court, Miami, Florida 33155 • Tel: (305)657-5167 • Fax: (305)653-0964 • Email: beta@radiocarbon.com

BetaCal 3.21

Calibration of Radiocarbon Age to Calendar Years

(High Probability Density Range Method (HPD): MARINE13)

(Variables: $d^{13}C = +0.5 \text{ ‰}$: $\Delta R = 137 \pm 164$: Glob res = -200 to 500)

Laboratory number Beta-563455

Conventional radiocarbon age $2350 \pm 30 \text{ BP}$

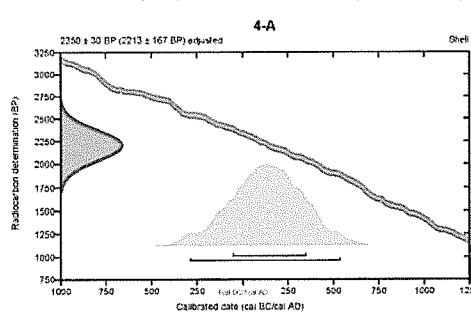
2213 ± 167 Adjusted for local reservoir correction

95.4% probability

(95.4%) 291 cal BC - 538 cal AD (2240 - 1412 cal BP)

68.2% probability

(68.2%) 55 cal BC - 351 cal AD (2004 - 1599 cal BP)



Database used

MARINE13

References

References to Probability Method

Bronk Ramsey, C. (2009). Bayesian analysis of radiocarbon dates. *Radiocarbon*, 51(1), 337-360.

References to Database MARINE13

Reimer, et al., 2013. *Radiocarbon* 55(4)

Beta Analytic Radiocarbon Dating Laboratory
4985 S W 74th Court, Miami, Florida 33155 • Tel: (305)667-5167 • Fax: (305)663-0964 • Email: beta@radiocarbon.com

BetaCal 3.21

Calibration of Radiocarbon Age to Calendar Years

(High Probability Density Range Method (HPD): MARINE13)

(Variables: d13C = +0.5 ‰; Delta-R = 137 ± 164; Glob res = -200 to 500)

Laboratory number Beta-553456

Conventional radiocarbon age -320 ± 30 BP

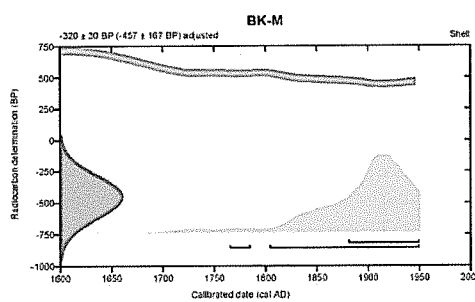
-457 ± 167 Adjusted for local reservoir correction

95.4% probability

(94%)	1804 - Post cal AD 1950	(146 - Post cal BP 0)
(1.4%)	1765 - 1785 cal AD	(185 - 165 cal BP)

68.2% probability

(68.2%) 1881 - Post cal AD 1950 (69 - Post cal BP 0)



Database used

MARINE13

References

References to Probability Method

Bruun, Ramsey, C. (2009). Bayesian analysis of radiocarbon dates. Radiocarbon, 51(1), 337-360.

References to Database MARINE13

Reimer, et al., 2013. Radiocarbon 55(4)

Beta Analytic Radiocarbon Dating Laboratory
4985 S.W. 74th Court, Miami, Florida 33155 • Tel: (305)667-5167 • Fax: (305)663-0964 • Email: beta@radiocarbon.com

BetaCal 3.21
Calibration of Radiocarbon Age to Calendar Years
(High Probability Density Range Method (HPD): SHCAL13)

(Variables: $\delta^{13}\text{C} = +0.8 \text{ ‰}$)

Laboratory number Beta-553457

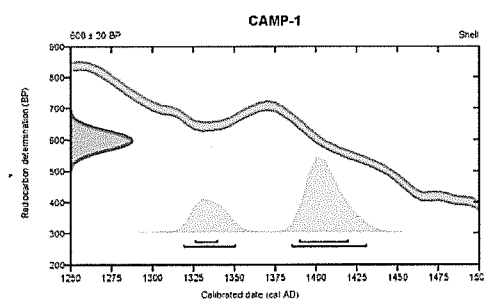
Conventional radiocarbon age $600 \pm 30 \text{ BP}$

95.4% probability

(67.9%)	1385 - 1431 cal AD	(565 - 519 cal BP)
(27.5%)	1319 - 1351 cal AD	(631 - 599 cal BP)

68.2% probability

(53.3%)	1390 - 1420 cal AD	(560 - 530 cal BP)
(14.9%)	1326 - 1340 cal AD	(624 - 610 cal BP)



Database used
SHCAL13

References

- References to Probability Method
Bronk Ramsey, C. (2009). Bayesian analysis of radiocarbon dates. *Radiocarbon*, 51(1), 337-360.
References to Database SHCAL13
Hogg, et al. 2013. *Radiocarbon* 55(4).

Beta Analytic Radiocarbon Dating Laboratory
4985 S W 74th Court, Miami, Florida 33156 • Tel: (305)667-5167 • Fax: (305)663-0064 • Email: beta@radiocarbon.com